

สายอากาศเฟสอาร์เรย์
Phased Array Antenna



กิตติชัย พาณิชปฐมพงศ์
KITTICHAJ PANICHPATHOMPONG

วิทยาพนธ์สำหรับปริญญาวิศวกรรมศาสตรมหาบัณฑิต

สาขาวิชาวิศวกรรมไฟฟ้า

บัณฑิตวิทยาลัย

สถาบันเทคโนโลยีพระจอมเกล้าเจ้าคุณทหารลาดกระบัง

ปีการศึกษา 2533

ISBN 974-8155-06-4

เจ้าคุณทหาร

สาขอากาศเฟสอาร์เรย์
Phased Array Antenna

กิตติชัย พาณิชปฐมพงศ์
KITTICHAJ PANICHPATHOMPONG

อาจารย์ที่ปรึกษา
รศ.ดร. วิวัฒน์ กิรานนท์ D.ENG.
ADVISOR
ASSOC. PROF. WIWAT KIRANON D. ENG.

วิทยานิพนธ์สำหรับปริญญาวิศวกรรมศาสตรมหาบัณฑิต
สาขาวิชาวิศวกรรมไฟฟ้า
บัณฑิตวิทยาลัย
สถาบันเทคโนโลยีพระจอมเกล้าเจ้าคุณทหารลาดกระบัง
ปีการศึกษา 2533

ISBN 974-8155-06-4

เอกสารนี้เป็นเอกสารที่สงวนไว้สำหรับการใช้งานเพื่อการศึกษาเท่านั้น ไม่อนุญาตให้นำไปใช้ประโยชน์ด้านการค้า
ไม่ว่ากรณีใดๆ ทั้งสิ้น อีกทั้งห้ามมิให้ดัดแปลงเนื้อหา และต้องอ้างอิงถึงเจ้าของเอกสารทุกครั้งที่มีการนำไปใช้

บัณฑิตวิทยาลัย
สถาบันเทคโนโลยีพระจอมเกล้าเจ้าคุณทหารลาดกระบัง
แบบฟอร์มการให้คะแนนการสอบวิชานិพนธ์

หัวข้อวิชานิพนธ์ สาขาอากาศเฟสอาร์เรย์ (PHASED ARRAY ANTENNA)
ชื่อนักศึกษา นายกิตติชัย พาณิชประมุขพงศ์ รหัสประจำตัว 30126-002
หลักสูตร วิศวกรรมศาสตรมหาบัณฑิต สาขาวิชา วิศวกรรมไฟฟ้า
ภาควิชา วิศวกรรมโทรคมนาคม
อาจารย์ผู้ควบคุมวิชานิพนธ์ รศ.ดร. วิวัฒน์ กิรานนท์

ชื่ออาจารย์ผู้ควบคุมการสอบ	ลายมือชื่อ
รศ.ดร. วิวัฒน์ กิรานนท์	
รศ.ถวิล พึ่งมา	
ผศ.ณรงค์ เหมกรณ์	
ผศ.ธีรศิลป์ ทุมวิภาต	
ผศ. สมผล โกศลวิตร	

ค่าระดับคะแนนรวมทั้งเป็นเอกลักษณ์จากคณะกรรมการสอบ 0 : OUTSTANDING (ดีเยี่ยม)
วัน/เดือน/ปี ที่สอบ 21 มกราคม 2534 เวลา 10.00 น.
สถานที่สอบ ห้องประชุมคณะวิศวกรรมศาสตร์ (A-305) ตึก 6 ชั้น

บัณฑิตวิทยาลัยรับรองแล้ว



(นายสมพงษ์ งามนิจ
รองอธิการบดีฝ่ายวิชาการ

รักษาการแทนคณบดีบัณฑิตวิทยาลัย

วันที่ ๒๑ เดือน มกราคม พ.ศ. ๒๕๓๔

เอกสารนี้เป็นเอกสารที่สงวนไว้สำหรับการใช้งานเพื่อการศึกษาเท่านั้น ไม่อนุญาตให้นำไปใช้ประโยชน์ด้านการค้า
ไม่ว่ากรณีใดๆ ทั้งสิ้น อีกทั้งห้ามมิให้ดัดแปลงเนื้อหา และต้องอ้างอิงถึงเจ้าของเอกสารทุกครั้งที่มีการนำไปใช้

หัวข้อวิทยานิพนธ์	สาขอากาศเฟสอาร์เรย์
นักศึกษา	กิตติชัย พาณิชปฐมพงศ์ 30.126-002
อาจารย์ที่ปรึกษา	รศ.ดร. วิวัฒน์ กิรานนท์
ระดับการศึกษา	วิศวกรรมศาสตรมหาบัณฑิตสาขาวิชา วิศวกรรมไฟฟ้า
ปีการศึกษา	2533

บทคัดย่อ

วิทยานิพนธ์ฉบับนี้ แสดงวิธีการออกแบบสร้างสาขอากาศเฟสอาร์เรย์แบบระนาบขนาด 4x8 เอลิเมนต์ สำหรับใช้งานที่ความถี่ 915 MHz ส่วนประกอบที่สำคัญของสาขอากาศเฟสอาร์เรย์นี้ มี 3 ส่วน คือ สาขอากาศไดโพลขนาดยาวครึ่งความยาวคลื่น วางเรียงกันเป็นอาร์เรย์แบบระนาบ อยู่เหนือบนกราวนด์เพลน วงจรเลื่อนเฟสโดยใช้นิโคโด และส่วนป้อนกระแสสัญญาณให้แก่สาขอากาศอาร์เรย์ ซึ่งได้แก่ วงจรแบ่งแยกกำลังและวงจรลดทอนสัญญาณข้อกำหนดในการออกแบบ คือ ให้บีมหลักของสาขอากาศสามารถกวาดไปในระนาบอะซิมุทได้ ด้วยการควบคุมวงจรเลื่อนเฟสขนาด 3 บิต ซึ่งทำให้บีมหลักของสาขอากาศนี้ กวาดไปได้ใน 8 ทิศทาง โดยได้สังเคราะห์รูปแบบการกระจายคลื่นของสาขอากาศ ให้มีบีมวิดธ์แคบ ไซด์โลบต่ำในระนาบอะซิมุทนี้ ส่วนในระนาบเอลิเวชันนั้น รูปแบบการกระจายคลื่นได้ถูกสังเคราะห์เป็นแบบเซคเตอร์แพทเทิร์น พร้อมทั้งนี้ได้แสดงผลการทดสอบคุณสมบัติ ที่สำคัญของสาขอากาศเฟสอาร์เรย์ที่สร้างขึ้นแล้วด้วย

Thesis Title PHASED ARRAY ANTENNA
Name KITTICHAJ PANICHPATHOMPONG
Thesis Advisor ASSOC.PROF.DR.WIWAT KIRANON
Level of Study MASTER OF ENGINEERING IN ELECTRICAL
 ENGINEERING
Academic Year 1990

ABSTRACT

In this thesis, a design and implementation of 915 MHz planar phased array antenna system are presented. The system consists of three important parts; 4x8 elements of dipole array over ground plane, PIN diode phase shifters and feeding networks. The feeding networks are divided into two parts; power dividers and attenuators. They are employed as a mean to synthesize the radiation pattern. The main beam can be scanned in 8 different directions of the azimuth plane by controlling 3 bits of phase shifters. In the azimuth plane, radiation pattern is synthesized to be a narrow beamwidth and low side lobes pattern whereas the sector pattern is synthesized in the elevation plane. The significant characteristics are calculated and tested.

เอกสารนี้เป็นเอกสารที่สงวนไว้สำหรับการใช้งานเพื่อการศึกษาเท่านั้น ไม่อนุญาตให้นำไปใช้ประโยชน์ด้านการค้า
ไม่ว่ากรณีใดๆ ทั้งสิ้น อีกทั้งห้ามมิให้ดัดแปลงเนื้อหา และต้องอ้างอิงถึงเจ้าของเอกสารทุกครั้งที่มีการนำไปใช้

สารบัญ

	หน้า
บทคัดย่อ	I
ABSTRACT	II
กิตติกรรมประกาศ	III
สารบัญ	IV
สารบัญตาราง	VII
สารบัญรูปภาพ	VIII
คำอธิบายสัญลักษณ์	XIII
บทที่ 1 บทนำ	1
1-1 กล่าวนำ	1
1-2 วัตถุประสงค์ในการทำวิทยานิพนธ์	2
1-3 โครงประกอบของวิทยานิพนธ์	2
บทที่ 2 ทฤษฎีสายอากาศอาร์เรย์ (Array Theory)	4
2-1 กล่าวนำ	4
2-2 สายอากาศอาร์เรย์แบบเส้นตรง (Linear Array)	5
2-3 สายอากาศอาร์เรย์แบบระนาบ (Planar Array)	7
2-4 สายอากาศเฟสอาร์เรย์ (Phased Array)	9
บทที่ 3 คุณสมบัติของสายอากาศอาร์เรย์	11
3-1 สนามลิ้นซ์และหลักการคูณรูปแบบการกระจายคลื่น	12
3-2 โคเรลติวิตีของสายอากาศอาร์เรย์	14
3-3 อินพุทอิมพีแดนซ์ของสายอากาศอาร์เรย์	16
บทที่ 4 การสังเคราะห์รูปแบบการกระจายคลื่นของสายอากาศอาร์เรย์	21
4-1 กล่าวนำ	21
4-2 การสังเคราะห์แบบบีมิวิตซ์แคบ ไซด์โหลบต่ำ โดยใช้เซบปีเซพโพลีโนเมียล	21

เอกสารนี้เป็นเอกสารที่สงวนไว้สำหรับการใช้งานเพื่อการศึกษาเท่านั้น ไม่อนุญาตให้นำไปใช้ประโยชน์ด้านการค้า
ไม่ว่ากรณีใดๆ ทั้งสิ้น อีกทั้งห้ามมิให้ดัดแปลงเนื้อหา และต้องอ้างอิงถึงเจ้าของเอกสารทุกครั้งที่มีการนำไปใช้

	หน้า
4-2-1 ชั้นตอนการออกแบบ	25
4-2-2 ปีมวิคซ์และโคเร็คติวิตีของเซมปีเซพอาร์เรย์	26
4-3 การสังเคราะห์เซคเตอร์แพทเทิร์น โดยวิธีการแปลงของฟูเรียร์	28
บทที่ 5 วงจรเลื่อนเฟสโดยใช้นินไดโอด	31
5-1 กล่าวนำ	31
5-2 วงจรสมมูลย์ของนินไดโอด	32
5-3 วงจรบรานช์ไลน์ไฮบริดคัพเปเลอร์	34
5-4 วงจรแมทชิงแบบทรานส์มิชชันไลน์ทรานส์ฟอร์มเมอร์	36
บทที่ 6 ส่วนป้อนกระแสสัญญาณให้สายอากาศอาร์เรย์	40
6-1 กล่าวนำ	40
6-2 วงจรแบ่งแยกกำลัง (Power Divider)	40
6-3 วงจรลดทอนสัญญาณ (Attenuator)	42
บทที่ 7 การคำนวณและออกแบบสร้าง	44
7-1 การคำนวณและออกแบบสายอากาศโคโพลาร์เรย์แบบระนาบ เหนือบนกราวนด์เพลน	44
7-2 การคำนวณและออกแบบสังเคราะห์รูปแบบการกระจายคลื่น	46
7-2-1 การสังเคราะห์ปีมวิคซ์แคบ ไซด์โวลบต่ำ	46
7-2-2 การสังเคราะห์เซคเตอร์แพทเทิร์น	50
7-3 การคำนวณและออกแบบวงจรเลื่อนเฟสโดยใช้นินไดโอด	51
7-3-1 การคำนวณและออกแบบวงจบบรานช์ไลน์ ไฮบริดคัพเปเลอร์	51
7-3-2 การคำนวณและออกแบบวงจรแมทชิง	51
7-4 การคำนวณและออกแบบวงจรแบ่งแยกกำลัง	53
7-5 การคำนวณและออกแบบวงจรลดทอนสัญญาณ	54
บทที่ 8 การทดลองและผลการทดลอง	59
8-1 ผลการทดสอบวงจรเลื่อนเฟส	59

เอกสารนี้เป็นเอกสารที่สงวนไว้สำหรับการใช้งานเพื่อการศึกษาเท่านั้น ไม่อนุญาตให้นำไปใช้ประโยชน์ด้านการค้า
ไม่ว่ากรณีใดๆ ทั้งสิ้น อีกทั้งห้ามมิให้ดัดแปลงเนื้อหา และต้องอ้างอิงถึงเจ้าของเอกสารทุกครั้งที่มีการนำไปใช้

	หน้า
8-1-1 วงจรเลื่อนเฟสขนาด 1 บิต แต่ละบิต	62
8-1-2 วงจรเลื่อนเฟสขนาด 3 บิต รวมกัน	65
8-2 ผลการทดสอบไดโพลอาร์เรย์เหนือบนระนาบกราวนด์เพลน	66
8-2-1 เงื่อนไขในการกำหนดทิศทางของบีมหลัก	71
8-2-2 รูปแบบการกระจายคลื่นในระนาบอะซิมุท	72
8-2-3 รูปแบบการกระจายคลื่น จากการทดลอง ในสถานะที่ 5 เมื่อเปลี่ยนแปลงความถี่ไปจากความถี่ที่ออกแบบ	82
8-2-4 การเปรียบเทียบรูปแบบการกระจายคลื่นในระนาบอะซิมุท ที่สถานะต่างๆ สำหรับโคออร์ดิเนตสี่เหลี่ยมผืนผ้า	90
บทที่ 9 บทสรุปและวิจารณ์	95
9-1 ส่วนของวงจรเลื่อนเฟสขนาด 3 บิต รวมกัน	95
9-2 ส่วนของเสาอากาศเฟสอาร์เรย์	96
9-2-1 รูปแบบการกระจายคลื่นในระนาบอะซิมุท	97
9-2-2 รูปแบบการกระจายคลื่นในระนาบเอลีเวชัน	100
9-2-3 เกณฑ์เปรียบเทียบของเสาอากาศเฟสอาร์เรย์	101
9-3 สรุปและเสนอแนะ	101
เอกสารอ้างอิง	103
ภาคผนวก	105
ภาคผนวก ก. สนามของเสาอากาศไดโพล เหนือบนกราวนด์เพลน	106
ภาคผนวก ข. อิมพีแดนซ์ของเสาอากาศไดโพล เหนือบนกราวนด์เพลน	108
ภาคผนวก ค. การคำนวณค่า VSWR	109
ภาคผนวก ง. ข้อมูลของพินไดโอด	111

เอกสารนี้เป็นเอกสารที่สงวนไว้สำหรับการใช้งานเพื่อการศึกษาเท่านั้น ไม่อนุญาตให้นำไปใช้ประโยชน์ด้านการค้า
ไม่ว่ากรณีใดๆ ทั้งสิ้น อีกทั้งห้ามมิให้ดัดแปลงเนื้อหา และต้องอ้างอิงถึงเจ้าของเอกสารทุกครั้งที่มีการนำไปใช้

สารบัญตาราง

	หน้า
ตารางที่ 7.1 แสดงสัมประสิทธิ์การป้อนกระแสสัญญาณของ เซคเตอร์แพทเทิร์น	51
ตารางที่ 7.2 แสดงผลการคำนวณออกแบบวงจรแมทซิ่งของ วงจรเลื่อนเฟส	53
ตารางที่ 7.3 แสดงค่าการลดทอนสัญญาณสัมพัทธ์ ของการสังเคราะห์แบบ บีมวิคซ์แคบ ไซค์โหลบต่ำ	56
ตารางที่ 7.4 แสดงค่าการลดทอนสัญญาณสัมพัทธ์ ของการสังเคราะห์แบบ เซคเตอร์แพทเทิร์น	58
ตารางที่ 8.1 แสดงผลของการเลื่อนเฟส (Phase Shift) ที่ความถี่ 915 MHz ของวงจรเลื่อนเฟสขนาด 3 บิต รวมกัน	66
ตารางที่ 8.2 แสดงการเปลี่ยนทิศทางของบีมหลัก 8 ทิศทาง เมื่อเปลี่ยนสถานะของวงจรเลื่อนเฟส	71
ตารางที่ 8.3 แสดงสถานะของการไบอัสให้แก่พินไดโอดในวงจรเลื่อนเฟส ขนาด 3 บิต จำนวน 8 เอลิเมนต์ เพื่อปรับทิศทางของ บีมหลักได้ 8 ทิศทาง	72
ตารางที่ 8.4 แสดงผลการวัดเกินของสายอากาศเฟสอาร์เรย์ในสถานะที่ 5 เปรียบเทียบกับสายอากาศไดโพลเอลิเมนต์เดี่ยว	94
ตารางที่ 9.1 แสดงการเปลี่ยนทิศทางของบีมหลัก 8 ทิศทาง เมื่อเปลี่ยน สถานะของวงจรเลื่อนเฟส(ที่สร้างขึ้นใช้งานจริง)	96
ตาราง ข.1 แสดงผลการคำนวณค่า VSWR	110

เอกสารนี้เป็นเอกสารที่สงวนไว้สำหรับการใช้งานเพื่อการศึกษาเท่านั้น ไม่อนุญาตให้นำไปใช้ประโยชน์ด้านการค้า
ไม่ว่ากรณีใดๆ ทั้งสิ้น อีกทั้งห้ามมิให้ดัดแปลงเนื้อหา และต้องอ้างอิงถึงเจ้าของเอกสารทุกครั้งที่มีการนำไปใช้

สารบัญรูปภาพ

	หน้า
รูปที่ 2.1. แสดงการวางอาร์เรย์ของจุดไอโซโทรปิคแบบเส้นตรง	6
รูปที่ 2.2 แสดงโครงสร้างสายอากาศอาร์เรย์แบบระนาบสี่เหลี่ยมผืนผ้า	8
รูปที่ 2.3 แสดงส่วนประกอบของสายอากาศเฟสอาร์เรย์	11
รูปที่ 3.1 แสดงการวางตัวของสายอากาศไดโพลจิว 2 เอลิเมนต์	13
รูปที่ 3.2 แสดงตัวอย่างของหลักการคูณรูปแบบการกระจายคลื่น	15
รูปที่ 3.3 แสดงโครงข่ายไฟฟ้าสองพอร์ตที่ใช้พิจารณาในการคัปปลิง	19
รูปที่ 3.4 แสดงค่ามิวชวลอิมพีแดนซ์ของ ไซด์บาย ไซด์ ไดโพลอาร์เรย์	20
รูปที่ 3.5 แสดงค่ามิวชวลอิมพีแดนซ์ของคอลลิเนียร์ ไดโพลอาร์เรย์	20
รูปที่ 4.1 แสดงค่าตัวอย่างราคาของเซมิเพนโวลีโนเมียล อันดับศูนย์ถึงอันดับห้า	24
รูปที่ 4.2 แสดงความสัมพันธ์ระหว่างค่าบีบรอดเคนนิ่งแฟคเตอร์ และระดับของไซด์โหลบ	27
รูปที่ 4.3 แสดงกราฟความสัมพันธ์ระหว่างโคเรคทีวิตีและค่า $(L+d)/\lambda$	28
รูปที่ 5.1 แสดงลักษณะของวงจรเลื่อนเฟสโคซโซนิคไดโอด	33
รูปที่ 5.2 แสดงลักษณะและวงจรสมมูลย์ของนินไดโอด	33
รูปที่ 5.3 แสดงโครงสร้างของบรานช์ไลน์ไฮบริดคัปเปเลอร์	35
รูปที่ 5.4 แสดงการแมทชิงของวงจรเลื่อนเฟสโคซโซนิคไดโอด	36
รูปที่ 5.5 แสดงโครงสร้างของวงจรแมทชิงแบบต่างๆ	37
รูปที่ 6.1 แสดงลักษณะโครงสร้างของวงจรแบ่งแยกกำลัง	41
รูปที่ 6.2 แสดงวงจรแบ่งแยกกำลังแบบ 4 เอาก์นุก	41
รูปที่ 6.3 แสดงวงจรลดทอนสัญญาณ	42
รูปที่ 7.1 แสดงขนาดของสายอากาศไดโพลเอลิเมนต์เดี่ยว	45
รูปที่ 7.2 แสดงการวางเอลิเมนต์ของไดโพลอาร์เรย์ เหนือบนระนาบกราวนด์เพลน	46

เอกสารนี้เป็นเอกสารที่สงวนไว้สำหรับการใช้งานเพื่อการศึกษาเท่านั้น ไม่อนุญาตให้นำไปใช้ประโยชน์ด้านการค้า
ไม่ว่ากรณีใดๆ ทั้งสิ้น อีกทั้งห้ามมิให้ดัดแปลงเนื้อหา และต้องอ้างอิงถึงเจ้าของเอกสารทุกครั้งที่มีการนำไปใช้

	หน้า
รูปที่ 7.3 แสดงขนาดของวงจรบรานซ์ไลน์ไฮบริดคัปเปิลเลอร์ ที่ได้คำนวณออกแบบ	52
รูปที่ 7.4 แสดงขนาดของวงจรแบ่งแยกกำลังที่ได้คำนวณออกแบบ	53
รูปที่ 7.5 แสดงวงจรลดทอนสัญญาณแบบพาส-เน็ตเวิร์คคริสทีน	55
รูปที่ 8.1 แสดงวงจรเลื่อนเฟสขนาด 1 บิต ที่สร้างขึ้นทดลอง	60
รูปที่ 8.2 แสดงการต่อเวกเตอร์โวลท์มิเตอร์สำหรับวัดการเลื่อนเฟส	60
รูปที่ 8.3 แสดงการต่อสเปคตรัมแอนนาไลเซอร์สำหรับวัดรีเทิร์นลอส	61
รูปที่ 8.4 แสดงการต่อสเปคตรัมแอนนาไลเซอร์สำหรับวัดอินเสิร์ทชันลอส	61
รูปที่ 8.5 แสดงวงจรเลื่อนเฟสขนาด 3 บิต ที่สร้างขึ้นใช้งานจริง	62
รูปที่ 8.6 แสดงความสัมพันธ์ระหว่างเฟสที่เลื่อนไป(Phase Shift) และความถี่ของวงจรเลื่อนเฟส	63
รูปที่ 8.7 แสดงความสัมพันธ์ระหว่างอินเสิร์ทชันลอส(Insertion Loss) และความถี่ของวงจรเลื่อนเฟส	63
รูปที่ 8.8 แสดงความสัมพันธ์ระหว่างรีเทิร์นลอส(Return Loss) และความถี่ของวงจรเลื่อนเฟส	64
รูปที่ 8.9 แสดงความสัมพันธ์ระหว่าง VSWR และความถี่ของวงจรเลื่อนเฟส	64
รูปที่ 8.10 แสดงความสัมพันธ์ระหว่างอินเสิร์ทชันลอส(Insertion Loss) และความถี่ของวงจรเลื่อนเฟสขนาด 3 บิต รวมกัน	65
รูปที่ 8.11 แสดงความสัมพันธ์ระหว่างรีเทิร์นลอส(Return Loss) และความถี่ของวงจรเลื่อนเฟสขนาด 3 บิต รวมกัน	65
รูปที่ 8.12 แสดงความสัมพันธ์ระหว่าง VSWR และ ความถี่ของวงจรเลื่อนเฟสขนาด 3 บิต รวมกัน	66
รูปที่ 8.13 แสดงวงจรแบ่งแยกกำลัง 4 เอากัณฑ์ และ วงจรลดทอนสัญญาณเพื่อสังเคราะห์เซคเตอร์แพทเทิร์น ที่นำมาใช้งานจริง	67

เอกสารนี้เป็นเอกสารที่สงวนไว้สำหรับการใช้งานเพื่อการศึกษาเท่านั้น ไม่อนุญาตให้นำไปใช้ประโยชน์ด้านการค้า
ไม่ว่ากรณีใดๆ ทั้งสิ้น อีกทั้งห้ามมิให้ดัดแปลงเนื้อหา และต้องอ้างอิงถึงเจ้าของเอกสารทุกครั้งที่มีการนำไปใช้

	หน้า
รูปที่ 8.14 แสดงวงจรแบ่งแยกกำลัง 8 เอาก์พุก และ วงจรลดทอนสัญญาณเพื่อสังเคราะห์รูปแบบการกระจายคลื่น แบบบีบอัดแคบ ไซด์โทลบด้า ที่นำมาใช้งานจริง	68
รูปที่ 8.15 แสดงวิธีการต่อเครื่องมือสำหรับวัดรูปแบบการกระจายคลื่น	68
รูปที่ 8.16 แสดงภาพของเสาอากาศไดโพลเอลีเมนต์เดี่ยวที่สร้างขึ้น	69
รูปที่ 8.17 แสดงภาพของเสาอากาศเฟสอาร์เรย์ที่สร้างขึ้น	69
รูปที่ 8.18 แสดงภาพของเวกเตอร์โวลท์มิเตอร์สำหรับวัดการเลื่อนเฟส	70
รูปที่ 8.19 แสดงภาพของสเปคตรัมแอนนาไลเซอร์สำหรับวัดรีเทิร์นลอส	70
รูปที่ 8.20 แสดงการจัดลำดับของวงจรเลื่อนเฟสแต่ละบิต	72
รูปที่ 8.21 แสดงความสัมพันธ์ระหว่างรีเทิร์นลอส (Return Loss) และความถี่ของเสาอากาศเฟสอาร์เรย์ เมื่อปรับบีมหลักไปในทิศทางต่างๆกัน	73
รูปที่ 8.22 แสดงความสัมพันธ์ระหว่าง VSWR และความถี่ของเสาอากาศเฟสอาร์เรย์ เมื่อปรับบีมหลักไปในทิศทางต่างๆกัน	73
รูปที่ 8.23 แสดงรูปแบบการกระจายคลื่น ในสถานะที่ 1 ($\theta=180^\circ$) (ก) จากการทดลอง (ข) จากทฤษฎี	74
รูปที่ 8.24 แสดงรูปแบบการกระจายคลื่น ในสถานะที่ 2 ($\theta=135^\circ$) (ก) จากการทดลอง (ข) จากทฤษฎี	75
รูปที่ 8.25 แสดงรูปแบบการกระจายคลื่น ในสถานะที่ 3 ($\theta=90^\circ$) (ก) จากการทดลอง (ข) จากทฤษฎี	76
รูปที่ 8.26 แสดงรูปแบบการกระจายคลื่น ในสถานะที่ 4 ($\theta=45^\circ$) (ก) จากการทดลอง (ข) จากทฤษฎี	77
รูปที่ 8.27 แสดงรูปแบบการกระจายคลื่น ในสถานะที่ 5 ($\theta=0^\circ$) (ก) จากการทดลอง (ข) จากทฤษฎี	78
รูปที่ 8.28 แสดงรูปแบบการกระจายคลื่น ในสถานะที่ 6 ($\theta=315^\circ$) (ก) จากการทดลอง (ข) จากทฤษฎี	79

เอกสารนี้เป็นเอกสารที่สงวนไว้สำหรับการใช้งานเพื่อการศึกษาเท่านั้น ไม่อนุญาตให้นำไปใช้ประโยชน์ด้านการค้า
ไม่ว่ากรณีใดๆ ทั้งสิ้น อีกทั้งห้ามมิให้ดัดแปลงเนื้อหา และต้องอ้างอิงถึงเจ้าของเอกสารทุกครั้งที่มีการนำไปใช้

	หน้า
รูปที่ 8.29 แสดงรูปแบบการกระจายคลื่น ในสถานะที่ 7 ($\beta=270^\circ$) (ก) จากการทดลอง (ข) จากทฤษฎี	80
รูปที่ 8.30 แสดงรูปแบบการกระจายคลื่น ในสถานะที่ 8 ($\beta=225^\circ$) (ก) จากการทดลอง (ข) จากทฤษฎี	81
รูปที่ 8.31 แสดงรูปแบบการกระจายคลื่นในระนาบอะซิมุต ความถี่ 880 MHz	82
รูปที่ 8.32 แสดงรูปแบบการกระจายคลื่นในระนาบอะซิมุต ความถี่ 900 MHz	83
รูปที่ 8.33 แสดงรูปแบบการกระจายคลื่นในระนาบอะซิมุต ความถี่ 915 MHz	84
รูปที่ 8.34 แสดงรูปแบบการกระจายคลื่นในระนาบอะซิมุต ความถี่ 920 MHz	85
รูปที่ 8.35 แสดงรูปแบบการกระจายคลื่นในระนาบเอลิเวชัน ความถี่ 880 MHz	86
รูปที่ 8.36 แสดงรูปแบบการกระจายคลื่นในระนาบเอลิเวชัน ความถี่ 900 MHz	87
รูปที่ 8.37 แสดงรูปแบบการกระจายคลื่นในระนาบเอลิเวชัน ความถี่ 915 MHz	88
รูปที่ 8.38 แสดงรูปแบบการกระจายคลื่นในระนาบอะซิมุต ความถี่ 920 MHz	89
รูปที่ 8.39 แสดงรูปแบบการกระจายคลื่น ในสถานะที่ 1 ($\beta=180^\circ$)	90
รูปที่ 8.40 แสดงรูปแบบการกระจายคลื่น ในสถานะที่ 2 ($\beta=135^\circ$)	90
รูปที่ 8.41 แสดงรูปแบบการกระจายคลื่น ในสถานะที่ 3 ($\beta=90^\circ$)	91
รูปที่ 8.42 แสดงรูปแบบการกระจายคลื่น ในสถานะที่ 4 ($\beta=45^\circ$)	91
รูปที่ 8.43 แสดงรูปแบบการกระจายคลื่น ในสถานะที่ 5 ($\beta=0^\circ$)	92
รูปที่ 8.44 แสดงรูปแบบการกระจายคลื่น ในสถานะที่ 6 ($\beta=315^\circ$)	92
รูปที่ 8.45 แสดงรูปแบบการกระจายคลื่น ในสถานะที่ 7 ($\beta=270^\circ$)	93

เอกสารนี้เป็นเอกสารที่สงวนไว้สำหรับการใช้งานเพื่อการศึกษาเท่านั้น ไม่อนุญาตให้นำไปใช้ประโยชน์ด้านการค้า
ไม่ว่ากรณีใดๆ ทั้งสิ้น อีกทั้งห้ามมิให้ดัดแปลงเนื้อหา และต้องอ้างอิงถึงเจ้าของเอกสารทุกครั้งที่มีการนำไปใช้

	หน้า
รูปที่ 8.46 แสดงรูปแบบการกระจายคลื่น ในสถานะที่ 8 ($\beta=225^\circ$)	93
รูปที่ 8.47 แสดงความสัมพันธ์ระหว่างระดับสัญญาณสูงสุดของบีมหลัก และมุมของบีมหลัก ในสถานะต่างๆ ที่ความถี่ 915 MHz	94
รูปที่ 9.1 แสดงรูปแบบการกระจายคลื่นเปรียบเทียบกับที่ระยะต่างๆ	100
รูปที่ ก.1 แสดงลักษณะการวางสายอากาศไดโพลเหนือบนกราวนด์เพลน	106
รูปที่ ข.1 แสดงค่าอินพุทอิมพีแดนซ์ของสายอากาศไดโพล วางขนานอยู่เหนือบนกราวนด์เพลนสัมพันธ์กับระยะห่างจากกราวนด์เพลน	108



เอกสารนี้เป็นเอกสารที่สงวนไว้สำหรับการใช้งานเพื่อการศึกษาเท่านั้น ไม่อนุญาตให้นำไปใช้ประโยชน์ด้านการค้า
ไม่ว่ากรณีใดๆ ทั้งสิ้น อีกทั้งห้ามมิให้ดัดแปลงเนื้อหา และต้องอ้างอิงถึงเจ้าของเอกสารทุกครั้งที่มีการนำไปใช้

คำอธิบายสัญลักษณ์

- AF : ตัวประกอบอาร์เรย์ (Array Factor)
- a_n : สัมประสิทธิ์การป้อนกระแสสัญญาณ (Excitation Coefficient)
- α : ค่าลดทอนสัญญาณ (Attenuation)
- β : ความต่างเฟส (phase difference)
- D_o : โดเร็คติวิตี (Directivity)
- D_g : โดเร็คทีฟเกน (Directive Gain)
- d : ระยะห่างระหว่างแต่ละเอลีเมนต์ของอาร์เรย์
- ϵ_r : เปรอัมิตติวิตีสัมพัทธ์ (Relative Permittivity)
- ϵ_{eff} : เปรอัมิตติวิตีประสิทธิผล (Effective Permittivity)
- f : บีมบรอดเดนนิงแฟคเตอร์ (Beam Broadening Factor)
- h : ความหนาของไมโครสตริปไลน์
- k : เวฟเนอัมเบอร์ (Wave Number)
- L : ความยาวทั้งหมดของอาร์เรย์
- η : อินทรินสิคอิมพีแดนซ์ (Intrinsic Impedance)
- P_{rad} : กำลังงานที่แผ่กระจายคลื่นของสายอากาศ
- $\Delta\theta$: มุมเฟสที่เลื่อนไป (phase shift)
- R_o : อัตราส่วนโวลเตจ ของเมนโวลกับไซด์โวล
- λ_d : ความยาวคลื่นในสารไดอิเล็กตริก
- λ_o : ความยาวคลื่นในฟรีสเปซ
- $T_m(z)$: เซบบีเชนโพลีโนเมียลอันดับที่ m
- θ_h : ฮาล์ฟเพาเวอร์บีมวิดท์ (Half Power Beamwidth)
- W : ความกว้างของไมโครสตริปไลน์
- Z_{NN} : เซลฟ์อิมพีแดนซ์ของเอลีเมนต์ที่ N (Self Impedance)
- Z_{MN} : มิวชวลอิมพีแดนซ์ของเอลีเมนต์ที่ MN (Mutual Impedance)
- Z_o : คาร์แรคเตอร์ริสติกอิมพีแดนซ์ (Characteristics Impedance)

เอกสารนี้เป็นเอกสารที่สงวนไว้สำหรับการใช้งานเพื่อการศึกษาเท่านั้น ไม่อนุญาตให้นำไปใช้ประโยชน์ด้านการค้า
ไม่ว่ากรณีใดๆ ทั้งสิ้น อีกทั้งห้ามมิให้ดัดแปลงเนื้อหา และต้องอ้างอิงถึงเจ้าของเอกสารทุกครั้งที่มีการนำไปใช้

บทที่ 1

บทนำ

1-1 กล่าวนำ

ในระบบสายอากาศเรดาร์นั้น ต้องทำให้มีการกวาด (Scanning) บีมของสายอากาศ (Antenna Beam) เพื่อให้สามารถตรวจจับวัตถุเป้าหมายได้รอบทิศทาง ซึ่งแต่ก่อนการกวาดบีมของสายอากาศทำได้โดยการหมุนสายอากาศไปรอบตัวด้วยวิธีทางกลอาศัยมอเตอร์ ต่อมาระหว่างสงครามโลกครั้งที่ 2 (ค.ศ. 1930) ได้มีการริเริ่มนำสายอากาศเฟสอาร์เรย์มาใช้กับระบบสายอากาศเรดาร์ดังกล่าว โดยทำการกวาดบีมหลักของสายอากาศด้วยวิธีทางไฟฟ้า ซึ่งมีความรวดเร็วกว่าการใช้มอเตอร์หมุนตัวสายอากาศมาก ทั้งนี้ความต้องการเบื้องต้นของสายอากาศเฟสอาร์เรย์ในสมัยนั้น ก็คือนำไปใช้เป็นระบบป้องกันจรวดขีปนาวุธในสนามรบ [1] แต่ในปัจจุบันวิธีการดังกล่าวได้ถูกนำมาใช้เป็นประโยชน์มากมาย เช่น ใช้ในระบบการค้นหาติดตามตำแหน่งของดาวเทียมรวมทั้งอากาศยานต่างๆ

โดยทั่วไปการกวาดบีมหลักของสายอากาศนั้น มีหลักการสำคัญอยู่ 2 หลักการ คือ ใช้วิธีการปรับเฟสของกระแสที่ป้อนให้แก่สายอากาศอาร์เรย์ (Phase Scanning Array) และใช้วิธีการเปลี่ยนความถี่ของกระแสที่ป้อนให้แก่สายอากาศอาร์เรย์ (Frequency Scanning Array) [2],[3] สำหรับวิทยานิพนธ์ฉบับนี้ ได้กล่าวถึงเฉพาะสายอากาศเฟสอาร์เรย์ หรือสายอากาศที่มีการกวาดบีมหลัก โดยวิธีการปรับเฟสของกระแสที่ป้อนให้แก่ สายอากาศอาร์เรย์เท่านั้น

ส่วนประกอบของสายอากาศเฟสอาร์เรย์ ที่ได้ออกแบบสร้างขึ้นนี้เป็นสายอากาศไดโพลขนาดยาวครึ่งความยาวคลื่น วางเรียงกันเป็นอาร์เรย์แบบระนาบสี่เหลี่ยมผืนผ้าเหนือบนกราวนด์เพลนจำนวน 4x8 เอลิเมนต์ มีวงจรเลื่อนเฟสโดยใช้นิโคโดคขนาด 3 บิท จำนวน 8 เอลิเมนต์ เพื่อควบคุมการกวาดบีมหลักของสายอากาศในระนาบอะซิมุท โดยใช่วงจรแบ่งแยกกำลังและวงจรลดทอนสัญญาณ เพื่อควบคุมการป้อนขนาดของกระแสสัญญาณให้มีรูปแบบการไม่เท่ากันใดๆ ทั้งสิ้น อีกทั้งห้ามมิให้ตัดแปลงเนื้อหา และต้องอ้างอิงถึงเจ้าของเอกสารทุกครั้งที่มีการนำไปใช้

กระจายคลื่นตามที่ต้องการ

1-2 วัตถุประสงค์ในการทำวิทยานิพนธ์

จากที่กล่าวนำมาข้างต้น เป็นการแนะนำเกี่ยวกับหลักการและข้อดีของสายอากาศเฟสอาร์เรย์ ซึ่งสาระในวิทยานิพนธ์ฉบับนี้เป็นการศึกษาและพัฒนารูปแบบเพื่อวิจัยหลักการเบื้องต้น ของระบบสายอากาศเรดาร์ที่ใช้การกวาด빔ด้วยวิธีทางไฟฟ้า ทั้งนี้ได้นำมาใช้เป็นประโยชน์เพื่อประกอบการอธิบายแสดงทฤษฎีของสายอากาศอาร์เรย์ และใช้เป็นอุปกรณ์ในการทดลองให้แก่ นักศึกษา วิทยานิพนธ์ฉบับนี้ มุ่งหวังที่จะให้เป็นแนวทางในการศึกษาเพื่อสร้างสรรค์ให้นักศึกษา นำไปประยุกต์และพัฒนาสำหรับใช้งานในด้านการสื่อสารต่อไป

1-3 โครงประกอบของวิทยานิพนธ์

วิทยานิพนธ์ฉบับนี้ ได้แบ่งเนื้อหาออกเป็น 9 บท โดยมีบทนำอยู่ในบทที่ 1 เป็นการกล่าวแนะนำข้อดี หลักการเบื้องต้นและวัตถุประสงค์ในการทำวิทยานิพนธ์ ส่วนรายละเอียดของบทต่างๆอีก 8 บท มีดังต่อไปนี้ คือ

- บทที่ 2 กล่าวถึงทฤษฎีสายอากาศอาร์เรย์ แบ่งเป็นสายอากาศอาร์เรย์แบบเส้นตรง และสายอากาศอาร์เรย์แบบระนาบ เป็นการแนะนำหลักการพิจารณาลักษณะการวางตำแหน่ง และเฟสในแต่ละเอลีเมนต์ของสายอากาศอาร์เรย์ เพื่อคำนวณหาคุณสมบัติของการแพร่กระจายคลื่น โดยหัวข้อสุดท้ายเป็นเรื่องของสายอากาศเฟสอาร์เรย์ ซึ่งได้แสดงการปรับทิศทางของ빔หลักของสายอากาศอาร์เรย์ ด้วยการปรับเฟสของกระแสสัญญาณที่ป้อนให้แก่สายอากาศแต่ละเอลีเมนต์ โดยได้แสดงความสัมพันธ์ระหว่างการเปลี่ยนแปลงทิศทางในการแพร่กระจายคลื่นและการเปลี่ยนแปลงเฟสของกระแสสัญญาณดังกล่าว

- บทที่ 3 เป็นการกล่าวถึงคุณสมบัติ ของสายอากาศอาร์เรย์ที่ควรสนใจ ได้แก่สนามลัมพ์ของสายอากาศอาร์เรย์ ซึ่งมีส่วนประกอบที่สำคัญสำหรับการคำนวณหาสนามลัมพ์ของสายอากาศอาร์เรย์ นั่นคือค่าตัวประกอบอาร์เรย์ โดยพิจารณาจากหลักการคุณรูปแบบการกระจายคลื่น และนอกจากนี้ได้แสดงการหาค่าได้เรดิแควิตี้และค่าอิมพีแดนซ์ของสายอากาศอาร์เรย์ด้วย

อนุญาตให้นำไปใช้ประโยชน์ด้านการค้า
ไม่ว่ากรณีใดๆ ทั้งสิ้น อีกทั้งห้ามมิให้ตัดแปลงเนื้อหา และต้องอ้างอิงถึงเจ้าของเอกสารทุกครั้งที่มีการนำไปใช้

- บทที่ 4 เป็นเรื่องการสังเคราะห์รูปแบบการกระจายคลื่น ของสายอากาศอาร์เรย์ ได้แก่การสังเคราะห์ให้มีบีบหลักแคบ ระดับของไซด์โหลบต่ำ โดยใช้เซปปีเซพโพลีโนเมียล และการสังเคราะห์เซคเตอร์แบทเทิร์นโดยวิธีการแปลงของฟูเรียร์ โดยกล่าวถึงเหตุผลในการใช้วิธีการดังกล่าวเพื่อการสังเคราะห์รูปแบบการกระจายคลื่นตามที่ต้องการ รวมทั้งได้แสดงวิธีการในการคำนวณเอาไว้ในตอนท้ายของบท

- บทที่ 5 กล่าวถึงวงจรเลื่อนเฟสโดยใช้พินไดโอด เป็นการแสดงวิธีการออกแบบส่วนประกอบของวงจรเลื่อนเฟสแบบสะท้อนโดยใช้พินไดโอด คือ ส่วนของวงจรบรานช์ไลน์ไฮบริดคัปเปิลเลอร์ และส่วนของวงจรแมทชิงแบบทรานส์มิชชันไลน์ทรานส์ฟอร์มเมอร์ โดยได้กล่าวแนะนำถึงลักษณะและวงจรสมมูลย์ของพินไดโอด ไว้ในตอนต้นของบท

- บทที่ 6 เป็นเรื่องของส่วนการป้อนกระแสสัญญาณให้แก่สายอากาศอาร์เรย์ เพื่อควบคุมขนาดของกระแสที่ป้อนให้แก่สายอากาศอาร์เรย์ ซึ่งมีส่วนประกอบอยู่ 2 ส่วน คือ ส่วนของวงจรแบ่งแยกกำลัง และวงจรลดทอนสัญญาณ

- บทที่ 7 ได้แสดงวิธีการคำนวณและออกแบบสร้าง ส่วนประกอบต่างๆของสายอากาศเฟสอาร์เรย์ โดยนำทฤษฎีและวิธีการคำนวณในบทก่อนนี้ มาแทนค่า พร้อมทั้งแสดงผลของการคำนวณเอาไว้ด้วย

- บทที่ 8 ได้แสดงให้เห็นถึงวิธีการทดลองวัดคุณสมบัติต่างๆ ที่ควรรสนใจของสายอากาศเฟสอาร์เรย์ ได้แก่ รูปแบบการกระจายคลื่นที่มีบีบหลักในทิศทางต่างกัน 8 ทิศทาง ตามที่ได้กำหนดไว้ในแนวความคิดเบื้องต้น รวมทั้งแสดงการวัดค่าเกน, ค่า VSWR โดยได้แสดงผลของการทดลองไว้ในรูปของกราฟและตาราง นอกจากนี้ได้แสดงผลการทดลองวัดคุณสมบัติ ของส่วนประกอบย่อยในแต่ละส่วน เพิ่มเติมเอาไว้พอสังเขป

- บทที่ 9 เป็นการสรุปและวิจารณ์ ผลของการศึกษาและทำวิทยานิพนธ์ฉบับนี้ทั้งหมด พร้อมทั้งได้เสนอแนะแนวทางในการศึกษา ให้แก่ผู้ที่สนใจจะศึกษาเรื่องสายอากาศเฟสอาร์เรย์นี้ต่อไป

บทที่ 2
ทฤษฎีสายอากาศอาร์เรย์
(Array Theory)

2-1 กล่าวนำ

คุณสมบัติในการแพร่กระจายคลื่น ของสายอากาศเอลีเมนต์เดี่ยวจะมีรูปแบบการกระจายคลื่นที่มีบีบอัดค่อนข้างกว้าง และมีเกนต่ำ แต่ในการใช้งานบางอย่าง อาจมีความต้องการสายอากาศที่มีเกนสูง วิธีการเพิ่มเกนของสายอากาศสามารถทำได้โดยการเพิ่มขนาดของสายอากาศให้ใหญ่ขึ้น หรือใช้วิธีอื่นที่ไม่อาศัยการเพิ่มขนาดของสายอากาศให้ใหญ่ขึ้น นั่นก็คือใช้การเพิ่มจำนวนสายอากาศให้เป็นหลายๆเอลีเมนต์ โดยทำการจัดสายอากาศหลายเอลีเมนต์นี้ทั้งทางรูปร่างและทางไฟฟ้า จะทำให้สายอากาศสามารถแพร่กระจายคลื่นได้อย่างเหมาะสม ซึ่งสายอากาศแบบนี้มีชื่อว่า สายอากาศอาร์เรย์ (Array Antenna)

ในการหาสนามลิ้นของสายอากาศอาร์เรย์ ทำได้โดยการรวมสนามที่แพร่กระจายจากแต่ละเอลีเมนต์ ตามหลักการของเวกเตอร์ โดยทำให้สนามจากแต่ละเอลีเมนต์มาเสริมกัน ในทิศทางที่ต้องการให้สนามลิ้นมีค่าสูง และมาหักล้างกันในทิศทางที่ต้องการให้สนามลิ้นมีค่าต่ำ รูปแบบการกระจายคลื่นของสายอากาศอาร์เรย์ สามารถควบคุมได้โดยพิจารณาจากข้อจำกัด 5 ข้อ [4] ดังต่อไปนี้คือ

1. การจัดเรียงตัวของเอลีเมนต์ในอาร์เรย์
2. ระยะห่างสัมพัทธ์ระหว่างเอลีเมนต์แต่ละตัว
3. ขนาดของกระแสที่ป้อนให้แต่ละเอลีเมนต์
4. เฟสของกระแสที่ป้อนให้แต่ละเอลีเมนต์
5. รูปแบบการกระจายคลื่นสัมพัทธ์ของแต่ละเอลีเมนต์

อิทธิพลของข้อจำกัดทั้ง 5 ประการข้างต้นนี้ จะมีผลต่อการแพร่กระจายคลื่นทั้งหมด แต่ส่วนที่มีผลต่อทิศทางของบีบอัดมากที่สุด ก็คือเฟสของกระแสที่ป้อนให้แต่ละเอลีเมนต์

เอกสารนี้เป็นเอกสารที่สงวนไว้สำหรับการใช้งานเพื่อการศึกษาเท่านั้น ไม่อนุญาตให้นำไปใช้ประโยชน์ด้านการค้าไม่ว่ากรณีใดๆ ทั้งสิ้น อีกทั้งห้ามมิให้ดัดแปลงเนื้อหา และต้องอ้างอิงถึงเจ้าของเอกสารทุกครั้งที่มีการนำไปใช้

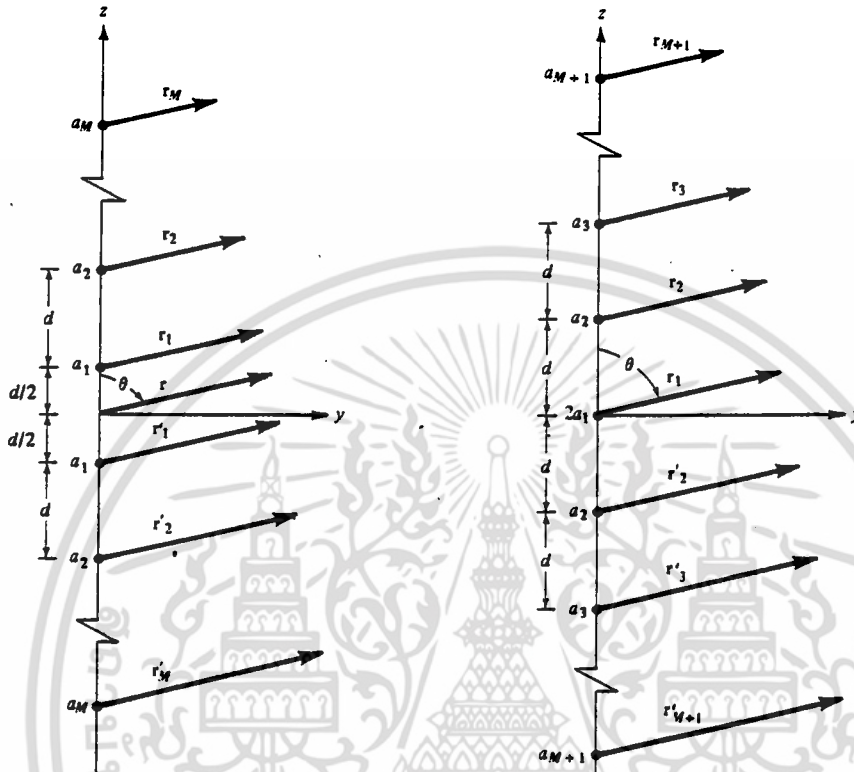
ในบทนี้จะได้นำ การพิจารณา ลักษณะการวางตำแหน่ง และเฟส ของสายอากาศอาร์เรย์ เพื่อให้ได้รูปแบบการกระจายคลื่นที่ดีกว่าสายอากาศ เดี่ยวเอลีเมนต์เดี่ยว โดยจะเริ่มพิจารณาจากสายอากาศหลายเอลีเมนต์แบบ จุดไอโซโทรปิกก่อน จากนั้นก็จะนำไปประยุกต์ใช้กับสายอากาศแบบอื่นภายหลัง

ในหัวข้อ 2-2 จะเป็นเรื่องของสายอากาศอาร์เรย์แบบเส้นตรง ที่มีระยะห่างระหว่างเอลีเมนต์เท่ากัน แต่มีการป้อนขนาดกระแสไม่สม่ำเสมอ ส่วนในหัวข้อ 2-3 จะเป็นเรื่องของสายอากาศอาร์เรย์แบบระนาบ ซึ่งเกิดจากการนำสายอากาศอาร์เรย์แบบเส้นตรง มาเรียงกันในระนาบ 2 มิติ เป็นรูปสี่เหลี่ยมผืนผ้า และในหัวข้อ 2-4 จะได้กล่าวถึงสายอากาศเฟสอาร์เรย์ เป็นหัวข้อสุดท้ายของบทนี้

2-2 สายอากาศอาร์เรย์แบบเส้นตรง (Linear Array)

ในหัวข้อนี้ จะพิจารณาลักษณะของการวางสายอากาศ เป็นอาร์เรย์แบบเส้นตรง ตามรูปที่ 2.1 ซึ่งเป็นการพิจารณากรณีของการกระจายคลื่นแบบบรอดไซด์อาร์เรย์ (Broadside Array) ที่มีระยะห่างระหว่างแต่ละเอลีเมนต์สม่ำเสมอ แต่มีการกระจายรูปแบบกระแสที่ป้อนให้แต่ละเอลีเมนต์ไม่สม่ำเสมอ เหตุที่ต้องพิจารณาถึงอาร์เรย์แบบนี้ ก็เนื่องจากการทำวิทยานิพนธ์ฉบับนี้ ได้มีจุดประสงค์ในการออกแบบให้อาร์เรย์ในแนวแกนนอน 8 เอลีเมนต์ มีการกระจายรูปแบบกระแสเป็นไปตาม เซบซีเซฟโพลีโนเมียล และอาร์เรย์ในแนวแกนตั้ง 4 เอลีเมนต์ มีการกระจายรูปแบบกระแสเป็นไปตาม วิธีการแปลงของฟูเรียร์ เพื่อสังเคราะห์รูปแบบการกระจายคลื่น ให้มีลักษณะเป็นแบบบีมวิดธ์แคบ ไซด์โลบต่ำ และเซคเตอร์แพทเทิร์น ตามลำดับ

รูปที่ 2.1 ได้แสดงให้เห็นถึงการจัดอาร์เรย์เป็น 2 กรณี คือเมื่อจำนวนเอลีเมนต์เป็นจำนวนคู่ และจำนวนคี่ วางเรียงตัวอยู่บนแกน z อย่างสมมาตรกันเมื่อเทียบกับจุดกำเนิด โดยมีระยะห่างระหว่างเอลีเมนต์เท่ากับ d เมื่อสมมติว่าขนาดของกระแสที่ป้อนให้แก่เอลีเมนต์ต่างๆ มีค่าสมมาตรกันทั้งสองด้านของจุดกำเนิดนี้แล้ว



ก) จำนวนเอลีเมนต์เป็นจำนวนคู่ ข) จำนวนเอลีเมนต์เป็นจำนวนคี่
รูปที่ 2.1 แสดงการวางอาร์เรย์ของจุดไอโซโทรปิกแบบเส้นตรง

คุณสมบัติเบื้องต้น ในการแพร่กระจายคลื่นของสายอากาศแบบนี้ ก็จะมียังคงคล้ายกับสายอากาศเพียงเอลีเมนต์เดี่ยว ที่ถูกปรับปรุงด้วยค่าตัวประกอบตัวหนึ่ง เรียกว่า ตัวประกอบอาร์เรย์ (Array Factor) ซึ่งรายละเอียดนั้นจะได้กล่าวแนะนำเพิ่มเติมต่อไปในบทที่ 3 แต่ในหัวข้อนี้ จะขอแสดงให้เห็นรูปลักษณะทางคณิตศาสตร์ของตัวประกอบอาร์เรย์แบบทั่วไปไว้ก่อน ดังต่อไปนี้ คือ

$$(AF)_{2M} = \sum_{n=1}^M a_n \cos[(2n-1)u+\delta] \quad (2.1)$$

และ $(AF)_{2M+1} = \sum_{n=1}^{M+1} a_n \cos[2(n-1)u+\delta] \quad (2.2)$

เอกสารนี้เป็นเอกสารที่สงวนไว้สำหรับการใช้งานเพื่อการศึกษาเท่านั้น ไม่อนุญาตให้นำไปใช้ประโยชน์ด้านการค้าไม่ว่ากรณีใดๆ ทั้งสิ้น อีกทั้งห้ามมิให้ดัดแปลงเนื้อหา และต้องอ้างอิงถึงเจ้าของเอกสารทุกครั้งที่มีการนำไปใช้

โดยในที่นี้ M เป็นเลขจำนวนเต็มใดๆ เท่ากับจำนวนเอลีเมนต์ทั้งหมด ที่อยู่บนแกน z ในทางบวก รวมทั้งบนจุดกำเนิด (ถ้ามี) เท่านั้น

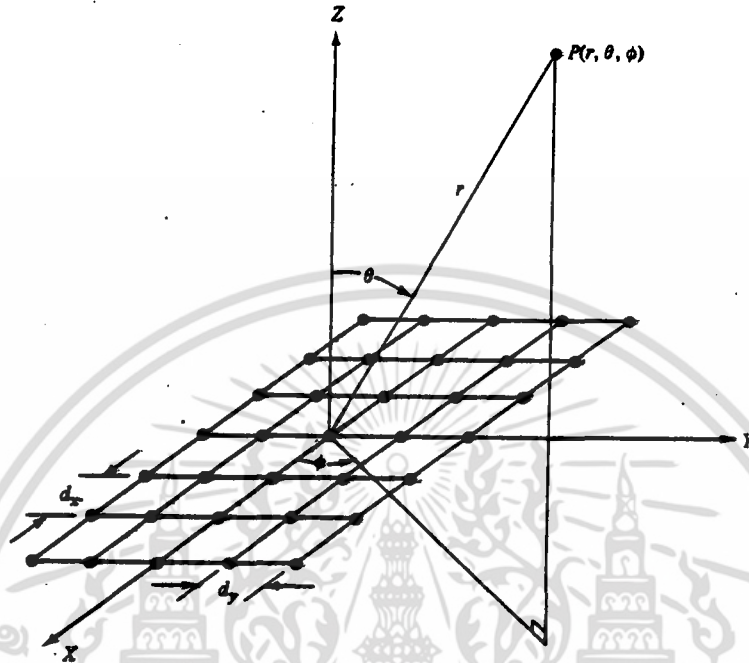
$u = (\pi d/\lambda) \cos \theta$, ρ เป็นความต่างเฟสของกระแสที่ป้อนให้แก่แต่ละเอลีเมนต์และ a_n เป็นสัมประสิทธิ์ของการป้อนขนาดกระแส ให้แต่ละเอลีเมนต์ เป็นที่ควรสังเกตว่า สมการที่ (2.1) และ (2.2) เป็นสมการสำหรับหาตัวประกอบอาร์เรย์ ที่มีจำนวนเอลีเมนต์เป็นจำนวนคู่ และจำนวนคี่ตามลำดับ

ลำดับต่อไปในการหาคคุณสมบัติเบื้องต้น ของการแพร่กระจายคลื่นของสายอากาศอาร์เรย์ คือจะต้องคำนวณหาค่าสัมประสิทธิ์การป้อนกระแสให้แก่แต่ละเอลีเมนต์ (a_n) จึงจะสามารถวิเคราะห์คุณสมบัติอื่นๆ ของอาร์เรย์ได้ต่อไปอีก วิธีการในการหาค่าสัมประสิทธิ์นี้มีหลายวิธี ขึ้นอยู่กับความต้องการในการสังเคราะห์สายอากาศอาร์เรย์ ซึ่งรายละเอียดจะกล่าวถึงต่อไปในบทที่ 4 ในเรื่องของการสังเคราะห์รูปแบบการกระจายคลื่นของสายอากาศอาร์เรย์

2-3 สายอากาศอาร์เรย์แบบระนาบ (Planar Array)

ในหัวข้อนี้จะเป็นการแนะนำสายอากาศอาร์เรย์แบบระนาบ ซึ่งก็คือการนำสายอากาศอาร์เรย์แบบเส้นตรง มาวางเรียงกันเป็นเหมือนตารางรูปสี่เหลี่ยมผืนผ้าหรือจัตุรัสก็ได้ สำหรับวิทยานิพนธ์ฉบับนี้จะออกแบบสายอากาศอาร์เรย์แบบระนาบสี่เหลี่ยมผืนผ้า ที่มีการควบคุมลักษณะและความสมมาตรของรูปแบบการกระจายคลื่นได้ด้วย นอกเหนือจากนี้ยังมีคุณสมบัติอื่นๆ ที่ดีอีกนั่นคือ มีระดับไซด์โพลต่ำ และมีโคเร็คติวิตีเพิ่มขึ้น ซึ่งจะได้นำไปใช้เป็นสายอากาศ เพื่อให้กวาดป้อนหลักไปในทิศทางต่างๆ

เช่นเดียวกับสายอากาศอาร์เรย์แบบเส้นตรง ก่อนอื่นจะต้องทราบค่าตัวประกอบอาร์เรย์ เพื่อจะวิเคราะห์คุณสมบัติของสายอากาศได้ต่อไป ให้พิจารณาจากโครงสร้างในรูปที่ 2.2 ถ้า M เป็นจำนวนของเอลีเมนต์ในแนวแกน x มีระยะห่างระหว่างเอลีเมนต์เท่ากับ d_x และ N เป็นจำนวนเอลีเมนต์ของอาร์เรย์ในทิศทาง y แต่ละเอลีเมนต์วางอยู่ห่างกันเท่ากับ d_y ถ้า ρ_x และ ρ_y เป็นความต่างเฟส ของกระแสที่ป้อนให้แก่แต่ละเอลีเมนต์ในแต่ละแกน เอกสารนี้เป็นเอกสารที่สงวนไว้สำหรับการใช้งานเพื่อการศึกษาเท่านั้น ไม่นิยมนำไปใช้ประโยชน์ด้านการค้า ไม่ว่าจะกรณีใดๆ ทั้งสิ้น อีกทั้งห้ามมิให้ดัดแปลงเนื้อหา และต้องอ้างอิงถึงเจ้าของเอกสารทุกครั้งที่มีการนำไปใช้



รูปที่ 2.2 แสดงโครงสร้างของสายอากาศอาร์เรย์แบบระนาบสี่เหลี่ยมผืนผ้า

ตามลำดับ จะได้ว่าค่าตัวประกอบอาร์เรย์ของสายอากาศอาร์เรย์แบบระนาบสี่เหลี่ยมผืนผ้า มีค่าดังนี้

$$AF = \sum_{n=-N}^N I_{1n} \left[\sum_{m=-M}^M I_{m1} \exp\{j(m-1)X\} \right] \exp\{j(n-1)Y\} \quad (2.3)$$

โดยที่ I_{1n} และ I_{m1} เป็นสัมประสิทธิ์ของการป้อนกระแสสัญญาณให้แก่แต่ละเอลิเมนต์ในแต่ละแกน ถ้ากำหนดให้

$$\begin{aligned} S_{xm} &= \sum_{m=-M}^M I_{m1} \exp\{j(m-1)X\} \\ &= \sum_{m=-M}^M I_{m1} \exp\{j(m-1)(kd_x \sin\theta \cos\phi + \beta_x)\} \quad (2.4) \end{aligned}$$

เอกสารนี้เป็นเอกสารที่สงวนไว้สำหรับการใช้งานเพื่อการศึกษาเท่านั้น ไม่อนุญาตให้นำไปใช้ประโยชน์ด้านการค้า ไม่ว่ากรณีใดๆ ทั้งสิ้น อีกทั้งห้ามมิให้ดัดแปลงเนื้อหา และต้องอ้างอิงถึงเจ้าของเอกสารทุกครั้งที่มีการนำไปใช้

$$\begin{aligned} \text{และ } S_{yn} &= \sum_{n=-N}^N I_{1n} \exp\{j(n-1)Y\} \\ &= \sum_{n=-N}^N I_{1n} \exp\{j(n-1)(kd_y \sin\theta \sin\phi + \beta_y)\} \end{aligned} \quad (2.5)$$

จะได้ว่า

$$AF = S_{xm} S_{yn} \quad (2.6)$$

สมการ (2.6) แสดงให้เห็นว่าตัวประกอบอาร์เรย์ของสายอากาศอาร์เรย์แบบระนาบสี่เหลี่ยมผืนผ้านี้เท่ากับผลคูณของตัวประกอบอาร์เรย์ในทิศทาง x และ y ซึ่งจะนำไปใช้ในการคำนวณหารูปแบบการกระจายคลื่น ได้โดยอาศัยหลักการคูณรูปแบบการกระจายคลื่น ดังจะกล่าวถึงต่อไปในบทที่ 3

2-4 สายอากาศเฟสอาร์เรย์ (Phased Array)

ในสองหัวข้อที่ผ่านมา เป็นพื้นฐานเบื้องต้นของสายอากาศอาร์เรย์ที่มีทิศทางของการแพร่กระจายคลื่นคงที่ เมื่อกำหนดให้ไม่มีความต่างเฟสของแต่ละเอลีเมนต์ แต่ด้วยการควบคุมเฟสของกระแสที่ป้อนให้แก่สายอากาศอาร์เรย์แต่ละเอลีเมนต์มีค่าแตกต่างกัน ทำให้สามารถปรับทิศทางของการแพร่กระจายคลื่นได้ตามต้องการ ซึ่งจะแสดงให้เห็นเข้าใจได้ด้วยสมการ (2.1) หรือ (2.2) ค่าตัวประกอบอาร์เรย์นี้ จะขึ้นอยู่กับค่าความต่างเฟสของกระแสที่ป้อนให้แก่แต่ละเอลีเมนต์ในอาร์เรย์ ตัวอย่างเช่นในกรณีของสายอากาศอาร์เรย์แบบเส้นตรงจำนวน N เอลีเมนต์ มีขนาดของกระแสที่ป้อนให้แก่แต่ละเอลีเมนต์เท่ากัน เมื่อมีความต่างเฟสระหว่างกันเท่ากับ 0 องศา คือมีเฟสเดียวกัน จะมีทิศทางการแพร่กระจายคลื่นตั้งฉากกับแนวสายอากาศอาร์เรย์ เรียกว่าบรอดไซด์อาร์เรย์ (Broadside Array) และเมื่อมีความต่างเฟสระหว่างกันเท่ากับ $\pm kd$ องศา จะมีทิศทางการแพร่กระจายคลื่น ตามแนวแกนของสายอากาศอาร์เรย์ เรียกว่าเอ็นด์ไฟร์อาร์เรย์ (End-Fire Array) [4] ทั้งนี้จะแสดงได้ด้วยความสัมพันธ์

ดังนี้ คือเป็นเอกสารที่สงวนไว้สำหรับการใช้งานเพื่อการศึกษาเท่านั้น ไม่อนุญาตให้นำไปใช้ประโยชน์ด้านการค้าไม่ว่ากรณีใดๆ ทั้งสิ้น อีกทั้งห้ามมิให้ดัดแปลงเนื้อหา และต้องอ้างอิงถึงเจ้าของเอกสารทุกครั้งที่มีการนำไปใช้

$$AF = \sum_{n=1}^N \exp\{j(n-1)\psi\} \quad (2.7)$$

เมื่อ $\psi = kd \cos\theta + \beta$ (2.8)

โดยที่ค่าตัวประกอบอาร์เรย์ จะมีค่าสูงสุด เมื่อค่า $\psi = 0$ ดังนั้นจะได้ว่า

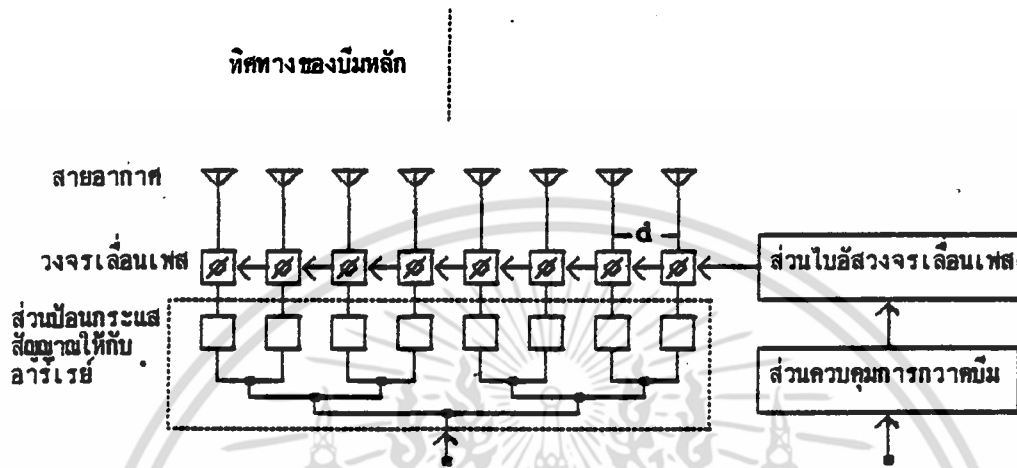
$$\beta = -kd \cos\theta_0$$

(2.9)

เมื่อ β เป็นความต่างเฟสของกระแสในแต่ละเอลิเมนต์ และ θ_0 เป็นมุมที่ทิศทางการแพร่กระจายคลื่นมีค่าสูงสุด

ดังนั้น เมื่อสามารถปรับเฟสของกระแสที่ป้อนให้แก่อาร์เรย์ แต่ละเอลิเมนต์ได้ ก็จะทำให้ทิศทางการแพร่กระจายคลื่นที่มีค่าสูงสุด เปลี่ยนไปได้ตามต้องการ และนี่คือแนวความคิดในหลักการพื้นฐานของสายอากาศอาร์เรย์ที่เรียกว่าสแกนนิ่งอาร์เรย์ (Scanning Array) [2] ซึ่งในทางปฏิบัติจะมีวงจรอิเล็กทรอนิกส์ใช้ในการควบคุมการเปลี่ยนแปลงของเฟส นั่นก็คือวงจรเลื่อนเฟส (Phase Shifter) ที่จะได้กล่าวถึง ในบทที่ 5 ต่อไป รูปที่ 2.3 เป็นภาพประกอบของสายอากาศเฟสอาร์เรย์ [9] ซึ่งจะช่วยให้เห็นภาพพจน์ตามหลักการที่กล่าวมาแล้วได้ดียิ่งขึ้น

เอกสารนี้เป็นเอกสารที่สงวนไว้สำหรับการใช้งานเพื่อการศึกษาเท่านั้น ไม่อนุญาตให้นำไปใช้ประโยชน์ด้านการค้าไม่ว่ากรณีใดๆ ทั้งสิ้น อีกทั้งห้ามมิให้ดัดแปลงเนื้อหา และต้องอ้างอิงถึงเจ้าของเอกสารทุกครั้งที่มีการนำไปใช้



รูปที่ 2.3 แสดงส่วนประกอบของสายอากาศเฟสอาร์เรย์

เอกสารนี้เป็นเอกสารที่สงวนไว้สำหรับการใช้งานเพื่อการศึกษาเท่านั้น ไม่อนุญาตให้นำไปใช้ประโยชน์ด้านการค้า ไม่ว่าจะกรณีใดๆ ทั้งสิ้น อีกทั้งห้ามมิให้ดัดแปลงเนื้อหา และต้องอ้างอิงถึงเจ้าของเอกสารทุกครั้งที่มีการนำไปใช้

บทที่ 3

คุณสมบัติของสายอากาศอาร์เรย์

3-1 สนามลัพท์และหลักการคูณรูปแบบการกระจายคลื่น

ในบทที่ 2 ได้กล่าวถึงทฤษฎีสายอากาศอาร์เรย์ โดยแนะนำลักษณะ และคุณสมบัติของอาร์เรย์ที่เป็นจุดไอโซทรอปิกเท่านั้น ซึ่งแสดงให้เห็นด้วยค่าตัวประกอบอาร์เรย์ สำหรับในหัวข้อนี้จะได้ กล่าวแนะนำเพิ่มเติมเกี่ยวกับตัวประกอบอาร์เรย์ เนื่องจากในทางปฏิบัติจริง เอลิเมนต์ของสายอากาศอาร์เรย์มิได้เป็นจุดไอโซทรอปิก เพราะว่าเอลิเมนต์แบบจุดไอโซทรอปิกนี้ จะเป็นสายอากาศในทางอุดมคติ ดังนั้นการคำนวณค่าสนามลัพท์ของสายอากาศอาร์เรย์ที่ใช้ทำเป็นเอลิเมนต์ในทางปฏิบัติจริง จะต้องมีการคำนวณที่แตกต่างจากอาร์เรย์ของจุดไอโซทรอปิก แต่อย่างไรก็ตาม จะพบว่าตัวประกอบอาร์เรย์ของจุดไอโซทรอปิกที่ได้กล่าวมาแล้ว ยังคงมีบทบาทที่สำคัญในการคำนวณหาสนามลัพท์หรือรูปแบบการกระจายคลื่น ของสายอากาศอาร์เรย์ทั้งหลายด้วย

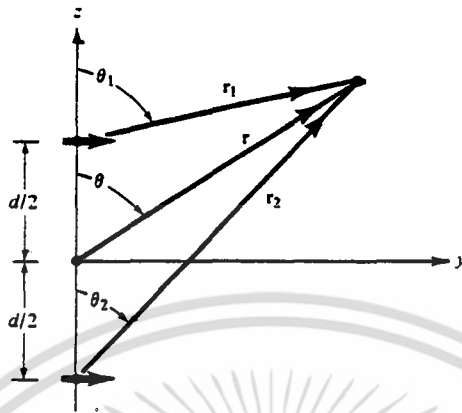
เพื่อแสดงให้เห็นอย่างง่าย ๆ จะขอยกตัวอย่างสายอากาศไดโพลจิ๋ว (Infinitesimal Dipole) 2 เอลิเมนต์ (ไดโพลจิ๋วเป็นไดโพลที่มีความยาวน้อยมากเมื่อเทียบกับความยาวคลื่น) วางเรียงเป็นอาร์เรย์ตามแนวนอนอยู่บนแกน z ดังแสดงในรูปที่ 3.1 โดยไม่คำนึงถึงการคัปปลิงระหว่างเอลิเมนต์ทั้งสอง ค่าสนามลัพท์ที่แพร่กระจายจากสายอากาศอาร์เรย์สองเอลิเมนต์นี้ จะเกิดจากผลรวมทางเวกเตอร์ที่เกิดจากสนามของสายอากาศทั้งสอง ในระนาบ y-z ซึ่งมีค่า ดังนี้ คือ

$$\vec{E}_{\text{total}} = \vec{a}_\theta j\eta \frac{kI_0}{4\pi r} e^{-jkr} |\cos\theta| 2\cos\left[\frac{1}{2}(kd \cos\theta + \beta)\right] \quad (3.1)$$

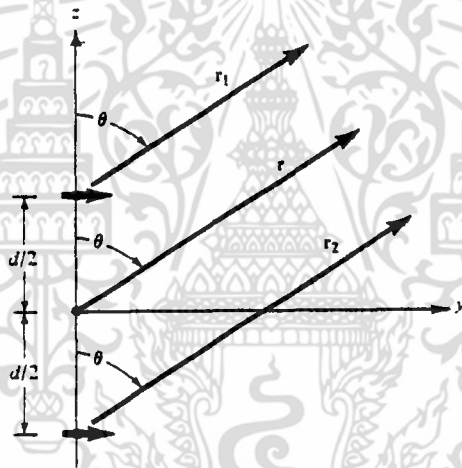
จากสมการที่ (3.1) แสดงให้เห็นว่าสนามลัพท์ของไดโพลจิ๋ว 2 เอลิเมนต์ มีค่าเท่ากับสนามของสายอากาศเอลิเมนต์เดี่ยว ที่วางอยู่บนจุดกำเนิด คูณด้วยตัวประกอบตัวหนึ่งซึ่งเรียกว่า ตัวประกอบอาร์เรย์ (Array Factor) ในกรณีนี้ตัวประกอบอาร์เรย์ที่นอร์มอลไรซ์แล้ว ของไดโพลจิ๋วสอง

เอกสารนี้เป็นเอกสารที่สงวนไว้สำหรับการใช้งานเพื่อการศึกษาเท่านั้น เมื่ออนุญาตให้นำไปเผยแพร่โดยไม่เสียค่าใช้จ่าย

ไม่ว่ากรณีใดๆ ทั้งสิ้น อีกทั้งห้ามมิให้ตัดแปลงเนื้อหา และต้องอ้างอิงถึงเจ้าของเอกสารทุกครั้งที่มีการนำไปใช้



(ก) สายอากาศไดโพล 2 เอลิเมนต์



(ข) การพิจารณาสนามระยะไกล

รูปที่ 3.1 แสดงการวางตัวของสายอากาศไดโพลจิว 2 เอลิเมนต์

เอลิเมนต์ (ที่มีขนาดของกระแสที่ป้อนให้แต่ละเอลิเมนต์เท่ากัน) จะมีค่าดังนี้ คือ

$$(AF)_{\text{normalized}} = \cos\left[\frac{1}{2}(kd \cos\theta + \beta)\right] \quad (3.2)$$

จะเห็นว่าตัวประกอบอาร์เรย์เป็นฟังก์ชันขึ้นกับรูปร่างของอาร์เรย์เอง รวมทั้งขึ้นอยู่กับ เฟสของการป้อนกระแสให้กับเอลิเมนต์ของอาร์เรย์ ซึ่งทำให้สามารถควบคุมสนามลัพท์ ของอาร์เรย์ได้ โดยเปลี่ยนแปลงระยะห่าง d และ/หรือ ความต่างเฟส β ระหว่างแต่ละเอลิเมนต์ เพราะฉะนั้นการหาเอกสารนี้เป็นเอกสารที่สงวนไว้สำหรับการใช้งานเพื่อการศึกษาเท่านั้น ไม่อนุญาตให้นำไปใช้ประโยชน์ด้านการค้า ไม่ว่ากรณีใดๆ ทั้งสิ้น อีกทั้งห้ามมิให้ดัดแปลงเนื้อหา และต้องอ้างอิงถึงเจ้าของเอกสารทุกครั้งที่มีการนำไปใช้

สนามลัทธิระยะไกล หรือรูปแบบการกระจายคลื่นของสายอากาศอาร์เรย์ใดๆ จะสรุปได้ว่ามีค่าเท่ากับ ผลคูณของสนามสายอากาศเอลีเมนต์เดี่ยว ที่จุดอ้างอิง จุดหนึ่ง (ปกติเลือกที่จุดกำเนิด) กับค่าตัวประกอบอาร์เรย์ของจุดไอโซโทรปิก นั้นคือ

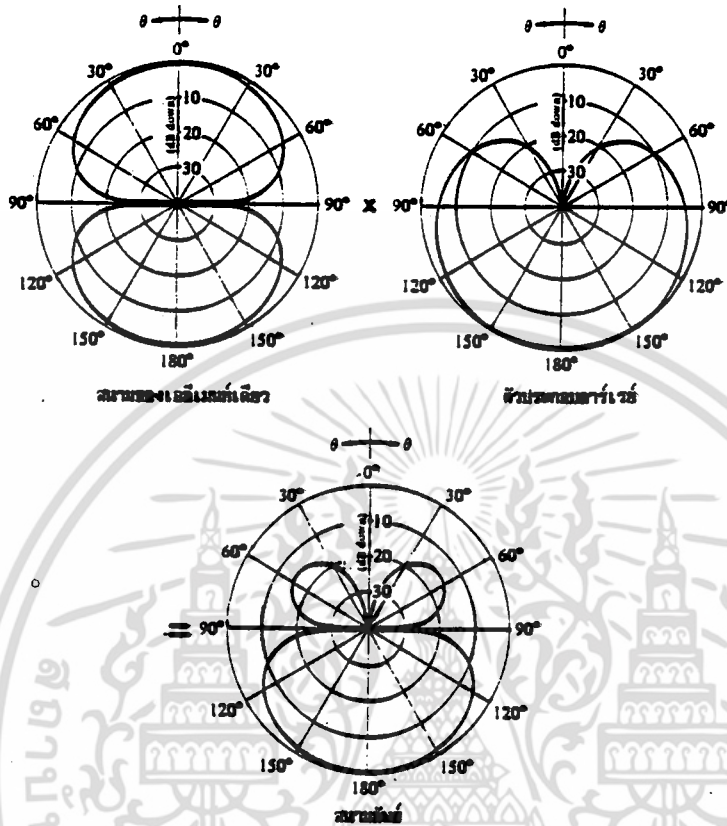
$$E(\text{ผลลัพธ์}) = [E(\text{สายอากาศเอลีเมนต์เดี่ยว})] \times [\text{ตัวประกอบอาร์เรย์}] \quad (3.3)$$

สมการที่ (3.3) นี้เรียกว่า หลักการคูณรูปแบบการกระจายคลื่น (Principles of Pattern Multiplication)[4] ซึ่งหลักการนี้สามารถใช้กับสายอากาศอาร์เรย์ที่มีจำนวนเอลีเมนต์เท่าใดก็ได้ โดยที่มีสายอากาศแต่ละเอลีเมนต์เป็นชนิดเดียวกัน ทั้งนี้ไม่จำเป็นต้องมีขนาดหรือเฟสของกระแสที่ป้อนให้แต่ละเอลีเมนต์เหมือนกัน

เนื่องจากตัวประกอบอาร์เรย์ ไม่ได้ขึ้นอยู่กับลักษณะในการมีทิศทางของเอลีเมนต์ที่แพร่กระจายคลื่น ดังนั้นจึงอาจจะแทนค่าตัวประกอบอาร์เรย์ของเอลีเมนต์จริงใดๆ ด้วยตัวประกอบอาร์เรย์ของจุดไอโซโทรปิก และทำให้ค่าสนามลัทธิของสายอากาศอาร์เรย์ใดๆ ในสมการที่ (3.3) หาได้จากสนามของสายอากาศจริงๆเอลีเมนต์เดี่ยว คูณกับตัวประกอบอาร์เรย์ของจุดไอโซโทรปิก เพื่อให้เข้าใจในหลักการคูณรูปแบบการกระจายคลื่นได้ดีขึ้น จึงจะขอยกตัวอย่างพร้อมทั้งแสดงรูปแบบการกระจายคลื่น ของสายอากาศไดโพลจั่ว 2 เอลีเมนต์ ที่มีคุณสมบัติเหมือนกัน มีระยะห่างระหว่างกันเท่ากับ $\lambda/4$ และมีเฟสต่างกัน $+90$ องศา ดังแสดงในรูปที่ 3.2

3-2 ไคเร็คติวิตีของสายอากาศอาร์เรย์

ในหัวข้อต่อไปนี้จะเป็นการกล่าวถึง การคำนวณค่าไคเร็คติวิตีของสายอากาศอาร์เรย์ที่มีสัมประสิทธิ์ในการป้อนกระแสสัญญาณไม่สม่ำเสมอ ซึ่งเป็นอาร์เรย์ที่ได้ใช้ออกแบบ ในการทำวิทยานิพนธ์ เรื่องนี้ เพื่อสังเคราะห์ให้ได้เอกสารนี้เป็นเอกสารที่สงวนไว้สำหรับการใช้งานเพื่อการศึกษาเท่านั้น ไม่อนุญาตให้นำไปใช้ประโยชน์ด้านการค้า ไม่ว่ากรณีใดๆ ทั้งสิ้น อีกทั้งห้ามมิให้ดัดแปลงเนื้อหา และต้องอ้างอิงถึงเจ้าของเอกสารทุกครั้งที่มีการนำไปใช้



รูปที่ 3.2 แสดงตัวอย่างของหลักการคูณรูปแบบการกระจายคลื่น

รูปแบบการกระจายคลื่นตามที่ต้องการ โดยก่อนที่จะทราบนิยามของไดเรกทิวิตีของเสาอากาศ จะต้องแนะนำค่าไดเรกทิฟเกน (Directive gain) ก่อน ในความหมายเกี่ยวกับวิชาเสาอากาศ ได้นิยามให้ค่าไดเรกทิฟเกน เป็นอัตราส่วนระหว่างความเข้มของการแผ่กระจายคลื่น ต่อกำลังงานที่แผ่กระจายคลื่นทั้งหมด ดังสมการต่อไปนี้ คือ

$$D_g = 4\pi \frac{U}{P_{rad}} \quad (3.4)$$

โดยในที่นี้ D_g เป็นค่าไดเรกทิฟเกน (ไม่มีหน่วย)

U เป็นความเข้มของการกระจายคลื่น (หน่วยเป็นวัตต์/มม²)

เอกสารนี้เป็นเอกสารที่สงวนไว้สำหรับการใช้งานเพื่อการศึกษาเท่านั้น ไม่อนุญาตให้นำไปใช้ประโยชน์ด้านการค้า ไม่ว่าจะกรณีใดๆ ทั้งสิ้น อีกทั้งห้ามมิให้ดัดแปลงเนื้อหา และต้องอ้างอิงถึงเจ้าของเอกสารทุกครั้งที่มีการนำไปใช้

และ P_{rad} เป็นกำลังงานที่แพร่กระจายคลื่นทั้งหมด (หน่วยเป็นวัตต์)

กำหนดให้ค่าของไดเรกทิวิตีในทิศทางที่มีค่าสูงสุด (ปกติจะเป็นทิศทางที่อยู่ทางด้านหน้าของสายอากาศ) โดยที่ค่า U ขึ้นอยู่กับมุม θ คือค่าไดเรกทิวิตี (Directivity) ของสายอากาศ ดังนั้นนิยามได้ว่ามุม θ ที่ทำให้ค่าไดเรกทิวิตีมีค่าสูงสุด และเป็นมุมที่มีค่า U สูงสุด ทำให้ได้ค่าไดเรกทิวิตีดังแสดงได้ด้วยสมการที่ (3.5) คือ

$$D_o = 4\pi \frac{U_{max}}{P_{rad}} \quad (3.5)$$

โดยที่ D_o เป็นค่าไดเรกทิวิตีของสายอากาศ (ไม่มีหน่วย)

และ U_{max} เป็นความเข้มของการกระจายคลื่นสูงสุด (หน่วยเป็นวัตต์/มม²)

จากสมการที่ (3.5) สามารถคำนวณหาค่า P_{rad} ได้จากการอินทิเกรตค่าความเข้มการกระจายคลื่น ซึ่งได้จากค่าตัวประกอบอาร์เรย์นั่นเอง ทำให้ได้ค่าไดเรกทิวิตีของสายอากาศอาร์เรย์มีค่า [1] ดังนี้ คือ

$$D_o = \frac{\left(\sum_{k=0}^{N-1} A_k \right)^2}{\sum_{m=0}^{N-1} \sum_{p=0}^{N-1} A_m A_p \sin[(m-p)kd] / (m-p)kd} \quad (3.6)$$

3-3 อินพุทอิมพีแดนซ์ของสายอากาศอาร์เรย์

ในการคำนวณหาอินพุทอิมพีแดนซ์ของสายอากาศไดโพลเดี่ยว สามารถคำนวณได้จากการอินทิเกรต หรือใช้วิธีการโมเมนต์ (Moment Method) ซึ่งจะได้เฉพาะค่าเซลฟ์อิมพีแดนซ์ (Self Impedance) ของไดโพลเท่านั้น แต่ในกรณีของสายอากาศอาร์เรย์จะต้องคำนึงถึงการคัปปลิงกันระหว่างสายอากาศแต่ละเอลีเมนต์ด้วย นั่นคือต้องคำนวณค่าของมิวชวลอิมพีแดนซ์ (Mutual Impedance) รวมกันด้วย ในการคิดคำนวณอินพุทอิมพีแดนซ์ของสายอากาศใดๆ นั้น จะต้องคำนึงถึงความถี่ที่ใช้งาน, รูปร่างลักษณะ, วิธีการป้อนสัญญาณ และวัตถุที่อยู่แวดล้อมสายอากาศนั้นๆ

เอกสารนี้เป็นเอกสารที่สงวนไว้สำหรับการใช้งานเพื่อการศึกษาเท่านั้น ไม่อนุญาตให้นำไปใช้ประโยชน์ด้านการค้า ไม่ว่าจะกรณีใดๆ ทั้งสิ้น อีกทั้งห้ามมิให้ดัดแปลงเนื้อหา และต้องอ้างอิงถึงเจ้าของเอกสารทุกครั้งที่มีการนำไปใช้

อิทธิพลของมิวชวลคัปปลิ่ง ที่นำเข้ามาร่วมใช้พิจารณาค่าอินพุท อิมพีแดนซ์หรือไดรวิ้งพอยท์อิมพีแดนซ์ (Driving Point Impedance) ของ เอลีเมนต์ใดๆ ในสายอากาศอาร์เรย์จำนวน N เอลีเมนต์นั้น เป็นไปตามความสัมพันธ์ระหว่างกระแสและโวลเตจ เช่นเดียวกับความสัมพันธ์ของกระแสและโวลเตจในโครงข่ายไฟฟ้าทั่วไป คือ

$$\begin{aligned} V_1 &= Z_{11}I_1 + Z_{12}I_2 + \dots + Z_{1N}I_N \\ V_2 &= Z_{21}I_1 + Z_{22}I_2 + \dots + Z_{2N}I_N \\ &\cdot \\ &\cdot \\ V_N &= Z_{N1}I_1 + Z_{N2}I_2 + \dots + Z_{NN}I_N \end{aligned} \quad (3.7)$$

โดยที่ V_N และ I_N เป็นโวลเตจและกระแส ของเอลีเมนต์ที่ N

Z_{NN} เป็นเซลล์อิมพีแดนซ์ของเอลีเมนต์ที่ N เมื่อเอลีเมนต์อื่นทั้งหมด เปิดวงจร (Open Circuit)

และ Z_{MN} (ในทำนองเดียวกันเท่ากับ Z_{NM}) เป็นมิวชวลอิมพีแดนซ์ระหว่าง ขั้วทั้งสองของเอลีเมนต์ที่ M และ N

ค่าของแอ็คทีฟอิมพีแดนซ์ (Active Impedance) จะเป็นค่าอินพุท อิมพีแดนซ์ (Input Impedance) ของเอลีเมนต์นั้นๆ เมื่อเอลีเมนต์อื่นทั้งหมด ถูกกระตุ้น (Excited) ตัวอย่างเช่น ค่าแอ็คทีฟอิมพีแดนซ์ของเอลีเมนต์ที่ 1 จากสมการที่ (3.7) จะหาได้ดังนี้ คือ

$$Z_{1, in} = \frac{V_1}{I_1} = Z_{11} + \left(\frac{I_2}{I_1}\right)Z_{12} + \dots + \left(\frac{I_N}{I_1}\right)Z_{1N} \quad (3.8)$$

จะสังเกตได้ว่าแอ็คทีฟอิมพีแดนซ์ ไม่ได้เป็นเพียงผลรวมของเซลล์ อิมพีแดนซ์และมิวชวลอิมพีแดนซ์เท่านั้น แต่ยังขึ้นอยู่กับ ค่ากระแสของเอลีเมนต์ ทั้งหมดด้วย

ในการวิเคราะห์ค่าอินพุทอิมพีแดนซ์ เพื่อความสะดวกจะพิจารณาจาก

เอกสารนี้เป็นเอกสารที่สงวนไว้สำหรับการใช้งานเพื่อการศึกษาเท่านั้น ไม่อนุญาตให้นำไปใช้ประโยชน์ด้านการค้า ไม่ว่ากรณีใดๆ ทั้งสิ้น อีกทั้งห้ามมิให้ดัดแปลงเนื้อหา และต้องอ้างอิงถึงเจ้าของเอกสารทุกครั้งที่มีการนำไปใช้

สาขาอากาศสองเอลีเมนต์ โดยแทนค่าความสัมพันธ์ของพารามิเตอร์ เป็นแบบ
โครงข่ายไฟฟ้าสองพอร์ต (Two-port Network) ดังแสดงในรูปที่ 3.3 ซึ่งม
ความสัมพันธ์ของกระแสและโวลเตจ เช่นเดียวกับสมการที่ (3.7) คือ

$$V_1 = Z_{11}I_1 + Z_{12}I_2 \quad (3.9)$$

$$V_2 = Z_{21}I_1 + Z_{22}I_2 \quad (3.10)$$

โดยที่ $Z_{11} = \frac{V_1}{I_1}$ เมื่อ $I_2 = 0$ เป็นค่าอินพุตอิมพีแดนซ์ที่พอร์ต #1
เมื่อพอร์ต #2 เปิดวงจร
 $Z_{12} = \frac{V_1}{I_2}$ เมื่อ $I_1 = 0$ เป็นค่ามิวชวลอิมพีแดนซ์ที่พอร์ต #1
ที่เกิดขึ้นจากกระแสของพอร์ต #2
(เมื่อพอร์ต #1 เปิดวงจร)
 $Z_{21} = \frac{V_2}{I_1}$ เมื่อ $I_2 = 0$ เป็นค่ามิวชวลอิมพีแดนซ์ที่พอร์ต #2
ที่เกิดขึ้นจากกระแสของพอร์ต #1
(เมื่อพอร์ต #2 เปิดวงจร)
 $Z_{22} = \frac{V_2}{I_2}$ เมื่อ $I_1 = 0$ เป็นค่าอินพุตอิมพีแดนซ์ที่พอร์ต #2
เมื่อพอร์ต #1 เปิดวงจร

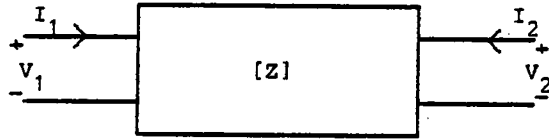
โดยส่วนใหญ่ของสาขาอากาศอาร์เรย์ จะมีคุณสมบัติอย่างหนึ่งคือมีค่า
เดียวกันในสองทิศทาง (Reciprocal) ดังนี้ คือ

$$Z_{12} = Z_{21} \quad (3.11)$$

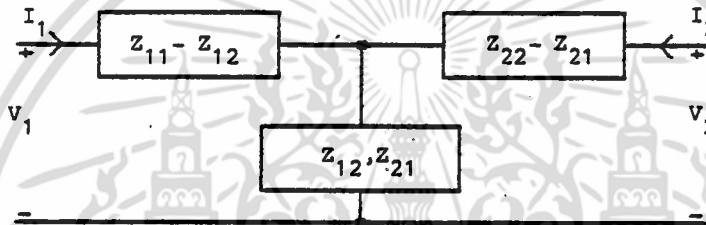
เพราะฉะนั้นในการหาค่าอินพุตอิมพีแดนซ์ ของสาขาอากาศอาร์เรย์
จะมีขอบเขตของอิทธิพลต่างๆ ขึ้นอยู่กับสิ่งต่อไปนี้ คือ

- (ก) ชนิดของสาขาอากาศ
- (ข) ตำแหน่งสัมพัทธ์ของเอลีเมนต์
- (ค) วิธีการป้อน (Feeding) กระแสกระตุ้นให้แก่เอลีเมนต์

เอกสารนี้เป็นเอกสารที่สงวนไว้สำหรับการใช้งานเพื่อการศึกษาเท่านั้น ไม่อนุญาตให้นำไปใช้ประโยชน์ด้านการค้า
ไม่ว่ากรณีใดๆ ทั้งสิ้น อีกทั้งห้ามมิให้ดัดแปลงเนื้อหา และต้องอ้างอิงถึงเจ้าของเอกสารทุกครั้งที่มีการนำไปใช้



(ก) แสดงโครงข่ายไฟฟ้าสองพอร์ต



(ข) แสดงวงจรสมมูลแบบที่

รูปที่ 3.3 แสดงโครงข่ายไฟฟ้าสองพอร์ตที่ใช้พิจารณาการคัปปลิงระหว่างสายอากาศสองเอลีเมนต์

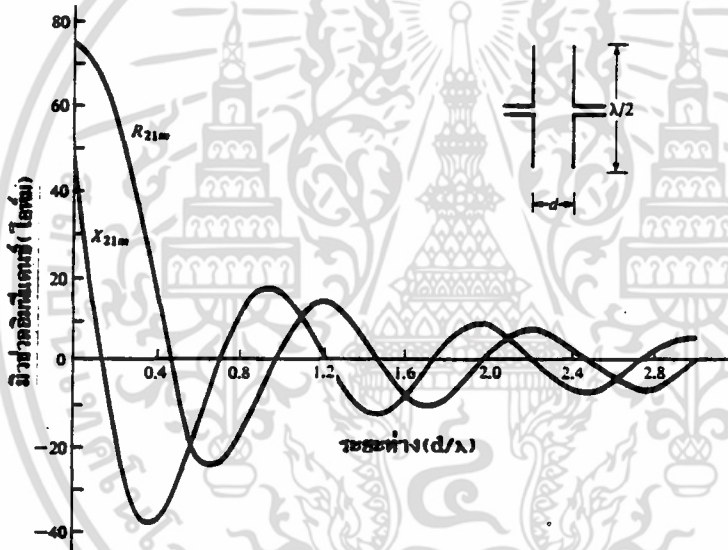
จากสมการที่ (3.8) จะหาค่าอินพุทอิมพีแดนซ์ ที่เป็นโวลเทจพ้อยนทอิมพีแดนซ์ของสายอากาศเอลีเมนต์ที่ 1 และ 2 ตามลำดับ ได้ดังนี้

$$Z_{1d} = \frac{V_1}{I_1} = Z_{11} + Z_{12} \left(\frac{I_2}{I_1} \right) \quad (3.12)$$

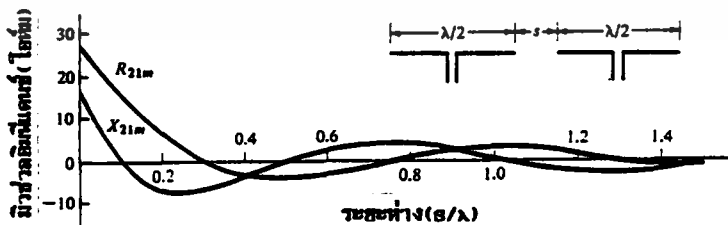
$$Z_{2d} = \frac{V_2}{I_2} = Z_{22} + Z_{21} \left(\frac{I_1}{I_2} \right) \quad (3.13)$$

โดยที่ Z_{1d} และ Z_{2d} เป็นโวลเทจพ้อยนทอิมพีแดนซ์ของสายอากาศเอลีเมนต์ที่ 1 และ 2 ตามลำดับ จะเห็นว่าอิมพีแดนซ์แต่ละค่า ขึ้นอยู่กับค่าอัตราส่วนของกระแสที่ป้อนให้แก่สายอากาศอาร์เรย์

ดังนั้น กล่าวโดยสรุป ในตอนท้ายนี้ก็คือ การหาอินพุทอิมพีแดนซ์ของสายอากาศอาร์เรย์ จะต้องคำนวณค่าเชลฟ์อิมพีแดนซ์ ซึ่งในภาคผนวก ข. จะมีการแสดงค่าเชลฟ์อิมพีแดนซ์ของสายอากาศไดโพลเหนือบนกราวด์เพลน และคำนวณค่ามิวชวลอิมพีแดนซ์ ซึ่งมีวิธีการคำนวณที่ซับซ้อนมาก จึงได้แสดงรูปภาพจากการคำนวณ มิวชวลอิมพีแดนซ์ของสายอากาศไดโพล ไว้ในรูปที่ 3.4 เป็นการจัดไดโพลอาร์เรย์แบบไซด์บายไซด์ (Side-by-side) และรูปที่ 3.5 เป็นการจัดไดโพลอาร์เรย์แบบคอลลิเนียร์ (Collinear)



รูปที่ 3.4 แสดงค่ามิวชวลอิมพีแดนซ์ของไซด์บายไซด์ไดโพลอาร์เรย์



รูปที่ 3.5 แสดงค่ามิวชวลอิมพีแดนซ์ของคอลลิเนียร์ไดโพลอาร์เรย์

เอกสารนี้เป็นเอกสารที่สงวนไว้สำหรับการใช้งานเพื่อการศึกษาเท่านั้น ไม่อนุญาตให้นำไปใช้ประโยชน์ด้านการค้า ไม่ว่าจะกรณีใดๆ ทั้งสิ้น อีกทั้งห้ามมิให้ดัดแปลงเนื้อหา และต้องอ้างอิงถึงเจ้าของเอกสารทุกครั้งที่มีการนำไปใช้

บทที่ 4

การสังเคราะห์รูปแบบการกระจายคลื่นของสายอากาศอาร์เรย์

4-1 กล่าวนำ

การออกแบบสร้างสายอากาศเฟสอาร์เรย์ ตามวัตถุประสงค์ของ วิทยานิพนธ์นี้ ต้องการให้สามารถกวาดบีมหลักของสายอากาศได้ตามต้องการ เป็นประเด็นสำคัญ แต่เพื่อความสมบูรณ์ ของเทคโนโลยีทางด้านสายอากาศ อาร์เรย์ในปัจจุบัน จึงได้ขยายประเด็น ให้มีการสังเคราะห์รูปแบบการกระจาย คลื่นของสายอากาศอาร์เรย์ ที่ได้ออกแบบสร้างขึ้นมาไว้ด้วย และโดยที่ได้ กำหนดการออกแบบสายอากาศเป็นอาร์เรย์แบบระนาบ 2 มิติ จึงได้สังเคราะห์ รูปแบบการกระจายคลื่นเป็นเซคเตอร์แพทเทิร์น ในแนวเอลิเวชัน และแบบ บีมวิดธ์แคบ ไซด์โหลบต่ำ ในแนวอะซิมุท ซึ่งหลักการและรายละเอียดดังกล่าว จะรวบรวมไว้เป็นสาระภายในบทนี้ต่อไป

4-2 การสังเคราะห์แบบบีมวิดธ์แคบ ไซด์โหลบต่ำ

โดยใช้เซบปีเชฟโพลีโนเมียล (Chebyshev Polynomial)

ในหัวข้อนี้ จะกล่าวถึงการสังเคราะห์รูปแบบการกระจายคลื่น แบบ บีมวิดธ์แคบ ไซด์โหลบต่ำ ซึ่งมีวิธีการที่สำคัญอยู่ 2 วิธี คือวิธีการใช้เซบปีเชฟ โพลีโนเมียล และวิธีไลน์ซอร์สของเทลเลอร์ โดยวิธีการทั้งสองนี้มีความสัมพันธ์ ใกล้เคียงกันมาก แต่ในวิทยานิพนธ์ฉบับนี้ ได้เลือกใช้วิธีการแรก ซึ่งเป็นวิธีที่ นิยมใช้กัน ในการออกแบบสายอากาศอาร์เรย์ นั่นคือวิธีการใช้เซบปีเชฟ โพลีโนเมียล เนื่องจากสัมประสิทธิ์ของการป้อนกระแสสัญญาณที่ให้แก่สายอากาศ อาร์เรย์มีความสัมพันธ์กับเซบปีเชฟโพลีโนเมียล จึงมีผู้เรียกสายอากาศแบบนี้ว่า เซบปีเชฟอาร์เรย์ โดยอาร์เรย์แบบนี้จะมีคุณสมบัติอยู่ระหว่างกลางของยูนิฟอร์ม อาร์เรย์และไบโนเมียลอาร์เรย์ นั่นคือมีบีมวิดธ์ที่แคบและมีไซด์โหลบต่ำ ซึ่ง เนื้อหาต่อไปจะเป็นการกล่าวถึง บรอดไซด์อาร์เรย์แบบเส้นตรง ที่มีระยะห่าง ระหว่างเอลิเมนต์เท่ากันหมด โดยระยะห่างนั้นจะมีค่าเท่ากับหรือมากกว่าครึ่ง ความยาวคลื่น

เอกสารนี้เป็นเอกสารที่สงวนไว้สำหรับการใช้งานเพื่อการศึกษาเท่านั้น ไม่อนุญาตให้นำไปใช้ประโยชน์ด้านการค้า ไม่ว่ากรณีใดๆ ทั้งสิ้น อีกทั้งห้ามมิให้ตัดแปลงเนื้อหา และต้องอ้างอิงถึงเจ้าของเอกสารทุกครั้งที่มีการนำไปใช้

ตามสมการ (2.1) และ (2.2) ซึ่งแสดงถึงค่าตัวประกอบอาร์เรย์ของเอลีเมนต์นั้นเกิดจาก ผลรวมของโคซายน์จำนวน M หรือ $M+1$ เทอม ดังนั้นโดยอาศัยความรู้ที่ว่าค่าของโคซายน์ในแต่ละเทอม สามารถเขียนเป็นอนุกรมของฟังก์ชันโคซายน์ได้ ดังนี้

$$\begin{aligned}m = 0 & : \cos(mu) = 1 \\m = 1 & : \cos(mu) = \cos u \\m = 2 & : \cos(mu) = 2\cos^2 u - 1 \\m = 3 & : \cos(mu) = 4\cos^3 u - 3\cos u \\m = 4 & : \cos(mu) = 8\cos^4 u - 8\cos^2 u + 1 \\m = 5 & : \cos(mu) = 16\cos^5 u - 20\cos^3 u + 5\cos u \\m = 6 & : \cos(mu) = 32\cos^6 u - 48\cos^4 u + 18\cos^2 u - 1 \\m = 7 & : \cos(mu) = 64\cos^7 u - 112\cos^5 u + 56\cos^3 u - 7\cos u \\m = 8 & : \cos(mu) = 128\cos^8 u - 256\cos^6 u + 160\cos^4 u - 32\cos^2 u + 1 \\m = 9 & : \cos(mu) = 256\cos^9 u - 576\cos^7 u + 432\cos^5 u - 120\cos^3 u + 9\cos u\end{aligned}\tag{4.1}$$

เพราะฉะนั้น เมื่อให้ ค่า $z = \cos u$ สมการข้างบนนี้จะเขียนใหม่ได้ในลักษณะที่สัมพันธ์กับเซตพีเอชโพลีโนเมียลได้ คือ

$$\begin{aligned}m = 0 & : \cos(mu) = 1 = T_0(z) \\m = 1 & : \cos(mu) = z = T_1(z) \\m = 2 & : \cos(mu) = 2z^2 - 1 = T_2(z) \\m = 3 & : \cos(mu) = 4z^3 - 3z = T_3(z) \\m = 4 & : \cos(mu) = 8z^4 - 8z^2 + 1 = T_4(z) \\m = 5 & : \cos(mu) = 16z^5 - 20z^3 + 5z = T_5(z) \\m = 6 & : \cos(mu) = 32z^6 - 48z^4 + 18z^2 - 1 = T_6(z) \\m = 7 & : \cos(mu) = 64z^7 - 112z^5 + 56z^3 - 7z = T_7(z) \\m = 8 & : \cos(mu) = 128z^8 - 256z^6 + 160z^4 - 32z^2 + 1 = T_8(z) \\m = 9 & : \cos(mu) = 256z^9 - 576z^7 + 432z^5 - 120z^3 + 9z = T_9(z)\end{aligned}\tag{4.2}$$

เอกสารนี้เป็นเอกสารที่สงวนไว้สำหรับการใช้งานเพื่อการศึกษาเท่านั้น ไม่อนุญาตให้นำไปใช้ประโยชน์ด้านการค้า ไม่ว่าจะกรณีใดๆ ทั้งสิ้น อีกทั้งห้ามมิให้ดัดแปลงเนื้อหา และต้องอ้างอิงถึงเจ้าของเอกสารทุกครั้งที่มีการนำไปใช้

ดังนั้น จะเห็นได้ว่า (2.1) และ (2.2) อาจคำนวณได้สะดวกขึ้น เมื่อเราอาศัยคุณสมบัติ ของเชบบีเชฟโพลีโนเมียล ซึ่งมีสาระที่สำคัญ ดังต่อไปนี้ คือค่าความสัมพันธ์ระหว่างโคซายน์ฟังก์ชัน กับเชบบีเชฟโพลีโนเมียล $T_m(z)$ มีค่าอยู่ระหว่าง -1 และ $+1$ เมื่อ $-1 \leq z \leq +1$ เนื่องจากค่า $|\cos(mu)|$ มีค่าน้อยกว่าหรือเท่ากับ 1 แต่ในกรณีที่ค่า $|z| > 1$ ความสัมพันธ์ของเชบบีเชฟโพลีโนเมียลจะเป็นความสัมพันธ์ระหว่างไฮเพอร์โบลิกโคซายน์ฟังก์ชัน ความสัมพันธ์ดังกล่าว ของเชบบีเชฟโพลีโนเมียล เขียนเป็นสมการได้ดังต่อไปนี้ คือ

$$T_m(z) = \cos [m \cos^{-1}(z)] \quad -1 \leq z \leq +1 \quad (4.3)$$

$$T_m(z) = \cosh [m \cosh^{-1}(z)] \quad |z| > 1 \quad (4.4)$$

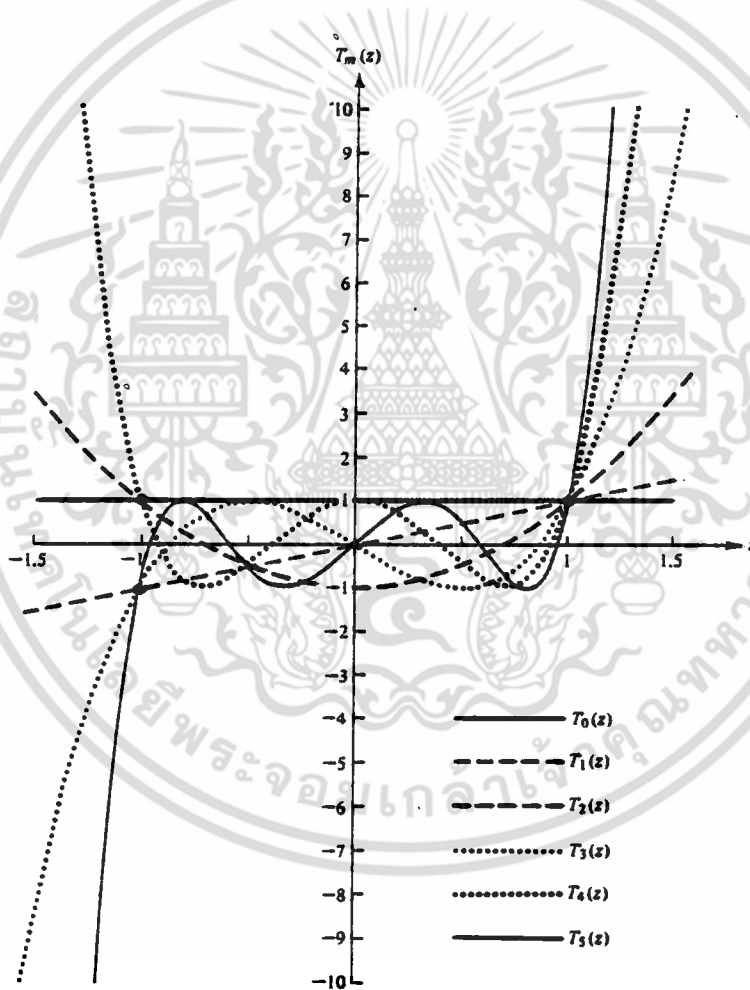
นอกจากนี้ ยังมีคุณสมบัติที่น่าสนใจ ของเชบบีเชฟโพลีโนเมียล อีกประการหนึ่งคือคุณสมบัติในรูปสมการรีเคอร์ซีฟ (Recursive formula) ดังนี้

$$T_m(z) = 2zT_{m-1}(z) - T_{m-2}(z) \quad (4.5)$$

สมการที่ (4.5) เป็นการหาค่าของเชบบีเชฟโพลีโนเมียลได้ เมื่อทราบค่าของโพลีโนเมียลสองอันดับก่อนหน้านี้ ของค่าโพลีโนเมียลที่ต้องการหาค่าตัวอย่างความสัมพันธ์ของ เชบบีเชฟโพลีโนเมียลหกอันดับแรก คือ ตั้งแต่ $T_0(z)$ ถึง $T_5(z)$ มีดังแสดงในรูปที่ 4.1 ซึ่งมีคุณสมบัติเฉพาะที่น่าสนใจ ดังต่อไปนี้

1. ค่าโพลีโนเมียลทั้งหมด ไม่ว่าอันดับใด จะต้องผ่านจุด $(1, 1)$
2. ภายในช่วงจำกัดระหว่าง $-1 \leq z \leq +1$ ค่าของโพลีโนเมียลมีค่าอยู่ภายใน -1 ถึง $+1$
3. ค่ารากทั้งหมด จะปรากฏภายในช่วงจำกัด $-1 \leq z \leq +1$ ค่าสูงสุดและต่ำสุด ของโพลีโนเมียล จะมีค่า $+1$ และ -1 ตามลำดับ

ในการสังเคราะห์สายอากาศอาร์เรย์ เพื่อให้ได้บีบิวัดซ์แคบ และ ไซด์โทลเบต่ำ จะต้องออกแบบโดยอาศัยค่าตัวประกอบอาร์เรย์ ซึ่งจะหาได้จาก ผลรวมในเทอมของฟังก์ชันโคซายน์ และมีสัมประสิทธิ์ของการป้อนกระแสสัญญาณ เป็นตัวไม่ทราบค่า โดยเทียบสัมประสิทธิ์กับเซบปีเซพโพลีโนเมียลที่เหมาะสมกัน ทั้งนี้มีข้อสังเกตคือ อันดับของโพลีโนเมียลที่เทียบกัน จะต้องมิต้านน้อยกว่าจำนวน เอลิเมนต์ทั้งหมดของอาร์เรย์เท่ากับ 1



รูปที่ 4.1 แสดงค่าตัวอย่างรากของเซบปีเซพโพลีโนเมียลอันดับศูนย์ถึงอันดับห้า

จากคำอธิบายที่กล่าวมาทั้งหมดนี้ จะเห็นได้ว่าสัมประสิทธิ์ที่หามาได้ คือค่าของกระแสสัญญาณที่ต้องป้อนให้แก่เอลิเมนต์แต่ละตัว ซึ่งค่าของกระแส เอกสารนี้เป็นเอกสารที่สงวนไว้สำหรับการใช้งานเพื่อการศึกษาเท่านั้น ไม่อนุญาตให้นำไปใช้ประโยชน์ด้านการค้า ไม่ว่ากรณีใดๆ ทั้งสิ้น อีกทั้งห้ามมิให้ดัดแปลงเนื้อหา และต้องอ้างอิงถึงเจ้าของเอกสารทุกครั้งที่มีการนำไปใช้

แต่ละค่านี้จะมีความแตกต่างกันไม่มากนัก เหมาะที่จะใช้ได้ดีในทางปฏิบัติ ดังนั้น
สาขาอากาศเซปปีเซพอาร์เรย์ จึงเหมาะสมสำหรับการออกแบบเป็นสาขาอากาศ
อาร์เรย์ ที่ต้องการบีบอัดแคบ ไซด์โพลต่ำ เพราะเหตุผลที่มีค่าความแตกต่าง
ของกระแสในแต่ละเอลีเมนต์น้อย ซึ่งต่างจากวิธีการอื่น เป็นต้นว่าวิธีการของ
ไบโนเมียลอาร์เรย์ ที่ให้ความแตกต่างของค่ากระแส ที่จะต้องป้อนให้แต่ละ
เอลีเมนต์มาก จึงมักเป็นปัญหาในทางปฏิบัติ โดยในการออกแบบนั้น เริ่มต้นจะ
ต้องทราบค่า จำนวนเอลีเมนต์ของอาร์เรย์ ระยะห่างระหว่างเอลีเมนต์ และ
ที่สำคัญจะต้องทราบค่าอัตราส่วนของเมนโพลต่อไซด์โพล (R_0) แล้วจึงใช้วิธี
การออกแบบตามขั้นตอนซึ่งจะกล่าวถึงในหัวข้อต่อไป

4-2-1 ขั้นตอนการออกแบบ

วิธีการออกแบบสาขาอากาศบรอดไซด์อาร์เรย์ โดยการใช้เซปปีเซพ
โพลโนเมียล โดยมีจำนวนเอลีเมนต์ทั้งหมดเท่ากับ $2M$ หรือ $2M+1$ เอลีเมนต์
มีระยะห่างระหว่างเอลีเมนต์เท่ากับ d และมีค่าระดับของไซด์โพลเมื่อเทียบ
กับค่าสูงสุดของเมนโพล เท่ากับ R_0 เท่า จะสามารถหาค่าสัมประสิทธิ์ของ
การป้อนกระแสสัญญาณและค่าตัวประกอบอาร์เรย์ ได้ตามขั้นตอน ดังต่อไปนี้

1. เลือกค่าตัวประกอบอาร์เรย์ที่เหมาะสม จากสมการที่ (2.1)
หรือ (2.2)
2. กระจายค่าตัวประกอบอาร์เรย์ และแทนค่าฟังก์ชัน $\cos(mu)$
แต่ละค่าด้วยอนุกรมที่เหมาะสม ตามสมการที่ (4.1)
3. หาจุด $z = z_0$ ที่ทำให้ $T_m(z_0) = R_0$
4. แทนค่า $\cos(u) = z/z_0$ ลงในตัวประกอบอาร์เรย์ของ
ขั้นตอนที่ 2 ค่าของ $\cos(u)$ ที่แทนด้วย z/z_0 จะมีค่าที่ถูกต้องสำหรับกรณี
 $|z| \leq |z_0|$ ในขณะที่ค่านี้จะมีค่าสูงสุด คือเท่ากับ 1 เมื่อ $|z| = |z_0|$
5. หลังจากแทนค่าในขั้นตอนที่ 4 แล้วจัดรูปสมการ ระหว่างตัว
ประกอบอาร์เรย์ในขั้นตอนที่ 2 กับค่า $T_m(z)$ จากสมการที่ (4.2) อันดับที่ m
ของ $T_m(z)$ ที่เลือกไว้ ควรเป็นจำนวนเต็มมีค่าน้อยกว่าจำนวนเอลีเมนต์
ทั้งหมดของอาร์เรย์เท่ากับ 1 จากขั้นตอนนี้จะทำให้คำนวณหาค่าสัมประสิทธิ์การ
เอกสารนี้เป็นเอกสารที่สงวนไว้สำหรับการใช้งานเพื่อการศึกษาเท่านั้น ไม่อนุญาตให้นำไปใช้ประโยชน์ด้านการค้า
ไม่ว่ากรณีใดๆ ทั้งสิ้น อีกทั้งห้ามมิให้ตัดแปลงเนื้อหา และต้องอ้างอิงถึงเจ้าของเอกสารทุกครั้งที่มีการนำไปใช้

ป้อนกระแสทั้งหมด คือ a_n ได้

6. แทนค่าลงในตัวประกอบอาร์เรย์ ตามสมการที่ (2.1) หรือ (2.2) โดยใช้ค่าสัมประสิทธิ์ที่คำนวณได้ จากขั้นตอนที่ 5

4-2-2 บีมิววิตซ์และโคเร็คติวิตีของเซปบีเซพอาร์เรย์

คุณสมบัติที่สำคัญของสายอากาศอาร์เรย์ ดังที่ได้กล่าวไว้แล้ว ในบทที่ 3 ได้แก่สนามล้นท์ โคเร็คติวิตี และอินพุทอิมพีแดนซ์ ซึ่งในกรณีของเซปบีเซพอาร์เรย์นี้ จะได้แสดงวิธีการคำนวณหาโคเร็คติวิตี รวมทั้งเพิ่มวิธีการคำนวณหาค่าซาล์ฟเฟาเวอร์บีมิววิตซ์เอาไว้ในหัวข้อนี้ด้วย ส่วนคุณสมบัติอื่น คือสนามล้นท์ก็สามารถหาได้โดยอาศัยหลักการคูณรูปแบบการกระจายคลื่น โดยค่าตัวประกอบอาร์เรย์ ได้กล่าวเอาไว้ในตอนต้นแล้ว และสำหรับค่าอินพุทอิมพีแดนซ์ ก็ใช้วิธีการเช่นเดียวกับที่ได้กล่าวไว้แล้ว ในบทที่ 3

ก่อนที่จะกล่าวถึง ค่าบีมิววิตซ์และโคเร็คติวิตี ของเซปบีเซพอาร์เรย์ จะต้องกล่าวถึงค่าบีมบรอดเดนนิงแฟคเตอร์ (Beam broadening factor) ก่อน ซึ่งค่านี้เป็นตัวประกอบตัวหนึ่ง ที่นำไปคำนวณประกอบเพิ่มเติมจากบีมิววิตซ์และโคเร็คติวิตีของสายอากาศอาร์เรย์ ที่มีการป้อนกระแสสัญญาณสม่ำเสมอ โดยค่านี้เป็นค่า ที่ใช้สำหรับเซปบีเซพอาร์เรย์ขนาดใหญ่ที่มีค่าไซด์โทลป อยู่ใน ช่วง -20 ถึง -60 dB ค่าบีมบรอดเดนนิงแฟคเตอร์ดังกล่าว มีค่าดังนี้

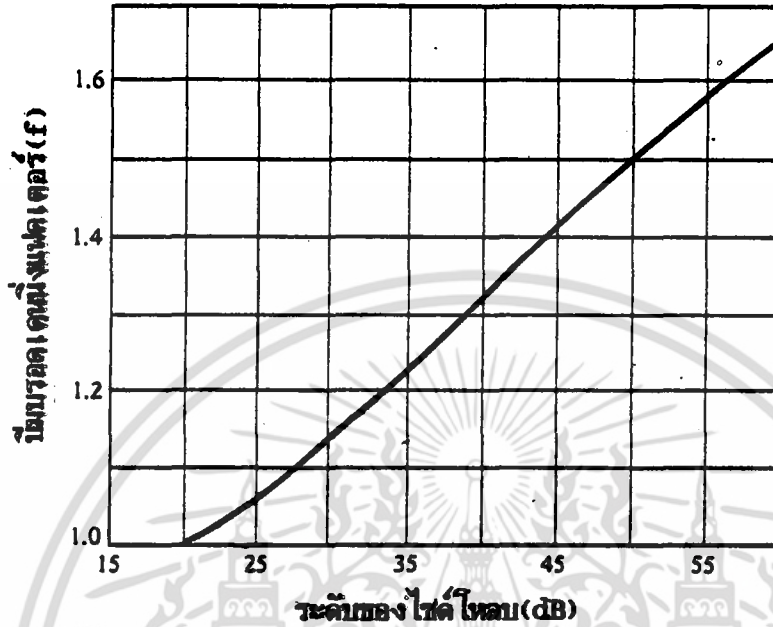
$$f = 1 + 0.636 \left\{ \frac{2}{R_0} \cosh \left[\sqrt{(\cosh^{-1} R_0)^2 - \pi^2} \right] \right\}^2 \quad (4.6)$$

โดยที่ค่า R_0 เป็นค่าอัตราส่วนโวลเตจ ของเมนโทลปกับไซด์โทลป และค่าบีมบรอดเดนนิงแฟคเตอร์ (f) สามารถแสดงได้ด้วยกราฟความสัมพันธ์กับค่าไซด์โทลป (dB) ดังในรูปที่ 4.2

เมื่อทราบค่าบีมบรอดเดนนิงแฟคเตอร์ ก็จะสามารถหาค่าบีมิววิตซ์ ได้ โดยวิธีการ ดังต่อไปนี้

1. คำนวณค่าบีมิววิตซ์ของยูนิฟอร์มอาร์เรย์ (ที่มีจำนวนเอลิเมนต์และระยะห่างเท่ากัน) โดยใช้สมการที่ (4.7) ดังนี้ [4] คือ

เอกสารนี้เป็นเอกสารที่สงวนไว้สำหรับการใช้งานเพื่อการศึกษาเท่านั้น ไม่อนุญาตให้นำไปใช้ประโยชน์ด้านการค้า ไม่ว่ากรณีใดๆ ทั้งสิ้น อีกทั้งห้ามมิให้ดัดแปลงเนื้อหา และต้องอ้างอิงถึงเจ้าของเอกสารทุกครั้งที่มีการนำไปใช้



รูปที่ 4.2 แสดงความสัมพันธ์ระหว่างค่าบีบรอดเดนมิ่งแคเดเตอร์ และระดับของไซด์โหลบ

$$\theta_n = \cos^{-1} [\cos \theta_0 - .443\lambda / (L+d)] - \cos^{-1} [\cos \theta_0 + .443\lambda / (L+d)] \quad (4.7)$$

2. นำค่าบีบรอดเดนมิ่งแคเดเตอร์ที่คำนวณได้ หรืออาจจะอ่านจาก กราฟในรูปที่ 4.2 คูณกับบีมวิดธ์ที่คำนวณได้ ในข้อที่ 1 ก็จะได้บีมวิดธ์ของ เซปบีเซพอาร์เรย์ตามที่ต้องการ

ส่วนค่าไคเร็คติวิตี้ ของเซปบีเซพอาร์เรย์ ก็สามารถคำนวณได้โดย อาศัยค่าของบีบรอดเดนมิ่งแคเดเตอร์ เช่นเดียวกัน นั่นคือ

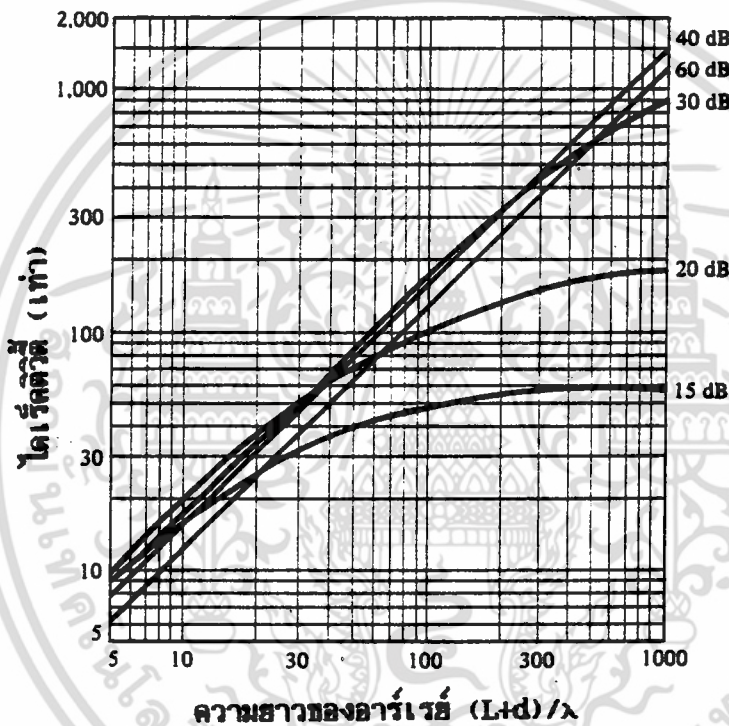
$$D_o = \frac{2R_o^2}{1 + (R_o^2 - 1)f[\lambda / (L+d)]} \quad (4.8)$$

หรืออาจจะแสดงได้ด้วยความสัมพันธ์ ระหว่างไคเร็คติวิตี้และค่าของ $(L+d)/\lambda$ ในกราฟรูปที่ 4.3 ซึ่งจะสามารถสรุปความสัมพันธ์ ได้ดังนี้

เอกสารนี้เป็นเอกสารที่สงวนไว้สำหรับการใช้งานเพื่อการศึกษาเท่านั้น ไม่อนุญาตให้นำไปใช้ประโยชน์ด้านการค้า ไม่ว่ากรณีใดๆ ทั้งสิ้น อีกทั้งห้ามมิให้ดัดแปลงเนื้อหา และต้องอ้างอิงถึงเจ้าของเอกสารทุกครั้งที่มีการนำไปใช้

1. ค่าไคเร็คติวิตี้ ของเซปปีเซพอาร์เรย์และค่าระดับของไซด์โหลบที่กำหนดให้ จะมีค่าเพิ่มมากขึ้น ในขณะที่ขนาดของอาร์เรย์หรือจำนวนเอลีเมนต์ของอาร์เรย์เพิ่มมากขึ้น

2. สำหรับความยาวหรือจำนวนเอลีเมนต์ ของอาร์เรย์ที่กำหนดให้ ไม่จำเป็นต้องมีค่าไคเร็คติวิตี้เพิ่มขึ้น ขณะที่ระดับของไซด์โหลบลดต่ำลง



รูปที่ 4.3 แสดงกราฟความสัมพันธ์ระหว่างไคเร็คติวิตี้และค่า $(L+d)/\lambda$

4-3 การสังเคราะห์เซคเตอร์แพทเทิร์น โดยวิธีการแปลงของฟูเรียร์

(Fourier Transform Method)

โดยปกติการสังเคราะห์สายอากาศอาร์เรย์ จะมีวิธีการสังเคราะห์โดยลักษณะของสายอากาศ และลักษณะของรูปแบบการกระจายคลื่น แต่เนื่องจากลักษณะของสายอากาศอาร์เรย์มีอยู่มากมาย จึงแบ่งวิธีการสังเคราะห์สายอากาศอาร์เรย์นี้ ออกตามลักษณะของรูปแบบการกระจายคลื่น ซึ่งมีอยู่ 2 แบบใหญ่ๆ คือ การสังเคราะห์แบบเซคเตอร์แพทเทิร์น และการสังเคราะห์แบบบีมวิดธ์แคบ ไซด์โหลบต่ำ ดังที่กล่าวมาแล้ว ในหัวข้อ 4-2 โดยที่วิธีการทั้งสองเอกสารนี้เป็นเอกสารที่สงวนไว้สำหรับการใช้งานเพื่อการศึกษาเท่านั้น ไม่อนุญาตให้นำไปใช้ประโยชน์ด้านการค้าไม่ว่ากรณีใดๆ ทั้งสิ้น อีกทั้งห้ามมิให้ดัดแปลงเนื้อหา และต้องอ้างอิงถึงเจ้าของเอกสารทุกครั้งที่มีการนำไปใช้

นี้มีความแตกต่างกัน อย่างเห็นได้ชัด สำหรับในหัวข้อนี้ จะได้แสดงวิธีการสังเคราะห์สายอากาศอาร์เรย์ แบบเซคเตอร์แพทเทิร์น โดยวิธีการแปลงของฟูเรียร์ ซึ่งได้เลือกวิธีการดังกล่าว มาใช้ในการทำวิทยานิพนธ์ฉบับนี้

อย่างไรก็ตาม ยังมีวิธีการสังเคราะห์สายอากาศอาร์เรย์ แบบเซคเตอร์แพทเทิร์น อยู่อีกวิธีหนึ่ง คือวิธีการสุ่มของวูดเวิร์ด (Woodward Sampling Method) ซึ่งให้ผลลัพธ์คล้ายคลึงกัน โดยวิธีการทั้งสองกรณีนี้สามารถนำไปใช้ได้กับ แหล่งกำเนิดที่เป็นเส้นตรง (Line Source) และสายอากาศอาร์เรย์ที่เป็นแนวเส้นตรง (Linear Array)

การสังเคราะห์สายอากาศอาร์เรย์ แบบเซคเตอร์แพทเทิร์น โดยวิธีการแปลงของฟูเรียร์ ก็มีหลักการเช่นเดียวกับ การสังเคราะห์สายอากาศอาร์เรย์ทั่วไป นั่นคือ เป็นการหาค่าตัวประกอบอาร์เรย์ และค่าสัมประสิทธิ์ของการป้อนกระแสสัญญาณ ให้กับแต่ละเอลีเมนต์ โดยพิจารณาจากอาร์เรย์แบบเส้นตรงจำนวน N เอลีเมนต์ ที่มีระยะห่างระหว่างเอลีเมนต์เท่ากัน และมีสัมประสิทธิ์การป้อนกระแสสัญญาณไม่สม่ำเสมอ (a_m) สามารถเขียนค่าตัวประกอบอาร์เรย์ โดยอาศัยความรู้จากบทที่ 2 ได้ค่าตัวประกอบอาร์เรย์อยู่ในรูปของอนุกรม แบ่งเป็น 2 กรณี ดังนี้คือ

เมื่อจำนวนเอลีเมนต์เป็นเลขคี่ ($N = 2M+1$)

$$AF(\theta) = AF(\psi) = \sum_{m=-M}^M a_m \exp\{j m \psi\} \quad (4.9)$$

และเมื่อจำนวนเอลีเมนต์เป็นเลขคู่ ($N = 2M$)

$$AF(\theta) = AF(\psi) = \sum_{m=-M}^{-1} a_m \exp\{j[(2m+1)/2]\psi\} + \sum_{m=1}^M a_m \exp\{j[(2m-1)/2]\psi\} \quad (4.10)$$

โดยที่

$$\psi = kd \cos\theta + \beta$$

(4.11)

เอกสารนี้เป็นเอกสารที่สวอนไว้สำหรับการใช้งานเพื่อการศึกษาเท่านั้น ไม่อนุญาตให้นำไปใช้ประโยชน์ด้านการค้าไม่ว่ากรณีใดๆ ทั้งสิ้น อีกทั้งห้ามมิให้ดัดแปลงเนื้อหา และต้องอ้างอิงถึงเจ้าของเอกสารทุกครั้งที่มีการนำไปใช้

การวางตำแหน่งของแต่ละเอลีเมนต์ จะกำหนดได้ดังนี้
สำหรับเอลีเมนต์จำนวนคี่

$$z'_m = md \quad m = 0, \pm 1, \pm 2, \dots, \pm M \quad (4.12a)$$

และสำหรับเอลีเมนต์จำนวนคู่

$$z'_m = \begin{cases} \frac{(2m-1)d}{2} & 1 \leq m \leq M \\ \frac{(2m+1)d}{2} & -M \leq m \leq -1 \end{cases} \quad (4.12b)$$

จากค่าตัวประกอบอาร์เรย์ดังกล่าว จะเห็นว่ามีค่าเป็นฟังก์ชัน ที่มีคาบเท่ากับ 2π เรเดียน อย่างไรก็ตาม ในความเป็นจริง จะมีคาบไม่เท่ากับ 2π เรเดียน เนื่องจากมีระยะห่างระหว่างเอลีเมนต์ ไม่เท่ากับ $\lambda/2$ (เพราะว่า $2kd = 2\pi$ ทำให้ $d = \lambda/2$) ดังนั้นจึงต้องมีการ เพิ่มเติมให้เป็นฟังก์ชันที่มีคาบ เพื่อที่จะได้สังเคราะห์ด้วยวิธีการแปลงของฟูเรียร์ได้ ถ้าค่าตัวประกอบอาร์เรย์ $AF(\psi)$ เป็นค่าตัวประกอบอาร์เรย์ที่ต้องการแล้ว จะสามารถหาค่าสัมประสิทธิ์ของการป้อนกระแสสัญญาณ ของแต่ละเอลีเมนต์ ได้โดยใช้สูตรการแปลงของฟูเรียร์ ดังนี้

เมื่อจำนวนเอลีเมนต์เป็นเลขคี่ ($N = 2M+1$)

$$a_m = \frac{1}{2\pi} \int_0^{2\pi} AF(\psi) \exp\{-jm\psi\} d\psi \quad (4.13a)$$

และเมื่อจำนวนเอลีเมนต์เป็นเลขคู่ ($N = 2M$)

$$a_m = \begin{cases} \frac{1}{2\pi} \int_0^{2\pi} AF(\psi) \exp\{-j[2m+1]\psi\} d\psi \\ \frac{1}{2\pi} \int_0^{2\pi} AF(\psi) \exp\{-j[2m-1]\psi\} d\psi \end{cases} \quad (4.13b)$$

เอกสารนี้เป็นเอกสารสงวนไว้สำหรับการใช้งานเพื่อการศึกษาเท่านั้น ไม่อนุญาตให้นำไปใช้ประโยชน์ด้านการค้า
ไม่ว่ากรณีใดๆ ทั้งสิ้น อีกทั้งห้ามมิให้ตัดแปลงเนื้อหา และต้องอ้างอิงถึงเจ้าของเอกสารทุกครั้งที่มีการนำไปใช้

บทที่ 5
วงจรเลื่อนเฟสโดยใช้นิโคไดโอด
(PIN Diode Phase Shifter)

5-1 กล่าวนำ

วงจรเลื่อนเฟสนั้นมีส่วนสำคัญมาก ในการปรับการกวาดบีมหลักของ
สายอากาศเฟสอาร์เรย์ ดังได้กล่าวไว้แล้ว ในบทต้นๆ โดยจะเป็นอุปกรณ์ที่ใช้
ในการปรับเฟสของกระแส ที่ป้อนให้แก่แต่ละเอลีเมนต์ของสายอากาศอาร์เรย์ เพื่อ
ทำให้เกิดคลื่นที่กระจายออกจากสายอากาศ มีการเสริมกันในทิศทางที่ต้องการให้
สนามมีค่าสูง และหักล้างกันในทิศทางที่ต้องการให้สนามมีค่าต่ำ วงจรเลื่อนเฟส
ทั่วไปที่มีการใช้กันอยู่ มักจะเป็นวงจรเลื่อนเฟสที่ใช้สารเฟอร์ไรท์ (Ferrite
Phase Shifter) ซึ่งโดยส่วนใหญ่จะใช้กับย่านความถี่ไมโครเวฟ จนกระทั่ง
ประมาณปี ค.ศ. 1960 ได้มีการค้นคว้าวิจัยเกี่ยวกับวงจรเลื่อนเฟสที่ใช้สารกึ่ง
ตัวนำเป็นตัวสวิตช์ซึ่งความถี่สูง ได้แก่ตัวนิโคไดโอด (PIN Diode) สำหรับข้อดี
ของการใช้นิโคไดโอด คือ มีความเร็วในการสวิตช์ซึ่งเมื่อเลื่อนเฟสสูง สามารถ
สร้างวงจรขับเพื่อป้อนกระแสไบอัสให้แก่วงจรได้ง่าย และมีผลขึ้นกับอุณหภูมิน้อย
ดังนั้นหลักการของวงจรเลื่อนเฟสโดยใช้นิโคไดโอดก็คือ เป็นการสวิตช์ซึ่งปิดเปิด
แบบดิจิทัลเพื่อทำให้เกิดความแตกต่างของเฟส ที่เป็นมุมเฟสของสัมประสิทธิ์
การสะท้อน (Phase reflection coefficient) ในสองสถานะของการ
ไบอัสให้แก่นิโคไดโอด ตามสมการ ต่อไปนี้

$$\Delta\theta = \arg \Gamma_F - \arg \Gamma_R \quad (5.1)$$

โดยที่ $\Delta\theta$: เป็นความแตกต่างของเฟส หรือมุมเฟสที่เปลี่ยนไป
(Phase shift)

และ $\arg \Gamma_F, \arg \Gamma_R$: เป็นมุมเฟสของสัมประสิทธิ์การสะท้อนของนิโคไดโอด
ในสถานะการไบอัสไปข้างหน้า และย้อนกลับ ตามลำดับ

สำหรับการควบคุมการสวิตชิง เพื่อเลื่อนเฟสนี้ สามารถทำได้โดยใช้โปรแกรมคอมพิวเตอร์ ทั้งนี้จะทำให้ได้การเลื่อนเฟสที่มีผลต่อการกวาด빔ของสายอากาศมีความเร็วสูงมาก โดยอาจจะใช้เวลาน้อยกว่า 1 ไมโครวินาทีต่อการกวาด빔ของสายอากาศ 1 รอบ

วงจรเลื่อนเฟสโดยใช้นินไดโอดนี้ สามารถแบ่งออกได้เป็น 2 แบบ คือ

- ก) แบบส่งผ่าน (Transmission Type) มี 2 ชนิด ดังนี้ คือ
- แบบสวิตช์ไลน์ทรานส์มิชชัน (Switched Line Transmission Type)
 - แบบโหลดไลน์ทรานส์มิชชัน (Loaded Line Transmission Type)
- ข) แบบสะท้อน (Reflection Type) เป็นแบบใช้วงจรไฮบริดคัปเปิลเลอร์รีเฟลคชัน (Hybrid Coupler Reflection Type)

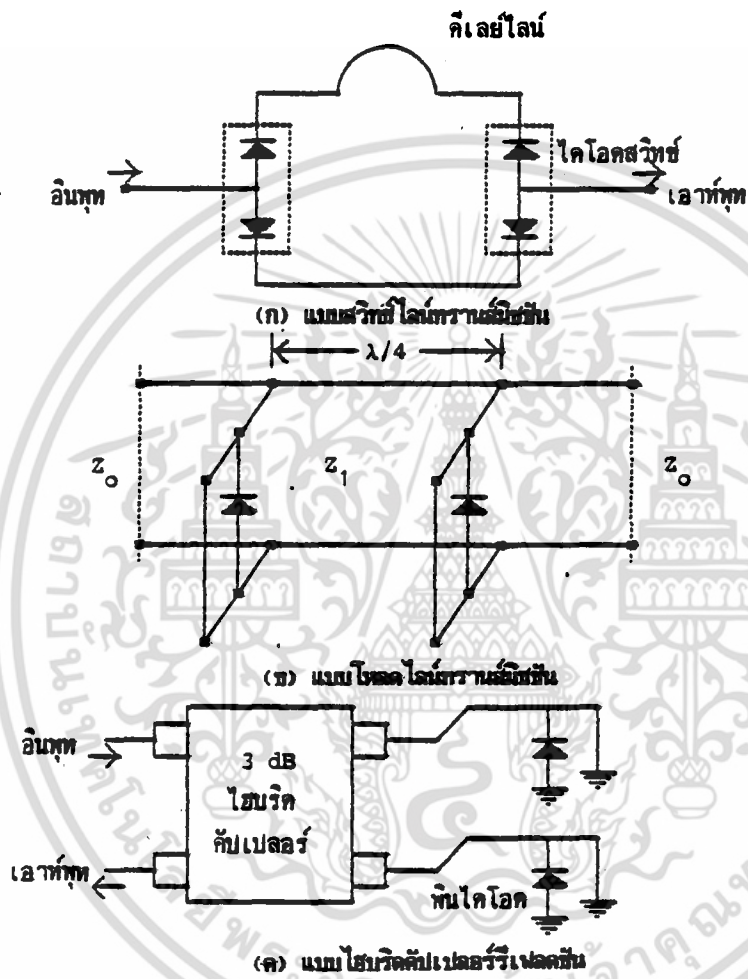
ในที่นี้ได้แสดงรูปลักษณะ ของวงจรเลื่อนเฟสแบบต่างๆ ดังกล่าวไว้ในรูปที่ 5.1

ในวิทยานิพนธ์ฉบับนี้จะศึกษาค้นคว้า และทดลองสร้างวงจรเลื่อนเฟสโดยใช้นินไดโอด ที่ความถี่ ย่านยูเอชเอฟ 915 MHz เป็นแบบสะท้อน ซึ่งจะใช้วงจรไฮบริดคัปเปิลเลอร์ ชนิดบรานซ์ไลน์ไฮบริดคัปเปิลเลอร์ (Branch line hybrid coupler) เหตุผลที่เลือกศึกษาและทดลองวงจรแบบนี้ ก็เนื่องจากว่าเป็นแบบที่ใช้นินไดโอดต่อหนึ่งวงจรจำนวนน้อยที่สุด และมีคุณสมบัติเป็นแบบที่ใช้งานได้ทั้งสองทิศทาง (Reciprocal)

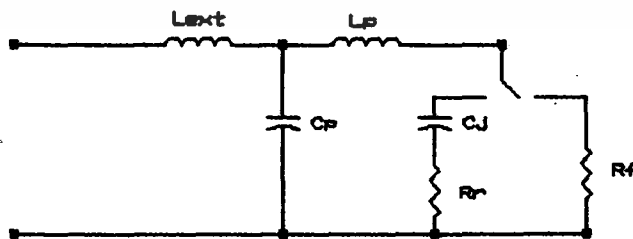
5-2 วงจรสมมูลของนินไดโอด

เนื่องจากนินไดโอดเป็นอุปกรณ์หลักที่ใช้ในการเลื่อนเฟส ของวงจรเลื่อนเฟสที่ใช้ในวิทยานิพนธ์นี้ ดังนั้นจะขอกล่าวถึงคุณสมบัติของนินไดโอดไว้พอสังเขป ดังนี้คือ ตัวนินไดโอดเป็นอุปกรณ์สารกึ่งตัวนำ ที่มีการเติบโตขึ้นนี้กับชั้นเอ็นไวท์นามาก และมีชั้นของสารบริสุทธิ์ ที่มีความต้านทานสูง คั่นไว้ระหว่างกลางเรียกชั้นนี้ว่าชั้นไอ (i region) ในย่านความถี่ที่ต่ำกว่า ความถี่ที่ออกแบบใช้งาน นินไดโอดจะทำหน้าที่เป็นเรกติไฟร์ไดโอด แต่เมื่อนำไปใช้งานที่ย่านความถี่สูงค่าหนึ่งจะทำหน้าที่เป็นสวิตชิงไดโอด เมื่อใช้ปิดเปิดวงจรที่ความถี่สูง เอกสารนี้เป็นเอกสารที่สงวนไว้สำหรับการใช้งานเพื่อการศึกษาเท่านั้น ไม่อนุญาตให้นำไปใช้ประโยชน์ด้านการค้า ไม่ว่าจะกรณีใดๆ ทั้งสิ้น อีกทั้งห้ามมิให้ดัดแปลงเนื้อหา และต้องอ้างอิงถึงเจ้าของเอกสารทุกครั้งที่มีการนำไปใช้

รูปที่ 5.2 เป็นการแสดงลักษณะและวงจรสมมูลของพินไดโอด โดยแสดงค่าของอิมพีแดนซ์ในสถานะการไบอัสไปข้างหน้าและย้อนกลับด้วย [11]



รูปที่ 5.1 แสดงลักษณะของวงจรเลื่อนเฟสโดยให้พินไดโอด



รูปที่ 5.2 แสดงลักษณะและวงจรสมมูลของพินไดโอด

เอกสารนี้เป็นเอกสารที่สงวนไว้สำหรับการใช้งานเพื่อการศึกษาเท่านั้น ไม่อนุญาตให้นำไปใช้ประโยชน์ด้านการค้า ไม่ว่าจะกรณีใดๆ ทั้งสิ้น อีกทั้งห้ามมิให้ดัดแปลงเนื้อหา และต้องอ้างอิงถึงเจ้าของเอกสารทุกครั้งที่มีการนำไปใช้

$$Z_F^D = R_F^D + jX_F^D = \frac{R_F}{(1-\omega^2 L_p C_p)^2} + j(\omega L_{ext} + \frac{\omega L_p}{1-\omega^2 L_p C_p}) \quad (5.2)$$

$$Z_R^D = R_R^D + jX_R^D = \frac{R_R}{[1-\omega C_p (\omega L_p - 1/\omega C_j)]^2} + j \frac{\omega L_{ext} + (\omega L_p - 1/\omega C_j)}{1-\omega C_p (\omega L_p - 1/\omega C_j)} \quad (5.3)$$

จากสมการที่ (5.2) และ (5.3) สามารถคำนวณหาค่าพารามิเตอร์ ของ วงจรสมมูล ได้ดังนี้ คือ

$$L_{ext} = \frac{X_F^D}{\omega} - \frac{L_p}{(1-\omega^2 L_p C_p)} \quad (5.4)$$

$$R_F = R_F^D (1-\omega^2 L_p C_p)^2 \quad (5.5)$$

$$C_j = \frac{1+\omega C_p (X_R^D - \omega L_{ext})}{\omega L (\omega L_{ext} - X_R) (1-\omega^2 L_p C_p) + \omega L_p} \quad (5.6)$$

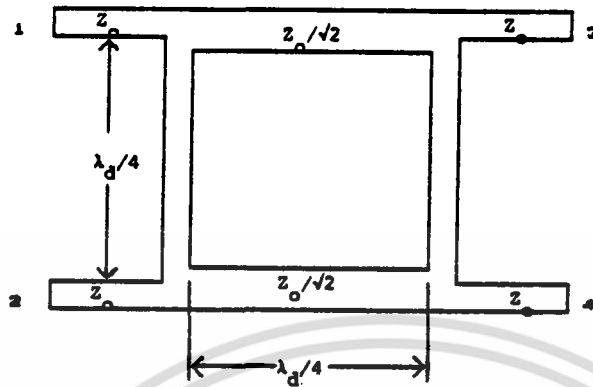
$$R_R = R_R^D [1-\omega C_p (\omega L_p - \frac{1}{\omega C_j})]^2 \quad (5.7)$$

5-3 วงจรบรรณที่ไลน์ไฮบริดคัปเปิลเลอร์

การออกแบบสร้างวงจรเลื่อนเฟส โดยใช้พินไดโอด แบ่งส่วนสำคัญ ออกได้เป็น 2 ส่วน คือ ส่วนของวงจรไฮบริดคัปเปิลเลอร์ และส่วนของวงจร แมทซิ่ง ซึ่งในหัวข้อนี้ จะได้กล่าวถึงเฉพาะส่วนแรกก่อน สำหรับในวิทยานิพนธ์ ฉบับนี้ ได้เลือกใช้วงจรเป็นแบบบรรณที่ไลน์ไฮบริดคัปเปิลเลอร์ ที่มีโครงสร้างเป็น ไมโครสตริปไลน์ (Microstrip Line) ซึ่งมีโครงสร้างดังแสดงในรูปที่ 5.3 โดยขนาดความกว้างของวงจร คำนวณได้จากค่าคาร์แรกเตอร์ริสติกอิมพีแดนซ์ (Characteristic Impedance) ตามความสัมพันธ์ จากสมการต่อไปนี้ [8] คือ

$$\frac{W}{h} = \frac{8}{A} \sqrt{\frac{A}{11} (7 + \frac{4}{\epsilon_r}) + \frac{1}{0.81} (1 + \frac{1}{\epsilon_r})} \quad (5.8)$$

เอกสารนี้เป็นเอกสารที่สงวนไว้สำหรับการใช้งานเพื่อการศึกษาเท่านั้น ไม่อนุญาตให้นำไปใช้ประโยชน์ด้านการค้า ไม่ว่ากรณีใดๆ ทั้งสิ้น อีกทั้งห้ามมิให้ดัดแปลงเนื้อหา และต้องอ้างอิงถึงเจ้าของเอกสารทุกครั้งที่มีการนำไปใช้



รูปที่ 5.3 แสดงโครงสร้างของบรานซ์ไลน์ไฮบริดคัปเปิลอร์

โดยที่ w เป็นความกว้างของไมโครสตริบไลน์
 h เป็นความหนาของสารรองรับ (Substrate)

และ $A = \exp\left[\frac{Z_0}{42.4} \sqrt{\epsilon_r + 1}\right] - 1$ (5.9)

ส่วน ϵ_r เป็นค่าเปอร์มิตติวิตีสัมพัทธ์ (Relative Permittivity) หรือ ค่าคงที่ของไดอิเล็กตริก (Dielectric Constant)

สำหรับความยาวของวงจร กำหนดได้จากความยาว $1/4$ ของความยาวคลื่น λ_d ซึ่งเดินทางในสารรองรับ ที่เป็นสารไดอิเล็กตริก นั่นคือ

$$\lambda_d = \frac{\lambda_0}{\sqrt{\epsilon_{eff}}} \quad (5.10)$$

โดยที่ λ_d คือความยาวคลื่นในสารไดอิเล็กตริก

λ_0 คือความยาวคลื่นในฟรีสเปซ (Free Space)

และ ϵ_{eff} คือค่าเปอร์มิตติวิตีประสิทธิผล (Effective Permittivity)

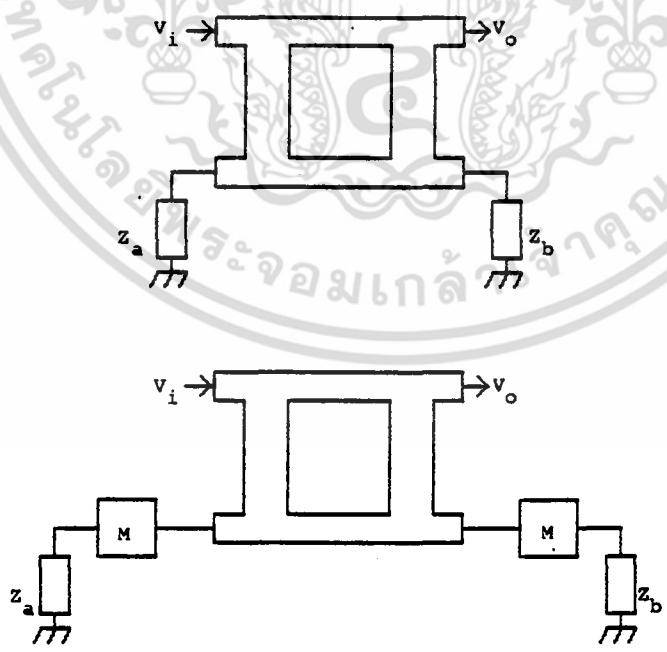
คำนวณได้จากสมการที่ (5.11)

$$\epsilon_{eff} = \frac{(\epsilon_r + 1)}{2} + \frac{(\epsilon_r - 1)}{2} \left[1 + \frac{12h}{w}\right]^{-1/2} \quad \text{เมื่อ } \frac{w}{h} \geq 1 \quad (5.11)$$

เอกสารนี้เป็นเอกสารที่สงวนไว้สำหรับการใช้งานเพื่อการศึกษาเท่านั้น ไม่อนุญาตให้นำไปใช้ประโยชน์ด้านการค้า ไม่ว่ากรณีใดๆ ทั้งสิ้น อีกทั้งห้ามมิให้ดัดแปลงเนื้อหา และต้องอ้างอิงถึงเจ้าของเอกสารทุกครั้งที่มีการนำไปใช้

5-4 วงจรแมททิงแบบทรานส์มิชชั่นไลน์ทรานส์ฟอร์มเมอร์

การต่อพินไดโอด กับวงจรบรรานซ์ไลน์ไฮบริดคัปเปิลเลอร์ ตามปกติไม่สามารถที่จะต่อเข้ากันได้โดยตรง เนื่องจากค่าอิมพีแดนซ์ที่ไม่แมทช์กันจำเป็นจะต้องมีวงจรแมททิง เพื่อปรับค่าอิมพีแดนซ์ของไฮบริดคัปเปิลเลอร์ ให้แมทช์กับค่าอิมพีแดนซ์ของพินไดโอด และเนื่องจากการเลื่อนเฟสของวงจร เกิดจากการเปลี่ยนไปของอิมพีแดนซ์ของพินไดโอดในสองสถานะ คือสถานะไปข้างหน้าและสถานะย้อนกลับ หรือสถานะปิดและเปิดวงจรของพินไดโอดตามสมการที่ (5.1) เพราะฉะนั้นในการสร้างวงจรเลื่อนเฟสโดยใช้พินไดโอด ให้สามารถควบคุมให้เกิดความแตกต่างของเฟสของสัญญาณ ให้เป็นไปตามที่ต้องการได้นั้นจะต้องออกแบบวงจรแมททิงให้มีขนาด (Magnitude) ของสัมประสิทธิ์การสะท้อนมีค่าคงที่ เพื่อทำการแมทช์ค่าอิมพีแดนซ์ของพินไดโอด กับค่าอิมพีแดนซ์ของบรรานซ์ไลน์ไฮบริดคัปเปิลเลอร์ หัวข้อนี้จะได้กล่าวถึง หลักการสร้างวงจรมุ่งกล่าวถึงลักษณะของการต่อวงจรแมททิง เข้ากับวงจรบรรานซ์ไลน์ไฮบริดคัปเปิลเลอร์และพินไดโอด มีดังแสดงในรูปที่ 5.4



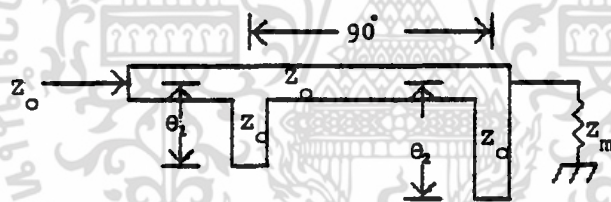
รูปที่ 5.4 แสดงการแมททิงของวงจรเลื่อนเฟสโดยใช้พินไดโอด

เอกสารนี้เป็นเอกสารที่สงวนไว้สำหรับการใช้งานเพื่อการศึกษาเท่านั้น ไม่อนุญาตให้นำไปใช้ประโยชน์ด้านการค้า ไม่ว่าจะกรณีใดๆ ทั้งสิ้น อีกทั้งห้ามมิให้ดัดแปลงเนื้อหา และต้องอ้างอิงถึงเจ้าของเอกสารทุกครั้งที่มีการนำไปใช้

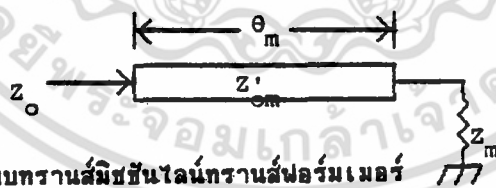
สำหรับวงจรแมทชิงในที่นี้ เป็นวงจรไมโครสตริปไลน์ เช่นเดียวกับ
วงจรบนแผ่นใยปริคคัปเปเลอร์ ซึ่งโดยทั่วไปจะมีแบบที่ใช้กันอยู่ 3 ชนิด
[12] คือ

- (ก) แบบควอเตอร์เวฟเลงธ์ดับเบิลสตัปทรานส์ฟอร์มเมอร์
(Quarter-Wavelength Double-Stub Transformer)
- (ข) แบบทรานส์มิชชั่นไลน์ทรานส์ฟอร์มเมอร์
(Transmission Line Transformer)
- (ค) แบบแทนเดม $\frac{3}{8}$ เวฟเลงธ์เน็ตเวิร์ค
(Tandem $\frac{3}{8}$ Wavelength Network)

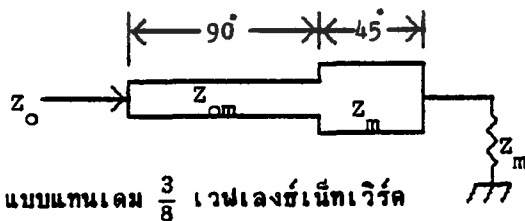
ซึ่งลักษณะโครงสร้าง ของแต่ละชนิด มีดังแสดงในรูปที่ 5.5



(ก) แบบควอเตอร์เวฟเลงธ์ดับเบิลสตัปทรานส์ฟอร์มเมอร์



(ข) แบบทรานส์มิชชั่นไลน์ทรานส์ฟอร์มเมอร์



(ค) แบบแทนเดม $\frac{3}{8}$ เวฟเลงธ์เน็ตเวิร์ค

รูปที่ 5.5 แสดงโครงสร้างของวงจรแมทชิงแบบต่างๆ

เอกสารนี้เป็นเอกสารที่สงวนไว้สำหรับการใช้งานเพื่อการศึกษาเท่านั้น ไม่อนุญาตให้นำไปใช้ประโยชน์ด้านการค้า
ไม่ว่ากรณีใดๆ ทั้งสิ้น อีกทั้งห้ามมิให้ดัดแปลงเนื้อหา และต้องอ้างอิงถึงเจ้าของเอกสารทุกครั้งที่มีการนำไปใช้

ในวิชานี้พบขั้วบับนี้ ได้เลือกใช้วงจรแมทซิ่ง ตามรูป 5.5(ข) แบบทรานส์มิชชันไลน์ทรานส์ฟอร์มเมอร์ เนื่องจากมีโครงสร้างง่ายที่สุด ค่าพารามิเตอร์ของวงจรแมทซิ่ง แบบดังกล่าวสามารถหาได้จากความสัมพันธ์ ตามสมการต่อไปนี้

$$Z'_{om} = \sqrt{\frac{Z_o(R_m Z_o - R_m^2 - X_m^2)}{(Z_o - R_m)}} \quad (5.12)$$

และ $\theta_m = \tan^{-1} \frac{(Z_o - R_m)(R_m Z_o - R_m^2 - X_m^2)}{Z_o X_m^2} \quad (5.13)$

โดยในที่นี้ Z_o คือค่าคาร์แรคเตอร์ริสติกอิมพีแดนซ์ของไฮบริดคัปเปิลเลอร์
 Z'_{om} คือค่าคาร์แรคเตอร์ริสติกอิมพีแดนซ์ของวงจรแมทซิ่ง
 และ θ_m คือความยาวทางไฟฟ้า (Electrical Length) ของวงจรแมทซิ่ง

สำหรับค่า Z_m ในสมการที่ (5.12) และ (5.13) เป็นค่าอิมพีแดนซ์ของวงจรแมทซิ่ง ซึ่งได้จากความสัมพันธ์ต่อไปนี้ คือ

$$Z_m = R_m + jX_m \quad (5.14)$$

โดยในที่นี้ $R_m = \frac{Q}{2} \left[1 \pm 1 + \frac{4P}{Q^2} \right] \quad (5.15-ก)$

$$X_m = UR_m + V \quad (5.15-ข)$$

โดยที่ $P = \frac{(E+MV-V^2)}{(1+U^2)} \quad (5.16-ก)$

$$Q = \frac{(KN-UM+2UV)}{(1+U^2)} \quad (5.16-ข)$$

เอกสารนี้เป็นเอกสารที่สงวนไว้สำหรับการใช้งานเพื่อการศึกษาเท่านั้น ไม่อนุญาตให้นำไปใช้ประโยชน์ด้านการค้าไม่ว่ากรณีใดๆ ทั้งสิ้น อีกทั้งห้ามมิให้ดัดแปลงเนื้อหา และต้องอ้างอิงถึงเจ้าของเอกสารทุกครั้งที่มีการนำไปใช้

$$U = \frac{K(R_1 - R_2)}{(R_1 + R_2)} \quad (5.16-ค)$$

$$V = \frac{(R_1 X_2 + X_1 R_2)}{(R_1 + R_2)} \quad (5.16-ง)$$

และ $E = (R_1 R_2 - X_1 X_2) \quad (5.17-ก)$

$$M = (X_1 + X_2) \quad (5.17-ข)$$

$$N = (X_1 - X_2) \quad (5.17-ค)$$

$$K = \cot\left(\frac{\theta}{2}\right) \quad (5.17-ง)$$

โดยค่า $Z_1 = R_1 + jX_1$ และ $Z_2 = R_2 + jX_2$ คือค่าอิมพีแดนซ์
ของพินไดโอดในสถานะปิด (OFF) และเปิด (ON) ตามลำดับ

บทที่ 6

ส่วนป้อนกระแสสัญญาณให้สายอากาศอาร์เรย์

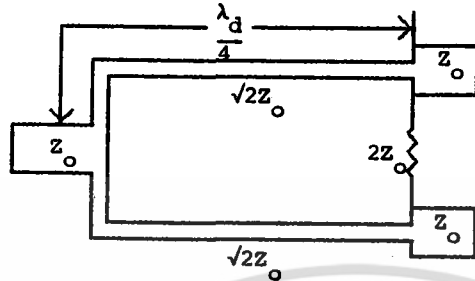
6-1 กล่าวนำ

บทนี้จะกล่าวถึงส่วนสุดท้าย ในการออกแบบและสร้างสายอากาศเฟสอาร์เรย์ โดยแบ่งย่อยออกเป็น 2 ส่วน คือ ส่วนของวงจรแบ่งแยกกำลัง (Power Divider) และส่วนของวงจรลดทอนสัญญาณ (Attenuator) โดยวงจรแบ่งแยกกำลัง จะทำหน้าที่แบ่งกำลังงานของคลื่นให้ออกเท่ากัน โดยค่าอิมพีแดนซ์นั้นจะต้องแมตช์กัน ทั้งอินพุตและเอาต์พุตด้วย และส่วนวงจรลดทอนสัญญาณ จะทำหน้าที่เป็นตัวลดขนาดของกระแสสัญญาณ ที่ป้อนให้แก่สายอากาศแต่ละเอลิเมนต์ เพื่อให้มีขนาดของกระแสตามที่ได้อำนาจ สำหรับการสังเคราะห์รูปแบบการกระจายคลื่น ตามที่ได้อธิบายไว้ ในบทที่ 4 ส่วนของรายละเอียดต่างๆ จะได้กล่าวถึงในหัวข้อต่อไป

6-2 วงจรแบ่งแยกกำลัง (Power Divider)

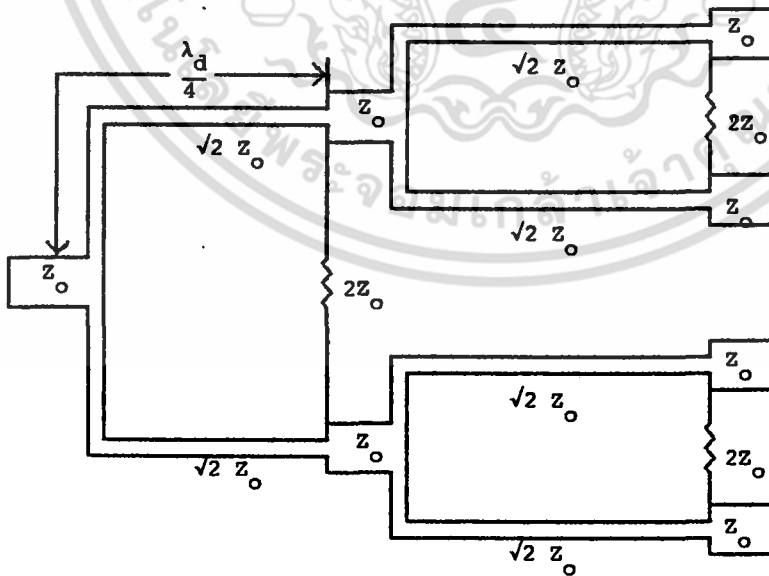
ในส่วนของวงจรแบ่งแยกกำลัง ที่รู้จักกันดีได้แก่วงจรแบ่งแยกกำลังของวิลคินสัน (Wilkinson) [13] ซึ่งมีช่วงความถี่ที่ใช้งานได้กว้าง และมีคุณสมบัติของเฟสเท่ากัน ในแต่ละพอร์ทของเอาต์พุต ลักษณะโครงสร้างของวงจรแบ่งแยกกำลังแบบสองเอาต์พุตมีดังแสดงในรูปที่ 6.1 ซึ่งเป็นแบบที่มีเฟสเดียวกัน และมีเอาต์พุตขนาดเท่ากัน จากรูปจะเห็นเป็นลักษณะของไมโครสตริปไลน์ มีค่าคาร์แตรเตอร์ริสติกอิมพีแดนซ์ เท่ากับ 50 โอห์ม (Z_0) ที่พอร์ทอินพุตและเอาต์พุตเท่ากัน ส่วนในควอเตอร์เวฟไลน์ (Quarter-wave Line) มีค่าคาร์แตรเตอร์ริสติกอิมพีแดนซ์ เท่ากับ 70.7 โอห์ม ($\sqrt{2}Z_0$) และมีความต้านทานไอโซเลท (Isolate Resistor) ค่าเท่ากับ 100 โอห์ม ($2Z_0$) เทอมีเนต (Terminate) ระหว่างเอาต์พุตของวงจรแบ่งแยกกำลังด้วย

การคำนวณหาความกว้างของวงจรแบ่งแยกกำลัง จะใช้สมการที่ (5.8)–(5.9) และการคำนวณความยาวของวงจรก็ใช้ความยาวคลื่นที่เดินทางในสารรองรับ λ_d ตามสมการที่ (5.10)–(5.11) เช่นเดียวกับในการคำนวณเอกสารนี้เป็นเอกสารที่สงวนไว้สำหรับการใช้งานเพื่อการศึกษาเท่านั้น ไม่อนุญาตให้นำไปใช้ประโยชน์ด้านการค้า ไม่ว่าจะกรณีใดๆ ทั้งสิ้น อีกทั้งห้ามมิให้ดัดแปลงเนื้อหา และต้องอ้างอิงถึงเจ้าของเอกสารทุกครั้งที่มีการนำไปใช้



รูปที่ 6.1 แสดงลักษณะโครงสร้างของวงจรแบ่งแยกกำลัง

ความกว้างและความยาวของวงจรบรรณชีไลน์ไฮบริดคัปเปิลเลอร์ ในบทที่ 5 และสำหรับในวิทยานิพนธ์ฉบับนี้ ต้องใช้วงจรแบ่งแยกกำลังเพื่อป้องกันกระแส สัญญาณให้แก่สายอากาศอาร์เรย์ 4 เอลิเมนต์ ในแนวเอลิเวชัน และ 8 เอลิเมนต์ ในแนวอะซิมุทซึ่งมีเอาก์พุกมากกว่า 2 ทาง เราก็ยังคงใช้หลักการของวิลคินสันได้ โดยเพิ่มจำนวนวงจรแบ่งแยกกำลังให้มากขึ้นเป็นสองส่วนหรือสามส่วน ดังได้แสดงไว้ในรูปที่ 6.2



รูปที่ 6.2 แสดงวงจรแบ่งแยกกำลังแบบ 4 เอาก์พุก

เอกสารนี้เป็นเอกสารที่สงวนไว้สำหรับการใช้งานเพื่อการศึกษาเท่านั้น ไม่อนุญาตให้นำไปใช้ประโยชน์ด้านการค้า ไม่ว่าจะกรณีใดๆ ทั้งสิ้น อีกทั้งห้ามมิให้ดัดแปลงเนื้อหา และต้องอ้างอิงถึงเจ้าของเอกสารทุกครั้งที่มีการนำไปใช้

6-3 วงจรลดทอนสัญญาณ (Attenuator)

วงจรลดทอนสัญญาณ โดยปกติมีอยู่หลายชนิด ในที่นี้ได้เลือกใช้วงจรที่ทำขึ้นจากความต้านทานเท่านั้น ซึ่งมีวงจรพื้นฐานอยู่ 2 แบบด้วยกัน คือ แบบพาส-เน็ตเวิร์คเรซิสทีฟ (Pi-Network Resistive) และแบบที-เน็ตเวิร์คเรซิสทีฟ (T-Network Resistive) ดังแสดงได้ด้วยรูปที่ 6.3



(ก) แบบพาส-เน็ตเวิร์คเรซิสทีฟ (ข) แบบที-เน็ตเวิร์คเรซิสทีฟ
Pi-Network Resistive T-Network Resistive

รูปที่ 6.3 แสดงวงจรลดทอนสัญญาณ

วิธีการคำนวณค่าความต้านทาน R_1 และ R_2 ของวงจรลดทอนสัญญาณทั้งสองแบบ มีดังนี้ คือ

แบบพาส-เน็ตเวิร์คเรซิสทีฟ

$$R_1 = \frac{10^{\alpha/20} + 1}{10^{\alpha/20} - 1} Z_0 \quad (6.1)$$

$$R_2 = \frac{2Z_0^2 R_1}{R_1^2 - Z_0^2} \quad (6.2)$$

โดยที่ค่า Z_0 เป็นค่าความต้านทานของคาร์แอดเตอร์เรซิสติฟในแดนซ์ ซึ่งในที่นี้มีค่าเท่ากับ 50 โอห์ม

และ α เป็นค่าการลดทอนสัญญาณ มีหน่วยเป็นเดซิเบล (dB)

เอกสารนี้เป็นเอกสารที่สงวนไว้สำหรับการใช้งานเพื่อการศึกษาเท่านั้น ไม่อนุญาตให้นำไปใช้ประโยชน์ด้านการค้า ไม่ว่าจะกรณีใดๆ ทั้งสิ้น อีกทั้งห้ามมิให้ดัดแปลงเนื้อหา และต้องอ้างอิงถึงเจ้าของเอกสารทุกครั้งที่มีการนำไปใช้

แบบที่-เน็ทเวิร์คคริสทีน

$$R_1 = \frac{10^{\alpha/20} - 1}{10^{\alpha/20} + 1} Z_0 \quad (6.3)$$

$$R_2 = \frac{Z_0^2 - R_1^2}{2R_1} \quad (6.4)$$

โดยที่ค่า Z_0 และ α เป็นค่าเดียวกันกับแบบพาส-เน็ทเวิร์คคริสทีน

จากสมการที่ (6.1)-(6.2) จะเห็นว่าค่า R_1 ลดลง และ R_2 มีค่าเพิ่มมากขึ้น เมื่อค่า α มีค่าเพิ่มขึ้น และในสมการที่ (6.3)-(6.4) ค่า R_1 เพิ่มขึ้น และ R_2 มีค่าลดลง เมื่อค่า α เพิ่มมากขึ้น แต่อย่างไรก็ตามค่า R_1 ทั้งสองแบบจะมีค่าจำกัดอยู่ คือในแบบพาส-เน็ทเวิร์คคริสทีน R_1 จะลดลงจนเท่ากับ 50 โอห์ม และในแบบที่-เน็ทเวิร์คคริสทีน R_1 จะเพิ่มขึ้นได้ไม่เกินค่า 50 โอห์ม เช่นเดียวกัน

บทที่ 7

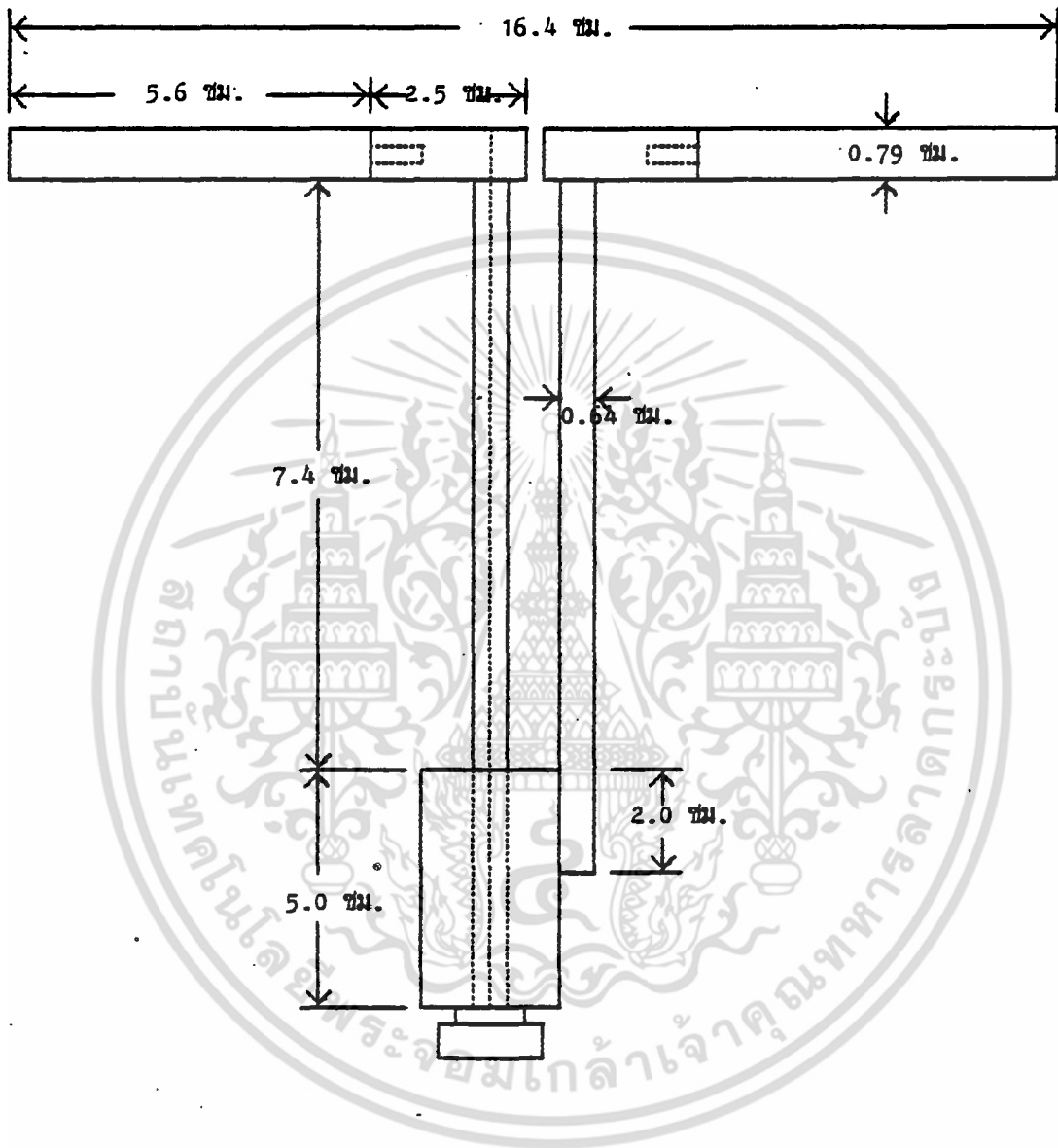
การคำนวณและออกแบบสร้าง

7-1 การคำนวณและออกแบบสายอากาศไดโพลอาร์เรย์

แบบระนาบเหนือบนกราวนด์เพลน

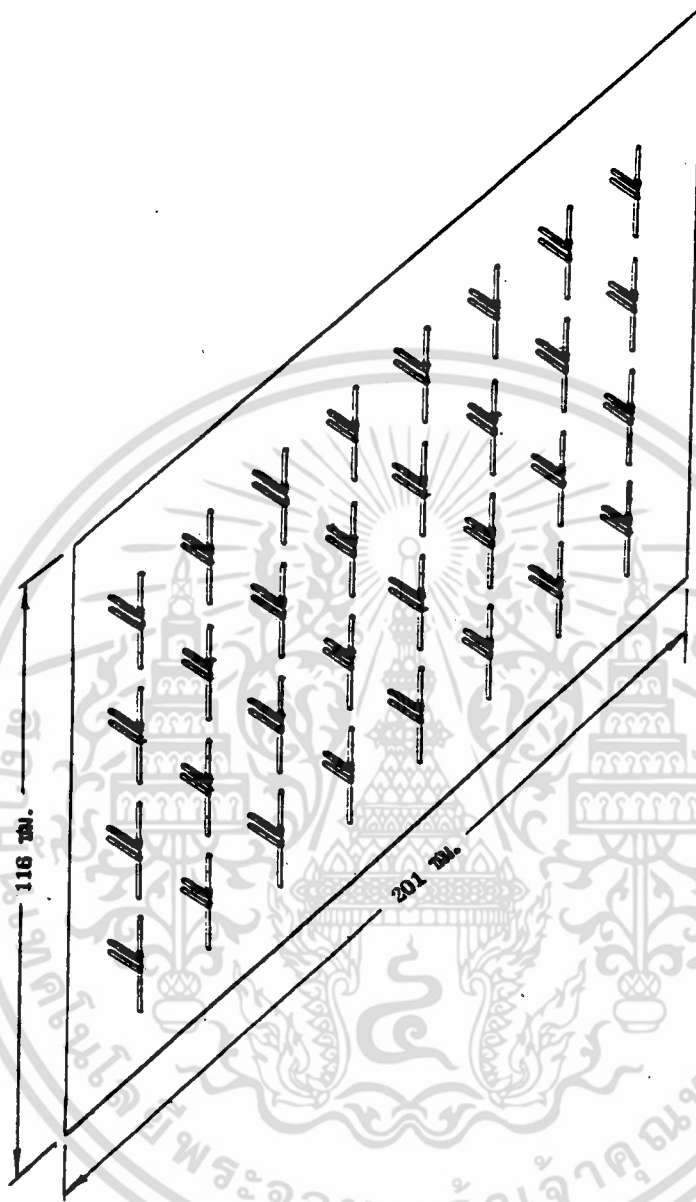
สำหรับในหัวข้อนี้จะแสดงการคำนวณและออกแบบ สายอากาศไดโพล อาร์เรย์แบบระนาบเหนือบนกราวนด์เพลน ก่อนอื่นจะได้กล่าวถึงการคำนวณ ขนาดของสายอากาศไดโพลเอลีเมนต์เดี่ยวก่อน ตามที่ได้กล่าวไว้ในตอนต้นของ วิทยานิพนธ์ฉบับนี้ว่า เราได้กำหนดให้ความถี่ที่ใช้ เท่ากับ 915 MHz ดังนั้น ความยาวคลื่น (λ) ที่คำนวณได้จึงเท่ากับ 32.8 ซม. เพราะฉะนั้นขนาด ความยาวของไดโพล ควรจะมีความยาวประมาณ 16.4 ซม. และรูปแสดง ขนาดของสายอากาศไดโพลเอลีเมนต์เดี่ยว มีดังแสดงไว้ในรูปที่ 7.1 โดยมี การออกแบบบาลัน (Balun) เป็นแบบควอเตอร์เวฟทรานส์ฟอร์ม และเลือก ขนาดของท่อให้ใกล้เคียง กับขนาดของสายอากาศกับบาลันที่คำนวณได้ และเพื่อ สร้างอาร์เรย์สายอากาศไดโพลขึ้นมา เราจะต้องใช้สายอากาศไดโพลจำนวน 32 เอลีเมนต์ จากนั้นก็นำสายอากาศไดโพลทั้งหมดมาติดไว้บนแผ่นอลูมิเนียม ที่ ใช้เป็นกราวนด์เพลน โดยมีระยะห่างระหว่างเอลีเมนต์คงที่เท่ากัน ระยะจาก จุดกึ่งกลางของสายอากาศแต่ละตัว มีระยะห่างเท่ากับ 0.7λ เพราะถ้า เลือกให้ระยะห่างน้อยกว่านี้ ก็จะทำให้สายอากาศอยู่ชิดกันมาก และเกิดมีช่วง คลื่นได้มากกว่า แต่ถ้าเลือกให้ระยะห่างมากกว่านี้ คือมากกว่า λ จะทำให้เกิดเกรตติ้งโลบ (Grating Lobe) สูงมาก และทำให้ขนาดของระนาบ กราวนด์เพลนใหญ่ขึ้นมากด้วย สำหรับโครงสร้างแสดงการวางเอลีเมนต์ของ ไดโพลอาร์เรย์ แสดงไว้ในรูปที่ 7.2 ซึ่งมีจำนวน 4 แถว 8 คอลัมน์ ความกว้างและความยาวของระนาบกราวนด์เพลนประมาณ 116 ซม. และ 201 ซม. ตามลำดับ

เอกสารนี้เป็นเอกสารที่สงวนไว้สำหรับการใช้งานเพื่อการศึกษาเท่านั้น ไม่อนุญาตให้นำไปใช้ประโยชน์ด้านการค้า ไม่ว่ากรณีใดๆ ทั้งสิ้น อีกทั้งห้ามมิให้ดัดแปลงเนื้อหา และต้องอ้างอิงถึงเจ้าของเอกสารทุกครั้งที่มีการนำไปใช้



รูปที่ 7.1 แสดงขนาดของสายอากาศไดโพลเอลีเมนต์เดียว

เอกสารนี้เป็นเอกสารที่สงวนไว้สำหรับการใช้งานเพื่อการศึกษาเท่านั้น ไม่อนุญาตให้นำไปใช้ประโยชน์ด้านการค้า ไม่ว่าจะกรณีใดๆ ทั้งสิ้น อีกทั้งห้ามมิให้ดัดแปลงเนื้อหา และต้องอ้างอิงถึงเจ้าของเอกสารทุกครั้งที่มีการนำไปใช้



รูปที่ 7.2 แสดงการวางเอลีเมนต์ของโดโพลาร์เรย์
เหนือบนระนาบกราวนด์เพลน

7-2 การคำนวณและออกแบบสังเคราะห์รูปแบบการกระจายคลื่น

7-2-1 การสังเคราะห์แบบบีมวิดธ์แคบ ไซด์โหลบต่ำ

โดยวิธีการใช้เซปปีเซนโพลีโนเมียล ตามหัวข้อ 4-2 ความต้องการ
ของวิทยานิพนธ์ฉบับนี้ คือ ต้องการสังเคราะห์ให้รูปแบบการกระจายคลื่นมี
บีมวิดธ์แคบ ไซด์โหลบต่ำ ในระนาบอะซิมท ซึ่งมีเอลีเมนต์ของสายอากาศอยู่ 8
เอกสารนี้เป็นเอกสารที่สงวนไว้สำหรับการใช้งานเพื่อการศึกษาเท่านั้น ไม่นิยญาติให้นำไปใช้ประโยชน์ด้านการค้า
ไม่ว่ากรณีใดๆ ทั้งสิ้น อีกทั้งห้ามมิให้ดัดแปลงเนื้อหา และต้องอ้างอิงถึงเจ้าของเอกสารทุกครั้งที่มีการนำไปใช้

เอลีเมนต์ ดังนั้นจำนวนเอลีเมนต์ของอาร์เรย์ที่ใช้คำนวณ ในที่นี้เท่ากับ 8 เอลีเมนต์ กล่าวคือค่า M ตามสมการที่ (2.1) มีค่าเท่ากับ 4 ระยะห่างระหว่างเอลีเมนต์ $d = 0.7\lambda$ และ กำหนดให้มีค่าระดับของไซด์โทลเบ เมื่อเทียบกับค่าสูงสุดของเมนโทลเบ เท่ากับ 20 dB โดยอาศัยขั้นตอนการออกแบบตามหัวข้อที่ 4-2-1 จะได้ว่า

1. ค่าตัวประกอบอาร์เรย์ที่เหมาะสม ตามสมการ (2.1) เท่ากับ

$$(AF)_0 = \sum_{n=1}^4 a_n \cos[(2n-1)u] \quad (7.1)$$

โดยที่ $u = \frac{\pi d}{\lambda} \cos\theta = 0.7\pi \cos\theta$ (7.2)

2. เมื่อกระจายค่าตัวประกอบอาร์เรย์ จะได้

$$(AF)_0 = a_1 \cos(u) + a_2 \cos(3u) + a_3 \cos(5u) + a_4 \cos(7u) \quad (7.3)$$

3. ทำการหาจุด $z = z_0$ ที่ทำให้ $T_7(z_0) = R_0$

จากข้อกำหนด เราได้ให้ $SLL = 20 \text{ dB} = R_0$

ดังนั้น จะได้ว่า $R_0 = 10$ เท่า โดยอาศัยสมการ (4.4) เราจะได้

$$T_7(z_0) = \cosh[7 \cosh^{-1}(z_0)] = R_0 \quad (7.4)$$

เพราะฉะนั้น

$$z_0 = \cosh\left[\frac{1}{7} \cosh^{-1}(10)\right] = 1.0928 \quad (7.5)$$

ซึ่งค่า z_0 นี้อาจจะใช้สมการ ที่ (7.6) คำนวณแทนได้ ดังนี้

เอกสารนี้เป็นเอกสารที่สงวนไว้สำหรับการใช้งานเพื่อการศึกษาเท่านั้น ไม่อนุญาตให้นำไปใช้ประโยชน์ด้านการค้าไม่ว่ากรณีใดๆ ทั้งสิ้น อีกทั้งห้ามมิให้ดัดแปลงเนื้อหา และต้องอ้างอิงถึงเจ้าของเอกสารทุกครั้งที่มีการนำไปใช้

$$z_0 = \frac{1}{2} \left[(R_0 + \sqrt{R_0^2 - 1})^{1/p} + (R_0 - \sqrt{R_0^2 - 1})^{1/p} \right] \quad (7.6)$$

โดยในที่นี้ p คือ จำนวนเต็ม ที่มีค่าน้อยกว่าจำนวนเอลีเมนต์ของอาร์เรย์อยู่ 1

$$z_0 = \frac{1}{2} \left[(10 + \sqrt{100 - 1})^{1/7} + (10 - \sqrt{100 - 1})^{1/7} \right] = 1.0928 \quad (7.7)$$

ดังนั้น จะได้ว่า $\cos(u) = \frac{z}{z_0} = \frac{z}{1.0928} \quad (7.8)$

4. แทนค่าฟังก์ชันของ $\cos(mu)$ ในขั้นตอนที่ 2 และแทนค่า

$\cos(u) = \frac{z}{1.0928}$ แล้วจะได้ค่าตัวประกอบอาร์เรย์เท่ากับ

$$\begin{aligned} (AF)_8 &= a_1 \left(\frac{z}{z_0} \right) + a_2 \left(\frac{4z^3}{z_0^3} - \frac{3z}{z_0} \right) \\ &+ a_3 \left(\frac{16z^5}{z_0^5} - \frac{20z^3}{z_0^3} + \frac{5z}{z_0} \right) + a_4 \left(\frac{64z^7}{z_0^7} - \frac{112z^5}{z_0^5} + \frac{56z^3}{z_0^3} - \frac{7z}{z_0} \right) \\ &= \frac{z}{z_0} (a_1 - 3a_2 + 5a_3 - 7a_4) + \frac{z^3}{z_0^3} (4a_2 - 20a_3 + 56a_4) \\ &+ \frac{z^5}{z_0^5} (16a_3 - 112a_4) + \frac{z^7}{z_0^7} (64a_4) \end{aligned} \quad (7.9)$$

5. โดยการจัดรูปสมการระหว่างตัวประกอบอาร์เรย์ กับค่า $T_7(z)$ แล้วเทียบสัมประสิทธิ์หาค่า a_n ($n = 1$ ถึง 4) จะได้ค่าแต่ละค่า ดังนี้ คือ

$$\begin{aligned} a_1 &= 3.2025 & a_2 &= 2.8074 \\ a_3 &= 2.1187 & a_4 &= 1.8612 \end{aligned} \quad (7.10)$$

เมื่อทำการนอร์มอลไลซ์ (Normalized) ค่า a_n ที่คำนวณได้โดยค่า 3.2025 แล้วจะได้

เอกสารนี้เป็นเอกสารที่สงวนไว้สำหรับการใช้งานเพื่อการศึกษาเท่านั้น ไม่อนุญาตให้นำไปใช้ประโยชน์ด้านการค้า ไม่ว่ากรณีใดๆ ทั้งสิ้น อีกทั้งห้ามมิให้ดัดแปลงเนื้อหา และต้องอ้างอิงถึงเจ้าของเอกสารทุกครั้งที่มีการนำไปใช้

$$\begin{aligned} a_1 &= 1.0000 & a_2 &= 0.8766 \\ a_3 &= 0.6616 & a_4 &= 0.5812 \end{aligned} \quad (7.11)$$

6. ทำการแทนค่าสัมประสิทธิ์ที่คำนวณได้ ลงในสมการแสดงความสัมพันธ์ของตัวประกอบอาร์เรย์ จะได้

$$(AF)_\theta = \cos(u) + 0.8766\cos(3u) + 0.6616\cos(5u) + 0.5812\cos(7u) \quad (7.12)$$

การคำนวณ ค่าไคเร็คติวิตีและบีมวิดธ์ ของสายอากาศแบบเซปบีเซพอาร์เรย์นี้ทำได้ โดยก่อนอื่น จะต้องคำนวณหาค่า บีมบรอดเดนนิงแฟคเตอร์ จากสมการที่ (4.6) ดังนี้

$$\begin{aligned} f &= 1 + 0.636 \left\{ \frac{2}{10} \cosh \left[\sqrt{(\cosh^{-1}(10))^2 - \pi^2} \right] \right\} \\ f &= 1 + 0.896 = 1.896 \end{aligned} \quad (7.13)$$

ค่าบีมวิดธ์สามารถหาได้ จากสมการที่ (4.7) เมื่อคูณกับค่าบีมบรอดเดนนิงแฟคเตอร์ นั่นคือ

$$\theta_h = \cos^{-1} \left[\frac{-0.443\lambda}{(4.9\lambda + 0.7\lambda)} \right] - \cos^{-1} \left[\frac{+0.443\lambda}{(4.9\lambda + 0.7\lambda)} \right]$$

$$\theta_h = 94.54^\circ - 85.46^\circ = 9.08^\circ$$

$$\text{Beamwidth} = f \cdot \theta_h = 1.896 \times 9.08^\circ = 10.08^\circ \quad (7.14)$$

และค่าไคเร็คติวิตี ของเซปบีเซพอาร์เรย์ เมื่อคำนวณจากสมการที่ (4.8) สามารถหาได้ ดังนี้

$$D_o = \frac{2 \times 100}{1 + (100 - 1) 1.896 \lambda / (4.9\lambda + 0.7\lambda)} = 9.08 \text{ เท่า} = 9.58 \text{ dB} \quad (7.15)$$

เอกสารนี้เป็นเอกสารที่สงวนไว้สำหรับการใช้งานเพื่อการศึกษาเท่านั้น ไม่อนุญาตให้นำไปใช้ประโยชน์ด้านการค้า ไม่ว่าจะกรณีใดๆ ทั้งสิ้น อีกทั้งห้ามมิให้ดัดแปลงเนื้อหา และต้องอ้างอิงถึงเจ้าของเอกสารทุกครั้งที่มีการนำไปใช้

7-2-2 การสังเคราะห์เซคเตอร์แพทเทิร์น

ในระนาบเอลีเวชัน ของสายอากาศเฟสอาร์เรย์ แต่ละคอลัมน์มี
เอลีเมนต์ของไดโพลอยู่ 4 เอลีเมนต์ ระยะห่างเท่ากับ 0.7λ จะสังเคราะห์
รูปแบบการกระจายคลื่นเป็นแบบเซคเตอร์แพทเทิร์น ตามวิธีการในหัวข้อที่ 4-3
อาศัยสมการที่ (4.10) เมื่อจำนวนเอลีเมนต์เป็นเลขคู่ ($N = 4 = 2M \Rightarrow M$
 $= 2$) จะได้ค่าตัวประกอบอาร์เรย์เป็น

$$AF(\psi) = \sum_{m=-2}^{-1} a_m \exp\{j[\frac{(2m+1)}{2}]\psi\} + \sum_{m=1}^2 a_m \exp\{j[\frac{(2m-1)}{2}]\psi\} \quad (7.16)$$

โดยที่ $\psi = 1.4\pi \cos\theta + \beta \quad (7.17)$

ในที่นี้จุดมุ่งหมายที่ต้องการหา คือ คำนวณค่าสัมประสิทธิ์ของการป้อน
กระแสสัญญาณ a_m เพื่อสังเคราะห์แพทเทิร์นเป็นแบบเซคเตอร์แพทเทิร์น โดย
อาศัยสมการที่ (4.13b) เมื่อเอลีเมนต์เป็นจำนวนคู่ นั่นคือ

$$a_m = \begin{cases} \frac{1}{2\pi} \int_{-\frac{1.4\pi}{2}}^{\frac{1.4\pi}{2}} \exp\{-j[\frac{2m+1}{2}]\psi\} d\psi \\ \frac{1}{2\pi} \int_{-\frac{1.4\pi}{2}}^{\frac{1.4\pi}{2}} \exp\{-j[\frac{2m-1}{2}]\psi\} d\psi \end{cases} \quad (7.18)$$

จะได้ว่า

$$a_m = \begin{cases} \frac{1.4}{\sqrt{2}} \frac{\sin[\frac{(2m+1)}{2} \cdot 1.4\pi/\sqrt{2}]}{(2m+1/2) \cdot 1.4\pi/\sqrt{2}} \\ \frac{1.4}{\sqrt{2}} \frac{\sin[\frac{(2m-1)}{2} \cdot 1.4\pi/\sqrt{2}]}{(2m-1/2) \cdot 1.4\pi/\sqrt{2}} \end{cases} \quad (7.19)$$

เมื่อแทนค่า m ตามตำแหน่งต่างๆ ในสมการที่ (7.19) จะได้ค่า
 a_m ตามตารางที่ 7.1 ดังนี้

เอกสารนี้เป็นเอกสารที่สงวนไว้สำหรับการใช้งานเพื่อการศึกษาเท่านั้น ไม่อนุญาตให้นำไปใช้ประโยชน์ด้านการค้า
ไม่ว่ากรณีใดๆ ทั้งสิ้น อีกทั้งห้ามมิให้ดัดแปลงเนื้อหา และต้องอ้างอิงถึงเจ้าของเอกสารทุกครั้งที่มีการนำไปใช้

m	z_m	a_m	a_m (นอร์มอลไลซ์)
-2	-1.05λ	-0.21197	-0.3330
-1	-0.35λ	0.6365	1.0000
+1	$+0.35\lambda$	0.6365	1.0000
+2	$+1.05\lambda$	-0.21197	-0.3330

ตารางที่ 7.1 แสดงสัมประสิทธิ์การป้อนกระแสสัญญาณของเซคเตอร์แพทเทิร์น

7-3 การคำนวณและออกแบบวงจรเลื่อนเฟสโดยให้พินไดโอด

สำหรับหัวข้อนี้ เป็นการออกแบบวงจรเลื่อนเฟสโดยให้พินไดโอด ซึ่งได้อธิบายหลักการไว้แล้วในบทที่ 5 ส่วนที่ต้องคำนวณ แบ่งได้เป็น 2 ส่วน คือ ส่วนของวงจรบรานซ์ไลน์ไฮบริดคัปเปิลเลอร์ และส่วนของวงจรแมทชิง โดยที่ทั้งสองส่วนนี้ ค่าความถี่ที่ต้องการใช้งาน คือ 915 MHz สำหรับสารรองรับ (Substrate) ได้ใช้แผ่นวงจรพิมพ์ที่มีชื่อคือเป็นสารรองรับ มีค่าคงที่ของไดอิเล็กตริก หรือค่าเปอร์มิตติวิตีสัมพัทธ์ประมาณ 3.151

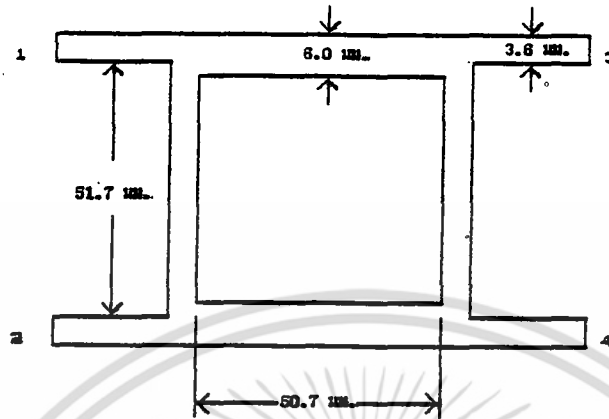
7-3-1 การคำนวณและออกแบบวงจรบรานซ์ไลน์ไฮบริดคัปเปิลเลอร์

ตามโครงสร้างของรูปที่ 5.3 โดยอาศัยสมการที่ (5.8)-(5.11) จะได้ขนาดของวงจรบรานซ์ไลน์ไฮบริดคัปเปิลเลอร์ แบ่งเป็น 2 ส่วน ดังนี้ คือ

(ก) $Z_0 = 50$ โอห์ม มีความกว้างและความยาวเท่ากับ 3.6 มม. และ 51.7 มม. ตามลำดับ

(ข) $Z_0/\sqrt{2} = 35.36$ โอห์ม มีความกว้างและความยาวเท่ากับ 6.0 มม. และ 50.7 มม. ตามลำดับ

สำหรับผลการคำนวณขนาดของวงจรบรานซ์ไลน์ไฮบริดคัปเปิลเลอร์ ที่ได้ออกแบบไว้ จะแสดงด้วยรูปที่ 7.3



รูปที่ 7.3 แสดงขนาดของวงจรรานซ์ไลน์ไฮบริดคัปเปิลอร์ที่ได้คำนวณออกแบบ

7-3-2 การคำนวณและออกแบบวงจรมัททิง

ในที่นี้เลือกใช้วงจรมัททิงแบบทรานส์มิชชันไลน์ทรานส์ฟอร์มเมอร์ ตามรูปที่ 5.5 (ข) โดยหาค่าอิมพีแดนซ์ของพินไดโอดสองสถานะ ซึ่งได้เลือกใช้พินไดโอดเบอร์ 1SV128 ของบริษัทโตชิบา ซึ่งจากการทดลองหาค่าอิมพีแดนซ์ได้ค่า ดังนี้

สถานะปิด (OFF) $Z_1 = 149.07 + j14.51$ โอห์ม

สถานะเปิด (ON) $Z_2 = 31.92 + j8.80$ โอห์ม

แทนค่า Z_1 และ Z_2 ลงในสมการที่ (5.16)-(5.17) เพื่อหาค่า Z_m ในสมการที่ (5.15) เพื่อนำไปคำนวณค่า Z'_{in} และ θ_m ตามสมการที่ (5.12) และ (5.13) ตามลำดับ

จากผลการคำนวณตามขั้นตอนดังกล่าว จะได้ขนาดของวงจรมัททิงที่ใช้กับวงจรรเลือนเฟส 3 บิต ที่มีความต่างเฟสของแต่ละบิตเท่ากับ 45° , 90° และ 180° ตามลำดับ โดยได้คำนวณที่ความถี่ 915 MHz บนแผ่นวงจรมัททิงที่มีอีพ็อกซี เป็นสารรองรับ มีค่าเปอร์มิตติวิตีสัมพัทธ์ เท่ากับ 3.151 เช่นเดียวกับวงจรรานซ์ไลน์ไฮบริดคัปเปิลอร์ ซึ่งได้แสดงค่าความกว้างและความยาวของไมโครสตริปไลน์ โดยใช้สมการที่ (5.8)-(5.11) สำหรับการคำนวณไว้ในตารางที่ 7.2

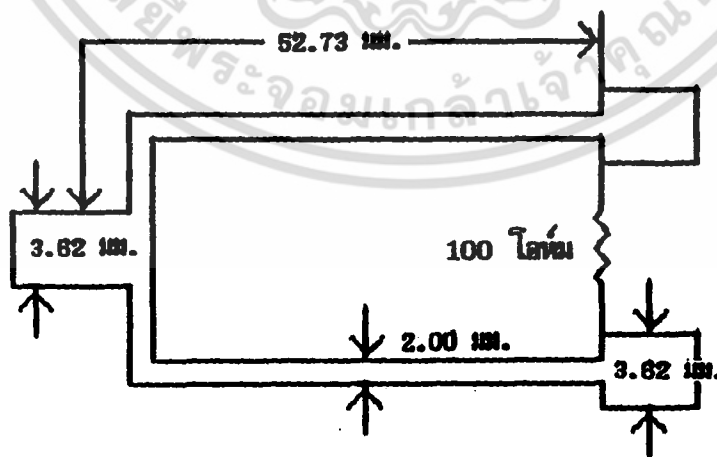
เอกสารนี้เป็นเอกสารที่สงวนไว้สำหรับการใช้งานเพื่อการศึกษาเท่านั้น ไม่อนุญาตให้นำไปใช้ประโยชน์ด้านการค้าไม่ว่ากรณีใดๆ ทั้งสิ้น อีกทั้งห้ามมิให้ดัดแปลงเนื้อหา และต้องอ้างอิงถึงเจ้าของเอกสารทุกครั้งที่มีการนำไปใช้

$\Delta\theta$	$Z'_{om} (\Omega)$	θ_m	W(มม.)	L(มม.)
45°	99.15	23.06°	0.98	11.8
90°	82.89	30.85°	1.46	15.8
180°	60.28	67.89°	2.67	34.8

ตารางที่ 7.2 แสดงผลการคำนวณออกแบบวงจรแม่เหล็กของวงจรเลื่อนเฟส

7-4 การคำนวณและออกแบบวงจรแบ่งแยกกำลัง

การออกแบบได้ทำตามหลักการและวิธีการคำนวณออกแบบ ในบทที่ 6 ในที่นี้จะต้อง ออกแบบวงจรแบ่งแยกกำลัง เป็น 2 แบบ คือ แบบ 4 เอาท์พุท ตามรูปที่ 7.4 สำหรับการสังเคราะห์เซคเตอร์แพทเทิร์น ของอาร์เรย์ 4 เอลิเมนต์และแบบ 8 เอาท์พุท สำหรับการสังเคราะห์แพทเทิร์นแบบบีมิวิดซ์แคบ ไซค์โหลบต่ำ ของอาร์เรย์ 8 เอลิเมนต์ โดยจะใช้สมการที่ (5.8)-(5.11) ในการคำนวณขนาดความกว้างและความยาวของวงจรแบ่งแยกกำลัง พร้อมทั้งนี้ ในรูปที่ 7.4 ได้แสดงผลของการคำนวณดังกล่าวไว้ด้วย



รูปที่ 7.4 แสดงขนาดของวงจรแบ่งแยกกำลังที่ได้คำนวณออกแบบ

เอกสารนี้เป็นเอกสารที่สงวนไว้สำหรับการใช้งานเพื่อการศึกษาเท่านั้น ไม่อนุญาตให้นำไปใช้ประโยชน์ด้านการค้า ไม่ว่าจะกรณีใดๆ ทั้งสิ้น อีกทั้งห้ามมิให้ดัดแปลงเนื้อหา และต้องอ้างอิงถึงเจ้าของเอกสารทุกครั้งที่มีการนำไปใช้

สำหรับขนาดของ W_1 ต้องการให้มีค่าอิมพีแดนซ์ 50 โอห์ม มีค่าเปอร์มิตติวิตีสัมพัทธ์ประมาณ 3.151 ที่ความถี่ 915 MHz และมีความหนา (h) ของแผ่นวงจรพิมพ์ที่เท่ากับ 1.5 มม.

$$\frac{W_1}{h} = \frac{8}{A} \sqrt{\frac{A}{11} \left(7 + \frac{4}{3.151}\right) + \frac{1}{0.81} \left(1 + \frac{1}{3.151}\right)}$$

โดยที่ $A = \exp\left\{\frac{50}{42.4} \sqrt{3.151+1}\right\} - 1 = 10.052$

$$\frac{W_1}{1.5} = \frac{8}{10.052} \sqrt{\frac{10.052}{11} (8.269) + 1.626} = 2.412$$

$$W_1 = 3.62 \text{ มม.}$$

แต่สำหรับขนาดของ W_2 ต้องการให้มีค่าอิมพีแดนซ์เท่ากับ 70.7 โอห์ม โดยใช้ค่าพารามิเตอร์อื่นๆ เช่นเดียวกับส่วนของ W_1 เราสามารถคำนวณหา W_2 ได้ดังนี้ คือ

$$\frac{W_2}{h} = \frac{8}{A} \sqrt{\frac{A}{11} (8.269) + 1.626}$$

โดยที่ $A = \exp\left\{\frac{70.7}{42.4} \sqrt{3.151+1}\right\} - 1 = 28.882$

$$\frac{W_2}{1.5} = \frac{8}{28.882} \sqrt{\frac{28.882}{11} (8.269) + 1.626} = 1.338$$

$$W_2 = 2.00 \text{ มม.}$$

และสำหรับค่าความยาวคลื่น ที่เดินทางในแผ่นวงจรพิมพ์ คำนวณจากสมการที่ (5.10) คือ

$$\lambda_d = \frac{\lambda_0}{\sqrt{\epsilon_{eff}}}$$

เอกสารนี้เป็นเอกสารที่สงวนไว้สำหรับการใช้งานเพื่อการศึกษาเท่านั้น ไม่อนุญาตให้นำไปใช้ประโยชน์ด้านการค้า ไม่ว่าจะกรณีใดๆ ทั้งสิ้น อีกทั้งห้ามมิให้ดัดแปลงเนื้อหา และต้องอ้างอิงถึงเจ้าของเอกสารทุกครั้งที่มีการนำไปใช้

ทั้งนี้ค่า ϵ_{eff} สามารถคำนวณได้จาก สมการที่ (5.11) คือ

$$\epsilon_{eff} = \frac{3.151+1}{2} + \frac{3.151-1}{2} \left(1 + \frac{12}{1.338}\right)^{-1/2}$$
$$\epsilon_{eff} = 2.416$$

เมื่อแทนค่า λ_0 และ ϵ_{eff} จะได้ค่า

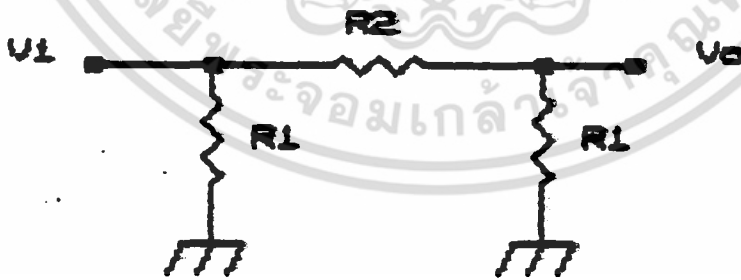
$$\lambda_d = \frac{32.787}{\sqrt{2.416}} = 21.09 \text{ ซม.}$$

เพราะฉะนั้น จะได้ค่าความยาวของวงจรแบ่งแฉกกำลัง เท่ากับ

$$\frac{\lambda_d}{4} = \frac{21.09}{4} = 5.273 \text{ ซม.} = 52.73 \text{ มม.}$$

7-5 การคำนวณและออกแบบวงจรลดทอนสัญญาณ

สำหรับวงจรลดทอนสัญญาณ ในวิทยานิพนธ์ฉบับนี้ ได้เลือกใช้วงจรลดทอนสัญญาณ ตามหัวข้อที่ 6-3 คือแบบพาส-เน็ตเวิร์คคริสตีฟ ซึ่งได้แสดงให้เห็นอีกครั้ง ด้วยวงจรในรูปที่ 7.5



รูปที่ 7.5 แสดงวงจรลดทอนสัญญาณแบบพาส-เน็ตเวิร์คคริสตีฟ

สำหรับค่า R_1 และ R_2 ในรูปที่ 7.5 สามารถคำนวณได้ด้วยสมการที่ (6.1)-(6.2) ซึ่งในวิทยานิพนธ์ฉบับนี้ จะมีการคำนวณวงจรลดทอนสัญญาณ เอกสารนี้เป็นเอกสารที่สงวนไว้สำหรับการใช้งานเพื่อการศึกษาเท่านั้น ไม่อนุญาตให้นำไปใช้ประโยชน์ด้านการค้า ไม่ว่าจะกรณีใดๆ ทั้งสิ้น อีกทั้งห้ามมิให้ดัดแปลงเนื้อหา และต้องอ้างอิงถึงเจ้าของเอกสารทุกครั้งที่มีการนำไปใช้

แบ่งเป็น 2 ส่วน คือ ส่วนของการสังเคราะห์แบบเซคเตอร์แพทเทิร์น และส่วนของการสังเคราะห์แบบบีมวิดธ์แคบ ไซด์โทลเบต่ำ ดังต่อไปนี้ คือ

- ส่วนการสังเคราะห์แบบบีมวิดธ์แคบ ไซด์โทลเบต่ำ

จากหัวข้อที่ 7-2-1 ได้ค่าสัมประสิทธิ์ของการป้อนกระแสสัญญาณ ที่นอร์มอลไรซ์แล้ว ดังนี้ คือ

$$\begin{aligned} a_1 &= 1.0000 & a_2 &= 0.8766 \\ a_3 &= 0.6616 & a_4 &= 0.5812 \end{aligned}$$

เมื่อทำการแปลงค่าเป็นการลดทอนสัญญาณสัมพันธ์ จะได้ค่าดังตารางที่ 7.3 ต่อไปนี้ คือ

α_n	ค่าการลดทอนสัญญาณสัมพันธ์ (dB)
α_1	0.00
α_2	1.14
α_3	3.59
α_4	4.71

ตารางที่ 7.3 แสดงค่าการลดทอนสัญญาณสัมพันธ์ ของการสังเคราะห์แบบบีมวิดธ์แคบ ไซด์โทลเบต่ำ

เมื่อแทนค่าการลดทอนสัญญาณสัมพันธ์ที่ได้ ลงในสมการที่ (6.1) และ (6.2) จะได้วงจรลดทอนสัญญาณ 3 วงจร โดยส่วนของ α_1 จะไม่มีการลดทอนของสัญญาณ ค่าของความต้านทานต่างๆ ที่คำนวณได้มีดังต่อไปนี้ คือ

เอกสารนี้เป็นเอกสารที่สงวนไว้สำหรับการใช้งานเพื่อการศึกษาเท่านั้น ไม่อนุญาตให้นำไปใช้ประโยชน์ด้านการค้า ไม่ว่ากรณีใดๆ ทั้งสิ้น อีกทั้งห้ามมิให้ดัดแปลงเนื้อหา และต้องอ้างอิงถึงเจ้าของเอกสารทุกครั้งที่มีการนำไปใช้

เมื่อค่า $\alpha_2 = 1.14$ dB

$$R_{12} = \left(\frac{10^{1.14/20} + 1}{10^{1.14/20} - 1} \right) 50$$

$$= \left(\frac{2.140}{0.140} \right) 50 = 764.29 \text{ โทห์ม}$$

$$R_{22} = \frac{2 \times 50^2 \times 764.29}{764.29^2 - 50^2} = 6.57 \text{ โทห์ม}$$

เมื่อค่า $\alpha_3 = 3.59$ dB

$$R_{13} = \left(\frac{10^{3.59/20} + 1}{10^{3.59/20} - 1} \right) 50$$

$$= \left(\frac{2.512}{0.512} \right) 50 = 245.31 \text{ โทห์ม}$$

$$R_{23} = \frac{2 \times 50^2 \times 245.31}{245.31^2 - 50^2} = 21.27 \text{ โทห์ม}$$

และเมื่อค่า $\alpha_4 = 4.71$ dB

$$R_{14} = \left(\frac{10^{4.71/20} + 1}{10^{4.71/20} - 1} \right) 50$$

$$= \left(\frac{2.720}{0.720} \right) 50 = 188.89 \text{ โทห์ม}$$

$$R_{24} = \frac{2 \times 50^2 \times 188.89}{188.89^2 - 50^2} = 28.47 \text{ โทห์ม}$$

- ส่วนการสังเคราะห์เซคเตอร์แพทเทิร์น

จากหัวข้อที่ 7-2-2 ใช้ค่าสัมประสิทธิ์การป้อนกระแสสัญญาณ จากตารางที่ 7.1 และเมื่อแปลงค่าเป็นการลดทอนสัญญาณสัมพันธ์จะได้ค่าดังตารางที่ 7.4 ดังนี้ คือ

เอกสารนี้เป็นเอกสารที่สงวนไว้สำหรับการใช้งานเพื่อการศึกษาเท่านั้น ไม่อนุญาตให้นำไปใช้ประโยชน์ด้านการค้าไม่ว่ากรณีใดๆ ทั้งสิ้น อีกทั้งห้ามมิให้ดัดแปลงเนื้อหา และต้องอ้างอิงถึงเจ้าของเอกสารทุกครั้งที่มีการนำไปใช้

α_m	ค่าการลดทอนสัญญาณสัมพันธ์ (dB)
α_{-2}	9.55
α_{-1}	0.00
α_{+1}	0.00
α_{+2}	9.55

**ตารางที่ 7.4 แสดงค่าการลดทอนสัญญาณสัมพันธ์ ของการสังเคราะห์แบบ
เซคเตอร์แพทเทิร์น**

จะเห็นได้ว่า เราจะต้องคำนวณหาส่วนประกอบ วงจรลดทอนสัญญาณ
เพียง 1 วงจร ทั้งนี้เพราะว่า α_{-1} กับ α_{+1} ไม่มีการลดทอนของสัญญาณ
และ α_{-2} กับ α_{+2} มีคุณลักษณะที่เหมือนกัน โดยการแทนค่าลงในสมการที่
(6.1) และ (6.2) เมื่อค่าการลดทอนสัญญาณสัมพันธ์เท่ากับ 9.55 dB หาค่า
 R_1 และ R_2 ได้ดังต่อไปนี้ คือ

$$R_1 = \left(\frac{10^{9.55/20} + 1}{10^{9.55/20} - 1} \right) 50$$
$$= \left(\frac{4.003}{2.003} \right) 50 = 99.93 \text{ โอห์ม}$$

$$R_2 = \frac{2 \times 50^2 \times 99.93}{99.93^2 - 50^2} = 66.75 \text{ โอห์ม}$$

เอกสารนี้เป็นเอกสารที่สงวนไว้สำหรับการใช้งานเพื่อการศึกษาเท่านั้น ไม่อนุญาตให้นำไปใช้ประโยชน์ด้านการค้า
ไม่ว่ากรณีใดๆ ทั้งสิ้น อีกทั้งห้ามมิให้ดัดแปลงเนื้อหา และต้องอ้างอิงถึงเจ้าของเอกสารทุกครั้งที่มีการนำไปใช้

บทที่ 8

การทดลองและผลการทดลอง

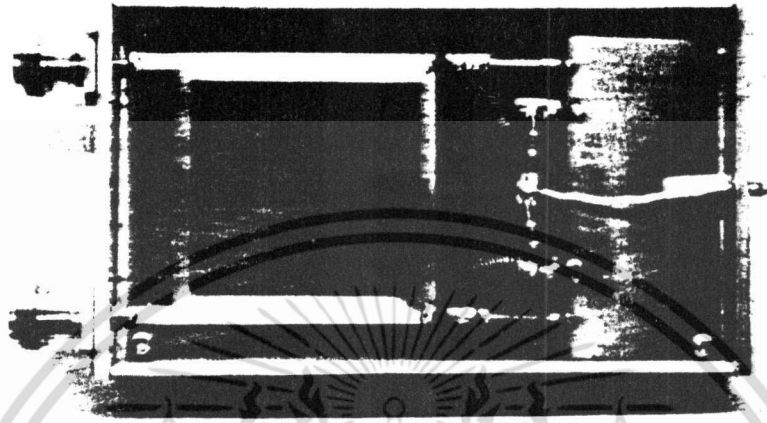
จากผลการคำนวณและออกแบบสร้างส่วนประกอบต่างๆ ในบทที่ 7 ได้นำมารวมกันเป็นสายอากาศเฟสอาร์เรย์ ดังแสดงไว้แล้วในรูปที่ 2.3 โดยในขั้นต้นนี้ จะควบคุมการกวาดบีมหลักด้วยการเลือกไบอัสวงจรเลื่อนเฟสทีละครึ่ง แล้วทดลองวัดคุณสมบัติของการแพร่กระจายคลื่น ที่มีบีมหลักในทิศทางต่างๆ กัน รวมทั้งได้แสดงคุณสมบัติการสะท้อนคลื่น ของสายอากาศเฟสอาร์เรย์ ที่ความถี่และสถานะการเลื่อนเฟสต่างๆ กันด้วย แต่ก่อนอื่นจะขอแสดงผลการทดสอบคุณสมบัติของส่วนประกอบย่อยในแต่ละส่วนไว้ก่อน เพื่อใช้เป็นแนวทางในการวิเคราะห์คุณสมบัติรวมที่ได้ทดลองวัดเอาไว้ในส่วนสุดท้าย

8-1 ผลการทดสอบวงจรถ่ายเลื่อนเฟส

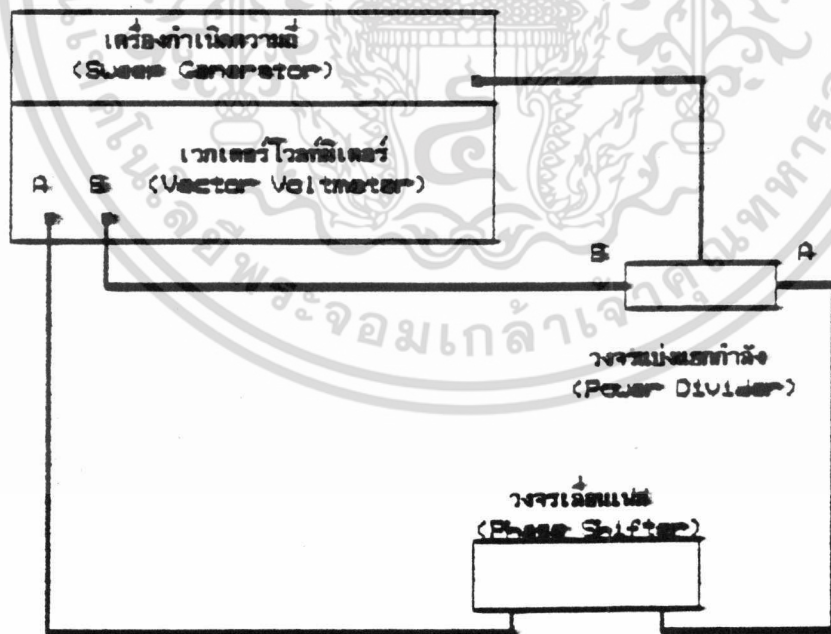
สำหรับระบบสายอากาศเฟสอาร์เรย์นั้น วงจรถ่ายเลื่อนเฟสถือได้ว่าเป็นหัวใจสำคัญของระบบสายอากาศนี้ เพราะถ้าขาดวงจรถ่ายเลื่อนเฟสแล้ว การกวาดบีมหลักก็จะไม่เกิดขึ้น ในส่วนของการทดสอบวงจรถ่ายเลื่อนเฟส สำหรับวิทยานิพนธ์นี้ ได้เริ่มต้นออกแบบสร้างวงจรถ่ายเลื่อนเฟสขนาด 1 บิต พร้อมทั้งมีส่วนของการไบอัสพินไดโอดรวมอยู่ด้วย ในที่นี้ได้ใช้แหล่งจ่ายไฟ +5 โวลต์ เพื่อทำให้พินไดโอดเปลี่ยนสถานะทำงานได้ และทำให้เกิดการเลื่อนเฟสขึ้น ในรูปที่ 8.1 ได้แสดงรูปของวงจรถ่ายเลื่อนเฟสที่สร้างขึ้นทดลอง สำหรับการทดสอบคุณสมบัติของวงจรถ่ายเลื่อนเฟส ในที่นี้ได้ใช้เวกเตอร์โวลต์มิเตอร์ (Vector Voltmeter) และสเปกตรัมแอนาไลเซอร์ (Spectrum Analyzer) วัดค่าของเฟสที่เลื่อนไป (Phase Shift) , ค่าอินเสิร์ทชันลอส (Insertion Loss) และค่ารีเทิร์นลอส (Return Loss) ซึ่งค่ารีเทิร์นลอสก็นำไปใช้คำนวณค่า VSWR ได้ สำหรับวิธีการคำนวณค่า VSWR นี้จะขอแสดงไว้ในภาคผนวก ค. ทั้งนี้ได้แสดงรูปวิธีการต่อเครื่องมือวัดคุณสมบัติดังกล่าว เอาไว้ในรูปที่ 8.2 ถึง 8.4 ด้วย

เอกสารนี้เป็นเอกสารที่สงวนไว้สำหรับการใช้งานเพื่อการศึกษาเท่านั้น ไม่อนุญาตให้นำไปใช้ประโยชน์ด้านการค้า

ไม่ว่ากรณีใดๆ ทั้งสิ้น อีกทั้งห้ามมิให้ดัดแปลงเนื้อหา และต้องอ้างอิงถึงเจ้าของเอกสารทุกครั้งที่มีการนำไปใช้

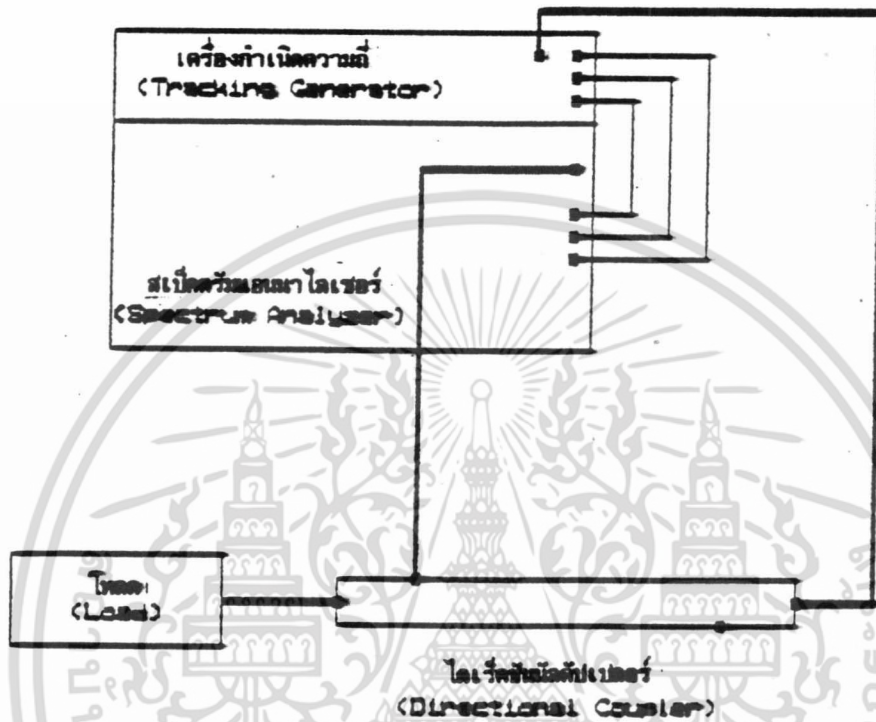


รูปที่ 8.1 แสดงวงจรเลื่อนเฟสขนาด 1 บิต ที่สร้างขึ้นทดลอง

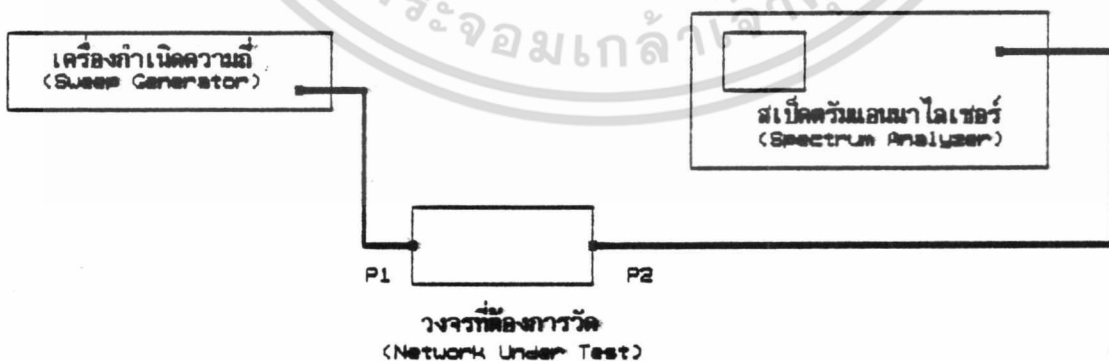


รูปที่ 8.2 แสดงการต่อเวกเตอร์โวลต์มิเตอร์สำหรับวัดการเลื่อนเฟส

เอกสารนี้เป็นเอกสารที่สงวนไว้สำหรับการใช้งานเพื่อการศึกษาเท่านั้น ไม่อนุญาตให้นำไปใช้ประโยชน์ด้านการค้า ไม่ว่าจะกรณีใดๆ ทั้งสิ้น อีกทั้งห้ามมิให้ดัดแปลงเนื้อหา และต้องอ้างอิงถึงเจ้าของเอกสารทุกครั้งที่มีการนำไปใช้



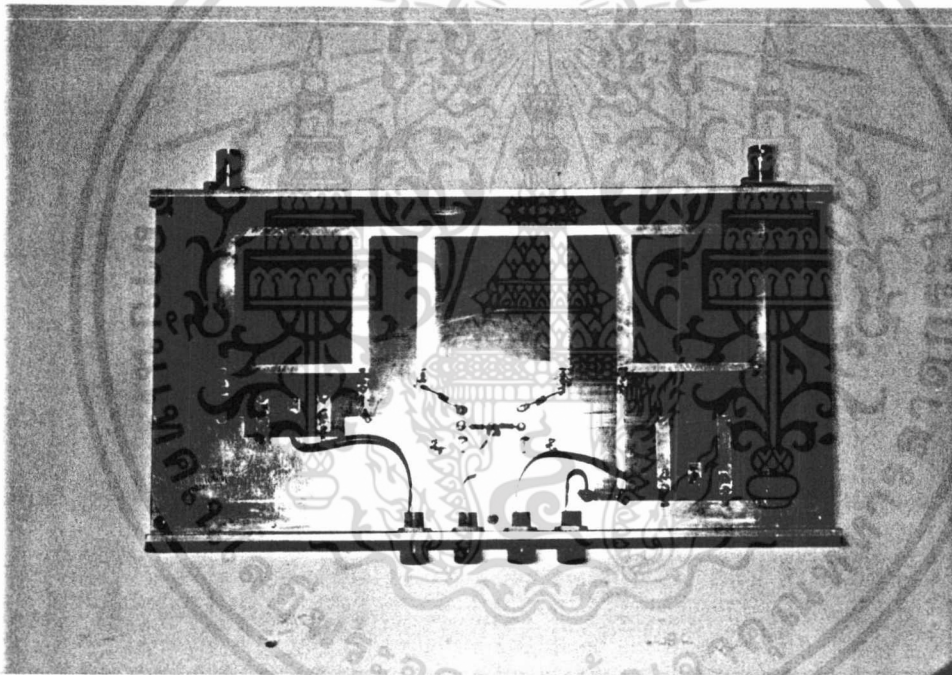
รูปที่ 8.3 แสดงการต่อสเปกตรัมแอนาไลเซอร์สำหรับวัดรีเทิร์นลอส



รูปที่ 8.4 แสดงการต่อสเปกตรัมแอนาไลเซอร์สำหรับวัดอินเสิร์ทชันลอส

เอกสารนี้เป็นเอกสารที่สงวนไว้สำหรับการใช้งานเพื่อการศึกษาเท่านั้น ไม่อนุญาตให้นำไปใช้ประโยชน์ด้านการค้า ไม่ว่าจะกรณีใดๆ ทั้งสิ้น อีกทั้งห้ามมิให้ดัดแปลงเนื้อหา และต้องอ้างอิงถึงเจ้าของเอกสารทุกครั้งที่มีการนำไปใช้

แต่ในทางปฏิบัติจริง ของวิทยานิพนธ์นี้ ได้ใช้วงจรเลื่อนเฟสขนาด 3 บิต จำนวน 8 เอลีเมนต์ ซึ่งได้สร้างขึ้นโดยอาศัยหลักการจากวงจรเลื่อนเฟสขนาด 1 บิต มาต่อร่วมกันโดยใช้วงจรบรรานซ์ไลน์ไฮบริดคัปเปิลอร์ตัวเดียวกัน แล้ววัดคุณสมบัติการเลื่อนเฟสเช่นเดียวกับวิธีการดังกล่าวข้างต้น แต่ได้ผลที่ไม่น่าพอใจ จึงได้เปลี่ยนมาใช้วงจรบรรานซ์ไลน์ไฮบริดคัปเปิลอร์ 3 ตัว สำหรับวงจรเลื่อนเฟสแต่ละบิต และนำมาต่อเรียงกัน(Cascade) ดังได้แสดงไว้ในรูปที่ 8.5 เป็นวงจรเลื่อนเฟสขนาด 3 บิต ที่ได้ออกแบบสร้างขึ้นใช้งานจริง สำหรับสายอากาศเฟสอาร์เรย์

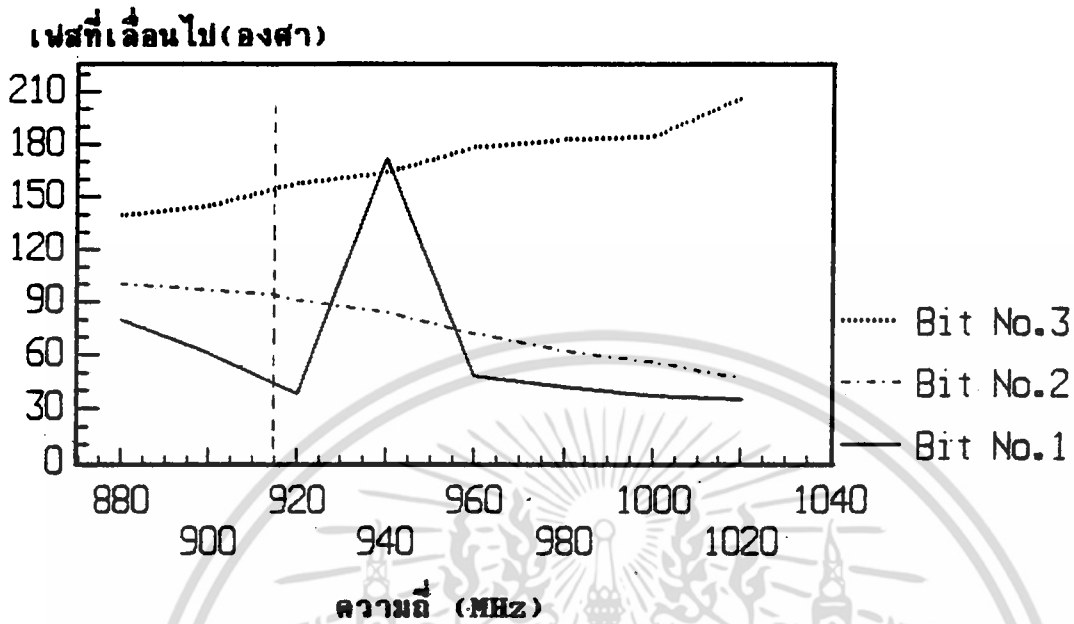


รูปที่ 8.5 แสดงวงจรเลื่อนเฟสขนาด 3 บิต ที่สร้างขึ้นใช้งานจริง

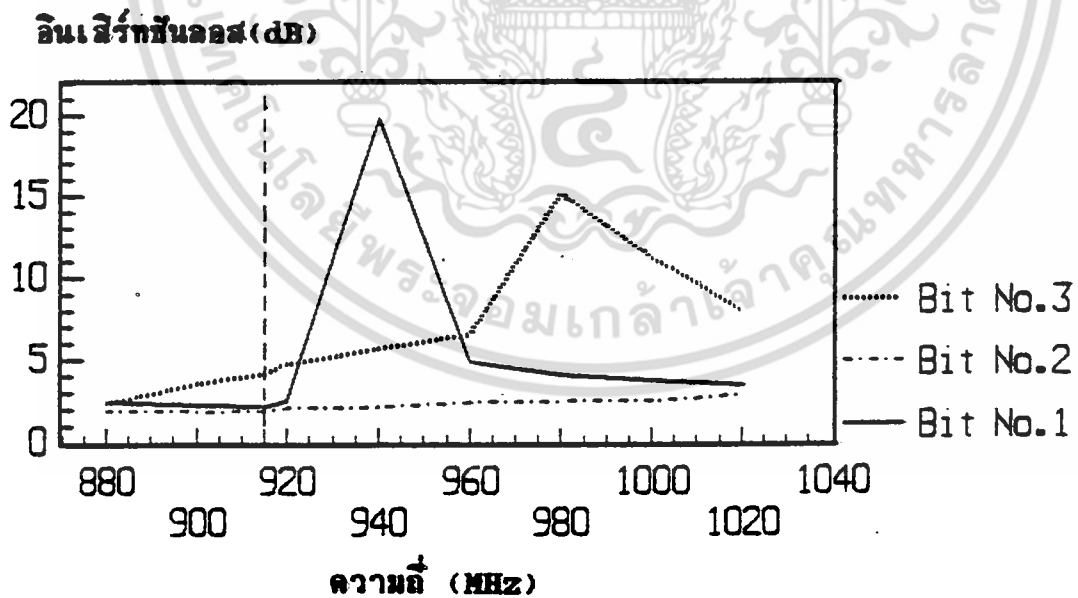
8-1-1 วงจรเลื่อนเฟสขนาด 1 บิต แต่ละบิต

หลังจากวัดคุณสมบัติต่างๆ ของวงจรเลื่อนเฟสดังกล่าว นำไปเขียนกราฟแสดงผลการทดสอบ วงจรเลื่อนเฟสโดยใช้พินไดโอด เมื่อเปลี่ยนแปลงความถี่ที่ทดลองไปจากความถี่ที่ออกแบบ คือ 915 MHz ด้วย โดยมีรูปแสดงผลการทดสอบดังกล่าวแสดงไว้ในรูปที่ 8.6 ถึง รูปที่ 8.9

เอกสารนี้เป็นเอกสารที่สงวนไว้สำหรับการใช้งานเพื่อการศึกษาเท่านั้น ไม่อนุญาตให้นำไปใช้ประโยชน์ด้านการค้า ไม่ว่าจะกรณีใดๆ ทั้งสิ้น อีกทั้งห้ามมิให้ดัดแปลงเนื้อหา และต้องอ้างอิงถึงเจ้าของเอกสารทุกครั้งที่มีการนำไปใช้

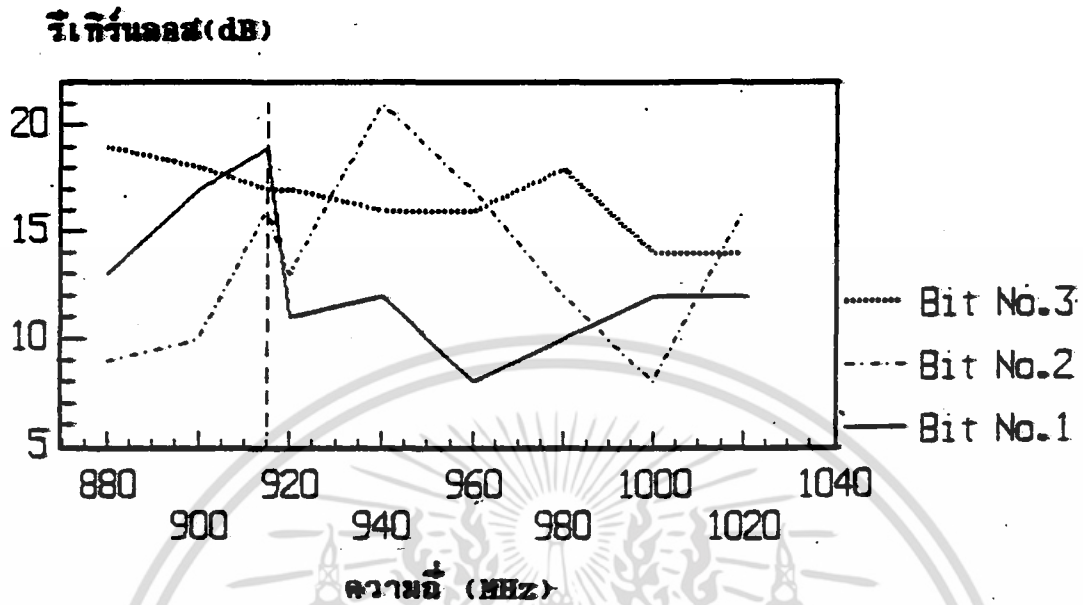


รูปที่ 8.6 แสดงความสัมพันธ์ระหว่างเฟสที่เลื่อนไป(Phase Shift) และความถี่ของวงจรเลื่อนเฟส

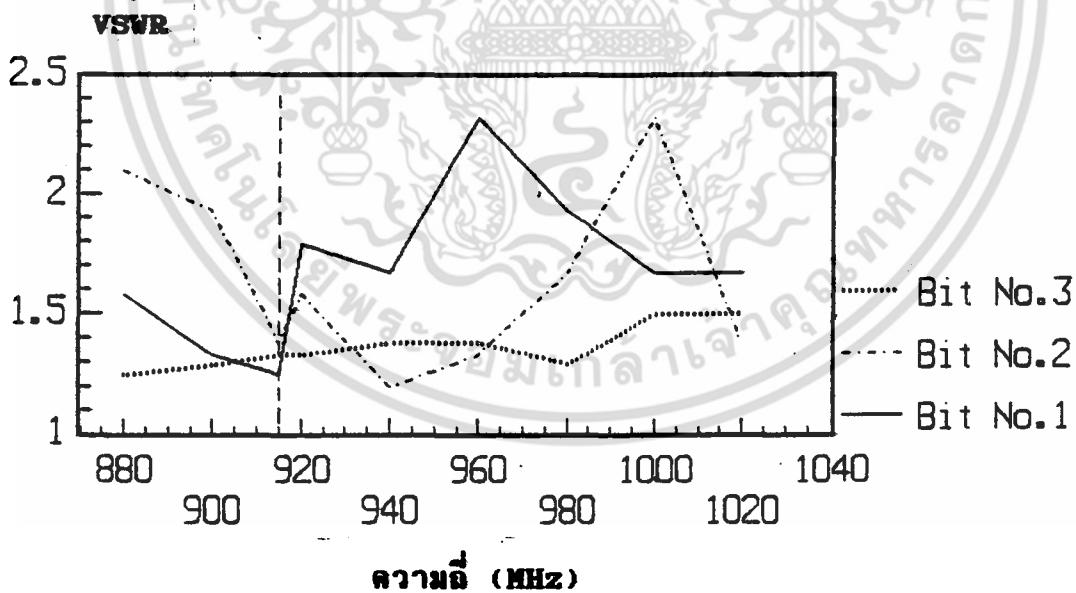


รูปที่ 8.7 แสดงความสัมพันธ์ระหว่างอินเสิร์ทชันลอส(Insertion Loss) และความถี่ของวงจรเลื่อนเฟส

เอกสารนี้เป็นเอกสารที่สงวนไว้สำหรับการใช้งานเพื่อการศึกษาเท่านั้น ไม่อนุญาตให้นำไปใช้ประโยชน์ด้านการค้า ไม่ว่ากรณีใดๆ ทั้งสิ้น อีกทั้งห้ามมิให้ดัดแปลงเนื้อหา และต้องอ้างอิงถึงเจ้าของเอกสารทุกครั้งที่มีการนำไปใช้



รูปที่ 8.8 แสดงความสัมพันธ์ระหว่างรีเทิร์นลอส(Return Loss) และความถี่ของวงจรเลื่อนเฟส

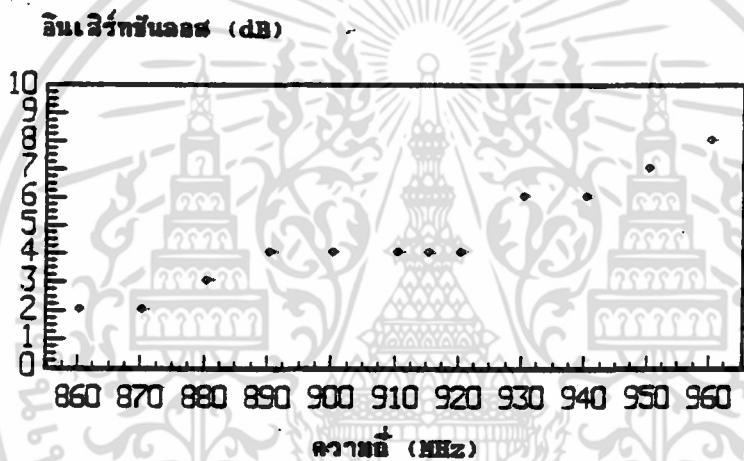


รูปที่ 8.9 แสดงความสัมพันธ์ระหว่าง VSWR และความถี่ของวงจรเลื่อนเฟส

เอกสารนี้เป็นเอกสารที่สงวนไว้สำหรับการใช้งานเพื่อการศึกษาเท่านั้น ไม่อนุญาตให้นำไปใช้ประโยชน์ด้านการค้า ไม่ว่าจะกรณีใดๆ ทั้งสิ้น อีกทั้งห้ามมิให้ดัดแปลงเนื้อหา และต้องอ้างอิงถึงเจ้าของเอกสารทุกครั้งที่มีการนำไปใช้

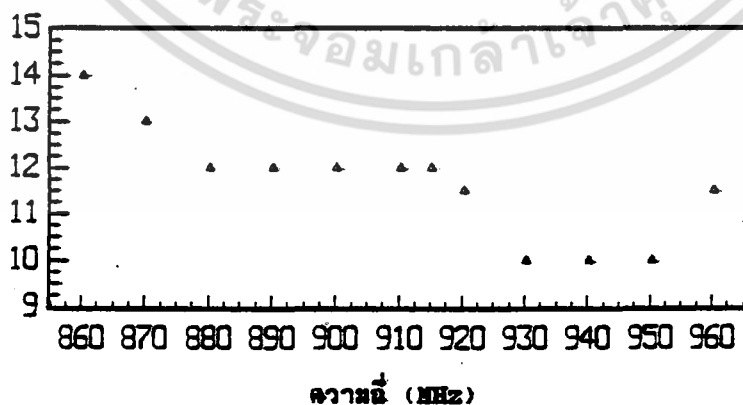
8-1-2 วงจรเลื่อนเฟสขนาด 3 บิต รวมกัน

ในส่วนของการทดสอบวงจรเลื่อนเฟสขนาด 3 บิต รวมกันนั้น ก็ยังคงใช้วิธีการทดสอบเช่นเดิม โดยได้แสดงผลของการทดสอบ อยู่ในรูปภาพเมื่อเปลี่ยนแปลงความถี่ไปจากความถี่ที่ออกแบบ ดังแสดงไว้ในรูปที่ 8.10 ถึง รูปที่ 8.12 เป็นความสัมพันธ์ของอินเสิร์ทชันลอส, รีเทิร์นลอส และ VSWR. ที่ความถี่ต่างๆกัน และสำหรับผลการทดสอบเฟสที่เลื่อนไป ของวงจรเลื่อนเฟสขนาด 3 บิต รวมกันนั้น จะได้แสดงไว้ในตารางที่ 8.1



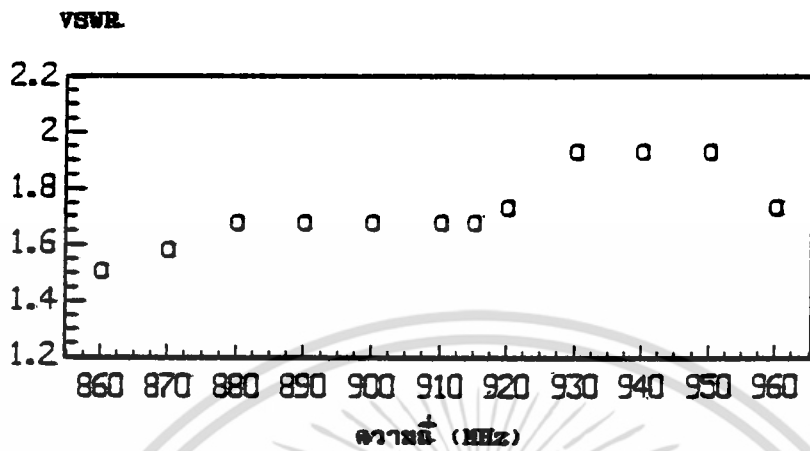
รูปที่ 8.10 แสดงความสัมพันธ์ระหว่างอินเสิร์ทชันลอส (Insertion Loss) และความถี่ของวงจรเลื่อนเฟสขนาด 3 บิต รวมกัน

รีเทิร์นลอส (dB)



รูปที่ 8.11 แสดงความสัมพันธ์ระหว่างรีเทิร์นลอส (Return Loss) และความถี่ของวงจรเลื่อนเฟสขนาด 3 บิต รวมกัน

เอกสารนี้เป็นเอกสารที่สงวนไว้สำหรับการใช้งานเพื่อการศึกษาเท่านั้น ไม่อนุญาตให้นำไปใช้ประโยชน์ด้านการค้า ไม่ว่าจะกรณีใดๆ ทั้งสิ้น อีกทั้งห้ามมิให้ดัดแปลงเนื้อหา และต้องอ้างอิงถึงเจ้าของเอกสารทุกครั้งที่มีการนำไปใช้



รูปที่ 8.12 แสดงความสัมพันธ์ระหว่าง VSWR และ ความถี่ของวงจรเลื่อนเฟสขนาด 3 บิต รวมกัน

$\Delta\theta$ (ที่ต้องการ)	$\Delta\theta$ (ที่วัดจากเวกเตอร์โวลท์มิเตอร์)
45°	$75^\circ (-285^\circ)$
90°	$90^\circ (-270^\circ)$
180°	$145^\circ (-215^\circ)$

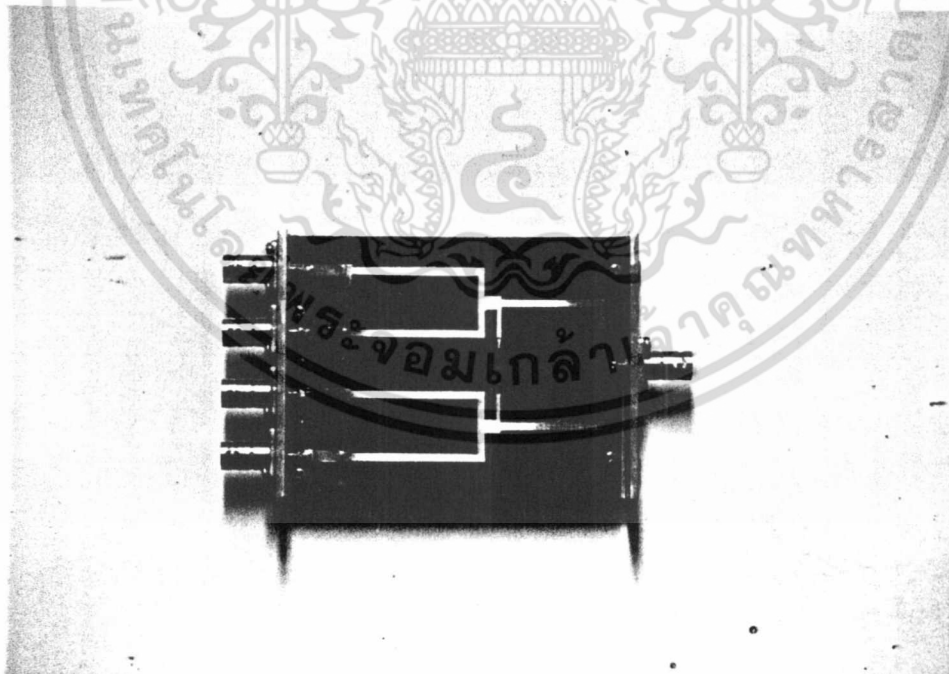
ตารางที่ 8.1 แสดงผลของการเลื่อนเฟส (Phase Shift) ที่ความถี่ 915 MHz ของวงจรเลื่อนเฟสขนาด 3 บิต รวมกัน

8-2 ผลการทดสอบไดโพลาร์เรย์เหนือบนระนาบกราวนด์เพลน

สำหรับส่วนประกอบอื่นๆ ของเสาอากาศเฟสอาร์เรย์ ได้แก่ วงจรแบ่งแยกกำลัง และวงจรลดทอนสัญญาณ ซึ่งเป็นส่วนประกอบที่ช่วยให้เกิดการสังเคราะห์รูปแบบการกระจายคลื่นตามต้องการ ดังได้กล่าวไปแล้วในบทที่ 4 โดยมีผลการคำนวณออกแบบสร้าง แสดงไว้แล้วในบทที่ 7 ซึ่งจะแสดงรูปของวงจรทั้งสองที่ได้นำมาใช้งานจริง เอาไว้ในรูปที่ 8.13 เป็นวงจรแบ่งแยก

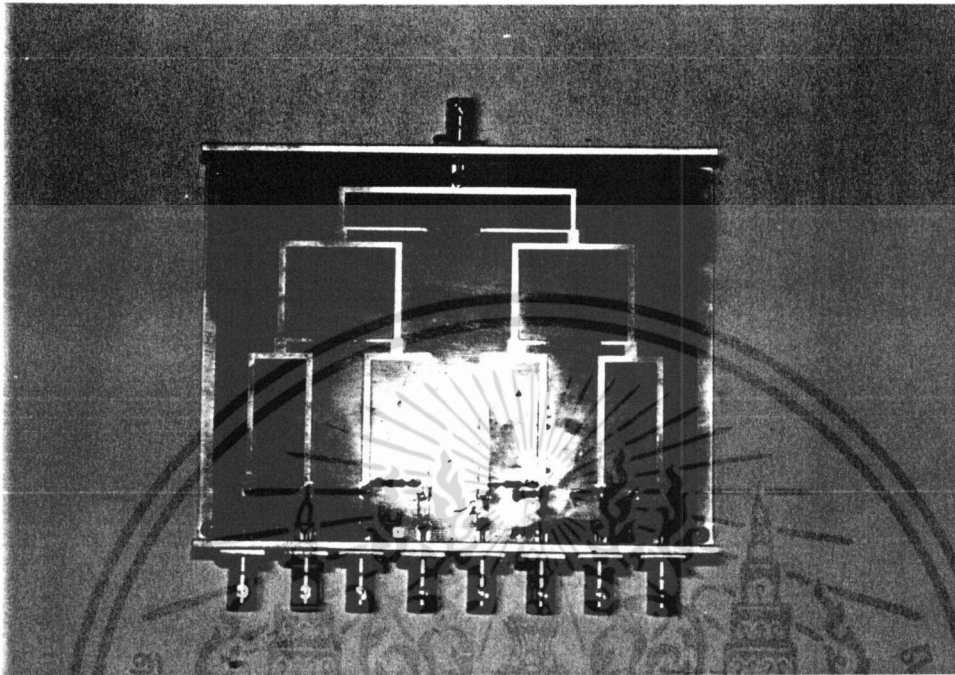
เอกสารนี้เป็นเอกสารที่สงวนไว้สำหรับการใช้งานเพื่อการศึกษาเท่านั้น ไม่อนุญาตให้นำไปใช้ประโยชน์ด้านการค้า ไม่ว่าจะกรณีใดๆ ทั้งสิ้น อีกทั้งห้ามมิให้ดัดแปลงเนื้อหา และต้องอ้างอิงถึงเจ้าของเอกสารทุกครั้งที่มีการนำไปใช้

กำลัง 4 เอาก์พุท และวงจรถอดทอนสัญญาณเพื่อสังเคราะห์เซคเตอร์แพทเทิร์น ส่วนในรูปที่ 8.14 เป็นวงจรแบ่งแยกกำลัง 8 เอาก์พุท และวงจรถอดทอนสัญญาณเพื่อสังเคราะห์รูปแบบการกระจายคลื่นแบบบีมวิดท์แคบ ไซด์โหลบต่ำ ซึ่งใช้เซมิคอนดัคเตอร์โพสิโนเมียล โดยในที่นี้ จะไม่แสดงผลการทดสอบคุณสมบัติของวงจรถอดทอน แต่จะขอนำไปแสดงผลรวมกันของการทดสอบคุณสมบัติสายอากาศเฟสอาร์เรย์ ได้แก่ รูปแบบการกระจายคลื่น ทั้งในระนาบอะซิมุทและระนาบเอลีเวชัน โดยมีการปรับทิศทางของบีมหลักได้ 8 ทิศทาง ในระนาบอะซิมุท ซึ่งจะมีกราฟแสดงเปรียบเทียบกันระหว่าง ผลที่ได้จากการทดลองวัด และผลที่ได้จากการคำนวณตามทฤษฎี (ด้วยโปรแกรม MathCAD 2.5) นอกจากนี้ยังแสดงให้เห็นถึงรูปแบบการกระจายคลื่น ที่ความถี่อื่นๆ นอกเหนือไปจากความถี่ที่ได้ ออกแบบไว้ แต่ก่อนอื่นจะแสดงภาพวิธีการวัดรูปแบบการกระจายคลื่นของสายอากาศเอาไว้ในรูปที่ 8.15 พร้อมทั้งภาพถ่ายของระบบสายอากาศเฟสอาร์เรย์ และเครื่องมือที่ใช้ในการทดลองทั้งหมดด้วย

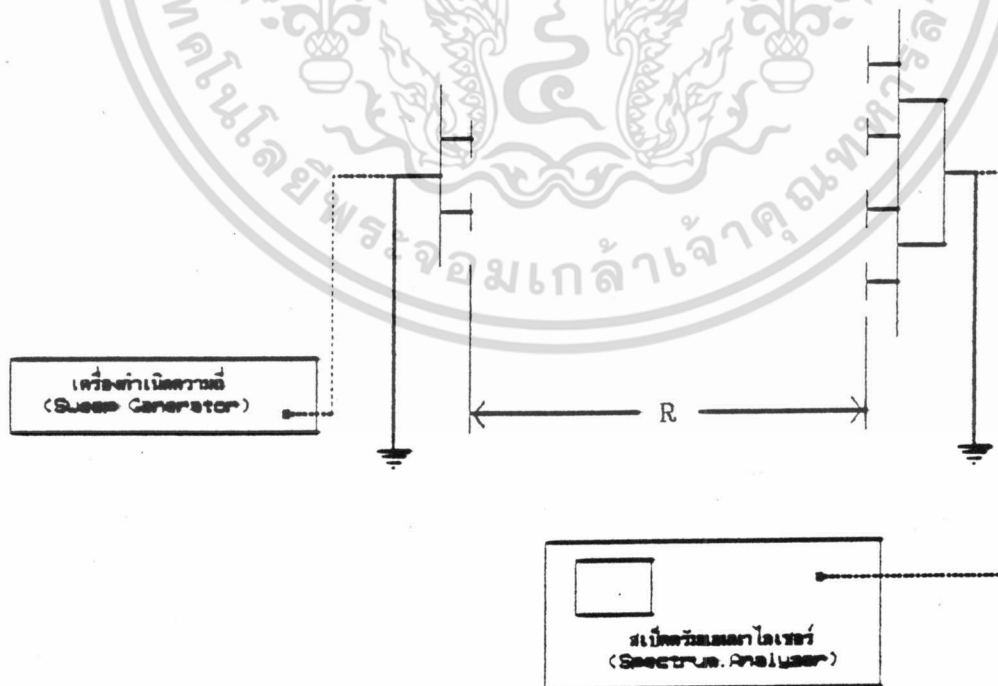


รูปที่ 8.13 แสดงวงจรแบ่งแยกกำลัง 4 เอาก์พุท และวงจรถอดทอนสัญญาณเพื่อสังเคราะห์เซคเตอร์แพทเทิร์น ที่นำมาใช้งานจริง

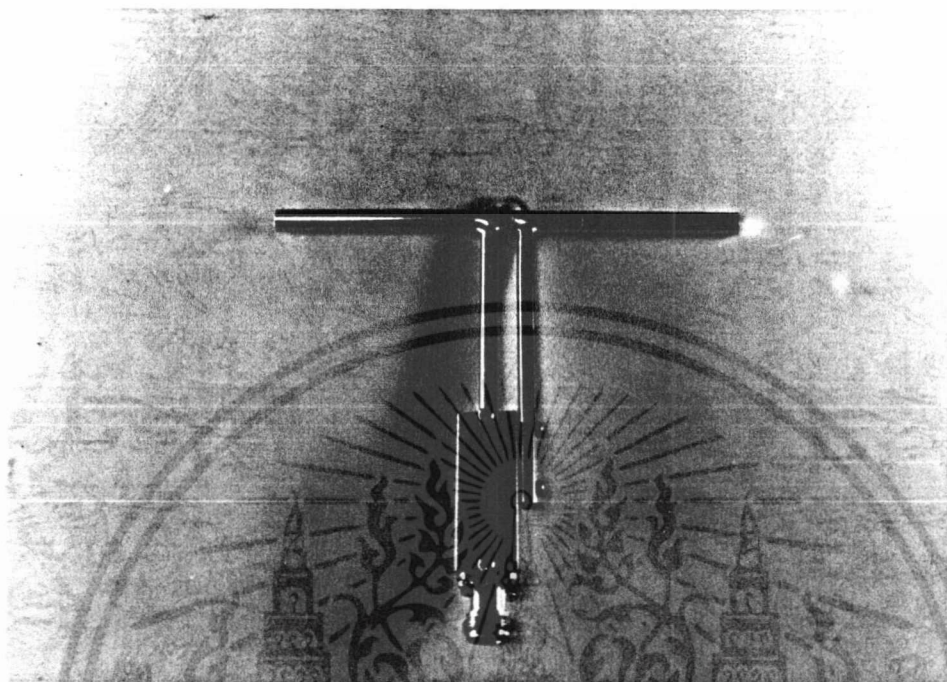
เอกสารนี้เป็นเอกสารที่สงวนไว้สำหรับการใช้งานเพื่อการศึกษาเท่านั้น ไม่อนุญาตให้นำไปใช้ประโยชน์ด้านการค้า ไม่ว่ากรณีใดๆ ทั้งสิ้น อีกทั้งห้ามมิให้ดัดแปลงเนื้อหา และต้องอ้างอิงถึงเจ้าของเอกสารทุกครั้งที่มีการนำไปใช้



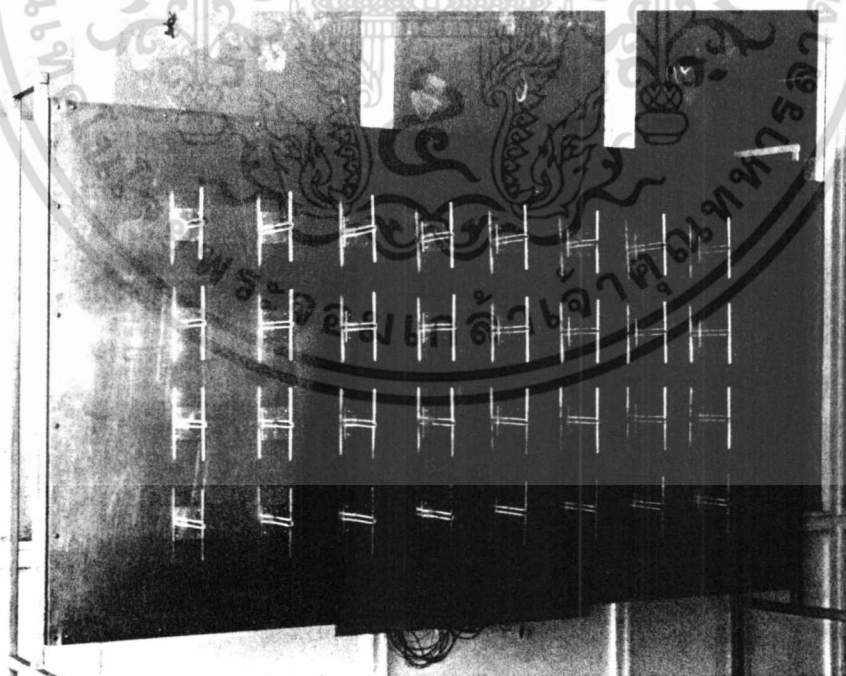
รูปที่ 8.14 แสดงวงจรแบ่งแยกกำลัง 8 เอากัฟท์ และ
วงจรลดทอนสัญญาณเพื่อสังเคราะห์รูปแบบการกระจายคลื่น
แบบบีมวิดิธแคบ ไซด์โทลเบต่ำ ที่นำมาใช้งานจริง



รูปที่ 8.15 แสดงวิธีการต่อเครื่องมือสำหรับวัดรูปแบบการกระจายคลื่น
เอกสารนี้เป็นเอกสารที่สงวนไว้สำหรับการใช้งานเพื่อการศึกษาเท่านั้น ไม่อนุญาตให้นำไปใช้ประโยชน์ด้านการค้า
ไม่ว่ากรณีใดๆ ทั้งสิ้น อีกทั้งห้ามมิให้ดัดแปลงเนื้อหา และต้องอ้างอิงถึงเจ้าของเอกสารทุกครั้งที่มีการนำไปใช้

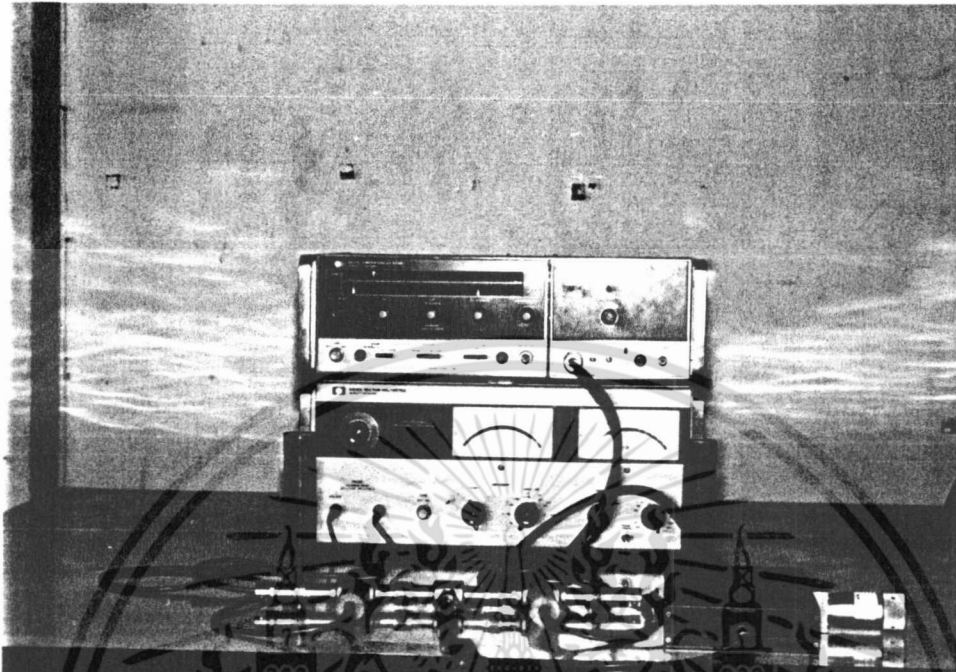


รูปที่ 8.16 แสดงภาพของสายอากาศไดโพลเอลิเมนต์เดี่ยวที่สร้างขึ้น

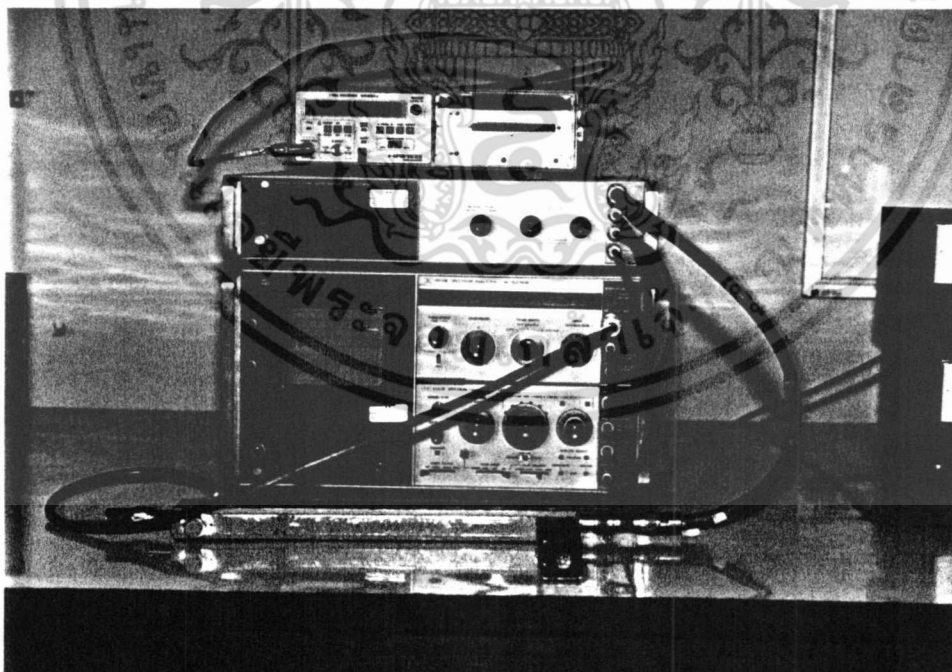


รูปที่ 8.17 แสดงภาพของสายอากาศเฟสอาร์เรย์ที่สร้างขึ้น

เอกสารนี้เป็นเอกสารที่สงวนไว้สำหรับการใช้งานเพื่อการศึกษาเท่านั้น ไม่อนุญาตให้นำไปใช้ประโยชน์ด้านการค้า
ไม่ว่ากรณีใดๆ ทั้งสิ้น อีกทั้งห้ามมิให้ดัดแปลงเนื้อหา และต้องอ้างอิงถึงเจ้าของเอกสารทุกครั้งที่มีการนำไปใช้



รูปที่ 8.18 แสดงภาพของแวกเตอร์โวลท์มิเตอร์สำหรับวัดการเคลื่อนเฟส



รูปที่ 8.19 แสดงภาพของสเปกตรัมแอนนาไลเซอร์สำหรับวัดรีเทิร์นลอส

เอกสารนี้เป็นเอกสารที่สงวนไว้สำหรับการใช้งานเพื่อการศึกษาเท่านั้น ไม่อนุญาตให้นำไปใช้ประโยชน์ด้านการค้า ไม่ว่าจะกรณีใดๆ ทั้งสิ้น อีกทั้งห้ามมิให้ดัดแปลงเนื้อหา และต้องอ้างอิงถึงเจ้าของเอกสารทุกครั้งที่มีการนำไปใช้

8-2-1 เงื่อนไขในการกำหนดทิศทางของบีมหลัก

จากสมการที่ (2.9) เป็นสมการที่แสดงความสัมพันธ์ ของเฟสที่เปลี่ยนไป ทำให้ได้ทิศทางของบีมหลักเปลี่ยนไปด้วย (θ_0) สำหรับการออกแบบเสาอากาศเฟสอาร์เรย์ ในวิทยานิพนธ์นี้ ได้กำหนดให้เฟสของวงจรเลื่อนเฟสเปลี่ยนไป 8 สถานะ โดยมีวงจรเลื่อนเฟสขนาด 3 บิท จำนวน 8 เอลีเมนต์ ทำให้ปรับทิศทางของบีมหลักได้ 8 ทิศทาง ดังแสดงให้เห็นด้วยตารางที่ 8.2 ซึ่งมีความสัมพันธ์ของการคำนวณ จากสมการที่ (2.9)

$$b = -kd \cos \theta_0 \quad (2.9)$$

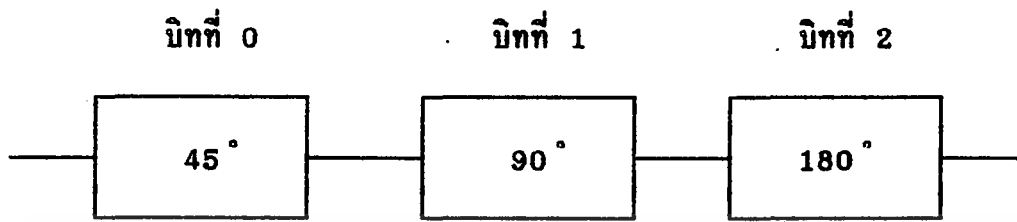
เมื่อระยะห่างระหว่างเอลีเมนต์ $d = 0.7\lambda$ จะได้ความสัมพันธ์ใหม่ ดังนี้ คือ

$$\theta_0 = \cos^{-1} \left[\frac{-b}{1.47} \right] \quad (8.1)$$

สถานะที่	b	θ_0
1	180°	135.6°
2	135°	122.4°
3	90°	110.9°
4	45°	100.3°
5	0°	90.0°
6	$315^\circ (-45^\circ)$	79.7°
7	$270^\circ (-90^\circ)$	69.1°
8	$225^\circ (-135^\circ)$	57.6°

ตารางที่ 8.2 แสดงการเปลี่ยนทิศทางของบีมหลัก 8 ทิศทาง เมื่อเปลี่ยนสถานะของวงจรเลื่อนเฟส

เอกสารนี้เป็นเอกสารที่สงวนไว้สำหรับการใช้งานเพื่อการศึกษาเท่านั้น ไม่อนุญาตให้นำไปใช้ประโยชน์ด้านการค้า ไม่ว่าจะกรณีใดๆ ทั้งสิ้น อีกทั้งห้ามมิให้ดัดแปลงเนื้อหา และต้องอ้างอิงถึงเจ้าของเอกสารทุกครั้งที่มีการนำไปใช้

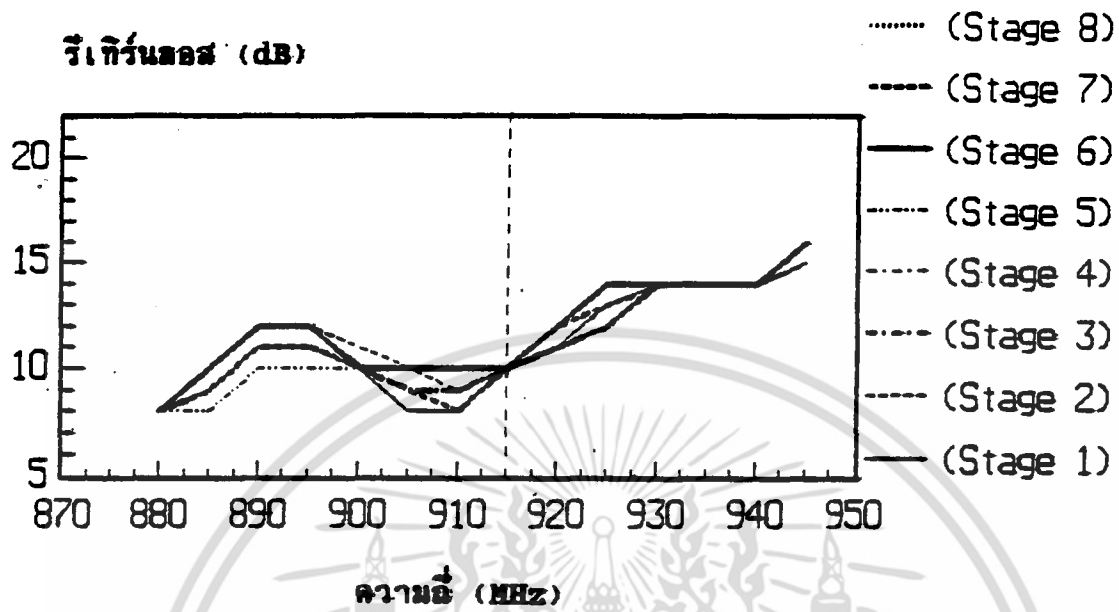


รูปที่ 8.20 แสดงการจัดลำดับของวงจรเลื่อนเฟสแต่ละบิต

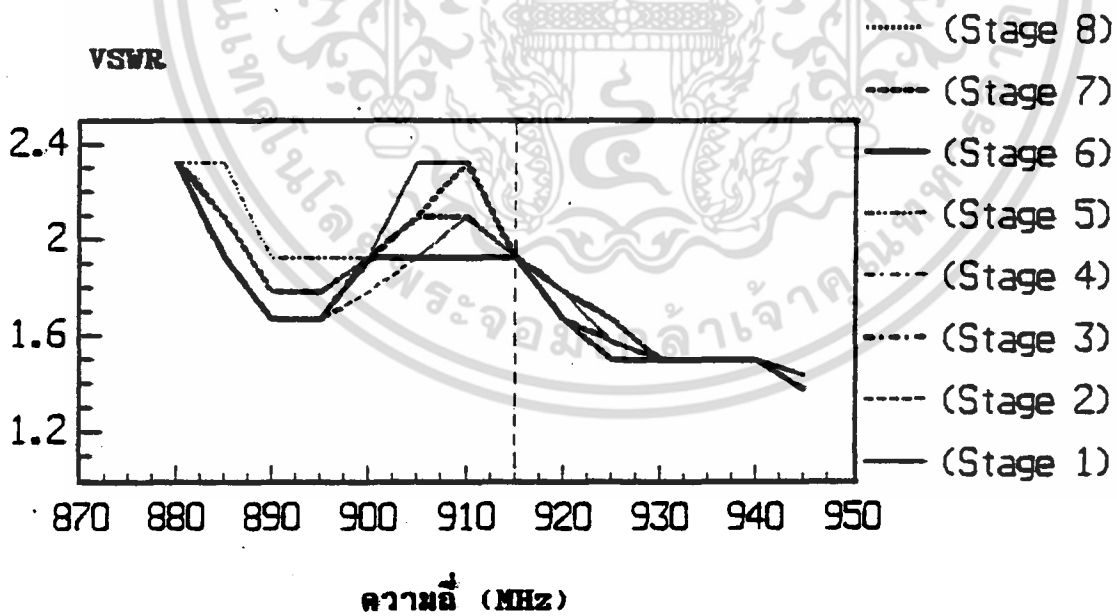
สถานะที่	A ₂ A ₁ A ₀	B ₂ B ₁ B ₀	C ₂ C ₁ C ₀	D ₂ D ₁ D ₀	E ₂ E ₁ E ₀	F ₂ F ₁ F ₀	G ₂ G ₁ G ₀	H ₂ H ₁ H ₀
1	0 0 0	1 0 0	0 0 0	1 0 0	0 0 0	1 0 0	0 0 0	1 0 0
2	0 0 0	0 1 1	1 1 0	0 0 1	1 0 0	1 1 1	0 1 0	1 0 1
3	0 0 0	0 1 0	1 0 0	1 1 0	0 0 0	0 1 0	1 0 0	1 1 0
4	0 0 0	0 0 1	0 1 0	0 1 1	1 0 0	1 0 1	1 1 0	1 1 1
5	0 0 0	0 0 0	0 0 0	0 0 0	0 0 0	0 0 0	0 0 0	0 0 0
6	0 0 0	1 1 1	1 1 0	1 0 1	1 0 0	0 1 1	0 1 0	0 0 1
7	0 0 0	1 1 0	1 0 0	0 1 0	0 0 0	1 1 0	1 0 0	0 1 0
8	0 0 0	1 0 1	0 1 0	1 1 1	1 0 0	0 0 1	1 1 0	0 1 1

ตารางที่ 8.3 แสดงสถานะของการไม้อัสให้แกบิินไดโอดในวงจรเลื่อนเฟส
ขนาด 3 บิต จำนวน 8 เอลีเมนต์ เพื่อปรับทิศทางของบิตหลักได้ 8 ทิศทาง

เอกสารนี้เป็นเอกสารที่สงวนไว้สำหรับการใช้งานเพื่อการศึกษาเท่านั้น ไม่อนุญาตให้นำไปใช้ประโยชน์ด้านการค้า
ไม่ว่ากรณีใดๆ ทั้งสิ้น อีกทั้งห้ามมิให้ดัดแปลงเนื้อหา และต้องอ้างอิงถึงเจ้าของเอกสารทุกครั้งที่มีการนำไปใช้



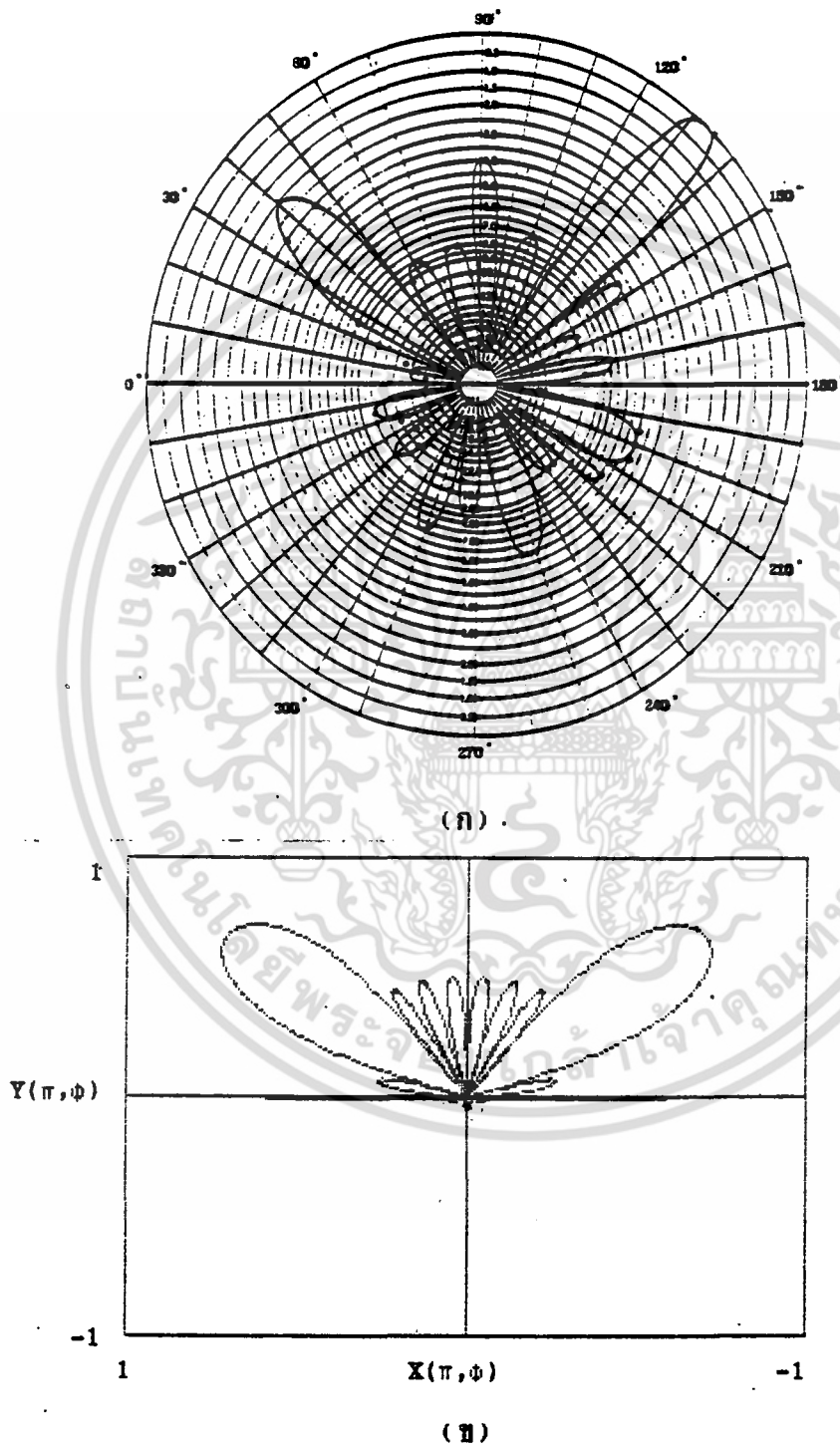
รูปที่ 8.21 แสดงความสัมพันธ์ระหว่างรีเทิร์นลอส(Return Loss) และความถี่ของสายอากาศเฟสอาร์เรย์ เมื่อปรับบีมหลักไปในทิศทางต่างๆกัน



รูปที่ 8.22 แสดงความสัมพันธ์ระหว่าง VSWR และความถี่ของสายอากาศเฟสอาร์เรย์ เมื่อปรับบีมหลักไปในทิศทางต่างๆกัน

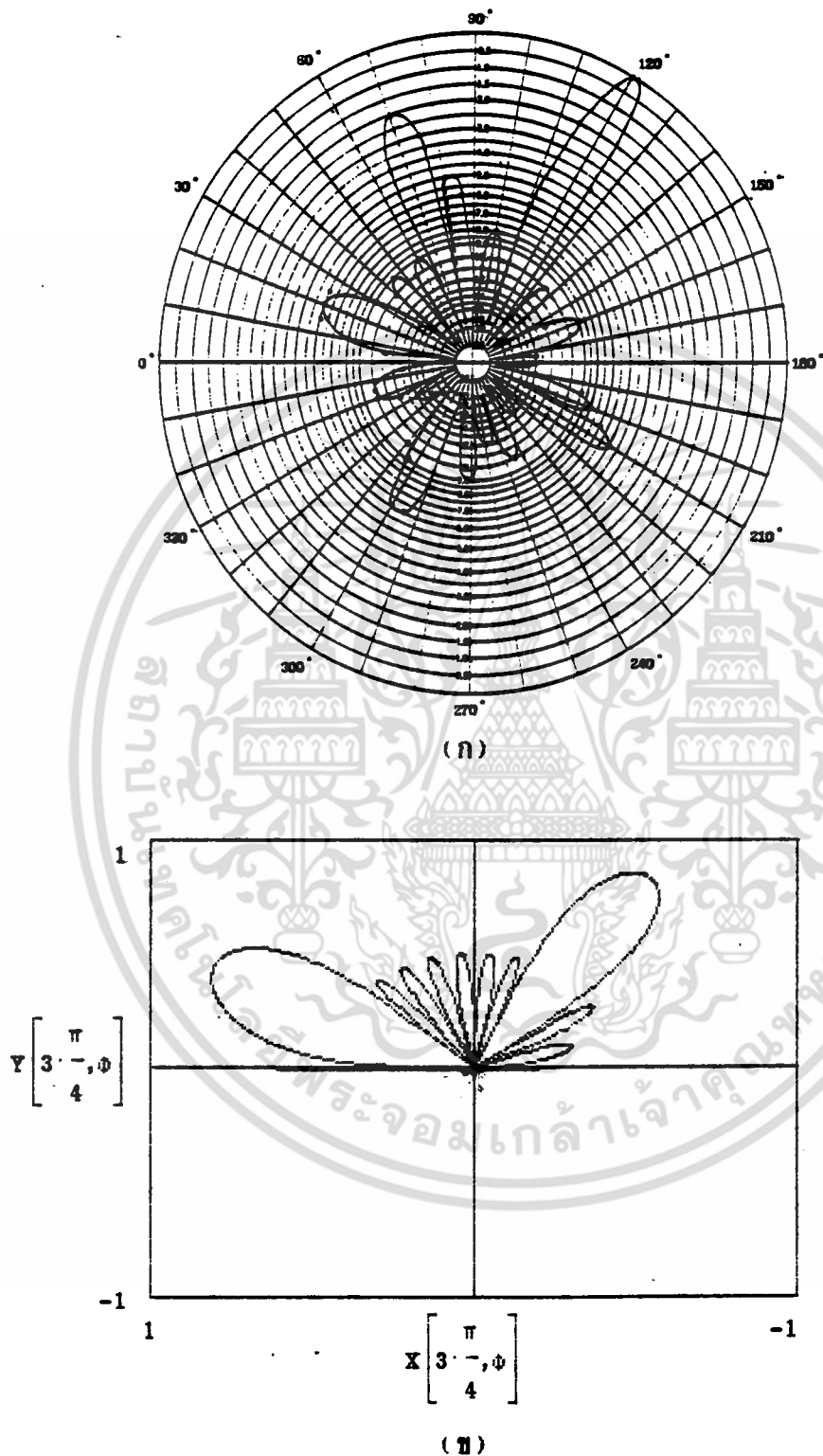
เอกสารนี้เป็นเอกสารที่สงวนไว้สำหรับการใช้งานเพื่อการศึกษาเท่านั้น ไม่อนุญาตให้นำไปใช้ประโยชน์ด้านการค้า ไม่ว่าจะกรณีใดๆ ทั้งสิ้น อีกทั้งห้ามมิให้ดัดแปลงเนื้อหา และต้องอ้างอิงถึงเจ้าของเอกสารทุกครั้งที่มีการนำไปใช้

8-2-2 รูปแบบการกระจายคลื่นในระนาบอะซิมุต



รูปที่ 8.23 แสดงรูปแบบการกระจายคลื่น ในสถานะที่ 1 ($s=180^\circ$)

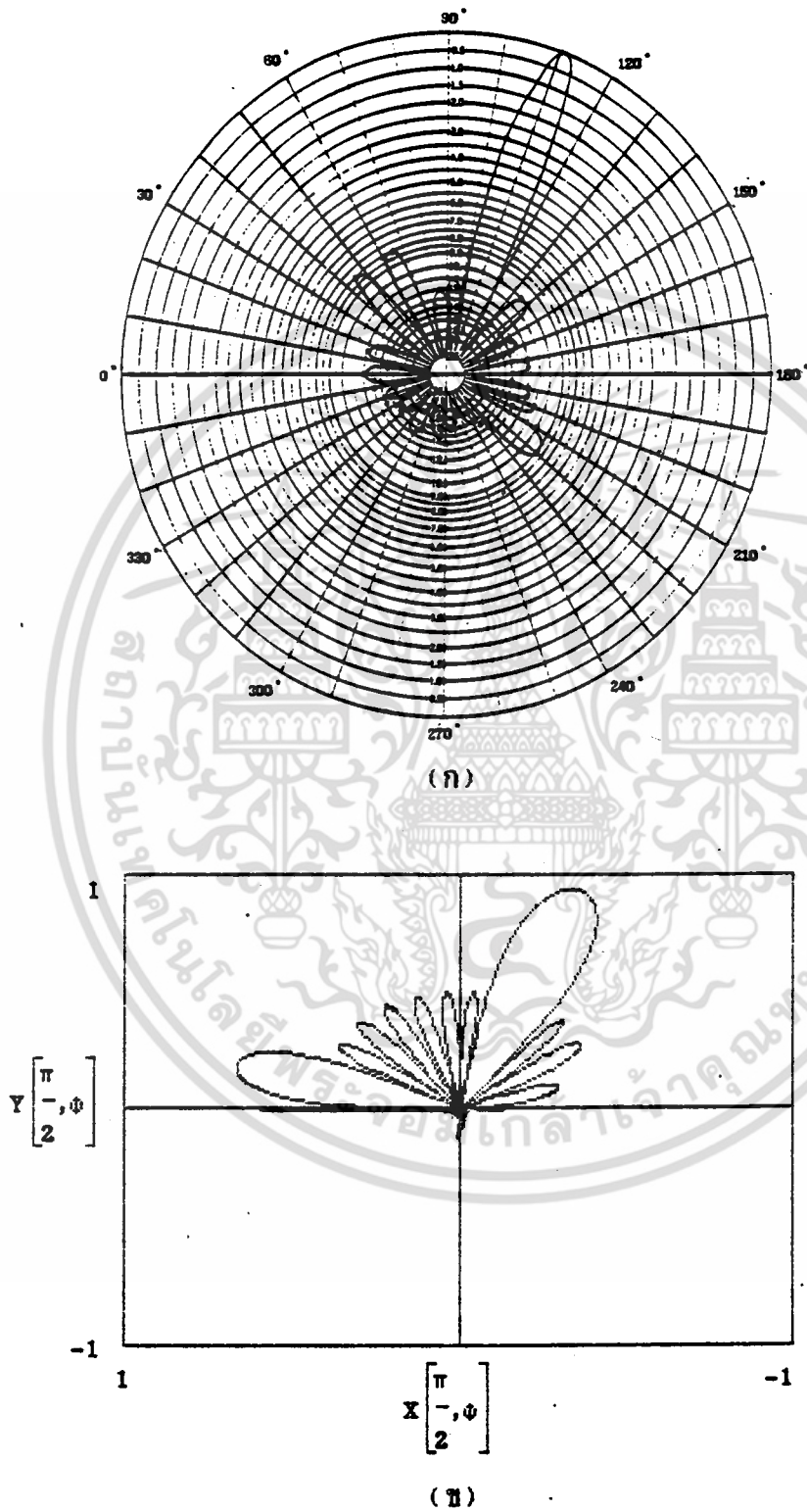
(ก) จากการทดลอง (ข) จากทฤษฎี เอกสารนี้เป็นเอกสารที่สงวนไว้สำหรับการใช้งานเพื่อการศึกษาเท่านั้น มิอนุญาตให้นำไปใช้ประโยชน์ด้านการค้า ไม่ว่ากรณีใดๆ ทั้งสิ้น อีกทั้งห้ามมิให้ดัดแปลงเนื้อหา และต้องอ้างอิงถึงเจ้าของเอกสารทุกครั้งที่มีการนำไปใช้



รูปที่ 8.24 แสดงรูปแบบการกระจายคลื่น ในสถานะที่ 2 ($\theta=135^\circ$)

(ก) จากการทดลอง (ข) จากทฤษฎี

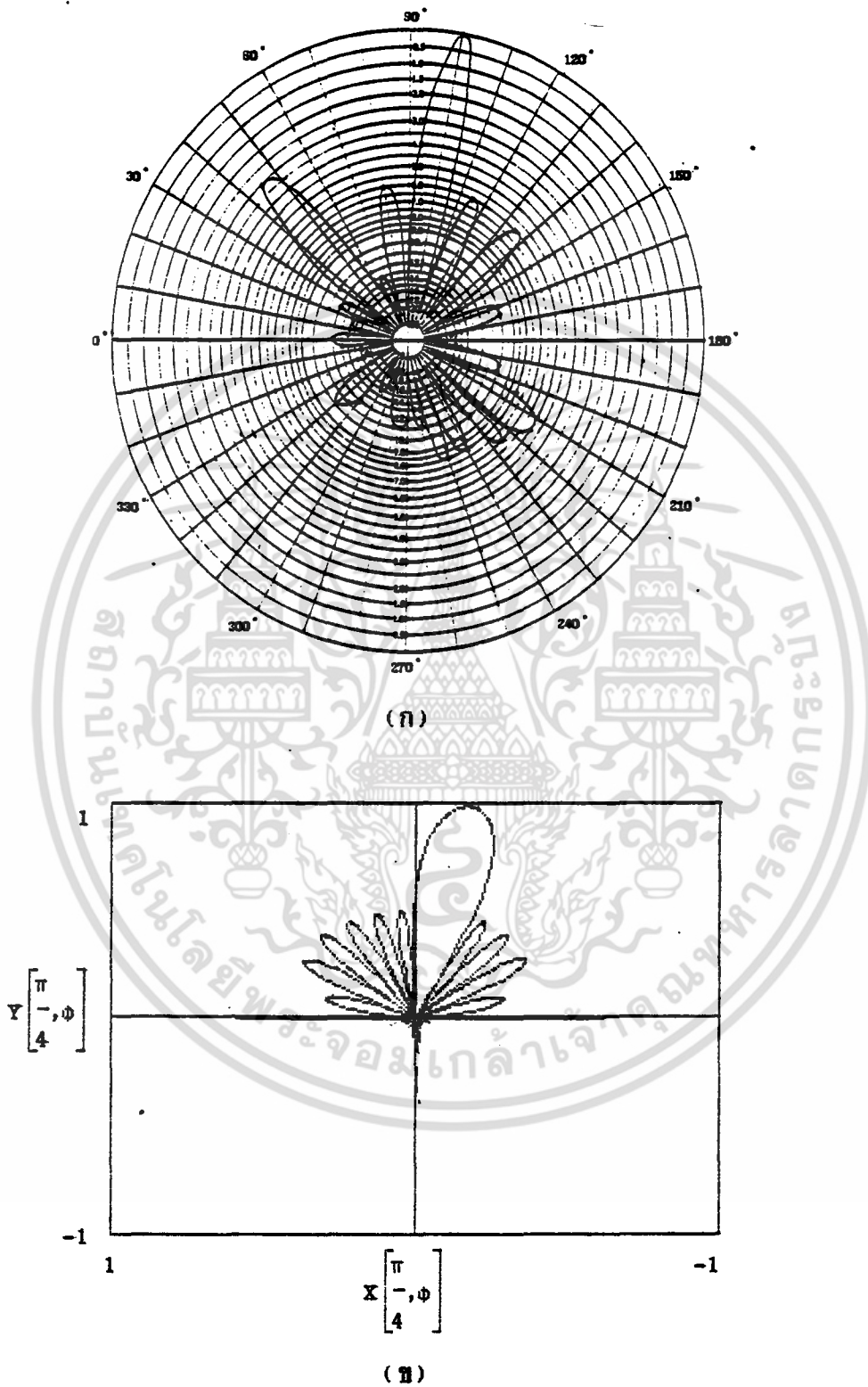
เอกสารนี้เป็นเอกสารที่สงวนไว้สำหรับการใช้งานเพื่อการศึกษาเท่านั้น ไม่อนุญาตให้นำไปใช้ประโยชน์ด้านการค้า ไม่ว่ากรณีใดๆ ทั้งสิ้น อีกทั้งห้ามมิให้ดัดแปลงเนื้อหา และต้องอ้างอิงถึงเจ้าของเอกสารทุกครั้งที่มีการนำไปใช้



รูปที่ 8.25 แสดงรูปแบบการกระจายคลื่น ในสถานะที่ 3 ($\beta=90^\circ$)

(ก) จากกราฟทดลอง (ข) จากทฤษฎี

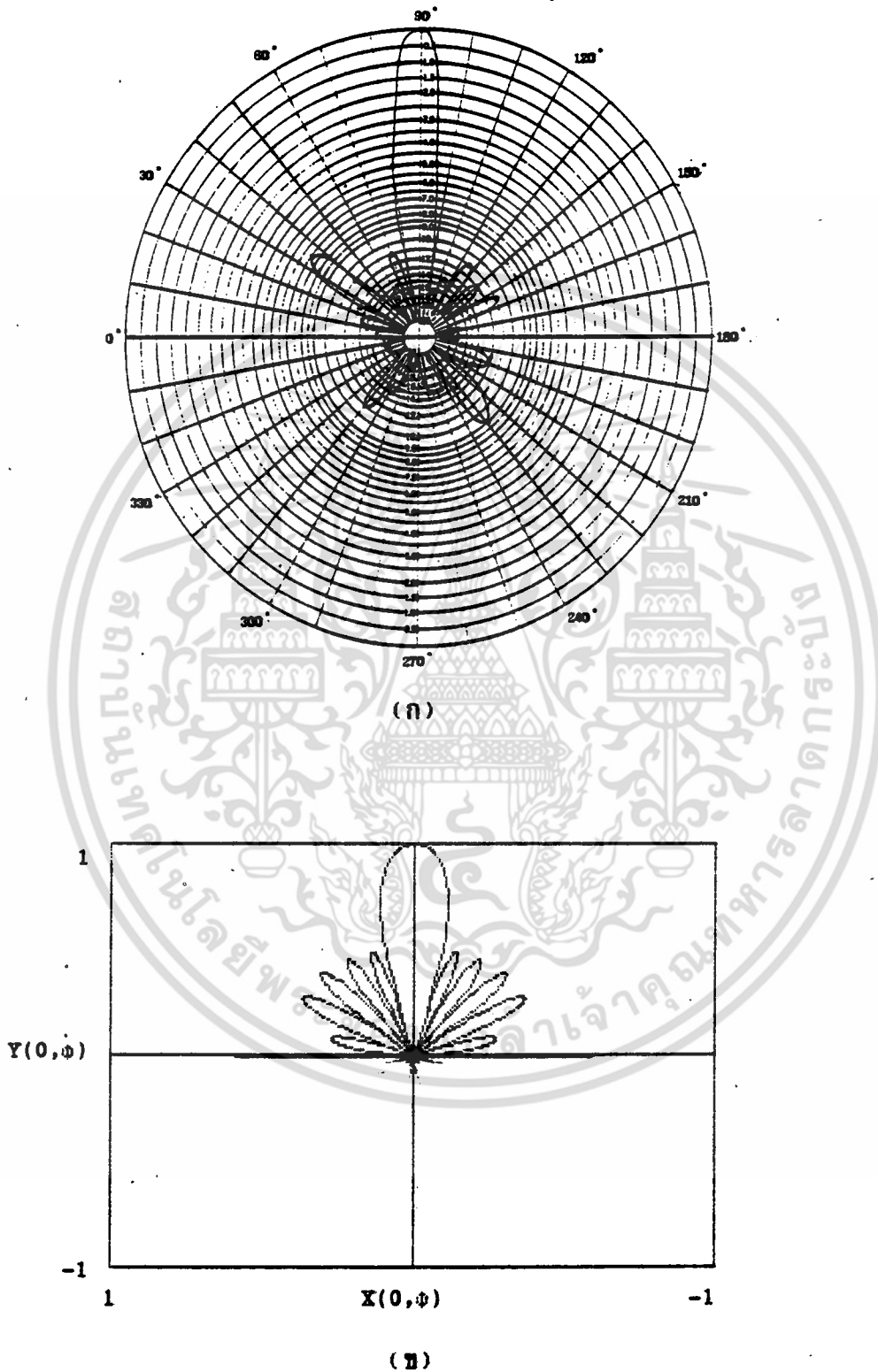
เอกสารนี้เป็นเอกสารที่สงวนไว้สำหรับการใช้งานเพื่อการศึกษาเท่านั้น เมื่ออนุญาตให้นำไปใช้ประโยชน์ด้านการค้า ไม่ว่าจะกรณีใดๆ ทั้งสิ้น อีกทั้งห้ามมิให้ตัดแปลงเนื้อหา และต้องอ้างอิงถึงเจ้าของเอกสารทุกครั้งที่มีการนำไปใช้



รูปที่ 8.26 แสดงรูปแบบการกระจายคลื่น ในสถานะที่ 4 ($\beta=45^\circ$)

(ก) จากการทดลอง (ข) จากทฤษฎี

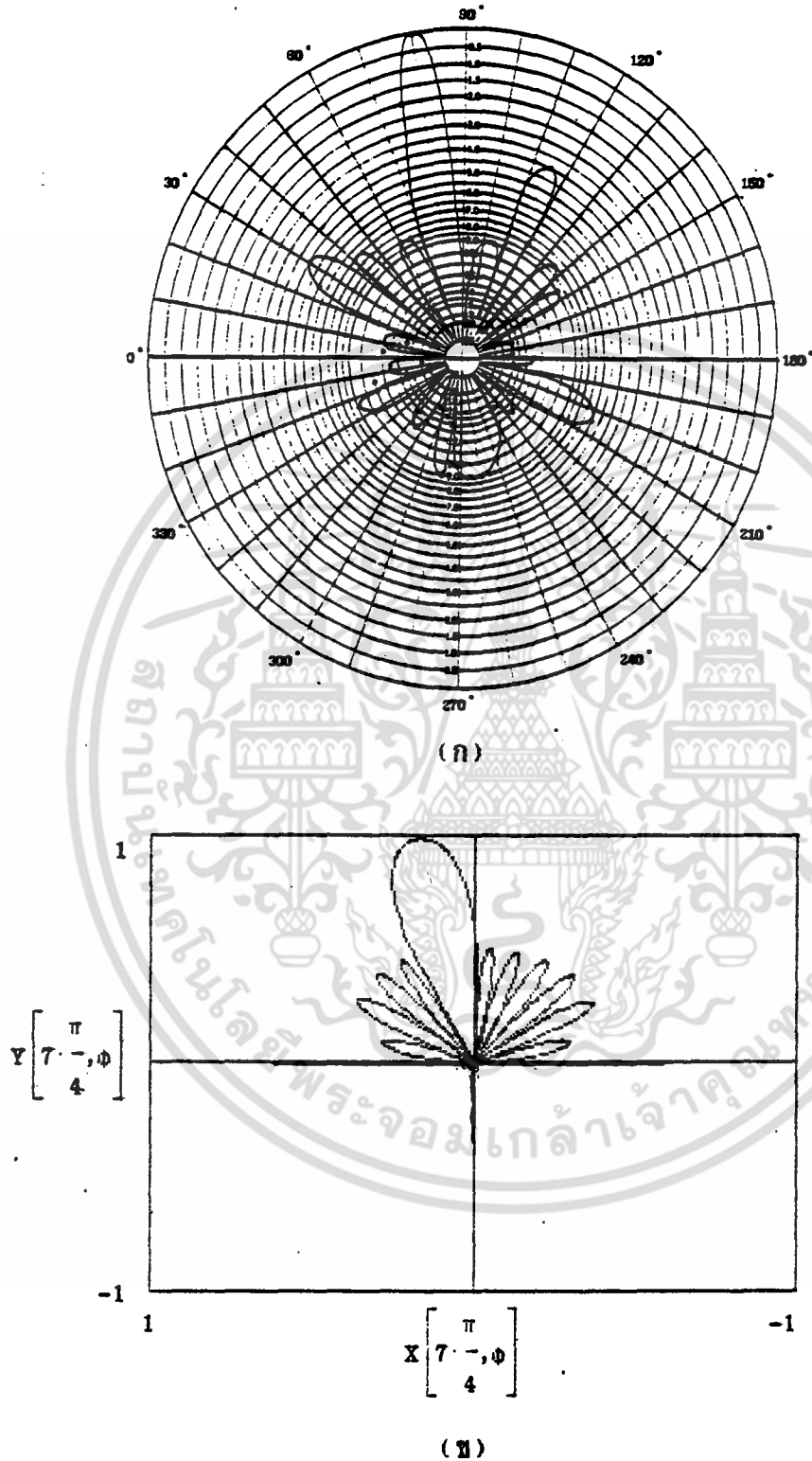
เอกสารนี้เป็นเอกสารที่สงวนไว้สำหรับการใช้งานเพื่อการศึกษาเท่านั้น ไม่อนุญาตให้นำไปใช้ประโยชน์ด้านการค้า ไม่ว่ากรณีใดๆ ทั้งสิ้น อีกทั้งห้ามมิให้ดัดแปลงเนื้อหา และต้องอ้างอิงถึงเจ้าของเอกสารทุกครั้งที่มีการนำไปใช้



รูปที่ 8.27 แสดงรูปแบบการกระจายคลื่น ในสถานะที่ 5 ($\theta=0^\circ$)

(ก) จากการทดลอง (ข) จากทฤษฎี

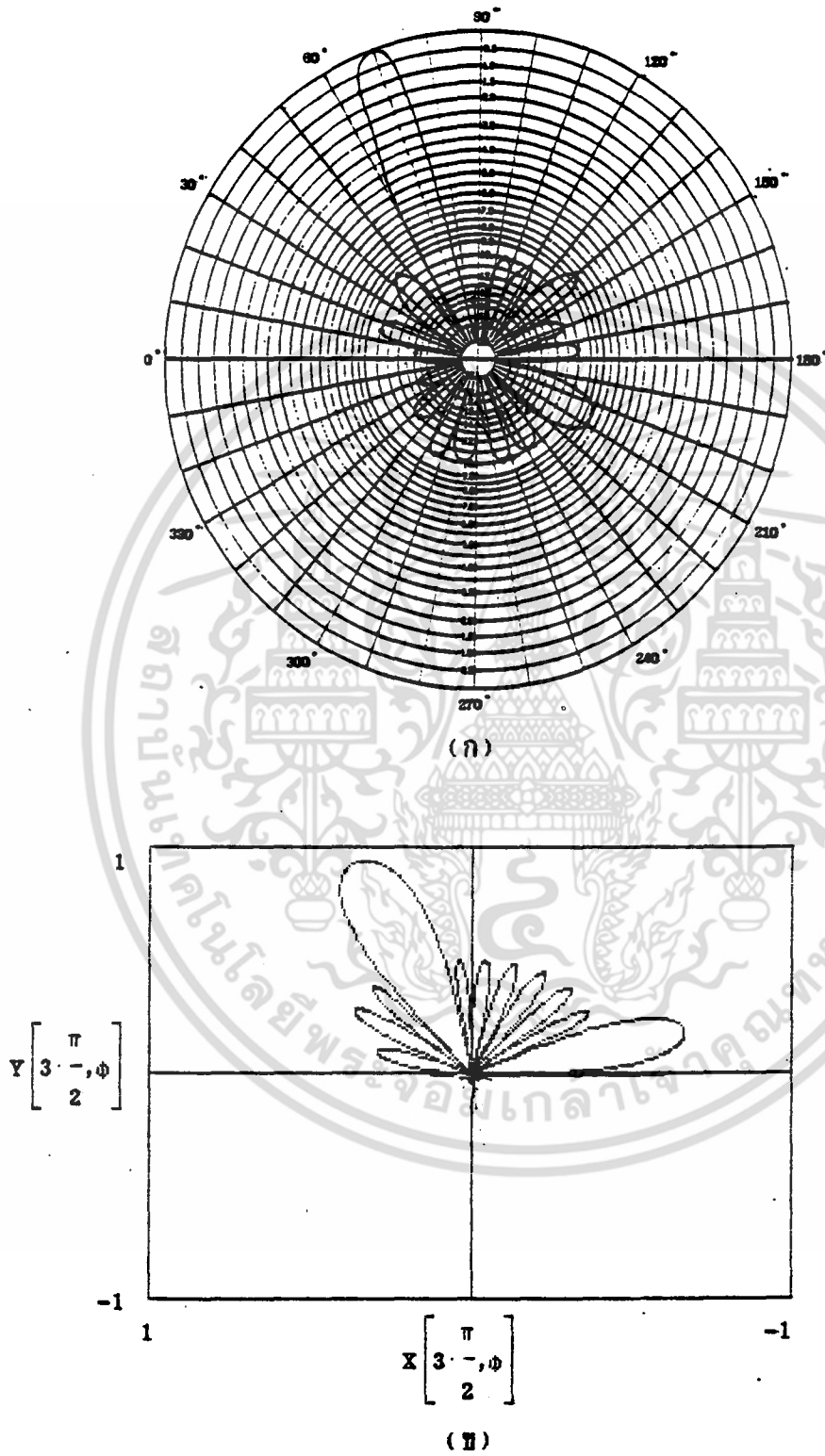
เอกสารนี้เป็นเอกสารที่สงวนไว้สำหรับการใช้งานเพื่อการศึกษาเท่านั้น ไม่อนุญาตให้นำไปใช้ประโยชน์ด้านการค้า ไม่ว่ากรณีใดๆ ทั้งสิ้น อีกทั้งห้ามมิให้ตัดแปลงเนื้อหา และต้องอ้างอิงถึงเจ้าของเอกสารทุกครั้งที่มีการนำไปใช้



รูปที่ 8.28 แสดงรูปแบบการกระจายคลื่น ในสถานะที่ 6 ($\omega=315^\circ$)

(ก) จากการทดลอง (ข) จากทฤษฎี

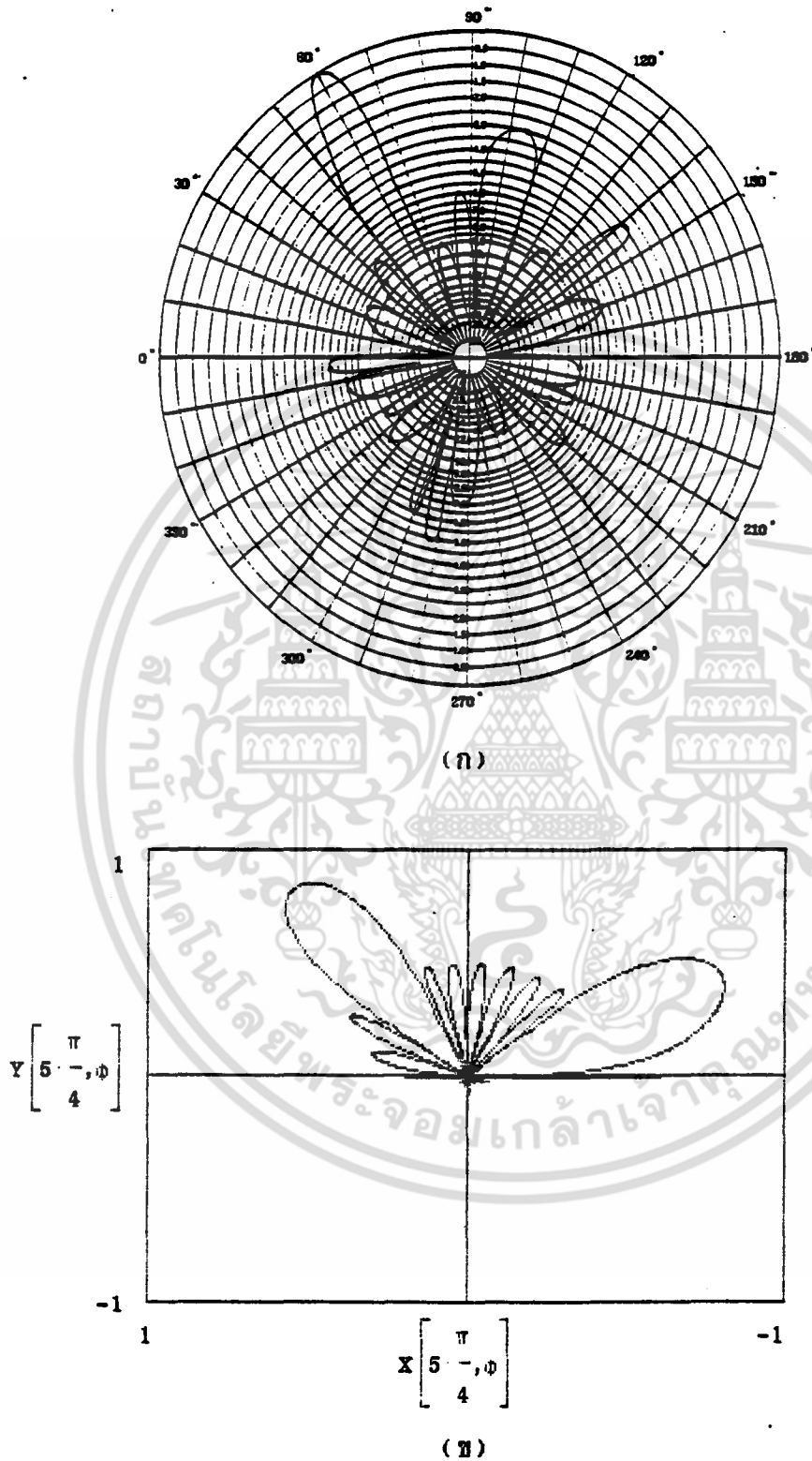
เอกสารนี้เป็นเอกสารที่สงวนไว้สำหรับการใช้งานเพื่อการศึกษาเท่านั้น ไม่อนุญาตให้นำไปใช้ประโยชน์ด้านการค้า ไม่ว่ากรณีใดๆ ทั้งสิ้น อีกทั้งห้ามมิให้ดัดแปลงเนื้อหา และต้องอ้างอิงถึงเจ้าของเอกสารทุกครั้งที่มีการนำไปใช้



รูปที่ 8.29 แสดงรูปแบบการกระจายคลื่น ในสถานะที่ 7 ($\theta = 270^\circ$)

(ก) จากการทดลอง (ข) จากทฤษฎี

เอกสารนี้เป็นเอกสารที่สงวนไว้สำหรับการใช้งานเพื่อการศึกษาเท่านั้น ไม่อนุญาตให้นำไปใช้ประโยชน์ด้านการค้า ไม่ว่ากรณีใดๆ ทั้งสิ้น อีกทั้งห้ามมิให้ดัดแปลงเนื้อหา และต้องอ้างอิงถึงเจ้าของเอกสารทุกครั้งที่มีการนำไปใช้

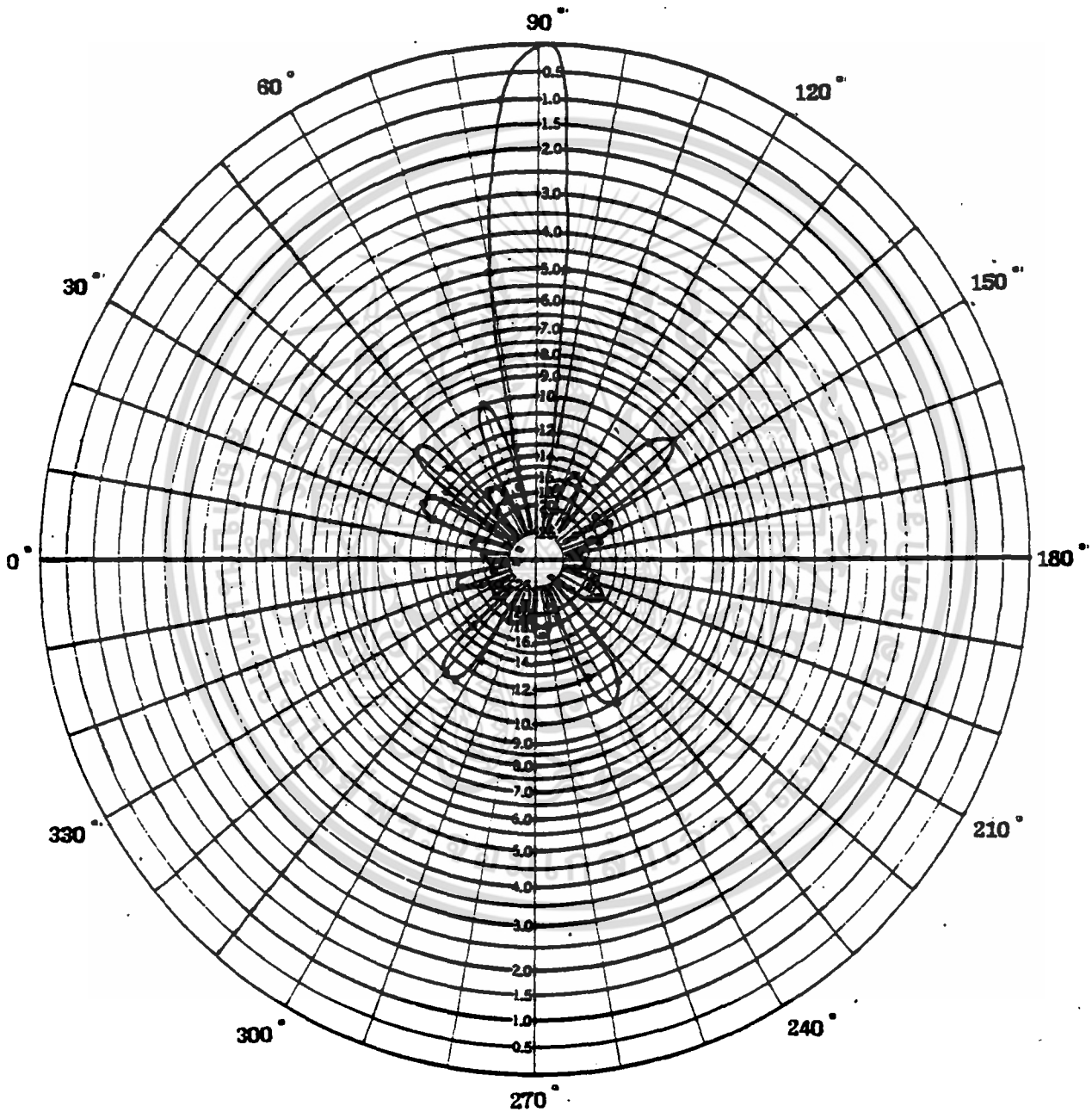


รูปที่ 8.30 แสดงรูปแบบการกระจายคลื่น ในสถานะที่ 8 ($\beta=225^\circ$)

(ก) จากการทดลอง (ข) จากทฤษฎี

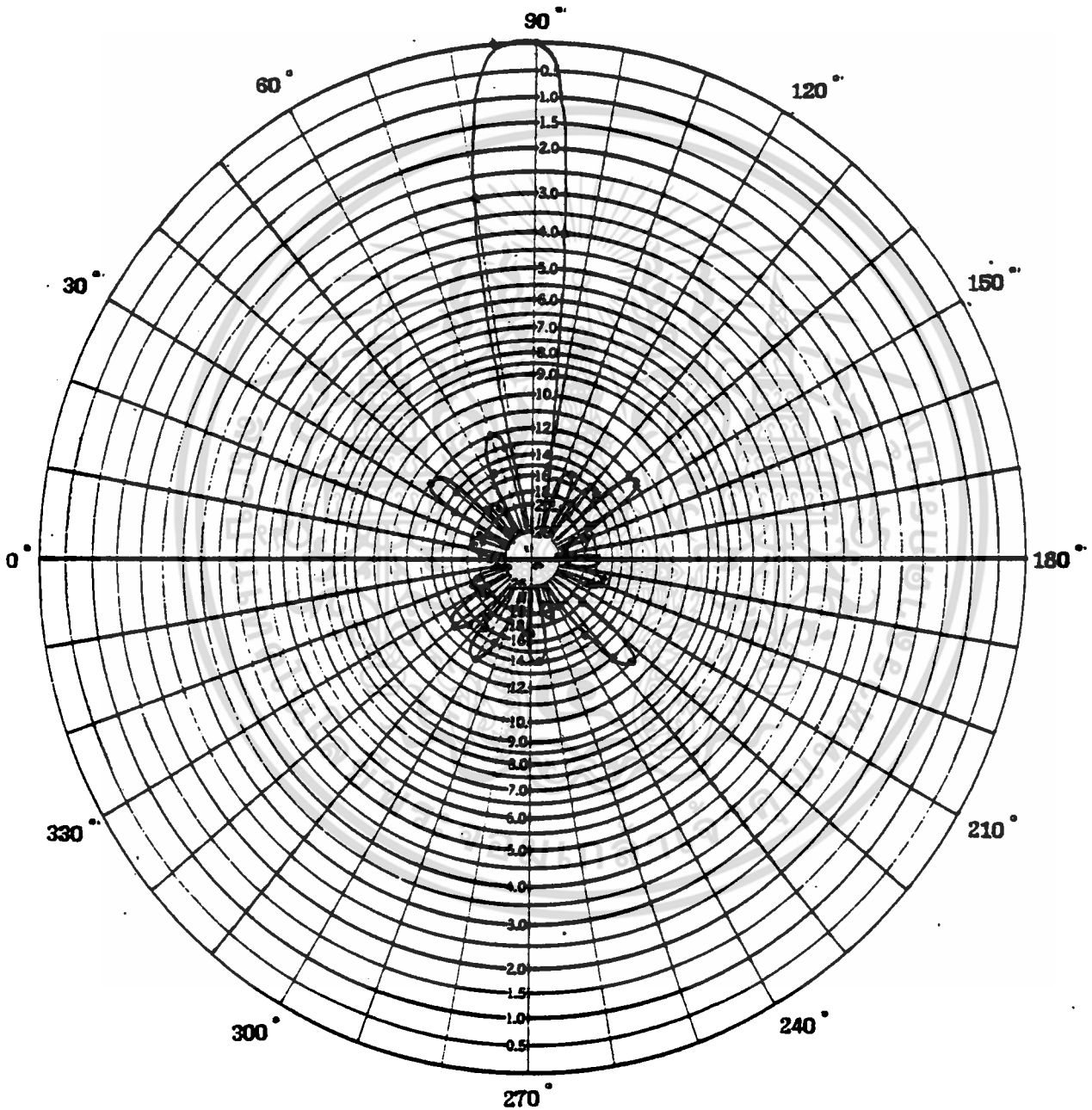
เอกสารนี้เป็นเอกสารที่สงวนไว้สำหรับการใช้งานเพื่อการศึกษาเท่านั้น ไม่อนุญาตให้นำไปใช้ประโยชน์ด้านการค้า ไม่ว่ากรณีใดๆ ทั้งสิ้น อีกทั้งห้ามมิให้ดัดแปลงเนื้อหา และต้องอ้างอิงถึงเจ้าของเอกสารทุกครั้งที่มีการนำไปใช้

8-2-3 รูปแบบการกระจายคลื่น จากการทดลอง ในสถานะที่ 5
เมื่อเปลี่ยนแปลงความถี่ไปจากความถี่ที่ออกแบบ



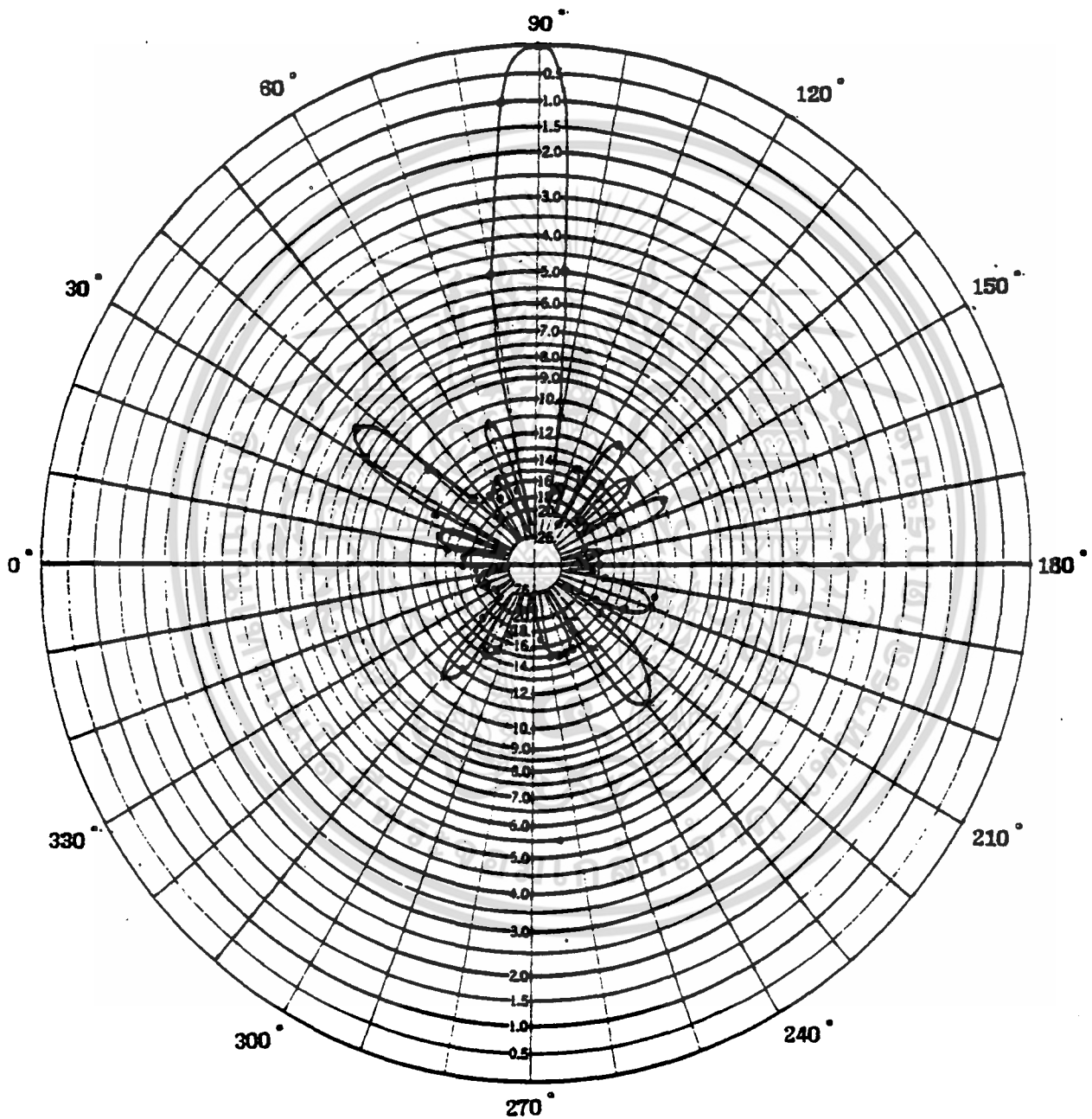
รูปที่ 8.31 แสดงรูปแบบการกระจายคลื่นในระนาบอะซิมุท ความถี่ 880 MHz

เอกสารนี้เป็นเอกสารที่สงวนไว้สำหรับการใช้งานเพื่อการศึกษาเท่านั้น ไม่อนุญาตให้นำไปใช้ประโยชน์ด้านการค้า ไม่ว่าจะกรณีใดๆ ทั้งสิ้น อีกทั้งห้ามมิให้ดัดแปลงเนื้อหา และต้องอ้างอิงถึงเจ้าของเอกสารทุกครั้งที่มีการนำไปใช้



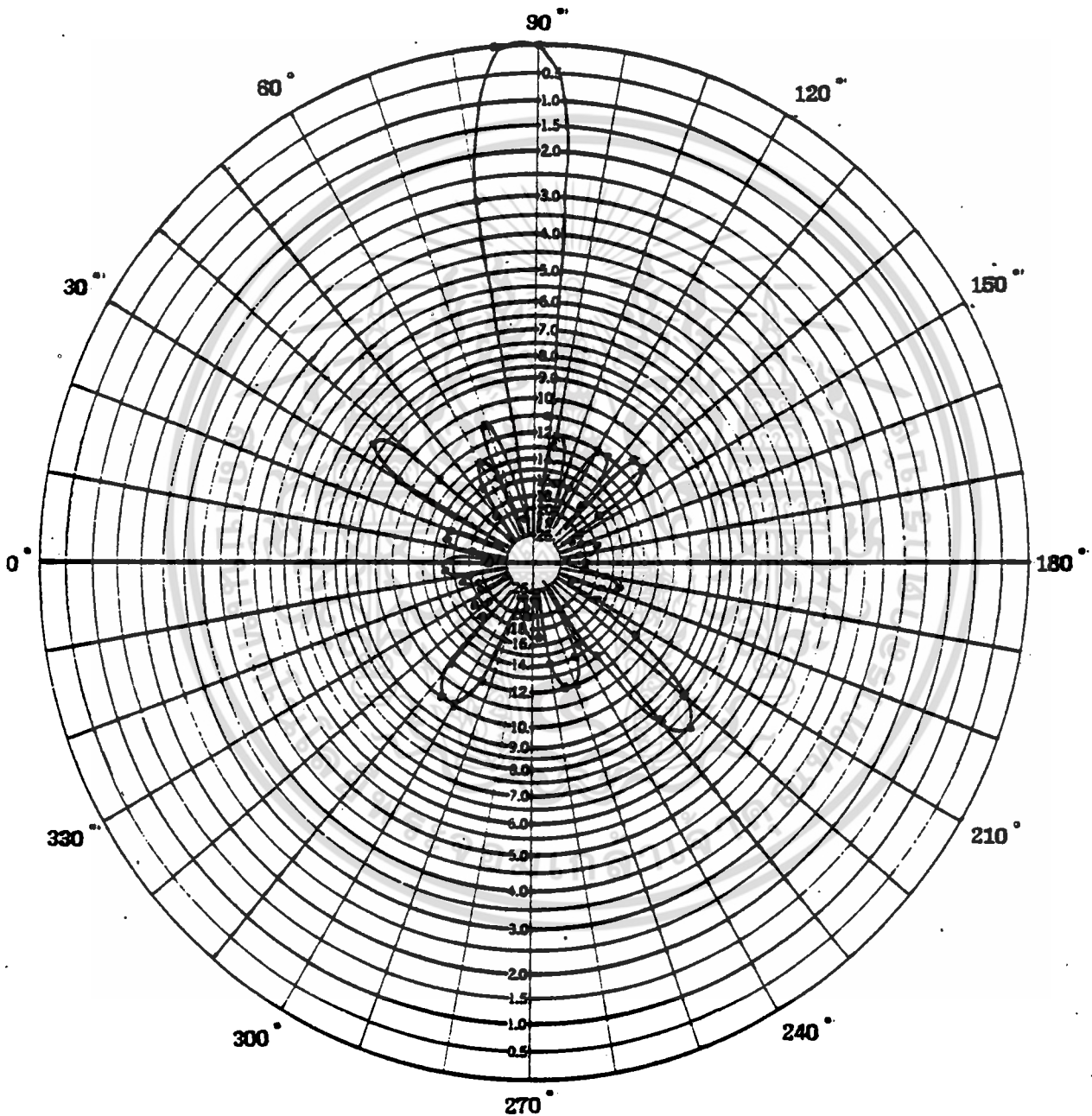
รูปที่ 8.32 แสดงรูปแบบการกระจายคลื่นในระนาบอะซิมุท ความถี่ 900 MHz

เอกสารนี้เป็นเอกสารที่สงวนไว้สำหรับการใช้งานเพื่อการศึกษาเท่านั้น ไม่อนุญาตให้นำไปใช้ประโยชน์ด้านการค้า ไม่ว่าจะกรณีใดๆ ทั้งสิ้น อีกทั้งห้ามมิให้ดัดแปลงเนื้อหา และต้องอ้างอิงถึงเจ้าของเอกสารทุกครั้งที่มีการนำไปใช้



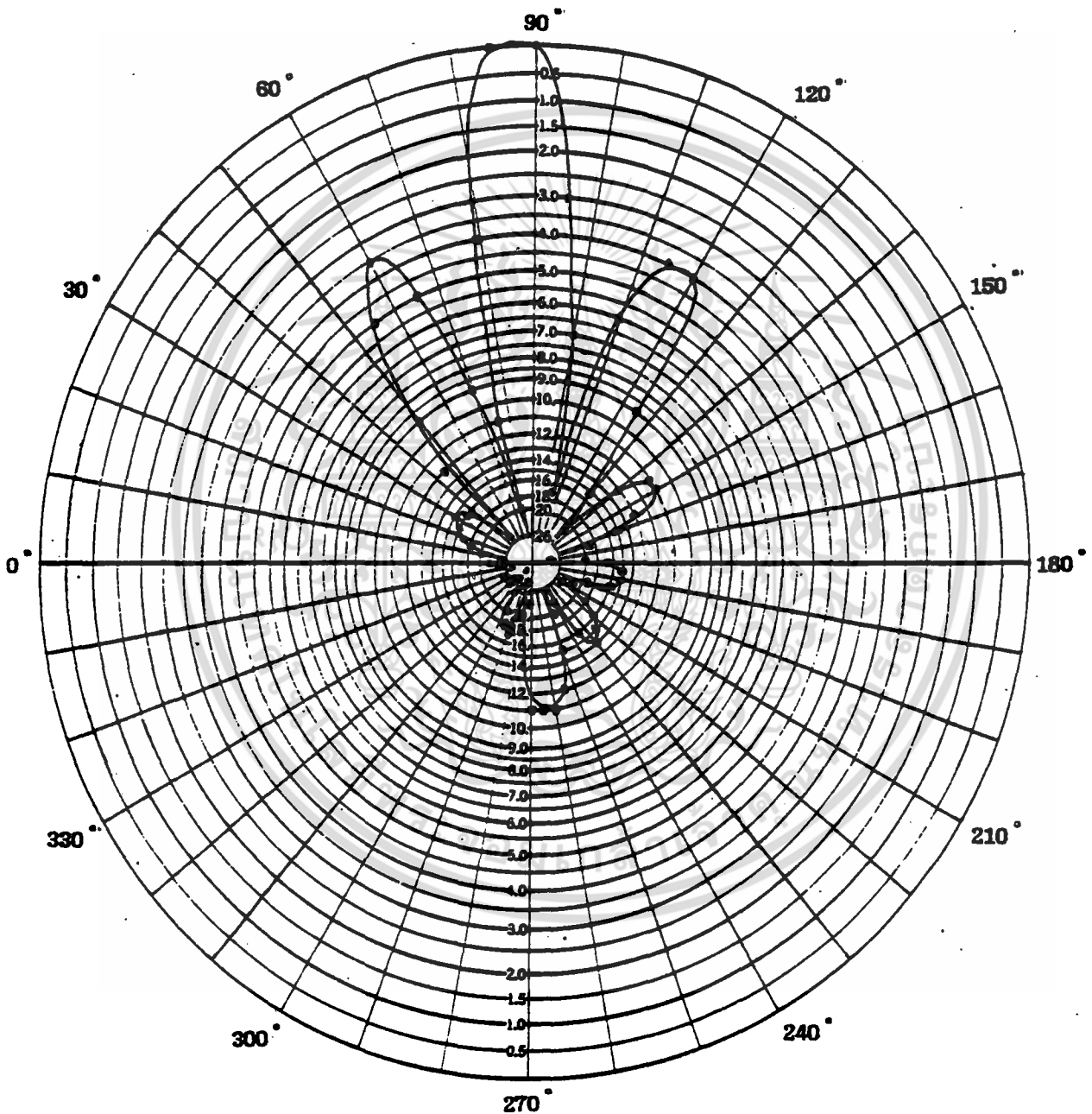
รูปที่ 8.33 แสดงรูปแบบการกระจายคลื่นในระนาบอะซิมุต ความถี่ 915 MHz

เอกสารนี้เป็นเอกสารที่สงวนไว้สำหรับการใช้งานเพื่อการศึกษาเท่านั้น ไม่อนุญาตให้นำไปใช้ประโยชน์ด้านการค้า ไม่ว่ากรณีใดๆ ทั้งสิ้น อีกทั้งห้ามมิให้ดัดแปลงเนื้อหา และต้องอ้างอิงถึงเจ้าของเอกสารทุกครั้งที่มีการนำไปใช้



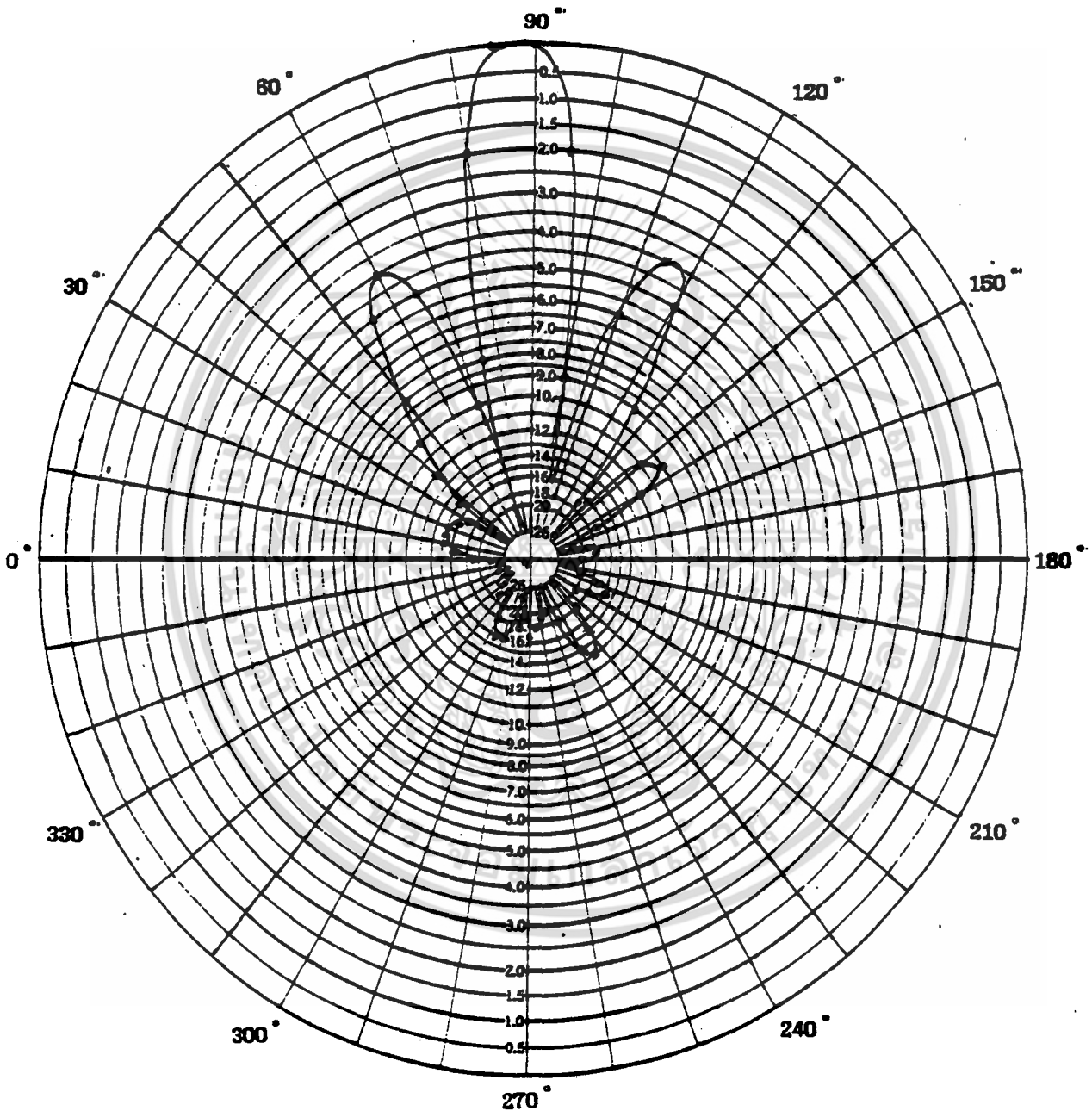
รูปที่ 8.34 แสดงรูปแบบการกระจายคลื่นในระนาบอะซิมุต ความถี่ 920 MHz

เอกสารนี้เป็นเอกสารที่สงวนไว้สำหรับการใช้งานเพื่อการศึกษาเท่านั้น ไม่อนุญาตให้นำไปใช้ประโยชน์ด้านการค้า ไม่ว่าจะกรณีใดๆ ทั้งสิ้น อีกทั้งห้ามมิให้ดัดแปลงเนื้อหา และต้องอ้างอิงถึงเจ้าของเอกสารทุกครั้งที่มีการนำไปใช้



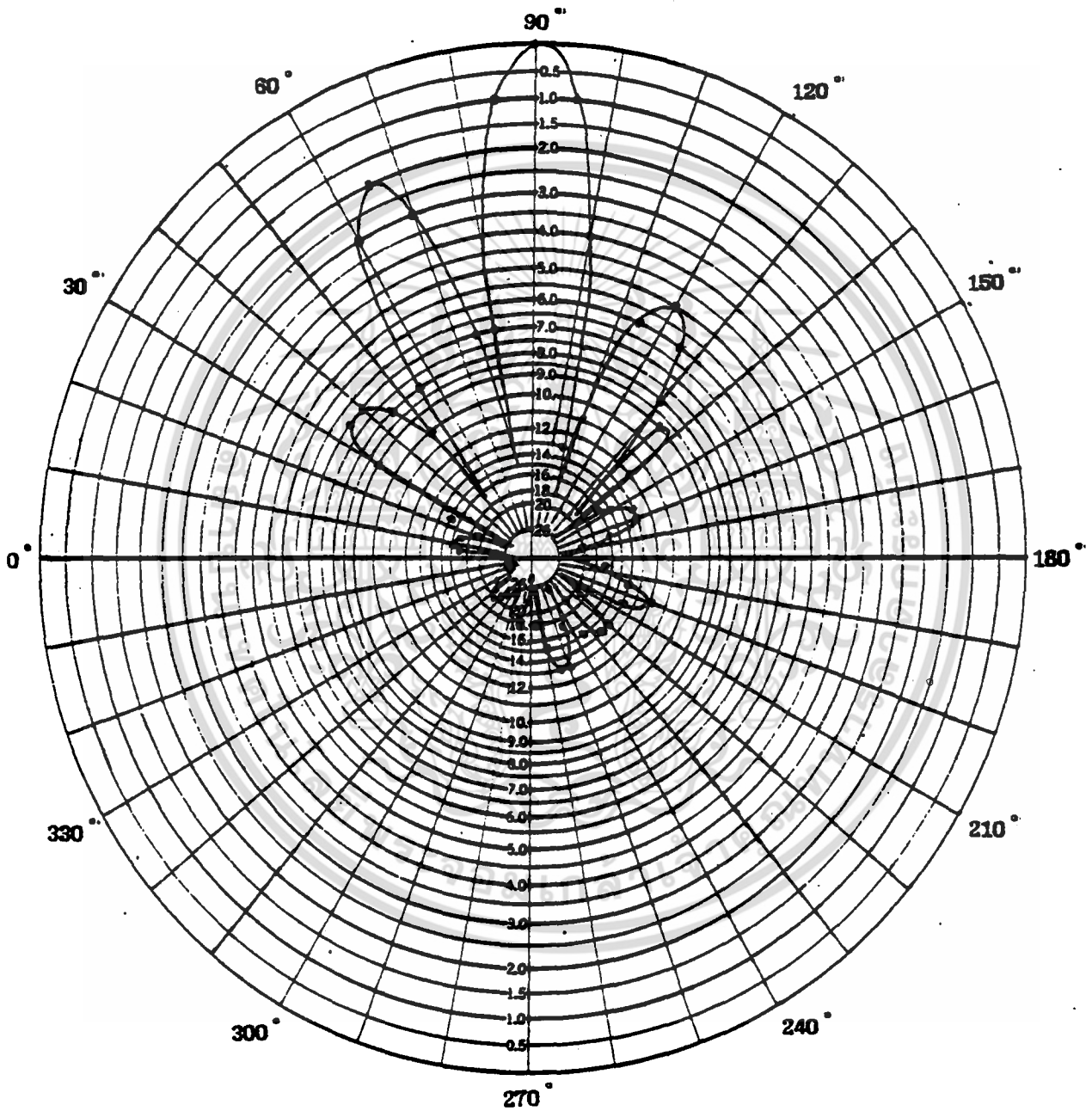
รูปที่ 8.35 แสดงรูปแบบการกระจายคลื่นในระนาบเอลีเวชัน ความถี่ 880 MHz

เอกสารนี้เป็นเอกสารที่สงวนไว้สำหรับการใช้งานเพื่อการศึกษาเท่านั้น ไม่อนุญาตให้นำไปใช้ประโยชน์ด้านการค้า ไม่ว่าจะกรณีใดๆ ทั้งสิ้น อีกทั้งห้ามมิให้ดัดแปลงเนื้อหา และต้องอ้างอิงถึงเจ้าของเอกสารทุกครั้งที่มีการนำไปใช้



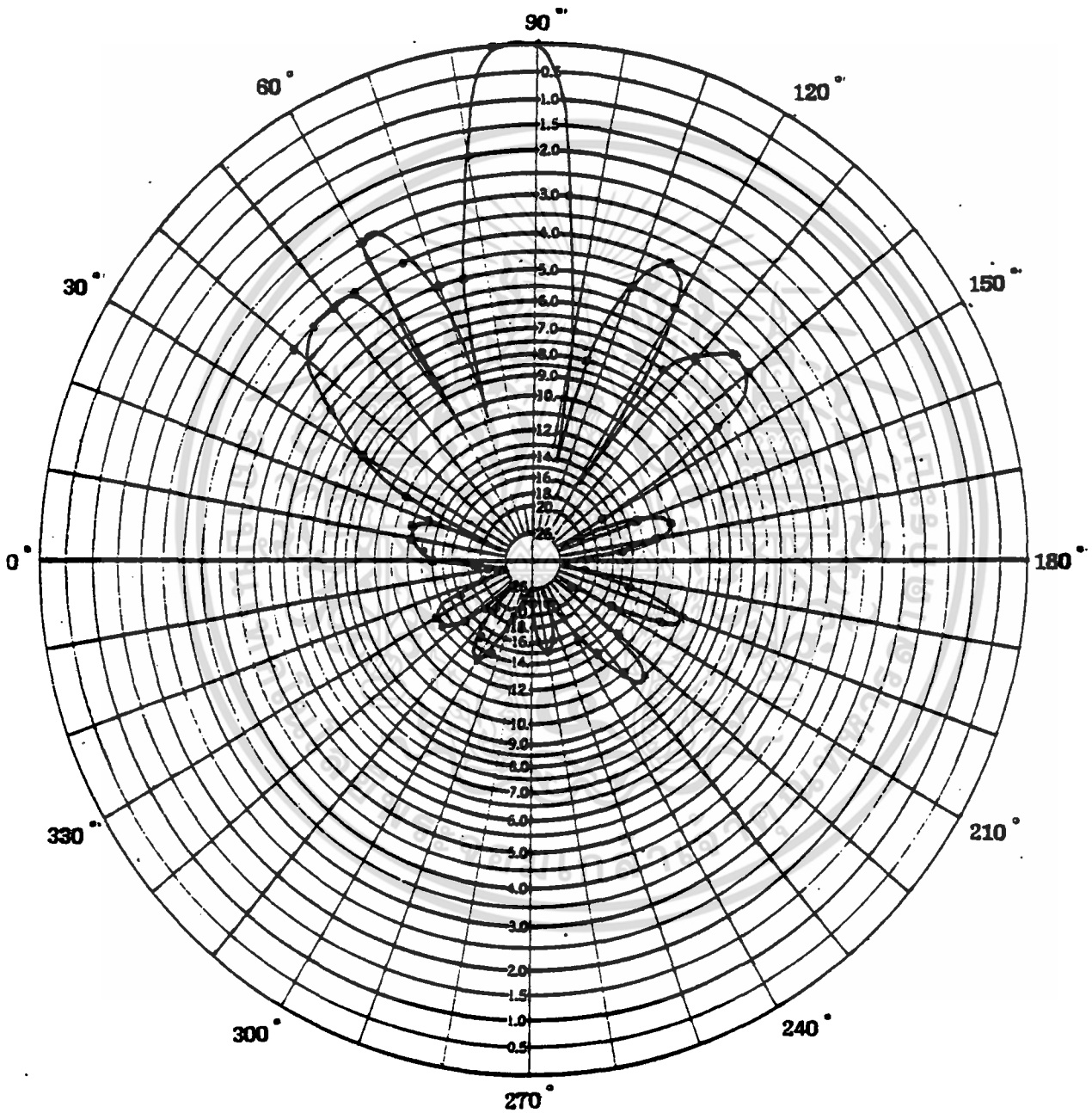
รูปที่ 8.36 แสดงรูปแบบการกระจายคลื่นในระนาบเอลีเวชัน ความถี่ 900 MHz

เอกสารนี้เป็นเอกสารที่สงวนไว้สำหรับการใช้งานเพื่อการศึกษาเท่านั้น ไม่อนุญาตให้นำไปใช้ประโยชน์ด้านการค้า ไม่ว่าจะกรณีใดๆ ทั้งสิ้น อีกทั้งห้ามมิให้ดัดแปลงเนื้อหา และต้องอ้างอิงถึงเจ้าของเอกสารทุกครั้งที่มีการนำไปใช้



รูปที่ 8.37 แสดงรูปแบบการกระจายคลื่นในระนาบเอลีเวชัน ความถี่ 915 MHz

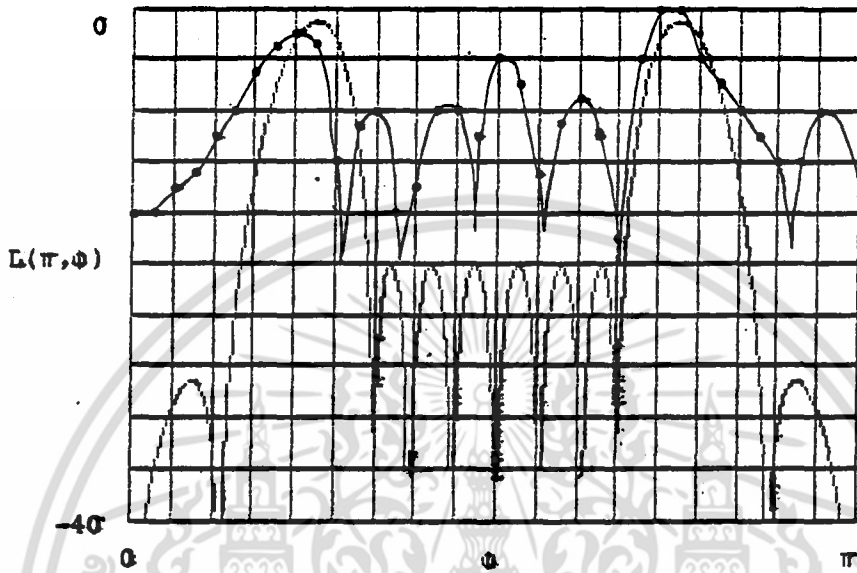
เอกสารนี้เป็นเอกสารที่สงวนไว้สำหรับการใช้งานเพื่อการศึกษาเท่านั้น ไม่อนุญาตให้นำไปใช้ประโยชน์ด้านการค้า ไม่ว่าจะกรณีใดๆ ทั้งสิ้น อีกทั้งห้ามมิให้ดัดแปลงเนื้อหา และต้องอ้างอิงถึงเจ้าของเอกสารทุกครั้งที่มีการนำไปใช้



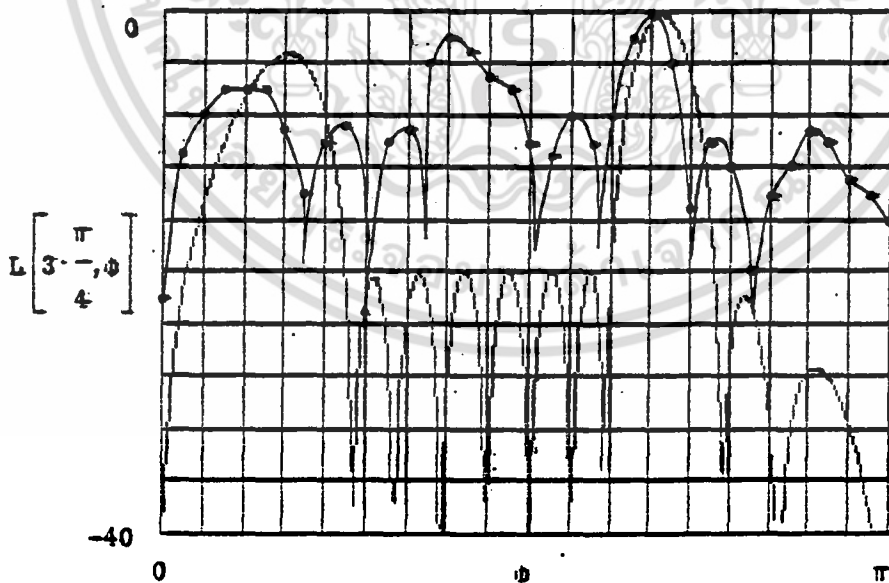
รูปที่ 8.38 แสดงรูปแบบการกระจายคลื่นในระนาบเอลีเวชัน ความถี่ 920 MHz

เอกสารนี้เป็นเอกสารที่สงวนไว้สำหรับการใช้งานเพื่อการศึกษาเท่านั้น ไม่อนุญาตให้นำไปใช้ประโยชน์ด้านการค้า ไม่ว่าจะกรณีใดๆ ทั้งสิ้น อีกทั้งห้ามมิให้ดัดแปลงเนื้อหา และต้องอ้างอิงถึงเจ้าของเอกสารทุกครั้งที่มีการนำไปใช้

**8-2-4 การเปรียบเทียบรูปแบบการกระจายคลื่นในระนาบอะซิมุท
ที่สถานะต่างๆ สำหรับโคออร์ดิเนตแบบสี่เหลี่ยมผืนผ้า**

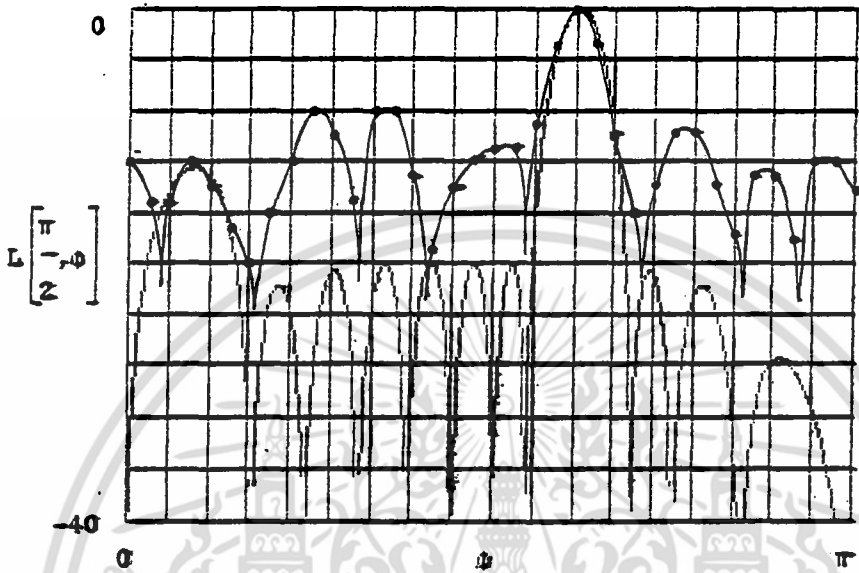


รูปที่ 8.39 แสดงรูปแบบการกระจายคลื่น ในสถานะที่ 1 ($\beta=180^\circ$)
● จากการทดลอง — จากทฤษฎี

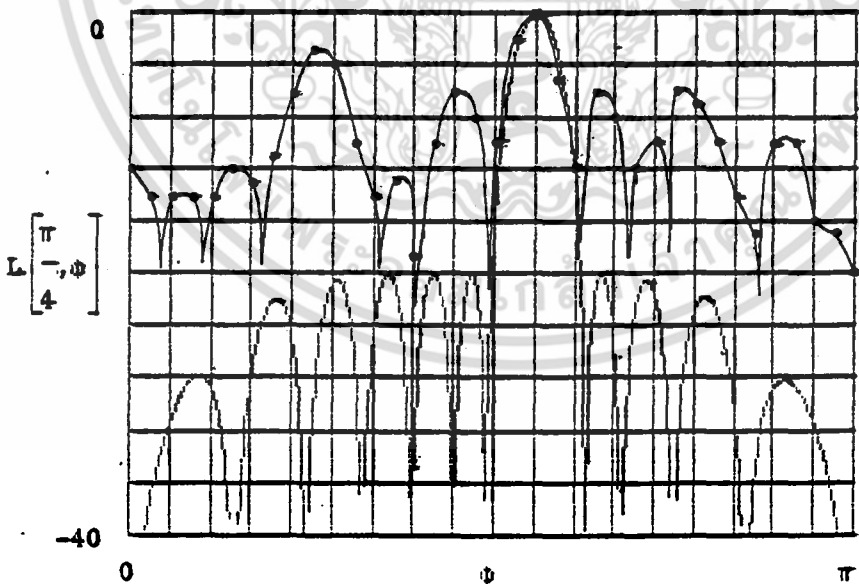


รูปที่ 8.40 แสดงรูปแบบการกระจายคลื่น ในสถานะที่ 2 ($\beta=135^\circ$)
● จากการทดลอง — จากทฤษฎี

เอกสารนี้เป็นเอกสารที่สงวนไว้สำหรับการใช้งานเพื่อการศึกษาเท่านั้น ไม่อนุญาตให้นำไปใช้ประโยชน์ด้านการค้า
ไม่ว่ากรณีใดๆ ทั้งสิ้น อีกทั้งห้ามมิให้ดัดแปลงเนื้อหา และต้องอ้างอิงถึงเจ้าของเอกสารทุกครั้งที่มีการนำไปใช้

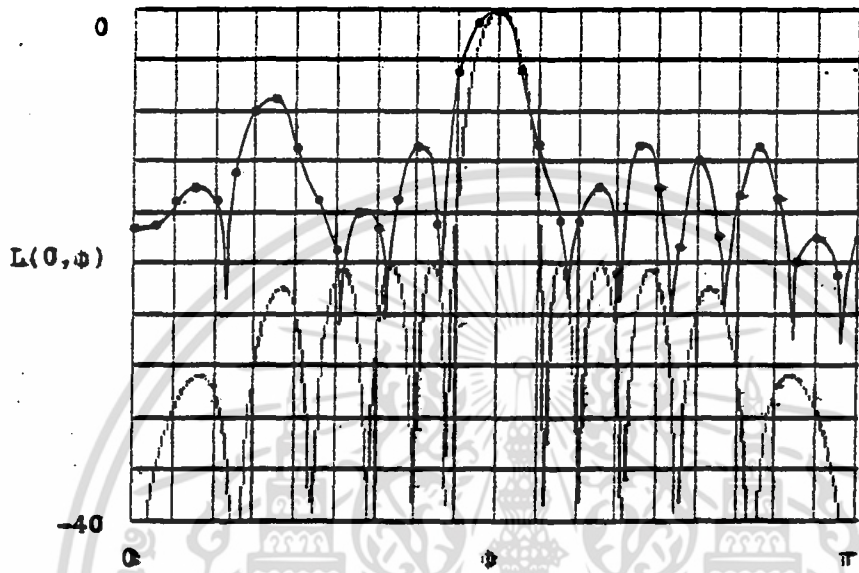


รูปที่ 8.41 แสดงรูปแบบการกระจายคลื่น ในสถานะที่ 3 ($\beta=90^\circ$)
● จากการทดลอง — จากทฤษฎี

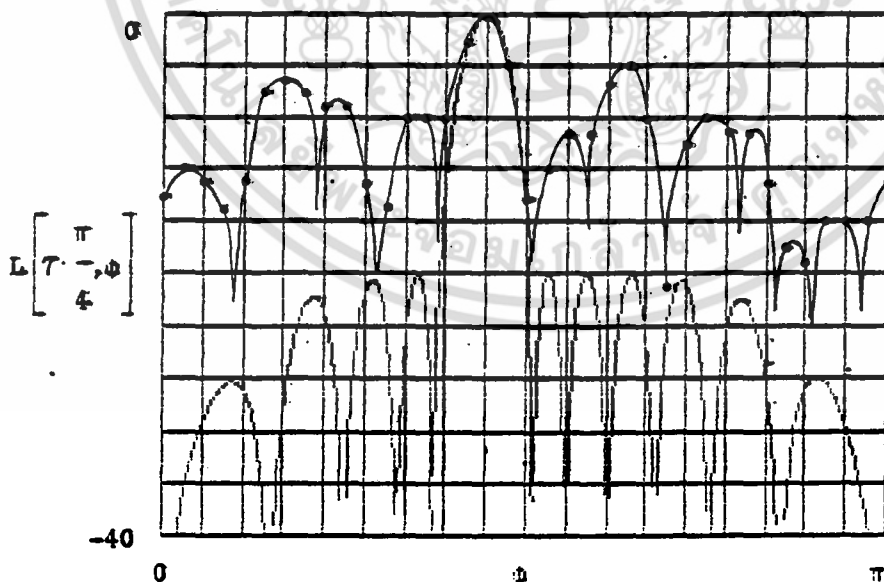


รูปที่ 8.42 แสดงรูปแบบการกระจายคลื่น ในสถานะที่ 4 ($\beta=45^\circ$)
● จากการทดลอง — จากทฤษฎี

เอกสารนี้เป็นเอกสารที่สงวนไว้สำหรับการใช้งานเพื่อการศึกษาเท่านั้น ไม่อนุญาตให้นำไปใช้ประโยชน์ด้านการค้า
ไม่ว่ากรณีใดๆ ทั้งสิ้น อีกทั้งห้ามมิให้ดัดแปลงเนื้อหา และต้องอ้างอิงถึงเจ้าของเอกสารทุกครั้งที่มีการนำไปใช้

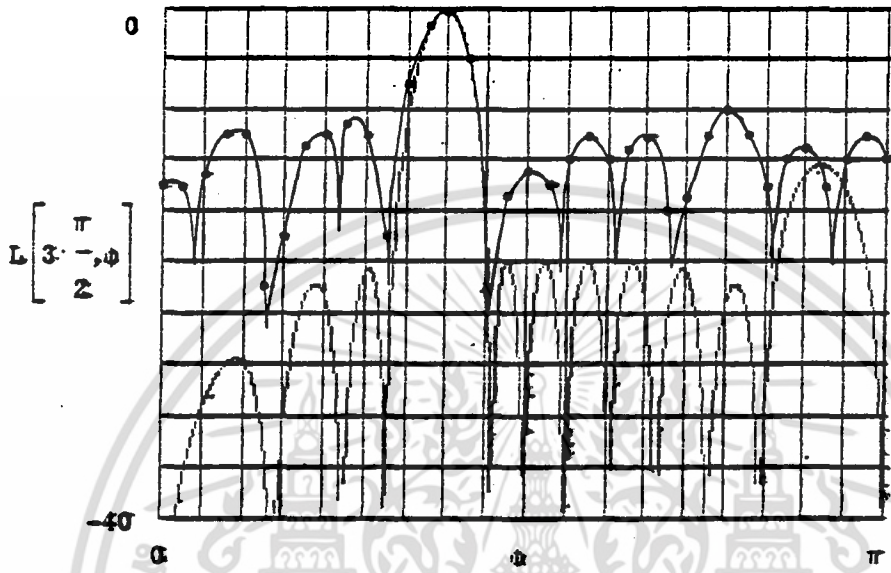


รูปที่ 8.43 แสดงรูปแบบการกระจายคลื่น ในสถานะที่ 5 ($\theta=0^\circ$)
—•— จากการทดลอง - - - จากทฤษฎี



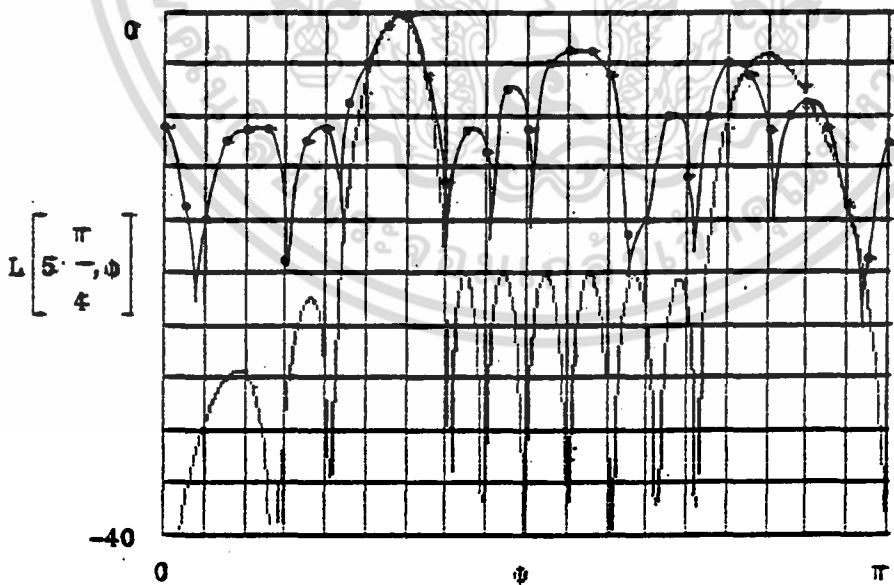
รูปที่ 8.44 แสดงรูปแบบการกระจายคลื่น ในสถานะที่ 6 ($\theta=315^\circ$)
—•— จากการทดลอง - - - จากทฤษฎี

เอกสารนี้เป็นเอกสารที่สงวนไว้สำหรับการใช้งานเพื่อการศึกษาเท่านั้น ไม่อนุญาตให้นำไปใช้ประโยชน์ด้านการค้า ไม่ว่ากรณีใดๆ ทั้งสิ้น อีกทั้งห้ามมิให้ดัดแปลงเนื้อหา และต้องอ้างอิงถึงเจ้าของเอกสารทุกครั้งที่มีการนำไปใช้



รูปที่ 8.45 แสดงรูปแบบการกระจายคลื่น ในสถานะที่ 7 ($\theta=270^\circ$)

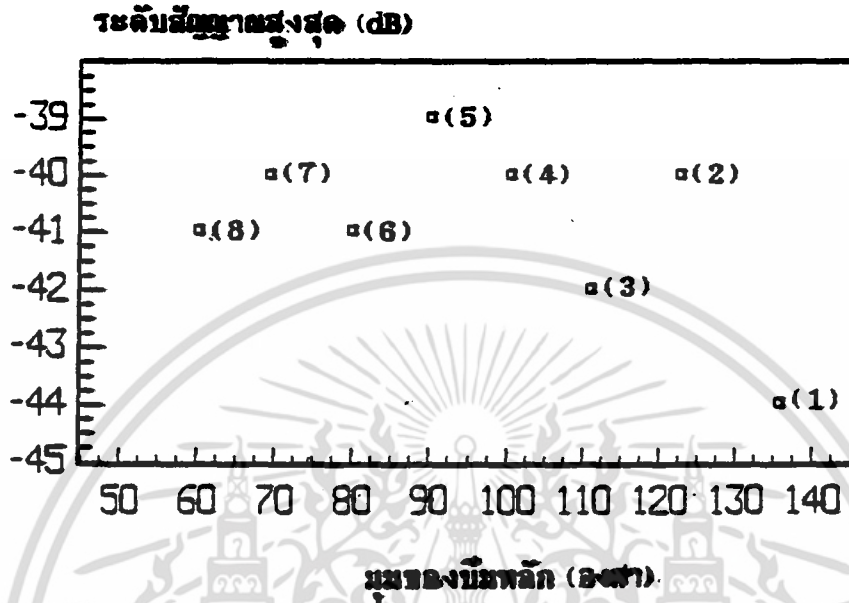
● จากผลการทดลอง — จากทฤษฎี



รูปที่ 8.46 แสดงรูปแบบการกระจายคลื่น ในสถานะที่ 8 ($\theta=225^\circ$)

● จากผลการทดลอง — จากทฤษฎี

เอกสารนี้เป็นเอกสารที่สงวนไว้สำหรับการใช้งานเพื่อการศึกษาเท่านั้น ไม่อนุญาตให้นำไปใช้ประโยชน์ด้านการค้า
ไม่ว่ากรณีใดๆ ทั้งสิ้น อีกทั้งห้ามมิให้ดัดแปลงเนื้อหา และต้องอ้างอิงถึงเจ้าของเอกสารทุกครั้งที่มีการนำไปใช้



รูปที่ 8.47 แสดงความสัมพันธ์ระหว่างระดับสัญญาณสูงสุดของบีมหลัก และมุมของบีมหลัก ในสถานะต่างๆ ที่ความถี่ 915 MHz

ระนาบที่วัด	เกนของสายอากาศ (dB _d)
อะซีมูท	+5
เอลิเวชัน	+5

ตารางที่ 8.4 แสดงผลการวัดเกนของสายอากาศเฟสอาร์เรย์ ในสถานะที่ 5 เปรียบเทียบกับสายอากาศไดโพลเอลิเมนต์เดี่ยว

เอกสารนี้เป็นเอกสารที่สงวนไว้สำหรับการใช้งานเพื่อการศึกษาเท่านั้น ไม่อนุญาตให้นำไปใช้ประโยชน์ด้านการค้า ไม่ว่ากรณีใดๆ ทั้งสิ้น อีกทั้งห้ามมิให้ดัดแปลงเนื้อหา และต้องอ้างอิงถึงเจ้าของเอกสารทุกครั้งที่มีการนำไปใช้

บทที่ 9
บทสรุปและวิจารณ์

สาขาอากาศเฟสอาร์เรย์ที่สร้างขึ้น จากวิธีการคำนวณออกแบบสร้าง ในบทที่ 7 และทดสอบวัดคุณสมบัติต่างๆ ได้ผลการทดลองดังแสดงไว้ในบทที่ 8 นั้น จะขอกล่าวสรุปแยกเป็นประเด็นสำหรับวิเคราะห์คุณสมบัติ ของสาขาอากาศเฟสอาร์เรย์ ดังนี้

9-1 ส่วนของวงจรเลื่อนเฟสขนาด 3 บิต รวมกัน

โดยที่วงจรเลื่อนเฟสขนาด 3 บิต รวมกัน เป็นส่วนที่นำมาใช้งานจริง สำหรับการสร้างสาขาอากาศดังกล่าว และได้ผลการทดลอง ดังแสดงด้วยกราฟรูปที่ 8.10 เป็นสิ่งที่แสดงให้เห็นว่า วงจรเลื่อนเฟสที่นำมาใช้งานนี้ มีค่าอินเลอร์ชันลอส ที่สูงกว่าค่าอินเลอร์ชันลอส ของวงจรเลื่อนเฟสที่ใช้กันอยู่โดยทั่วไปประมาณ 1-2 dB ทั้งนี้เนื่องจากการเลือกใช้สารรองรับ (Substrate) ที่เป็นอีพ็อกซี (Epoxy) ในการสร้างไมโครสตริวไลน์ เป็นวงจรบรรณารักษ์ไลน์ไฮบริดคัปเปิลเลอร์และวงจรแมทชิง มีค่าไดอิเล็กตริกคอส (Dielectric Loss) ที่สูงพอสมควร จึงทำให้เกิดค่าอินเลอร์ชันลอสสูงตามที่แสดงไว้ในผลการทดลอง

ส่วนคุณสมบัติของการสะท้อนกลับของสัญญาณ เมื่อพิจารณาจากกราฟรูปที่ 8.11 แล้ว จะแสดงให้เห็นว่า วงจรเลื่อนเฟสที่สร้างขึ้นนี้ สามารถนำมาใช้งานได้จริง เนื่องจากมีค่ารีเทิร์นลอสที่สูงพอสมควร โดยอาจจะประมาณจากค่าของ VSWR ในกราฟรูปที่ 8.12 ก็ได้ ซึ่งจะมีค่าน้อยกว่า 1.7 : 1 สำหรับความถี่ที่ออกแบบคือ 915 MHz ทั้งนี้คิดว่าควรจะเป็นผลที่ได้จากเทคนิคในการสร้างวงจรเลื่อนเฟสขนาด 1 บิต แยกกันจึงทำให้สามารถออกแบบวงจรแมทชิงให้มีคุณสมบัติการสะท้อนสัญญาณที่ดีพอใช้ เมื่อนำมาต่อรวมกันเป็น 3 บิต

แต่อย่างไรก็ดี ประเด็นสำคัญของการใช้งานวงจรเลื่อนเฟส ก็คือได้ผลการทดสอบเฟสที่เลื่อนไป (Phase Shift) เป็นที่น่าพอใจ ดังแสดงไว้ในตารางที่ 8.1 ซึ่งจะเห็นว่าในบิตที่ 0 ($\Delta\theta = 45^\circ$) นั้นมีค่าผิดพลาดไปจากค่าที่ต้องการ 30° ส่วนในบิตที่ 2 ($\Delta\theta = 180^\circ$) มีค่าผิดพลาดไปจากค่าที่ต้องการ

เอกสารนี้เป็นเอกสารที่สงวนไว้สำหรับการใช้งานเพื่อการศึกษาเท่านั้น ไม่อนุญาตให้นำไปใช้ประโยชน์ด้านการค้าไม่ว่ากรณีใดๆ ทั้งสิ้น อีกทั้งห้ามมิให้ดัดแปลงเนื้อหา และต้องอ้างอิงถึงเจ้าของเอกสารทุกครั้งที่มีการนำไปใช้

มากกว่าเล็กน้อยคือ 35° แต่ในบิกที่ 1 ($\Delta\theta = 90^\circ$) ได้ผลตรงตามที่ต้องการ เมื่อนำค่าของมุมเฟสเหล่านี้ ตามที่ได้จากผลการทดสอบ ในตารางที่ 8.1 มา แทนค่าเพื่อหามุมของบีมหลักในทิศทางใหม่ เช่นเดียวกับที่ได้คำนวณไว้ในตารางที่ 8.2 จะได้ผลการคำนวณใหม่ ดังได้แสดงไว้ในตารางที่ 9.1 เพื่อนำไป วิเคราะห์เปรียบเทียบกับผล การทดสอบคุณสมบัติรูปแบบการกระจายคลื่น ของ สายอากาศเฟสอาร์เรย์ต่อไป

สถานะที่	θ	θ_0
1	145°	125.1°
2	165°	130.9°
3	90°	110.9°
4	75°	107.3°
5	0°	90.0°
6	$310^\circ (-50^\circ)$	78.6°
7	$235^\circ (-125^\circ)$	60.3°
8	$220^\circ (-140^\circ)$	56.3°

ตารางที่ 9.1 แสดงการเปลี่ยนทิศทางของบีมหลัก 8 ทิศทาง เมื่อเปลี่ยนสถานะของวงจรเลื่อนเฟส(ที่สร้างขึ้นใช้งานจริง)

9-2 ส่วนของสายอากาศเฟสอาร์เรย์

สำหรับส่วนการทดสอบคุณสมบัติของสายอากาศเฟสอาร์เรย์นั้น จะมุ่งเน้นไปที่รูปแบบการกระจายคลื่น โดยเฉพาะในระนาบอะซิมุท ซึ่งได้กำหนดให้มีการกวาดทิศทางของบีมหลัก ส่วนในระนาบเอลีเวชัน จะได้กล่าวสรุปประกอบไว้พอสังเขป แต่ก่อนอื่นจะขอแสดงความคิดเห็นเกี่ยวกับคุณสมบัติของการสะท้อนสัญญาณของสายอากาศเฟสอาร์เรย์ทั้งระบบ ซึ่งในที่นี้มีความหมายรวมถึง ส่วน

เอกสารนี้เป็นเอกสารที่สงวนไว้สำหรับการใช้งานเพื่อการศึกษาเท่านั้น ไม่อนุญาตให้นำไปใช้ประโยชน์ด้านการค้า ไม่ว่าจะกรณีใดๆ ทั้งสิ้น อีกทั้งห้ามมิให้ดัดแปลงเนื้อหา และต้องอ้างอิงถึงเจ้าของเอกสารทุกครั้งที่มีการนำไปใช้

วงจรเลื่อนเฟส และส่วนป้อนกระแสสัญญาณให้แก่สายอากาศด้วย ตามที่ได้แสดงไว้ในกราฟรูปที่ 8.21 มีค่ารีเทิร์นลอสเท่ากับ 10 dB ณ ความถี่ที่ออกแบบเท่ากันในทุกสถานะ เมื่อเปลี่ยนสถานะของวงจรเลื่อนเฟสเพื่อปรับทิศทางไปทำให้พอจะกล่าวได้ว่าสายอากาศนี้ออกแบบได้ตรงกับความถี่ที่ออกแบบ แต่ก็ยังมีค่ารีเทิร์นลอสที่ไม่สูงมากเมื่อเทียบกับวงจรเลื่อนเฟสเพียงตัวเดียว ซึ่งในกรณีนี้จะพิจารณาได้จากค่า VSWR ดังได้แสดงไว้ในกราฟรูปที่ 8.22 มีค่าเท่ากับ 1.93 : 1 หรือหมายความว่ามีความสัมพันธ์การสะท้อนของสัญญาณ (โวลเตจ) เท่ากับ 31.6% ณ ความถี่ที่ออกแบบ เท่ากันในทุกสถานะ ดังนั้นจะเห็นได้ว่าสายอากาศเฟสอาร์เรย์ที่ได้สร้างขึ้นนี้สามารถนำไปใช้งานได้ สำหรับกรณีเป็นสายอากาศที่ใช้รับสัญญาณ แต่ในกรณีที่ต้องการใช้เป็นสายอากาศส่ง จำเป็นที่จะต้องมีการปรับปรุงให้มีสัมประสิทธิ์การสะท้อนสัญญาณที่น้อยกว่านี้ หรือมีค่า VSWR ที่เข้าใกล้ค่า 1.0 : 1 จึงจะถือว่ามีค่าอิมพีแดนซ์ที่แมทช์กันดี

9-2-1 รูปแบบการกระจายคลื่นในระนาบอะซิมุท

จากผลการทดลองวัดรูปแบบการกระจายคลื่น ในระนาบอะซิมุท ซึ่งมีสถานะของการกวาดบีมหลัก 8 สถานะ ตามรูปที่แสดงไว้ในกราฟแบบวงกลม (Polar Graph) ตั้งแต่รูปที่ 8.23 ถึงรูปที่ 8.30 โดยแบ่งออกเป็น 2 ส่วน คือ (ก) ส่วนที่ได้จากการทดลอง และ (ข) ส่วนที่ได้จากการคำนวณตามทฤษฎีด้วยโปรแกรม MathCAD 2.5 จะเห็นว่าผลที่ได้จากการทดลองมีแนวโน้มในการกวาดบีมหลักใกล้เคียงกับ ผลที่ได้จากการคำนวณตามทฤษฎี กล่าวคือ มีความผิดพลาดของมุมของบีมหลักน้อยมาก และเมื่อพิจารณาจากผลการคำนวณเพื่อหาค่ามุมของบีมหลักตามสมการที่ (8.1) ได้ผลลัพธ์ใหม่ตามตารางที่ 9.1 จะเห็นว่า มีค่าผิดพลาดไปจากผลลัพธ์นี้เพียง 4 สถานะ คือ ในสถานะที่ 1, 2, 4 และ 7 ส่วนในสถานะอื่นๆยังคงให้ผลการคำนวณเท่าเดิมหรือใกล้เคียงกับค่าเดิม ในตารางที่ 8.2 มาก ซึ่งค่าผิดพลาดที่ได้จากการวัดรูปแบบการกระจายคลื่นทั้ง 4 สถานะนั้น ก็ยังมีค่าผิดพลาดที่ไม่มากนัก คือ ไม่เกิน 10° ในสถานะที่ 1 และน้อยกว่า 10° ในสถานะที่เหลืออีก 3 สถานะ ดังนั้นอาจจะกล่าวสรุปได้ว่า การออกแบบสร้างสายอากาศเฟสอาร์เรย์ ตามขั้นตอนของ

เอกสารนี้เป็นเอกสารที่สงวนไว้สำหรับการใช้งานเพื่อการศึกษาเท่านั้น ไม่อนุญาตให้นำไปใช้ประโยชน์ด้านการค้า ไม่ว่าจะกรณีใดๆ ทั้งสิ้น อีกทั้งห้ามมิให้ตัดแปลงเนื้อหา และต้องอ้างอิงถึงเจ้าของเอกสารทุกครั้งที่มีการนำไปใช้

วิทยานิพนธ์นี้ ให้ผลในการกวาดบีมหลักที่ดี เป็นที่น่าพอใจมาก

สำหรับการพิจารณาคุณสมบัติอื่นๆ คือ ระดับของไซด์โหลบ ซึ่งในการคำนวณออกแบบ ของระนาบอะซิมุท ได้กำหนดให้มีค่าเท่ากับ 20 dB แต่เมื่อพิจารณาเปรียบเทียบกับรูปแบบการกระจายคลื่น ที่สถานะต่างๆ กับการคำนวณตามทฤษฎี บนกราฟรูปสี่เหลี่ยมผืนผ้า (Rectangular Graph) ที่มีสเกลเดียวกัน ตามกราฟรูปที่ 8.39 ถึงรูปที่ 8.46 จะเห็นได้ชัดเจนว่า มีระดับไซด์โหลบ น้อยกว่าที่ได้คำนวณออกแบบไว้ คือ มีค่าระดับไซด์โหลบจากการทดลองวัด ประมาณ 10 dB โดยเฉลี่ย ที่ทุกสถานะของการกวาดบีมหลัก ทั้งนี้โดยการค้นคว้าจากเอกสารอ้างอิงที่ [15] ได้อธิบายไว้ว่า ในการออกแบบเสาอากาศ เฟสอาร์เรย์นั้น จะมีคุณสมบัติของรูปแบบการกระจายคลื่น ไม่เป็นไปตามที่ได้ ออกแบบไว้ตามทฤษฎี มีสาเหตุมาจากอิทธิพลของความผิดพลาด 3 ประการ ดังนี้ คือ

1. ผลของความไม่แน่นอน ในวงจรเลื่อนเฟส ที่มีค่าผิดพลาดของการเลื่อนเฟส (Phase Shift Error) โดยได้กำหนดให้ค่าผิดพลาดนี้ (๘) ไม่ควรจะเกินกว่าเงื่อนไขในสมการที่ (9.1) [15] ดังนี้

$$\theta = \frac{2\pi}{2^m} \quad (9.1)$$

โดยที่ m เป็นจำนวนบิตที่สูงที่สุด ของวงจรเลื่อนเฟส

ดังนั้นตามวิทยานิพนธ์นี้ จะต้องมีความผิดพลาดไม่เกินไปกว่า 45° เมื่อจำนวนบิตสูงสุดของวงจรเลื่อนเฟส ที่ใช้งานจริงเท่ากับ 3 บิต ค่าผิดพลาดนี้ ก็ยังอยู่ในเงื่อนไข ที่จะทำให้ทิศทางของบีมหลักที่ได้จากการทดลอง ไม่ผิดพลาดไปมากนัก แต่จะไปส่งผลให้รูปแบบการกระจายคลื่นเลวลง (Pattern Degradation) กล่าวคือ ทำให้ระดับไซด์โหลบ มีค่าน้อยกว่าค่าที่ได้กำหนดไว้ ในการคำนวณออกแบบ

2. ความผิดพลาดของเสาอากาศไดโพลแต่ละเอลีเมนต์ (Element Failures in Phased Array) เนื่องจากเสาอากาศไดโพลที่ใช้ในการทำ เป็นอาร์เรย์แบบระนาบสี่เหลี่ยมผืนผ้า (Rectangular Planar Array) มี

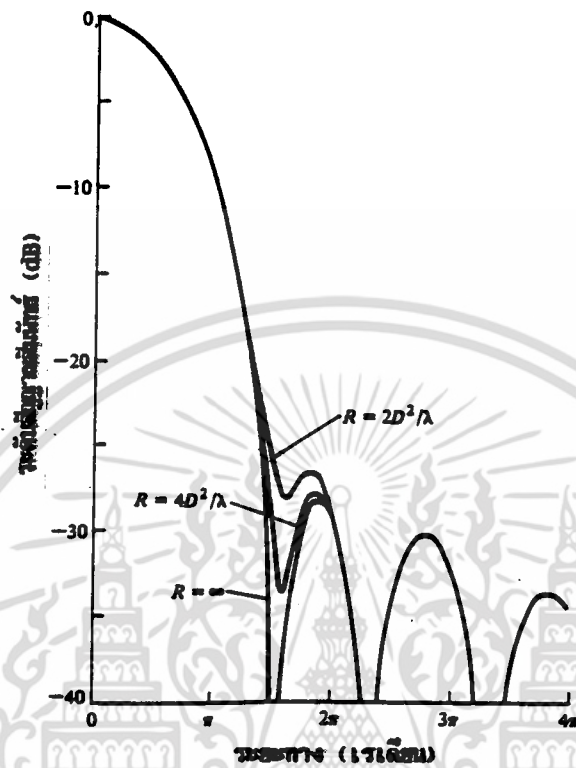
เอกสารนี้เป็นเอกสารที่สงวนไว้สำหรับการใช้งานเพื่อการศึกษาเท่านั้น ไม่อนุญาตให้นำไปใช้ประโยชน์ด้านการค้า ไม่ว่ากรณีใดๆ ทั้งสิ้น อีกทั้งห้ามมิให้ดัดแปลงเนื้อหา และต้องอ้างอิงถึงเจ้าของเอกสารทุกครั้งที่มีการนำไปใช้

คุณสมบัติที่ไม่เหมือนกันทุกประการ (Identical) ทั้ง 32 เอลิเมนต์ ไม่ว่าจะ เป็นรูปแบบการกระจายคลื่น หรือการแมทริงของสายอากาศแต่ละเอลิเมนต์ จึง เป็นผลให้เกิดรูปแบบการกระจายคลื่นเลวลง เช่นเดียวกับอิทธิพลข้อแรก

3. ผลของความผิดพลาดในระบบ (Systematic Errors) ได้แก่ ส่วนบ่อนกระแสสัญญาณให้แก่สายอากาศ คือวงจรแบ่งแยกกำลังและวงจรลดทอน สัญญาณ แต่ที่คิดไว้ใน การสร้างสายอากาศเฟสอาร์เรย์นี้ส่วนวงจรลดทอนสัญญาณ แบบพาส-เน็ตเวิร์ค รีซิสทีฟ น่าจะเป็รส่วนที่มีผลมากที่สุดในระบบ กล่าวคือ ใน การเลือกใช้ค่าความต้านทาน ไม่ได้ตรงกับค่าที่ได้จากการคำนวณ ทำให้ส่วน บ่อนกระแสสัญญาณแก่ระบบสายอากาศนี้ มีค่าที่ผิดพลาด จึงเป็นผลให้รูปแบบการ กระจายคลื่น ที่ได้จากการทดลอง มีระดับของไซด์โหลบ น้อยกว่าที่ได้คำนวณ ออกแบบไว้ ซึ่งอิทธิพลนี้ น่าจะมีผลมากที่สุด สำหรับอธิบายสาเหตุของการที่ ระดับของไซด์โหลบ มีค่าตามผลการทดลอง

นอกจากนี้ ในการวัดรูปแบบการกระจายคลื่นที่ต้องใช้สนามระยะไกล เนื่องจากสายอากาศมีขนาดใหญ่ จึงทำให้ต้องใช้ระยะทางในการวัด ที่เป็น สนามระยะไกลมีค่ามาก คือประมาณมากกว่า 30 เมตร โดยที่ความเป็นจริง ในการทดลองวัด ได้เลือกใช้พื้นที่ภายในโรงอิมเนเซียม มีระยะทางที่ใช้ในการ วัดประมาณ 21 เมตร ซึ่งน้อยกว่าที่ควรจะเป็น ทำให้รูปแบบการกระจายคลื่น มีระดับไซด์โหลบ ที่น้อยกว่า ค่าที่กำหนดไว้ใน การออกแบบ โดยเหตุผลดังกล่าว นี้จะแสดงด้วยกราฟรูปที่ 9.1 แสดงรูปแบบการกระจายคลื่นเปรียบเทียบที่ระยะ ต่างๆ [4] จะเห็นว่าที่สนามระยะไกลมากกว่า จะได้รูปแบบการกระจายคลื่นที่ มีระดับไซด์โหลบ มากกว่าสนามที่ระยะไกลน้อยกว่า

ส่วนผลการวัดรูปแบบการกระจายคลื่น ในสถานะที่ 5 เมื่อเปลี่ยน แปลงความถี่ไปจากความถี่ที่ออกแบบ และได้ผลการทดลองดังแสดงไว้ในกราฟ รูปที่ 8.31 ถึง รูปที่ 8.34 จะเห็นได้ว่ามีรูปแบบการกระจายคลื่น ที่เหมือนกัน ในย่านความถี่ที่วัดมานี้ โดยมีทิศทางของบีมหลัก อยู่ที่มุม 90° คือ ด้านหน้าของ สายอากาศ (ที่สถานะของการเลี้ยวเบนเป็นมุม 0°) เป็นรูปแบบการกระจาย คลื่นแบบบรอดไซด์ (Broadside)



รูปที่ 9.1 แสดงรูปแบบการกระจายคลื่นเปรียบเทียบที่ระยะต่างๆ

9-2-2 รูปแบบการกระจายคลื่นในระนาบเอลีเวชัน

โดยที่ในระนาบนี้ ได้กำหนดให้มีการออกแบบเป็นเซคเตอร์แพทเทิร์น แต่เมื่อวัดคุณสมบัติของรูปแบบการกระจายคลื่น เปรียบเทียบกันในความถี่ต่างๆ เช่นเดียวกับความถี่ที่เปลี่ยนแปลงไปในระนาบอะซิมุท ได้ผลดังแสดงไว้ในกราฟ รูปที่ 8.35 ถึง รูปที่ 8.38 จะเห็นว่าที่ความถี่ 800 MHz และ 900 MHz มีรูปแบบการกระจายคลื่นที่เหมือนกัน และไม่ใกล้เคียงกับเซคเตอร์แพทเทิร์น แต่สำหรับที่ความถี่ 915 MHz และ 920 MHz โดยเฉพาะที่ความถี่ 920 MHz มีรูปแบบการกระจายคลื่นที่พอจะมองว่าคล้ายกับเซคเตอร์แพทเทิร์น โดยพิจารณาจากระดับของไซด์โพล ที่น้อยกว่าสองความถี่แรก ทั้งนี้และทั้งนั้น ก็ยังมีความผิดพลาดอยู่บ้าง ที่ไม่เป็นเซคเตอร์แพทเทิร์นตามต้องการ เนื่องจากมีอิทธิพลของความผิดพลาด 3 ประการ เช่นเดียวกับในระนาบอะซิมุท ตามที่ได้กล่าวไปแล้ว โดยเฉพาะอย่างยิ่ง อิทธิพลของส่วนป้อนกระแสสัญญาณ ในส่วนของวงจร

เอกสารนี้เป็นเอกสารที่สงวนไว้สำหรับการใช้งานเพื่อการศึกษาเท่านั้น ไม่อนุญาตให้นำไปใช้ประโยชน์ด้านการค้า ไม่ว่าจะกรณีใดๆ ทั้งสิ้น อีกทั้งห้ามมิให้ดัดแปลงเนื้อหา และต้องอ้างอิงถึงเจ้าของเอกสารทุกครั้งที่มีการนำไปใช้

ลดทอนสัญญาณ จะมีผลมากที่สุด ซึ่งมีค่าผิดพลาดมาจากความต้านทาน ที่ใช้ในการสร้างวงจรลดทอนสัญญาณแบบพาส-แอ็กทีฟวีร์ชิสทีน จึงทำให้รูปแบบการกระจายคลื่นในระนาบนี้ผิดพลาดไป

9-2-3 เคนเปรียบเทียบของสายอากาศเฟสอาร์เรย์

จากตารางที่ 8.4 แสดงผลการวัดเคนของสายอากาศ ในสถานะที่ 5 เปรียบเทียบกับสายอากาศไดโพลเอลีเมนต์เดี่ยว ได้ค่าเคนเท่ากับ +5 dB_r ทั้งสองระนาบเท่ากัน หรือประมาณ +7.15 dB_r ซึ่งค่านี้เป็นค่าที่น้อยกว่าที่ค่าที่ควรจะเป็น ตามการคำนวณโดยประมาณ ทั้งนี้เนื่องจากในระบบสายอากาศ มีการสูญเสียไปกับอินเลอร์ชันลอส ขององค์ประกอบ (Components) แต่ละตัว ได้แก่ วงจรเลื่อนเฟส วงจรแบ่งแยกกำลัง วงจรลดทอนสัญญาณ และรวมทั้งสายอากาศไดโพลที่มีคุณสมบัติไม่เหมือนกัน (Identical) และไม่แมทช์กันที่ความถี่ 915 MHz ทั้งหมด 32 เอลีเมนต์

ส่วนในรูปกราฟแสดงผล ความสัมพันธ์ระหว่างระดับสัญญาณสูงสุดของบีมหลักและมุมของบีมหลัก ในสถานะต่างๆ ที่ความถี่ 915 MHz ตามรูปที่ 8.47 จะเป็นส่วนที่แสดงให้เห็นว่า เมื่อทิศทางของบีมหลักเปลี่ยนไป จากทิศทางด้านหน้าของสายอากาศ จะทำให้เคนของสายอากาศลดลงได้ คงมีเพียงในสถานะที่ 5 คือสถานะที่สายอากาศทุกเอลีเมนต์มีเฟสเดียวกัน ที่มีเคนสูงสุด

9-3 สรุปและเสนอแนะ

จากผลการออกแบบสร้าง และทดสอบคุณสมบัติของ สายอากาศเฟสอาร์เรย์ดังกล่าว จนสามารถสรุปวิเคราะห์ข้อดีข้อเสีย ตามที่ได้กล่าวไปแล้วในตอนต้นของบทนี้ โดยที่ในบทนี้ได้กล่าวถึงวัตถุประสงค์ในการทำวิทยานิพนธ์ไว้แล้ว ว่าเป็นการศึกษาพื้นฐานของสายอากาศเรดาร์ ที่มีการกวาดทิศทางของบีมหลักด้วยวิธีทางไฟฟ้า เพื่อนำไปใช้เป็นอุปกรณ์ประกอบ การเรียนและการทดลองให้นักศึกษา ของภาควิชาวิศวกรรมโทรคมนาคม คณะวิศวกรรมศาสตร์ สถาบันเทคโนโลยีพระจอมเกล้าเจ้าคุณทหารลาดกระบัง ซึ่งจะ เป็นประโยชน์อย่างมากในการศึกษาวิชาสายอากาศ โดยเฉพาะสายอากาศอาร์เรย์ ดังนั้น

เอกสารนี้เป็นเอกสารที่สงวนไว้สำหรับการใช้งานเพื่อการศึกษาเท่านั้น ไม่อนุญาตให้นำไปใช้ประโยชน์ด้านการค้า ไม่ว่าจะกรณีใดๆ ทั้งสิ้น อีกทั้งห้ามมิให้ดัดแปลงเนื้อหา และต้องอ้างอิงถึงเจ้าของเอกสารทุกครั้งที่มีการนำไปใช้

เพื่อให้สายอากาศนี้ มีความสมบูรณ์มากขึ้น จึงควรได้มีการพัฒนาปรับปรุงต่อไป สำหรับความคิดของผู้เขียนในตอนนี้ คิดว่ามีจุดที่น่าสนใจในการพัฒนาสายอากาศ เฟสอาร์เรย์ ดังนี้ คือ

1. การสร้างส่วนควบคุมวงจรเลื่อนเฟส เพื่อให้กวาด빔หลักด้วยวิธีทางไฟฟ้า โดยส่วนควบคุมนี้จะใช้สัญญาณทางดิจิทัลในการควบคุม มีการสร้างวงจรอินเตอร์เฟส (Interface) กับเครื่องไมโครคอมพิวเตอร์ ซึ่งจะทำได้ สามารถเขียนโปรแกรม ควบคุมการกวาดทิศทางของ빔หลักได้

2. ส่วนของวงจรเลื่อนเฟสขนาด 3 บิต รวมกัน ควรจะได้มีการวิจัยเพื่อพัฒนาให้ได้วงจรเลื่อนเฟส 3 บิต ที่ใช้วงจรไฮบริดคิปเปลอร์ เพียงตัวเดียวร่วมกันได้ เพื่อเป็นการลดค่าอินเสิร์ทชันลอสลงได้ ทั้งนี้อาจจะมีการเลือกใช้สารรองรับชนิดอื่น ที่มีค่าไดอิเล็กตริกคอสที่ต่ำ ซึ่งก็จะมีค่าใช้จ่ายในการสร้างสูงขึ้น อย่างไรก็ตาม ในอนาคตอาจจะหาสารรองรับที่มีค่าไดอิเล็กตริกคอสต่ำ ได้ง่ายกว่านี้ ก็เป็นไปได้

3. ในส่วนของเอลีเมนต์สายอากาศ ถ้าหากต้องการออกแบบสร้างที่ความถี่สูงมากกว่านี้ อาจจะใช้สายอากาศแบบอื่น นอกจากสายอากาศไดโพลที่ใช้ขณะนี้ก็ได้ ซึ่งขนาดและรูปร่างของสายอากาศ ก็จะเล็กลงและสะดวกในการวัดคุณสมบัติรูปแบบการกระจายคลื่นอีกด้วย ส่วนพินไดโอดก็ต้องเปลี่ยนไปใช้เบอร์ใหม่แทน เพื่อให้ทำงานที่ความถี่สูงมากกว่านี้ได้

สุดท้ายนี้ ผู้เขียนหวังว่าสายอากาศเฟสอาร์เรย์ต้นแบบนี้ คงจะเป็นประโยชน์แก่ผู้ที่นำไปใช้งาน ตามวัตถุประสงค์ที่ได้มุ่งหวังไว้ และถ้าหากมีผู้สนใจที่จะศึกษาวิจัยต่อไป ก็คงจะได้แนวความคิดและความรู้ทางด้านเทคนิคจากวิทยานิพนธ์ฉบับนี้ ตามที่ผู้เขียนได้เต็มใจอุทิศไว้ให้แก่การพัฒนาเทคโนโลยีทางด้านโทรคมนาคมของประเทศสืบไป

เอกสารอ้างอิง

- [1] W.L.Stutzman and G.A.Thiele, " ANTENNA THEORY AND DESIGN ", John Wiley & Sons, New York, 1981.
- [2] P.J.Kahrilas, " Design of Electronic Scanning Radar Systems ", Proc. of the IEEE, pp.1763-1771, November 1968.
- [3] M.I.Skolnik, " Radar Handbook ", McGraw-Hill Book Company, New York, 1970.
- [4] C.A.Balanis, " Antenna Theory: Analysis and Design ", John Wiley & Sons , New York , 1982.
- [5] R.S.Elliott, " Antenna Theory and Design ", Prentice-Hall of India Private Limited , New Delhi , 1981.
- [6] J.F.White, " Diode Phase Shifters for Array Antennas " , IEEE Trans. Microwave Theory Tech., vol. MTT-22, No.6, pp.658-674, June 1974.
- [7] R.Ekinge and J.P.Starski, "Design Recommendation for Stripline Diode Phase Shifters", Ericsson Technics, vol.34 NO.1, 1978.
- [8] Tri T.Ha, " Solid-State Microwave Amplifier Design " , John Wiley & Sons , New York, pp.60-62, 1981.
- [9] Y.T.Lo and S.W.Lee, " Antenna Handbook ", Van Nostrand Reinhold Company, New York, 1988.
- [10] M.T.Ma, " Theory and Application of Antenna Arrays " , John Wiley & Sons, New York, 1974.
- [11] J.P.Starski, "Optimization of the matching network for a hybrid coupler phase shifter", IEEE vol.MTT-25, pp.662-666, Aug, 1977.

เอกสารนี้เป็นเอกสารที่สงวนไว้สำหรับการใช้งานเพื่อการศึกษาเท่านั้น ไม่อนุญาตให้นำไปใช้ประโยชน์ด้านการค้า
ไม่ว่ากรณีใดๆ ทั้งสิ้น อีกทั้งห้ามมิให้ดัดแปลงเนื้อหา และต้องอ้างอิงถึงเจ้าของเอกสารทุกครั้งที่มีการนำไปใช้

- [12] H.A.Atwater , "Reflectiion Coefficient Transformation for Phase Shifter Circuits" ,IEEE vol.MTT-28, pp.563-568, June, 1980.
- [13] I.Bahl and P.Bhartia, "Microwave Solid State Circuit Design", John Wiley & Sons, New York, 1988.
- [14] กิตติชัย พาณิชปฐมพงศ์, โมไนย ไกรฤกษ์, วิวัฒน์ กิรานนท์, " วงจร เลื่อนเฟสโดยใช้พินไดโอด ", การประชุมวิชาการทางวิศวกรรมไฟฟ้า ครั้งที่ 12, มหาวิทยาลัยเกษตรศาสตร์, หน้า 152-161, พฤศจิกายน, 2532.
- [15] Benjamin Rulf, Gregory A.Robertshaw, "Understanding Antennas for Radars, Communications and Avionics" , Van Nostrand Reinhold Company, New York, pp.159-191, 1987.



เอกสารนี้เป็นเอกสารที่สงวนไว้สำหรับการใช้งานเพื่อการศึกษาเท่านั้น ไม่อนุญาตให้นำไปใช้ประโยชน์ด้านการค้า
ไม่ว่ากรณีใดๆ ทั้งสิ้น อีกทั้งห้ามมิให้ดัดแปลงเนื้อหา และต้องอ้างอิงถึงเจ้าของเอกสารทุกครั้งที่มีการนำไปใช้

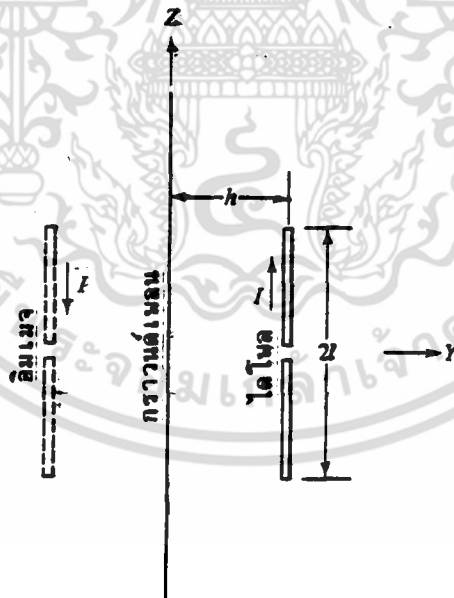
ภาคผนวก ก.

สนามของสายอากาศไดโพลเหนือบนกราวด์เพลน

การคำนวณหาสนามลัพท์ของสายอากาศไดโพลเหนือบนกราวด์เพลน จะแสดงลักษณะการวางเอลีเมนต์ บนโคออร์ดิเนต (X,Y,Z) ไว้ในรูปที่ ก.1 โดยมีสนามลัพท์ที่ได้จากการคำนวณ[5] ดังนี้ คือ

$$\vec{E}(\theta, \phi) = \frac{-4jI_m}{k \sin \theta} [(\cos(kl \cos \theta) - \cos kl)] \sin(kh \sin \theta \sin \phi) \quad (\text{ก.1})$$

โดยในที่นี้มุม θ เป็นมุมที่วัดจากแกน Z ไปยังแกน -Z มีค่าเท่ากับ 0 ถึง π ดังแสดงในรูปที่ ก.1 ในขณะที่มุม ϕ เป็นมุมที่วัดในระนาบ X-Y โดยที่ค่า $\phi = 0$ มีทิศพุ่งออกมา และค่า $\phi = \pi$ มีทิศพุ่งเข้าไปในกระดาษ



รูปที่ ก.1 แสดงลักษณะการวางสายอากาศไดโพลเหนือบนกราวด์เพลน

เอกสารนี้เป็นเอกสารที่สงวนไว้สำหรับการใช้งานเพื่อการศึกษาเท่านั้น ไม่อนุญาตให้นำไปใช้ประโยชน์ด้านการค้า ไม่ว่าจะกรณีใดๆ ทั้งสิ้น อีกทั้งห้ามมิให้ดัดแปลงเนื้อหา และต้องอ้างอิงถึงเจ้าของเอกสารทุกครั้งที่มีการนำไปใช้

จากสมการ (ก.1) จะเห็นว่าสนามลิ้นหรือรูปแบบการกระจายคลื่นของสายอากาศไดโพลเหนือบนกราวด์เพลน มีค่าเท่ากับสนามของสายอากาศไดโพลเดี่ยว คูณกับค่าตัวประกอบ $2j(\sin(kh\sin\theta\sin\phi))$

สำหรับวิทยานิพนธ์นี้ ได้ออกแบบให้มีระยะห่าง $h = \frac{\lambda}{4}$ และความยาวของไดโพลเป็น $\frac{\lambda}{2}$ ซึ่งจะได้ค่า $l = \frac{\lambda}{4}$ เมื่อแทนค่า h, l และค่ามุม $\theta = \frac{\pi}{2}$ จะได้รูปแบบการกระจายคลื่นในระนาบอะซิมุท ที่นอร์มอลไลซ์แล้วตามสมการ (ก.2) ดังนี้ คือ

$$\vec{E}_n\left(\frac{\pi}{2}, \theta\right) = \sin\left(\frac{\pi}{2} \cdot \sin\theta\right) \quad (\text{ก.2})$$

โดยนำค่าสนามลิ้นของสายอากาศไดโพลเอลีเมนต์เดี่ยว ที่ได้จากสมการ (ก.2) นี้ ไปคูณกับตัวประกอบอาร์เรย์ของสายอากาศเฟสอาร์เรย์ตามหลักการคูณรูปแบบการกระจายคลื่น ของสายอากาศอาร์เรย์ ในระนาบอะซิมุท ที่มีระดับไซด์โหลบต่ำ และบีบวิดธ์แคบ ก็จะได้สนามลิ้นของสายอากาศในระนาบอะซิมุท

ในทำนองเดียวกัน เมื่อแทนค่ามุม θ เท่ากับ $\frac{\pi}{2}$ จะได้รูปแบบการกระจายคลื่นในระนาบเอลีเวชัน ที่นอร์มอลไลซ์แล้ว ตามสมการ (ก.3) ดังนี้คือ

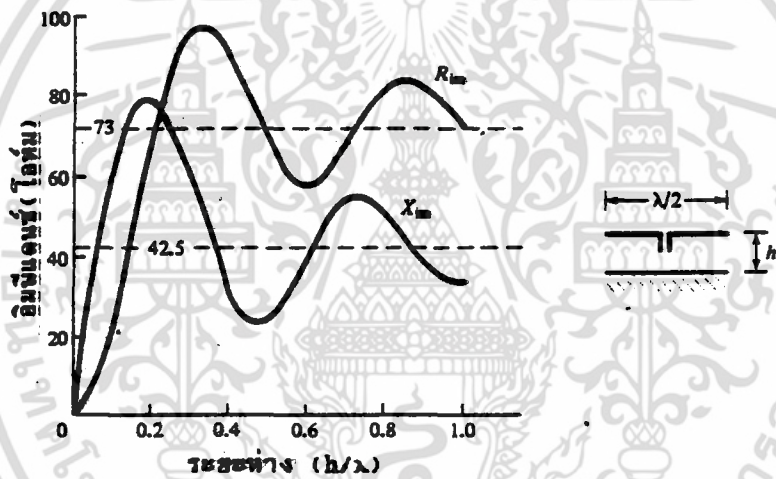
$$\vec{E}_n\left(\theta, \frac{\pi}{2}\right) = \cos\left(\frac{\pi}{2} \cdot \cos\theta\right) \frac{\sin\left(\pi/2 \cdot \sin\theta\right)}{\sin\theta} \quad (\text{ก.3})$$

โดยค่าสนามของสายอากาศไดโพลเอลีเมนต์เดี่ยวของระนาบนี้ จะนำไปคูณกับตัวประกอบอาร์เรย์ ที่ออกแบบเป็นเซคเตอร์แพทเทิร์น ก็จะได้สนามลิ้นของสายอากาศอาร์เรย์ในระนาบเอลีเวชัน

ภาคผนวก ข.

อิมพีแดนซ์ของสายอากาศไดโพลเหนือบนกราวด์เพลน

จากผลลัพธ์ในภาคผนวก ก. สามารถคำนวณค่า P_{rad} ได้ และนำไปคำนวณเพื่อหาค่าความต้านทานในการแพร่กระจายคลื่นได้ โดยในภาคผนวกนี้จะแสดงด้วยค่าอิมพีแดนซ์ของสายอากาศไดโพล วางขนานอยู่เหนือบนกราวด์เพลน เอาไว้ในรูปที่ ข.1



รูปที่ ข.1 แสดงค่าอิมพีแดนซ์ของสายอากาศไดโพล วางขนานอยู่เหนือบนกราวด์เพลนสัมพันธ์กับระยะห่างจากกราวด์เพลน

ภาคผนวก ค.
การคำนวณค่า VSWR

ค่าสัมประสิทธิ์การสะท้อนของสัญญาณ (Reflection Coefficient)
(ρ) มีค่าเท่ากับสมการ (ค.1) ดังนี้

$$\rho = 10^{-RL/20} \quad (\text{ค.1})$$

โดยที่ RL เป็นค่ารีเทิร์นลอส (Return Loss) มีหน่วยเป็น dB
การคำนวณค่า VSWR จะต้องหาค่าสัมประสิทธิ์การสะท้อนของสัญญาณ
แล้วจึงนำไปแทนค่าในสมการ (ค.2) ดังนี้ คือ

$$VSWR = \frac{1 + \rho}{1 - \rho} \quad (\text{ค.2})$$

RL	ρ	VSWR
1	0.891	17.391
2	0.794	8.724
3	0.708	5.848
4	0.631	4.419
5	0.562	3.570
6	0.501	3.010
7	0.447	2.615
8	0.398	2.323
9	0.355	2.100
10	0.316	1.925
11	0.282	1.785
12	0.251	1.671
13	0.224	1.577
14	0.200	1.499
15	0.178	1.433
16	0.158	1.377
17	0.141	1.329
18	0.126	1.288
19	0.112	1.253
20	0.100	1.222

ตาราง ๒.1 แสดงผลการคำนวณค่า VSWR

เอกสารนี้เป็นเอกสารที่สงวนไว้สำหรับการใช้งานเพื่อการศึกษาเท่านั้น ไม่อนุญาตให้นำไปใช้ประโยชน์ด้านการค้า
ไม่ว่ากรณีใดๆ ทั้งสิ้น อีกทั้งห้ามมิให้ดัดแปลงเนื้อหา และต้องอ้างอิงถึงเจ้าของเอกสารทุกครั้งที่มีการนำไปใช้

ภาคผนวก ง.
ข้อมูลของสินค้า

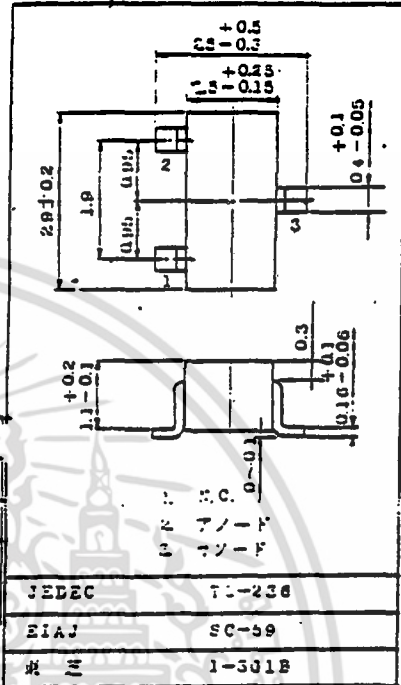
1SV128

○ VHF・UHF バンド可変減衰器, AGC 用

単位: mm

特長

- ・ 超小型パッケージ (TO-236)
- ・ 低容量: $C_T = 0.25 \text{ pF}$ (標準)
- ・ 直列抵抗が小さい: $r_s = 7 \Omega$
- ・ 少数キャリア寿命時間が長い: $\tau = 400 \text{ ns}$ (標準)

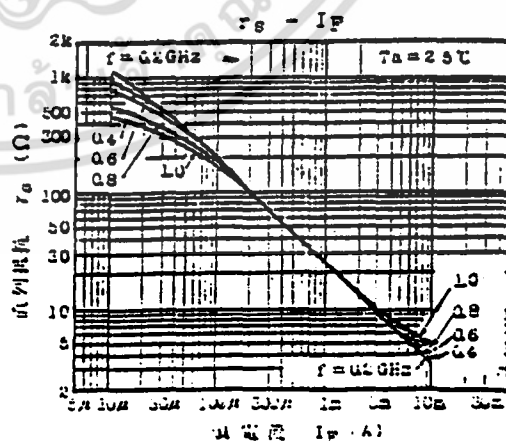
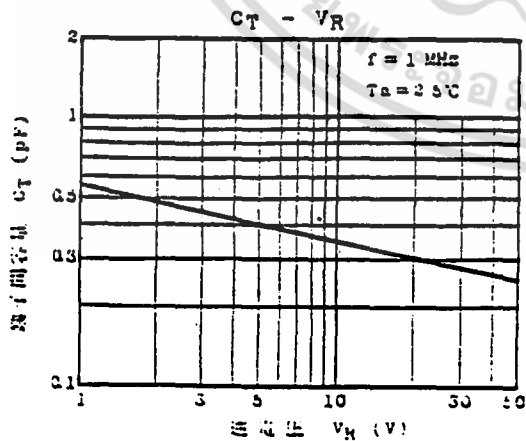


最大定格 ($T_a = 25^\circ\text{C}$)

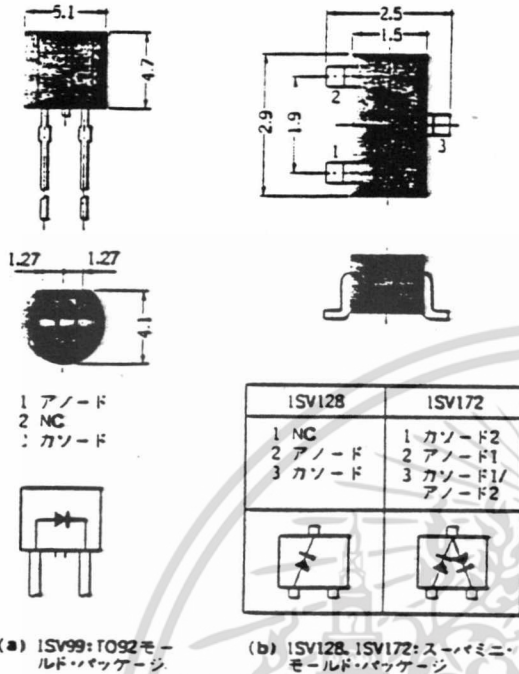
項目	記号	規格	単位
逆電圧	V_R	50	V
順電流	I_F	50	mA
適合温度	T_j	125	$^\circ\text{C}$
保存温度	T_{stg}	-55~125	$^\circ\text{C}$

電気的特性 ($T_a = 25^\circ\text{C}$)

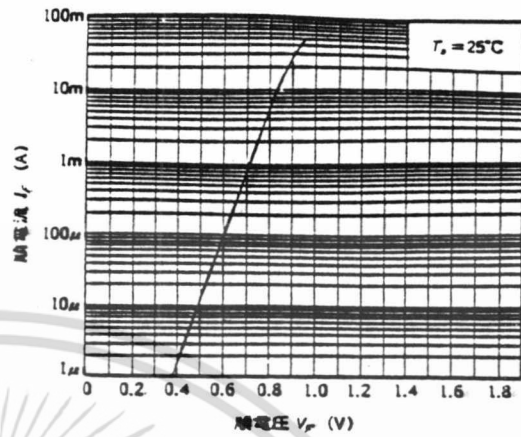
項目	記号	測定条件	最小	標準	最大	単位
逆電圧	V_R	$I_R = 10 \text{ mA}$	50	-	-	V
順電流	I_F	$V_R = 50 \text{ V}$	-	-	0.1	mA
順電圧	V_F	$I_F = 50 \text{ mA}$	-	0.5	-	V
端子間容量	C_T	$V_R = 50 \text{ V}$	-	0.25	-	pF
直列抵抗	r_s	$I_F = 10 \text{ mA}, f = 100 \text{ MHz}$	-	7	-	Ω
少数キャリア寿命時間	τ	$I_F = 10 \text{ mA}, I_R = 5 \text{ mA}$	-	400	-	ns



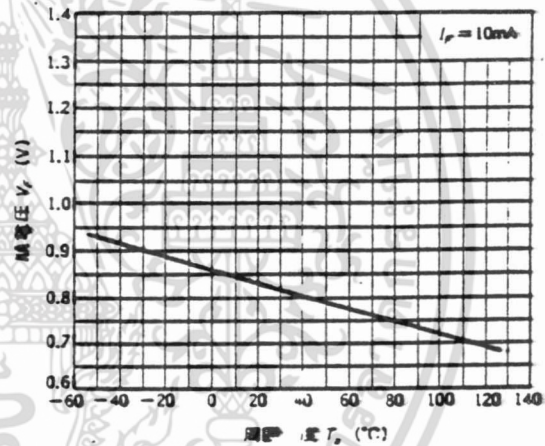
〈図12〉 樹脂モールド型PINダイオードの外形図



〈図13〉 ISV99の I_F - V_F 特性



〈図14〉 ISV99の V_F - T_J 特性



〈表2〉 ISV99の電気的特性

項目	記号	測定条件	最小	標準	最大	単位
順電圧	V_F	$I_F=50\text{mA}$	-	0.9	-	V
逆電流	I_R	$V_R=50\text{V}$	-	-	0.1	μA
端子間容量	C_T	$V_R=30\text{V}$, $f=1\text{MHz}$	-	0.3	0.5	pF
直列抵抗	r_s	$I_F=10\text{mA}$, $f=100\text{MHz}$	-	7	10	Ω

($T_J=25^\circ\text{C}$)

は、セットの小型化を実現する目的で、上記と同じ半導体チップを封入したものです。スーパーミニ・モールド・パッケージに2個PINダイオードのチップを封入した製品もあります。この品種は、それぞれのダイオードが図12に示したようにシリーズ接続されており、多数のPINダイオードを使用する回路や、プリント基板の実装効率を上げる場合に便利です。

PINダイオードのパッケージは、このほかにガラス・タイプのものやセラミック・タイプのもがあります。しかし民生用途としては、前述したモールド・タイプのもが主流になっています。

■ V_F : 順方向電圧

PINダイオードも、シリコン・ウェハを用いたダイオードですから、順バイアス印加時のアノード-カソード間には、約0.7~0.8V程度の順電圧(V_F)が発生します。この電圧は、一般のダイオードとまったく変

わりありません。しかも、図13に示す I_F - V_F カーブや、図14に示す V_F - T_J の温度カーブも、一般ダイオードとまったく差はありません。

■ I_R : 逆方向電流

本来、ダイオードのPN接合に逆バイアスをかけた場合、カソードからアノード方向に電流は流れませんが、現実には極めてわずかながら電流が流れます。これが逆方向電流(I_R)であり、PINダイオードの場合も通常100nA程度以下に管理されています。

■ C_T : 端子間容量

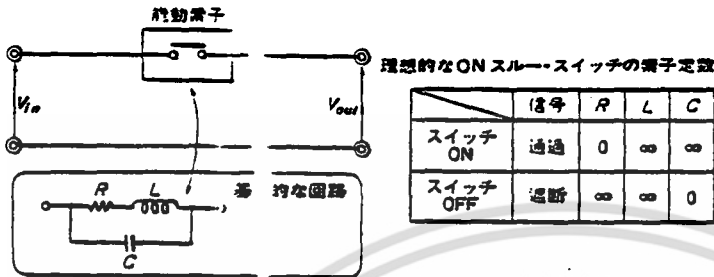
これはアノード-カソード間の総容量で、接合容量とケース容量が支配的です。逆電圧(V_R)により図15のように依存性をもちます。

$$C_T = C_j + C_c \dots\dots\dots(1)$$

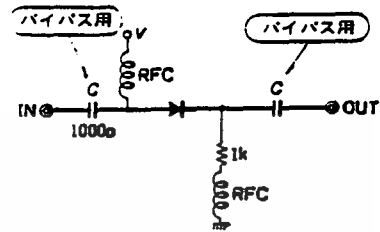
C_j : 接合容量
 C_c : ケース容量

เอกสารนี้เป็นเอกสารที่สงวนไว้สำหรับการใช้งานเพื่อการศึกษาเท่านั้น ไม่อนุญาตให้นำไปใช้ประโยชน์ด้านการค้า
ไม่ว่ากรณีใดๆ ทั้งสิ้น อีกทั้งห้ามมิให้ดัดแปลงเนื้อหา และต้องอ้างอิงถึงเจ้าของเอกสารทุกครั้งที่มีการนำไปใช้

〈図21〉 ONスルー・スイッチの基本回路



〈図22〉 ONスルー・スイッチ



〈表3〉 代表的なPINダイオードの特性

型名	メーカー	最大定格		順電圧 V_F		リーク電流 I_L		過渡容量 C_j		直列抵抗		備考	
		V_R (V)	I_F (mA)	(V) (max)	I_F (mA)	(μ A) (max)	V_R (V)	(pF) (max)	V_R (V)	(Ω) (max)	f_r (MHz)		
ISV26	NEC	100	50	1	50	10	100	0.3 (typ)	-	1.6-3.6 300-500	10 0.01	1700	
ISV27	NEC	100	50	1	50	10	100	0.3 (typ)	-	1.6-3.6 300-500	10 0.01	1700	
ISV28	NEC	100	50	1	50	10	100	0.2 (typ)	-	1.6-3.6 300-500	10 0.01	1700	
ISV35	NEC	100	50	1.1	50	10	100	0.5	50	10	10	100	$t_{rr} = 1 \mu s$
ISV36	NEC	100	50	1.1	50	10	100	0.6	50	10	10	100	$t_{rr} = 1 \mu s$
ISV37	NEC	100	50	1.1	50	10	100	0.6	50	10	10	100	$t_{rr} = 1 \mu s$
ISV77	NEC	50	-	-	-	-	-	0.8	30	10 1k (min)	10 0.01	100	$t_{rr} = 0.8 \mu s$
ISV80	NEC	30	50	1.1	50	10	30	0.4 (typ)	15	15 1k (min)	10 0.01	100	
ISV99	東芝	50	5	1.2	50	0.1	50	0.6	30	10	10	100	
ISV121	日立	100	10	1.1	50	0.1	30	0.7	50	10 0.9k (min)	10 0.01	100	
ISV122	NEC	30	15	1	50	10	30	0.4 (typ)	30	0.8 (typ)	10	100	
ISV123	東芝	50	5	0.95 (typ)	50	0.1	50	0.25 (typ)	50	7 (typ)	10	100	

($T_c = +25^\circ C$)

ONスルー・スイッチは、伝送線路の一部に直列にスイッチを入れた回路で、その動作としてはスイッチON状態で電気信号が通り、スイッチOFF状態で電気信号が遮断されます。この回路で特に注意すべきことは、伝送線路内に直列に能動素子が入るために、素子のON抵抗による高周波信号の減衰や、能動素子

自身のもつ順方向特性の非直線性のために波形ひずみが生じやすく、混変調や相互変調などに十分注意しなければならないことです。

図22に、PINダイオードを使用したONスルー・スイッチの実際の回路例を示しておきます。

表3に市販の主なPINダイオードを示します。

เอกสารนี้เป็นเอกสารที่สงวนไว้สำหรับการใช้งานเพื่อการศึกษาเท่านั้น ไม่อนุญาตให้นำไปใช้ประโยชน์ด้านการค้า
ไม่ว่ากรณีใดๆ ทั้งสิ้น อีกทั้งห้ามมิให้ดัดแปลงเนื้อหา และต้องอ้างอิงถึงเจ้าของเอกสารทุกครั้งที่มีการนำไปใช้

REFERENCE DATA FOR RADIO ENGINEERS

TABLE 19—CHARACTERISTICS

Material Composition	T°C	Dielectric Constant at					
		(Frequency in Hertz)					
		60	10 ³	10 ⁶	10 ⁸	3×10 ⁹	2.5×10 ¹⁰
Ceramics							
Aluminum oxide	25	—	8.83	8.80	8.80	8.79	—
Barium titanate†	26	1250	1200	1163	—	600	1000
Calcium titanate	25	168	167.7	167.7	167.7	168	—
Magnesium oxide	25	—	9.68	9.68	9.68	—	—
Magnesium silicate	25	6.00	5.98	5.97	5.96	5.90	—
Magnesium titanate	25	—	13.9	13.9	13.9	13.8	13.7
Oxides of aluminum, silicon, magnesium, calcium, barium	24	—	6.04	6.04	—	5.90	—
Porcelain (dry process)	25	5.5	5.38	5.08	5.04	—	—
Staurolite 410	23	5.77	5.77	5.77	5.77	5.7	—
Strontium titanate	28	—	232	232	232	—	—
Titanium dioxide (rutile)	28	—	100	100	100	—	—
Glasses							
Iron-oxidizing glass	24	5.41	5.36	5.30	5.20	7.99	7.80
Soda-barosilicate	25	—	4.97	4.84	4.84	4.83	4.65
100% silicon dioxide (fused quartz)	25	3.78	3.78	3.78	3.78	3.78	3.78
Plastics							
Alkyd resin	25	—	5.10	4.76	4.55	4.50	—
Cellulose acetate-butyrates, plasticized	26	3.00	3.45	3.30	3.00	2.91	—
Cresylic acid-formaldehyde, 50% α-cellulose	25	5.45	4.98	4.51	3.55	3.48	3.25
Cross-linked polystyrene	25	2.50	2.50	2.50	2.50	2.50	—
Epoxy resin (Araldite CN-501)	23	—	3.67	3.62	3.33	3.00	—
Epoxy resin (Epoxy resin RN-48)	25	—	3.65	3.52	3.32	3.04	—
Formed polystyrene, 0.23% filler	25	1.03	1.03	1.03	—	1.03	1.03
Melamine-formaldehyde, α-cellulose	24	—	7.57	7.09	6.0	4.93	—
Melamine-formaldehyde, 55% filler	20	—	6.09	5.75	5.5	—	—
Phenol-formaldehyde (Bakelite B M 120)	25	4.90	4.74	4.38	3.98	3.70	3.55
Phenol-formaldehyde, 50% paper laminates	26	5.25	5.15	4.60	4.04	3.57	—
Phenol-formaldehyde, 65% mica, 4% lubricants	24	5.1	5.01	4.78	4.72	4.71	—
Polycarbonate	—	3.17	3.02	2.90	—	—	—
Polychlorotrifluoroethylene	25	2.72	2.63	2.42	2.32	2.23	2.23
Polyethylene	25	2.23	2.23	2.23	2.23	2.23	2.23
Polyethylene-terephthalate	—	3.16	3.12	2.95	—	—	—
Polyethylmethacrylate	22	—	2.78	2.55	2.52	2.51	2.4
Polyhexamethylene-adipamide (nylon)	25	3.7	3.50	3.14	3.0	2.84	2.72
Polyimide	—	—	3.5	3.4	—	—	—
Polyisobutylene	25	2.23	2.23	2.23	2.23	2.23	—
Polymers of 95% vinyl-chloride, 5% vinyl-acetate	20	—	3.15	2.90	2.8	2.74	—
Polymethyl methacrylate	27	3.45	3.12	2.76	—	2.60	—
Polyparaphenylene oxide	—	2.55	2.55	2.55	—	2.55	—
Polypropylene	—	2.23	2.23	2.55	—	—	—
Polystyrene	25	2.55	2.55	2.55	2.55	2.55	2.54
Polytetrafluoroethylene (teflon)	22	2.1	2.1	2.1	2.1	2.1	2.08
Polyvinylcyclohexane	24	—	2.23	2.23	2.23	2.23	—
Polyvinyl formal	25	3.20	3.12	2.92	2.60	2.70	2.7
Polyvinylidene fluoride	—	8.4	8.0	6.6	—	—	—
Urea-formaldehyde, cellulose	27	6.6	6.2	5.65	5.1	4.57	—
Urethane elastomer	—	6.7-7.5	6.7-7.5	6.5-7.1	—	—	—
Vinylidene-vinyl chloride copolymer	23	5.0	4.65	3.18	2.85	2.71	—
100% aniline-formaldehyde (Dilucene-100)	25	3.70	3.68	3.58	3.50	3.44	—
100% phenol-formaldehyde	24	8.6	7.15	5.4	4.4	3.64	—
100% polyvinyl-chloride	20	3.20	3.10	2.88	2.85	2.84	—
Organic Liquids							
Aviation gasoline (100 octane)	25	—	—	1.94	1.94	1.92	—
Benzene (pure, dried)	25	2.23	2.23	2.23	2.23	2.23	2.23

เอกสารนี้เป็นลิขสิทธิ์ของสำนักงานวิศวกรรมไฟฟ้าแห่งประเทศไทย การนำเอกสารนี้ไปใช้โดยไม่ได้รับอนุญาตถือว่าผิดกฎหมาย

ไม่ว่ากรณีใดๆ ทั้งสิ้น อีกทั้งห้ามมิให้ตัดแปลงเนื้อหา และต้องอ้างอิงถึงเจ้าของเอกสารทุกครั้งที่มีการนำไปใช้